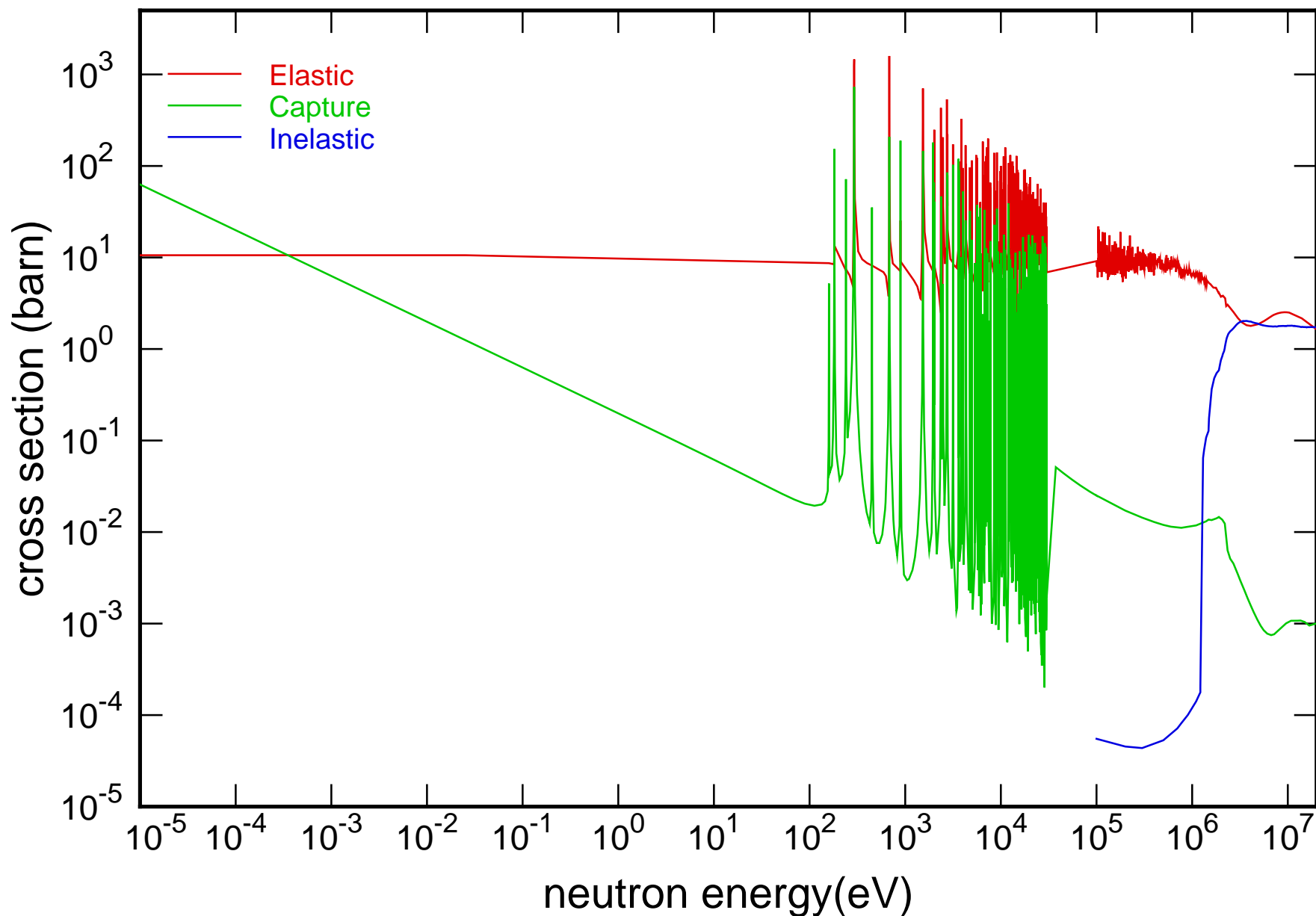
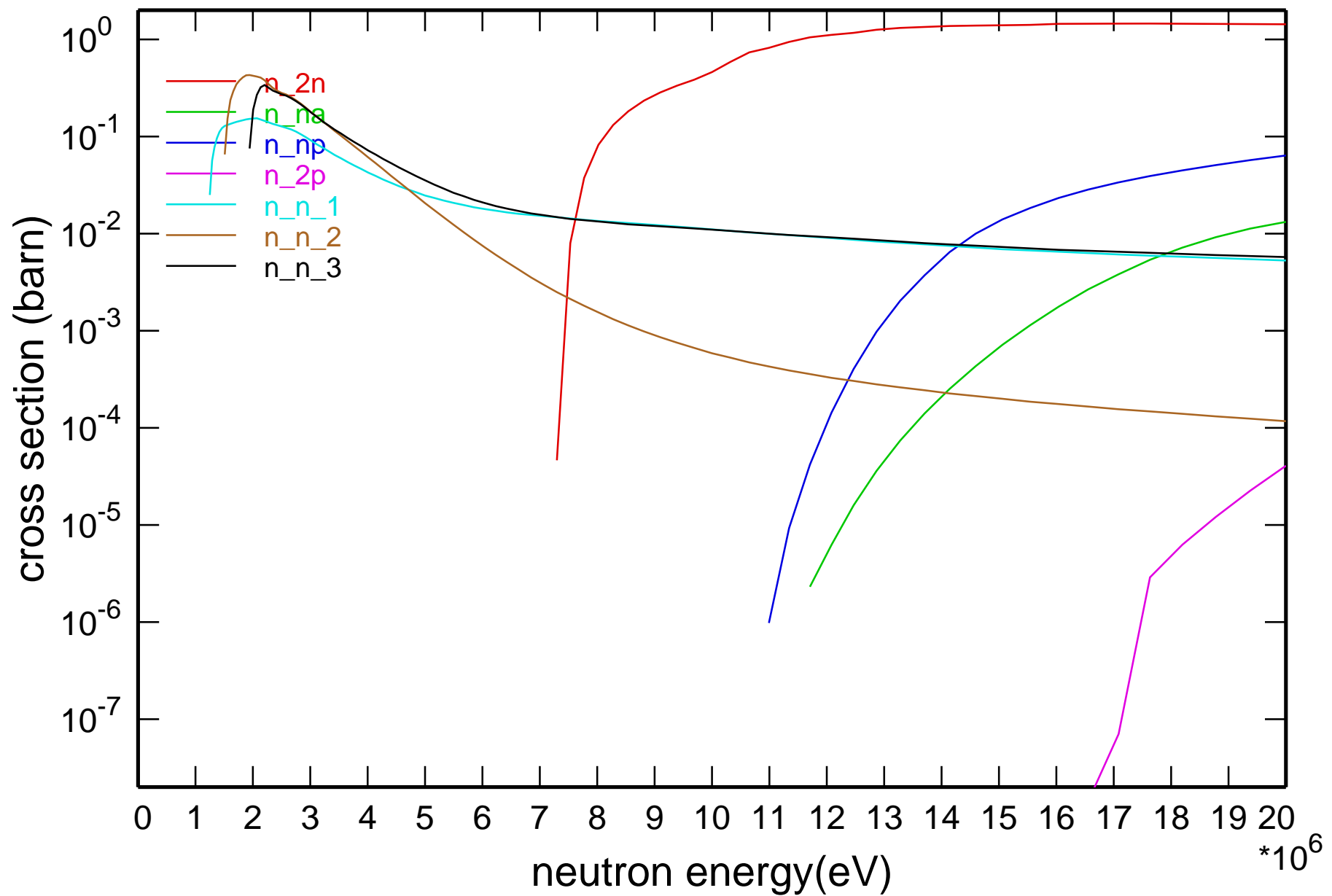


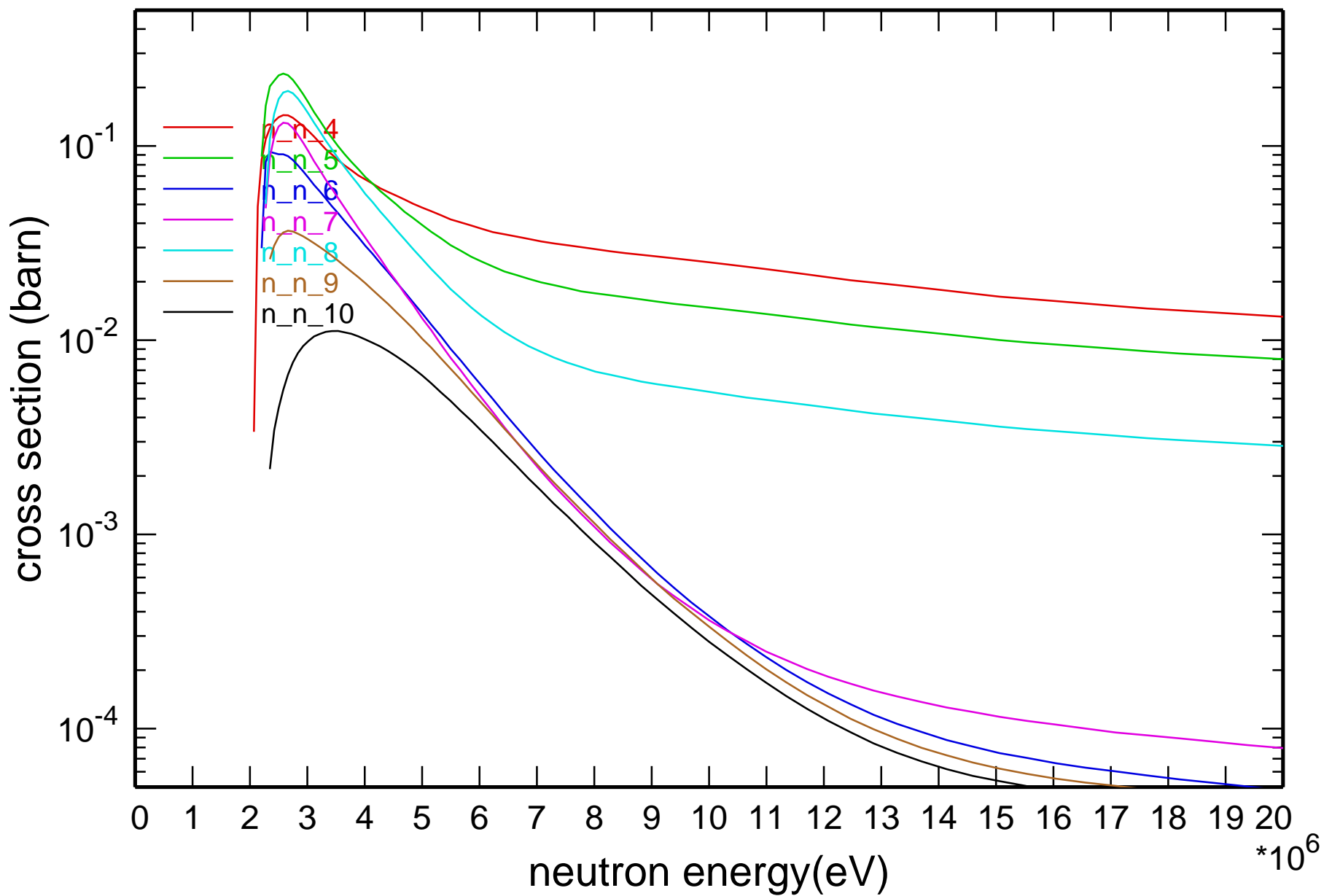
Main Cross Sections



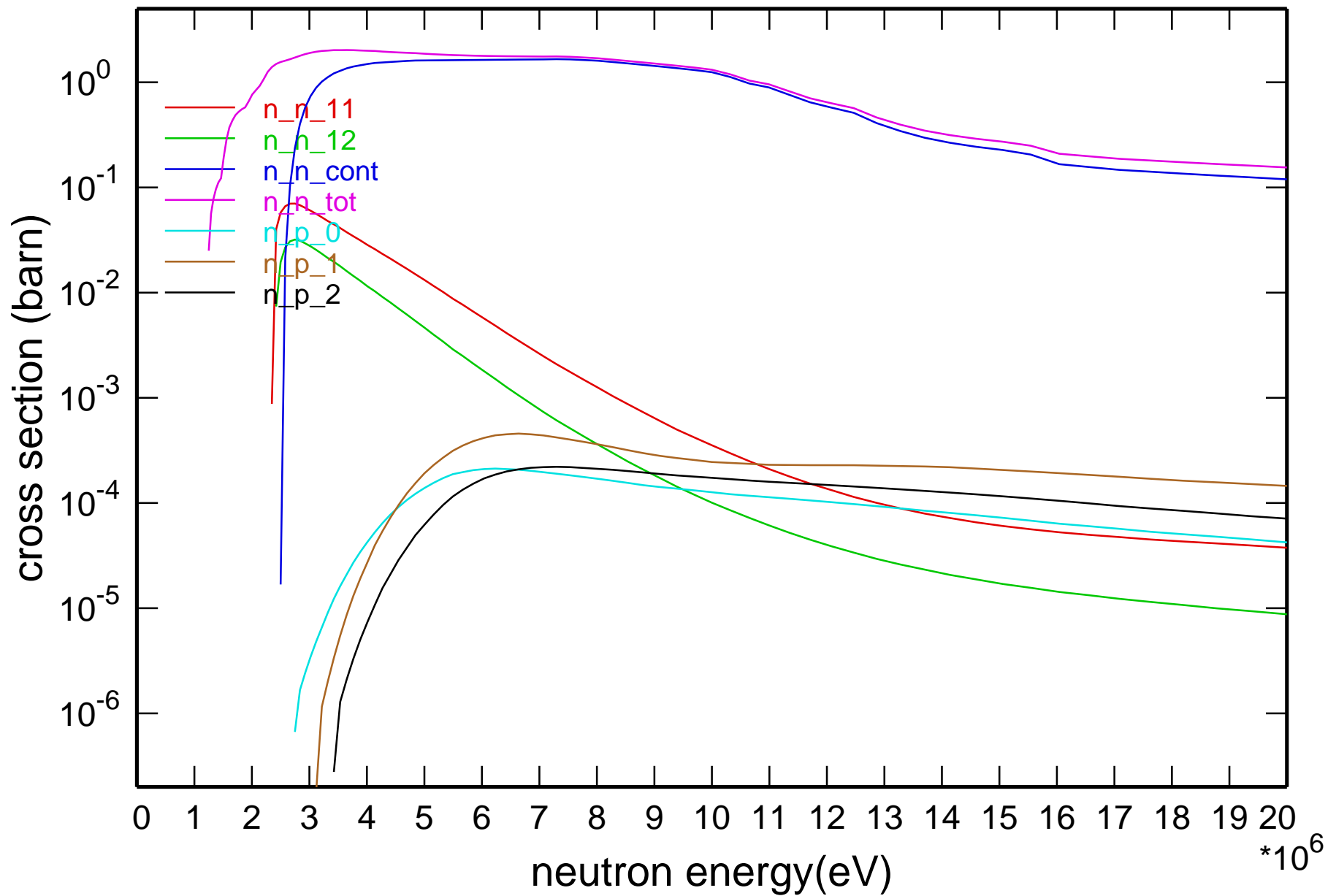
Cross Section



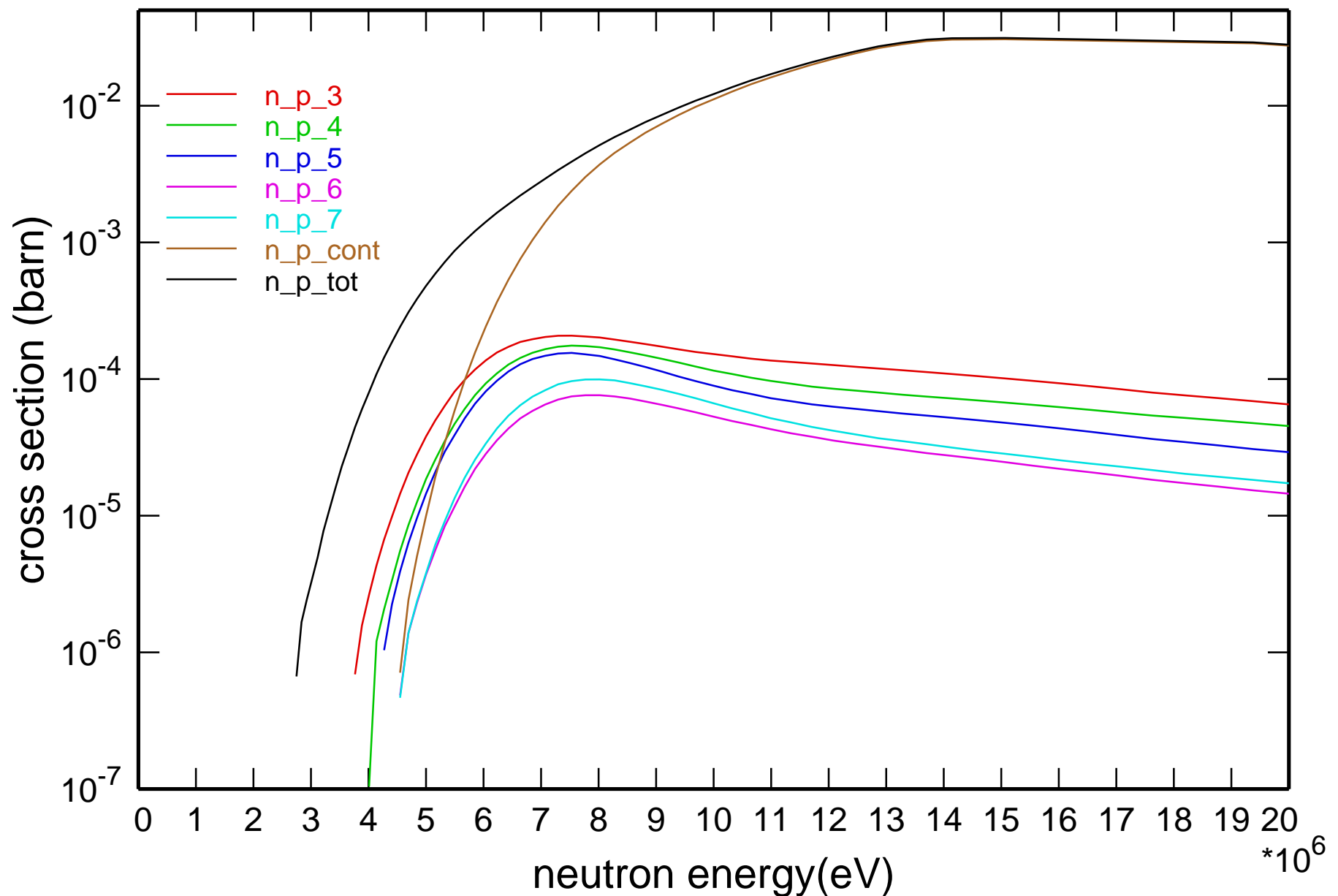
Cross Section



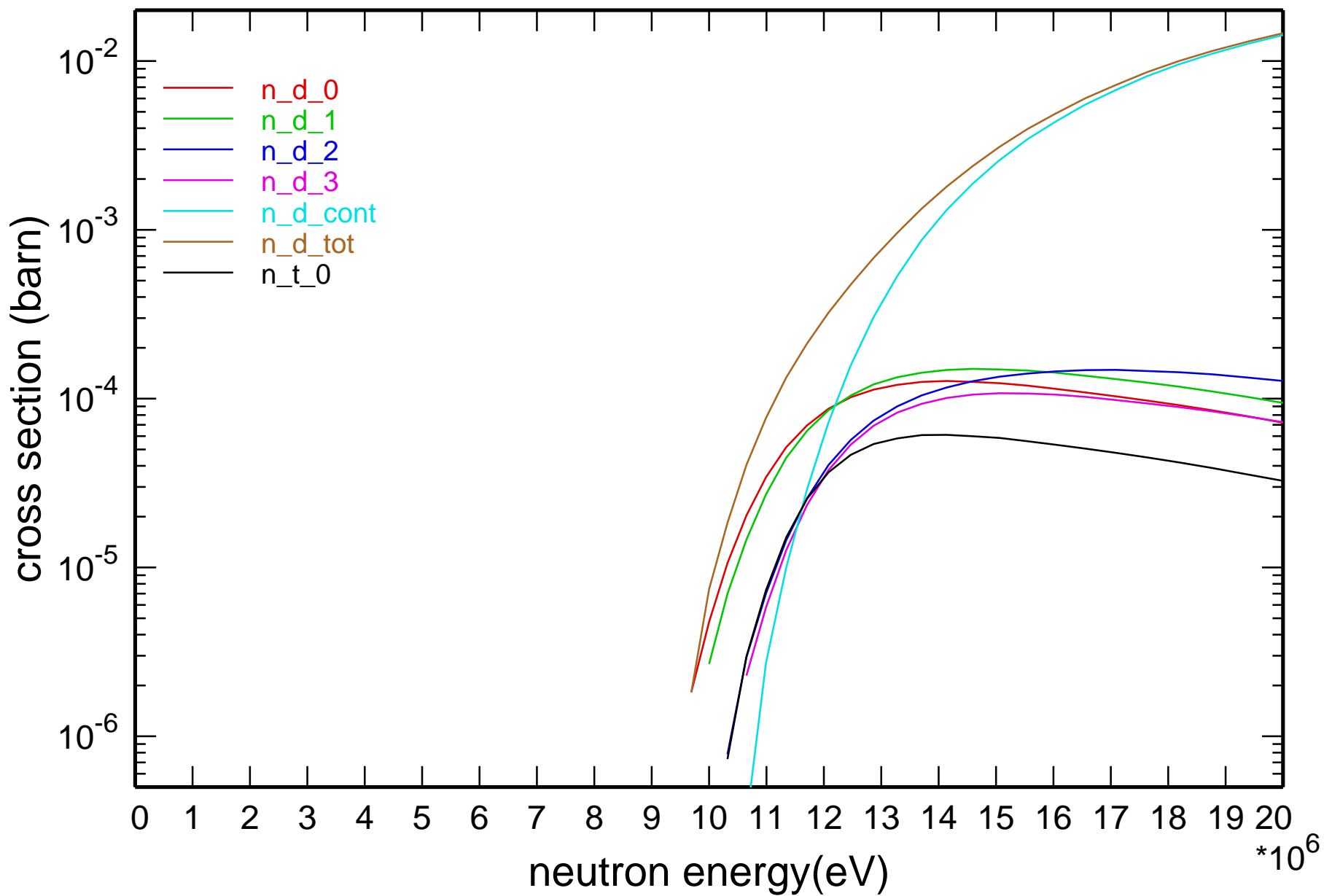
Cross Section



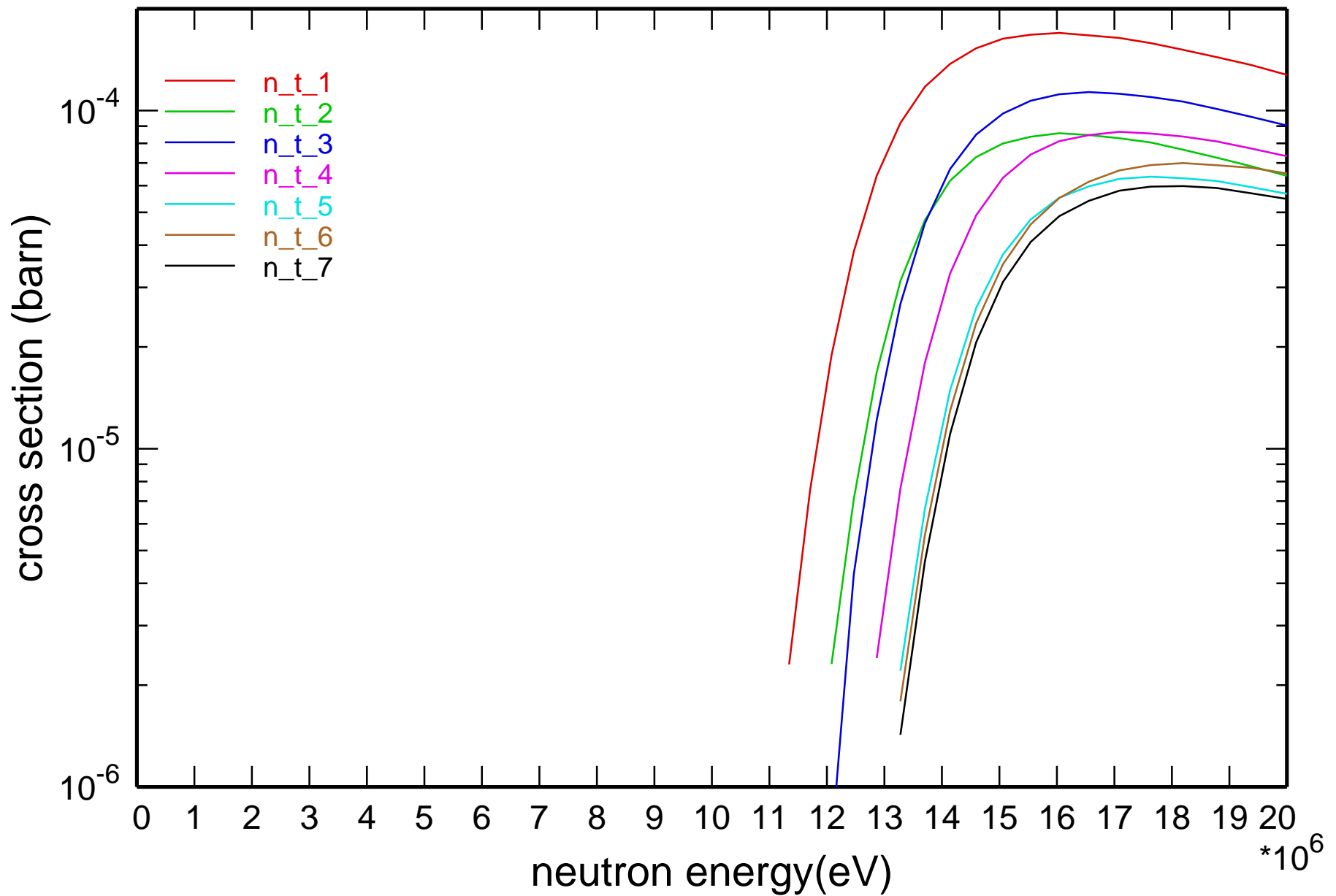
Cross Section

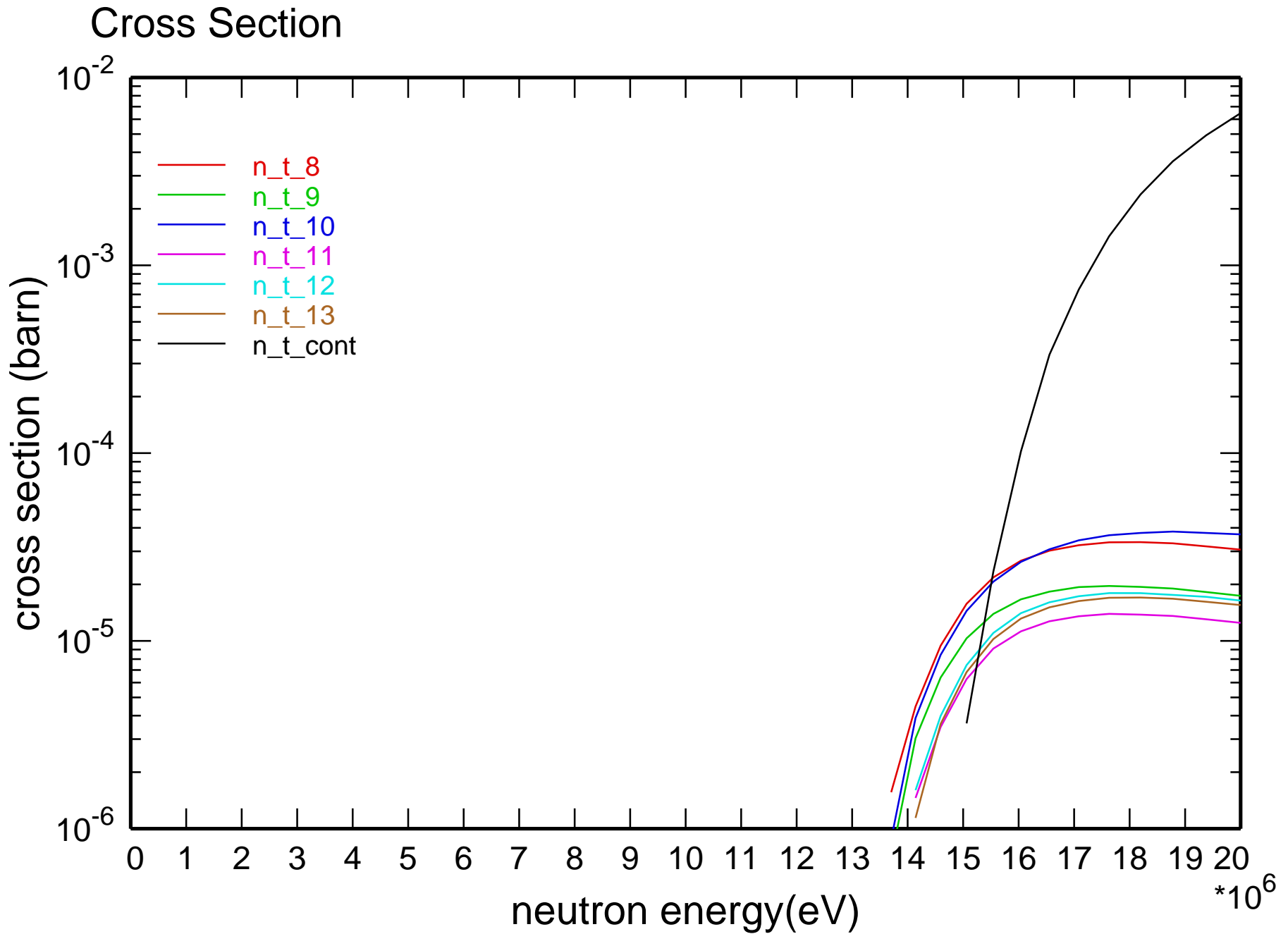


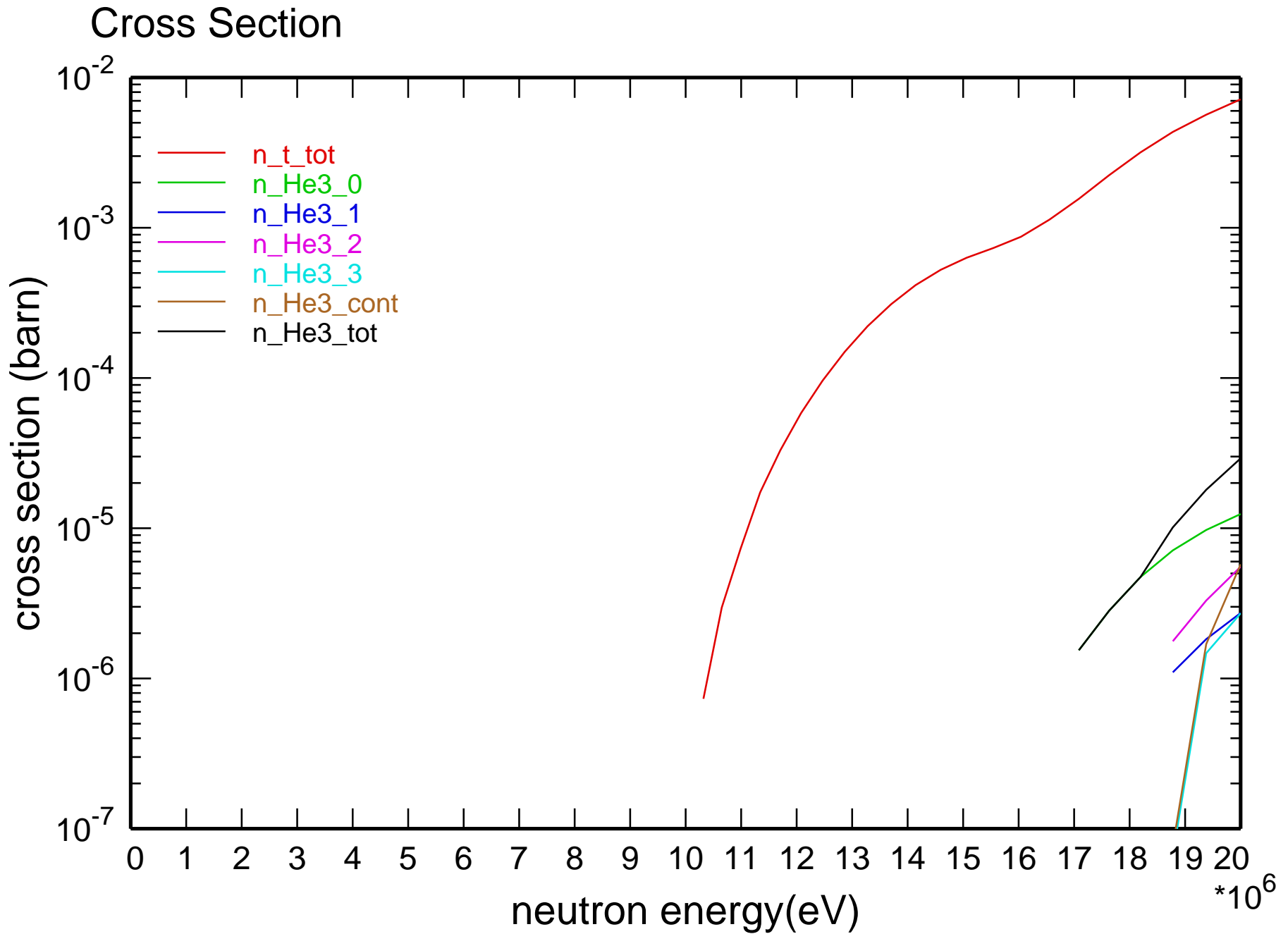
Cross Section



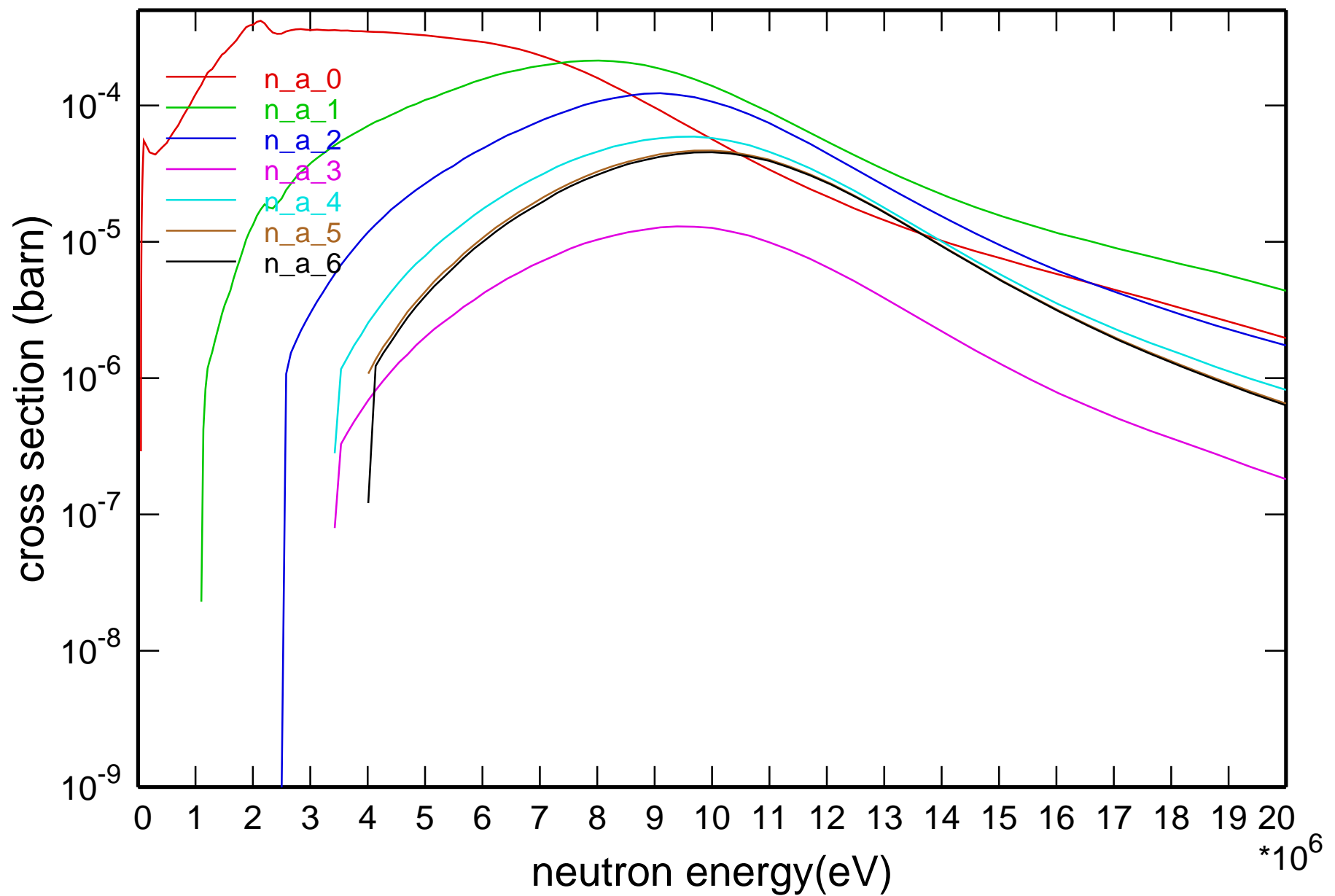
Cross Section



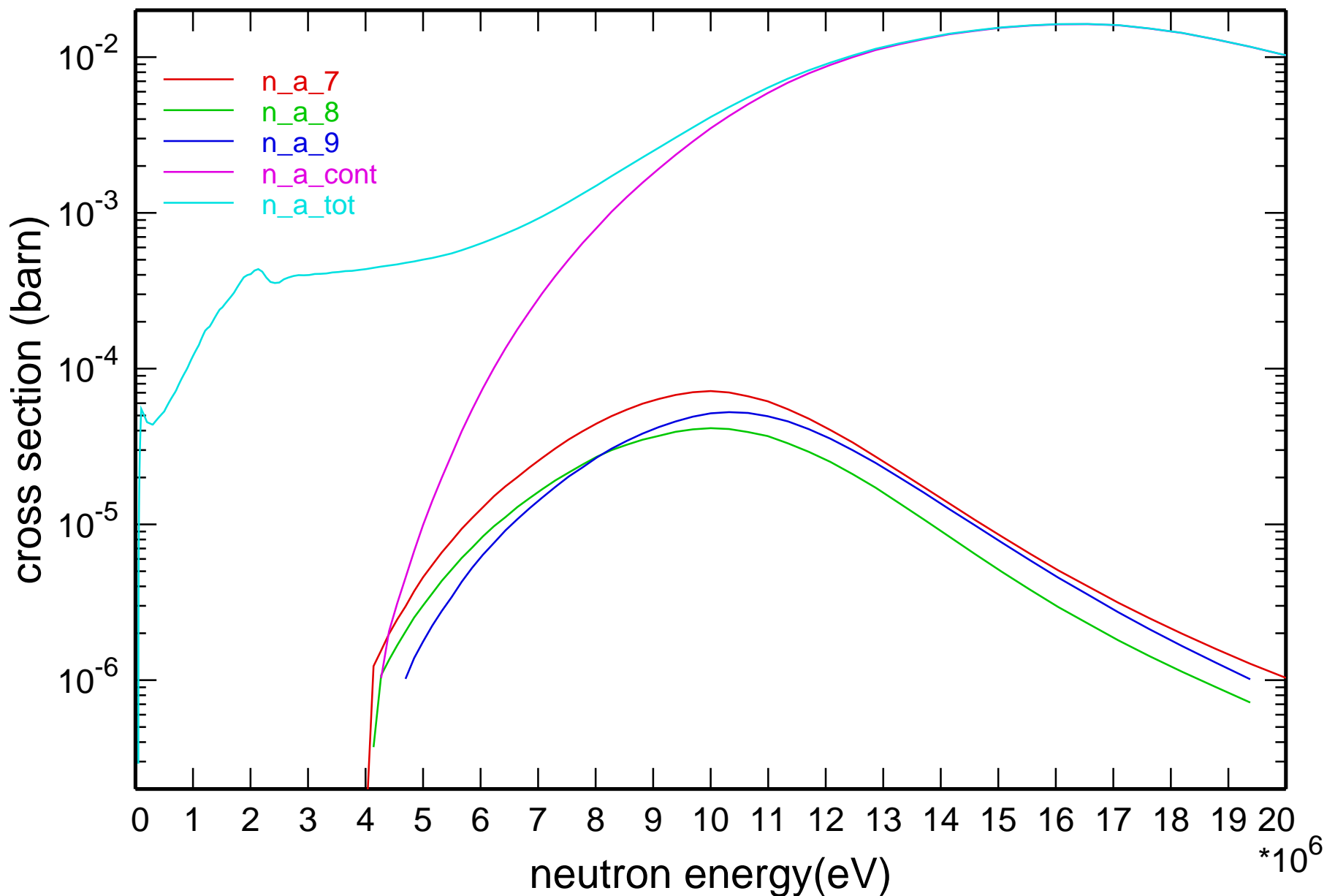


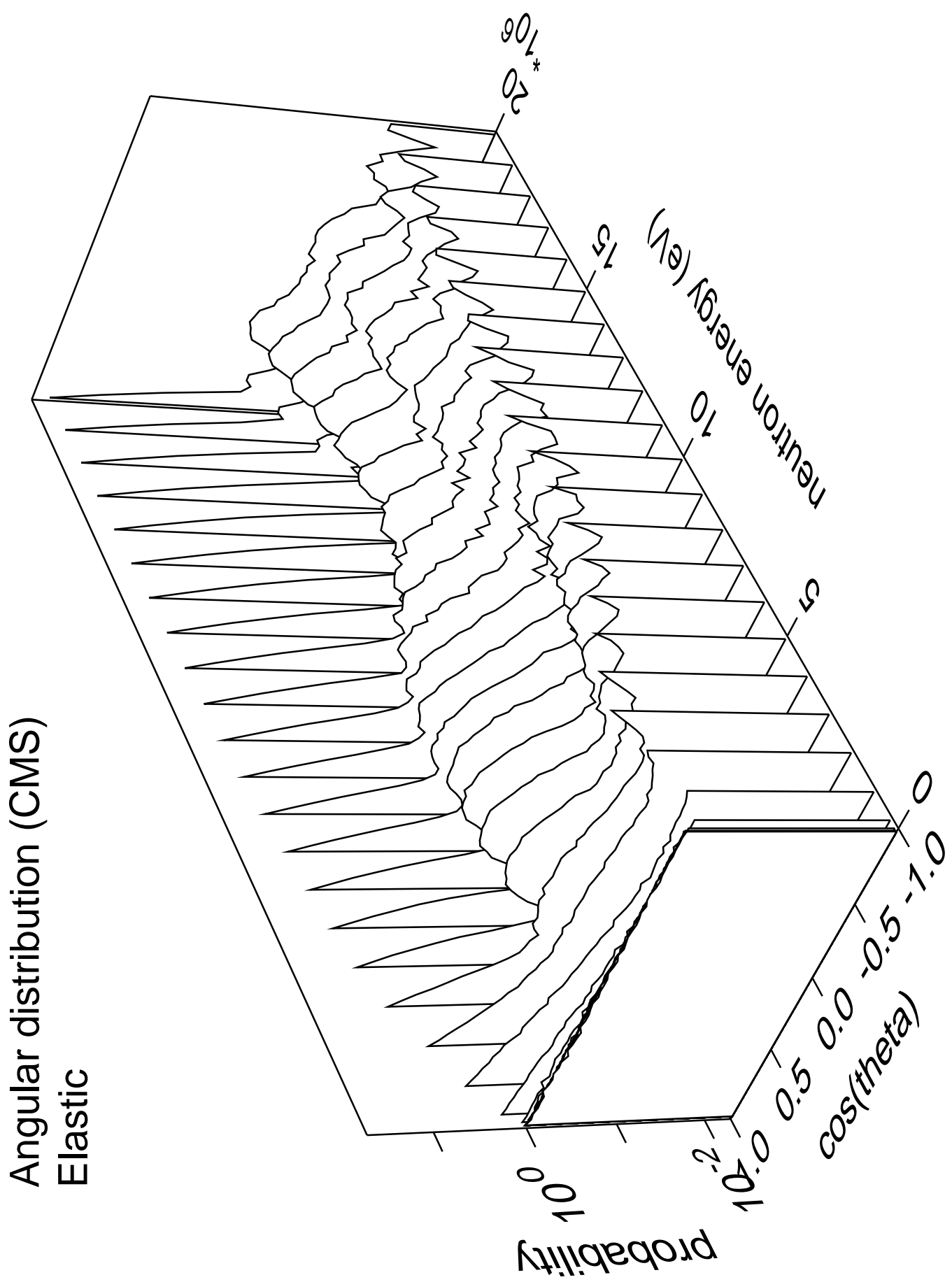


Cross Section

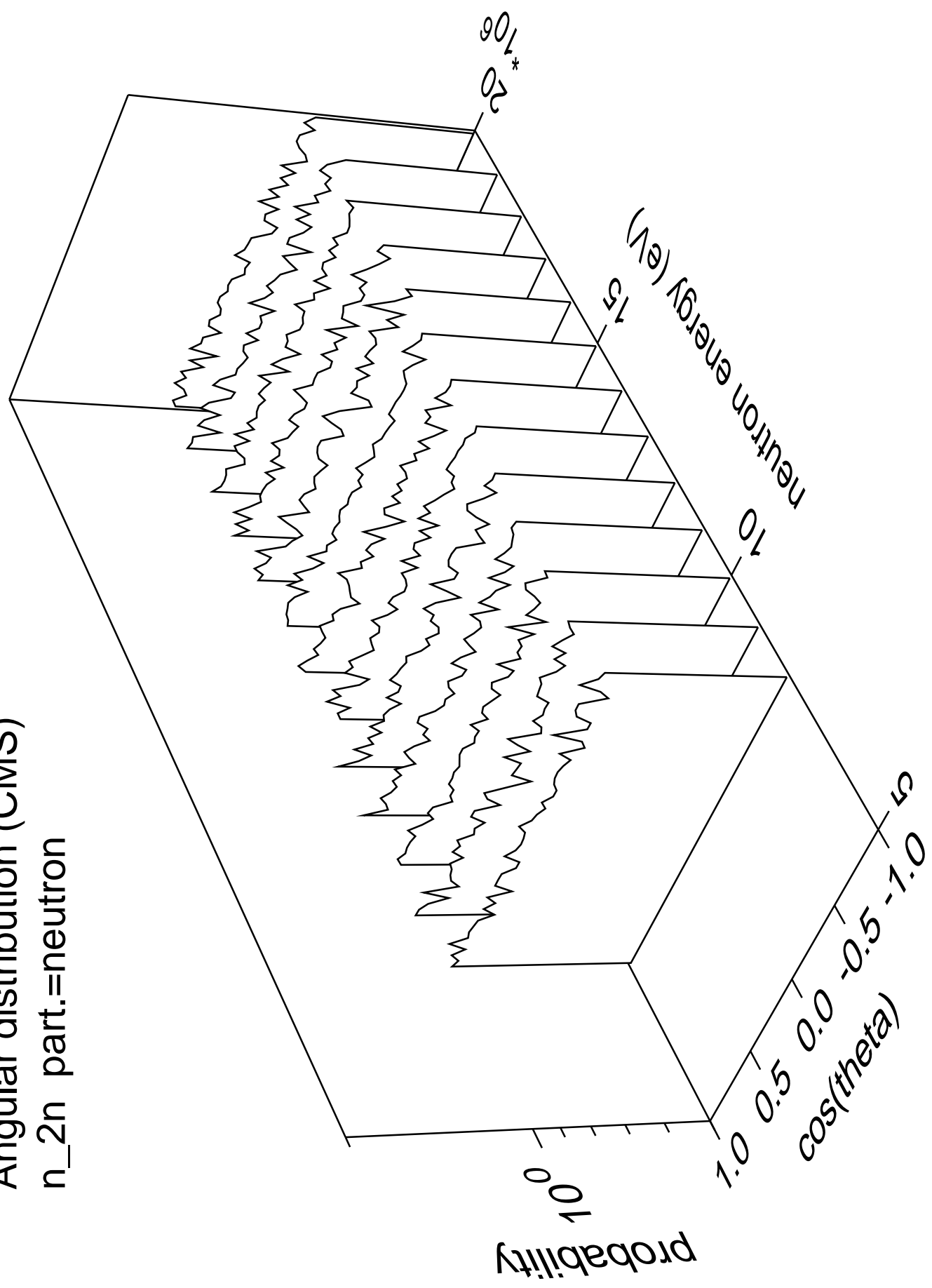


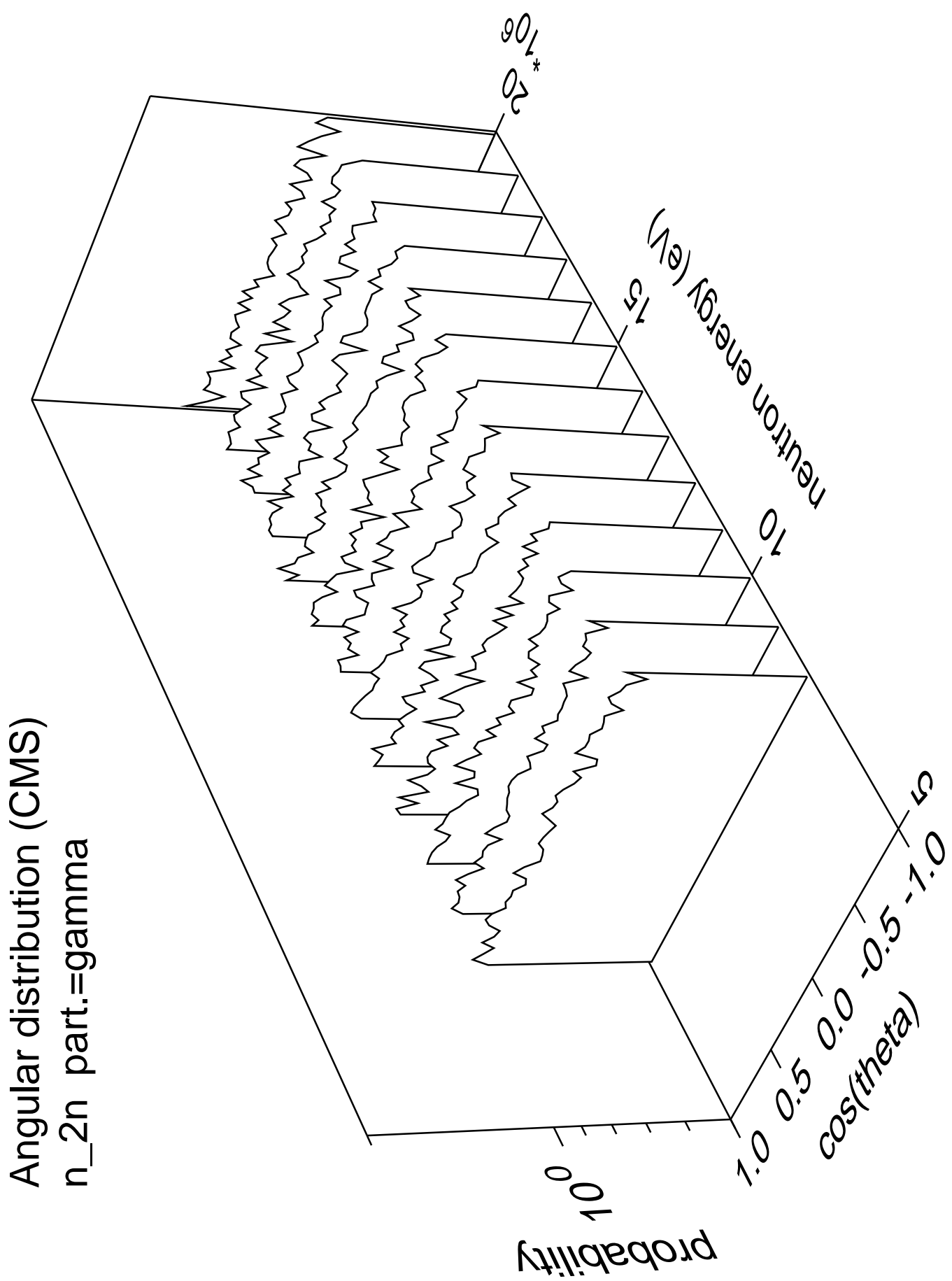
Cross Section



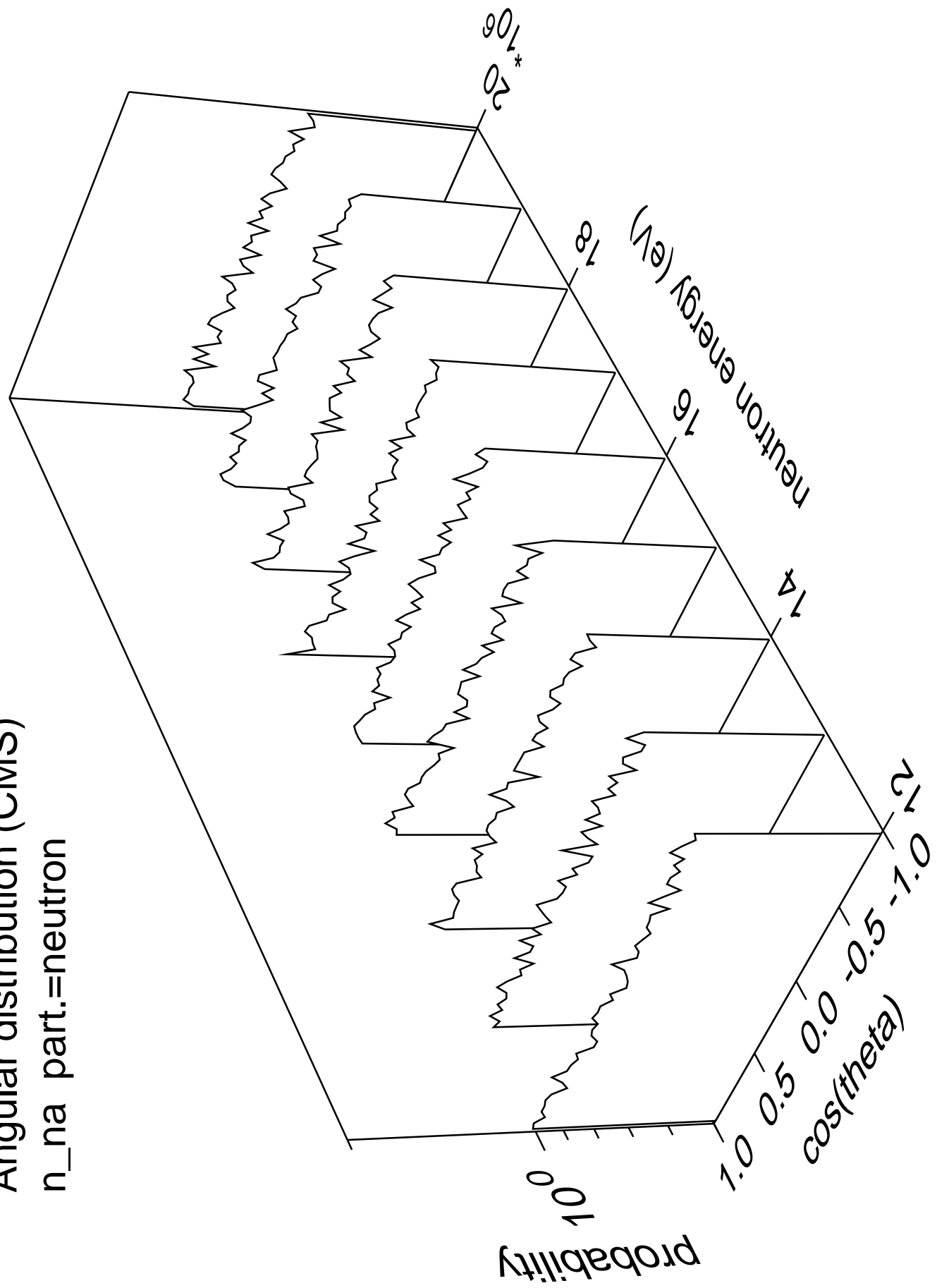


Angular distribution (CMS)
 n_{2n} part.=neutron

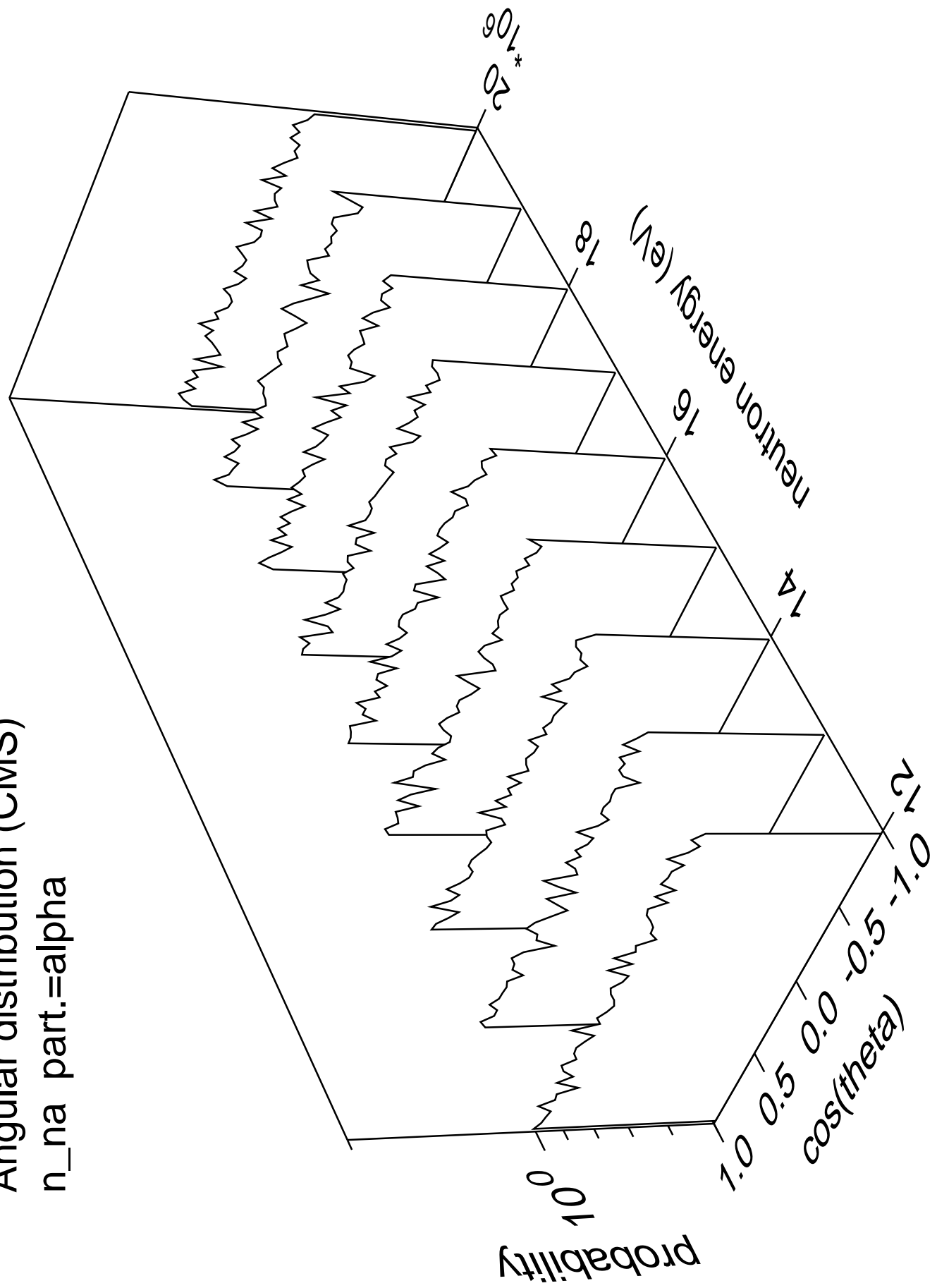




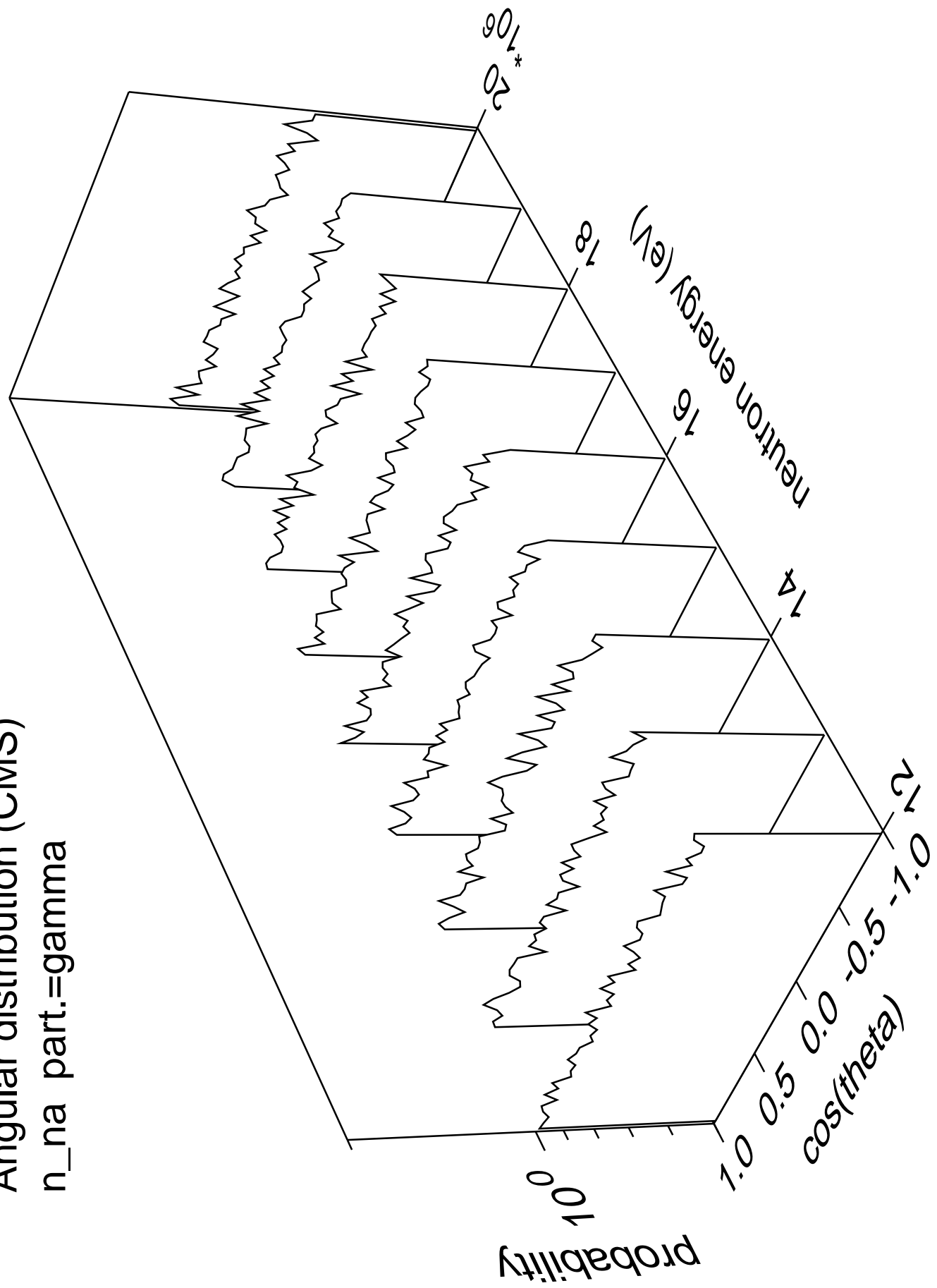
Angular distribution (CMS)
 n_{na} part.=neutron



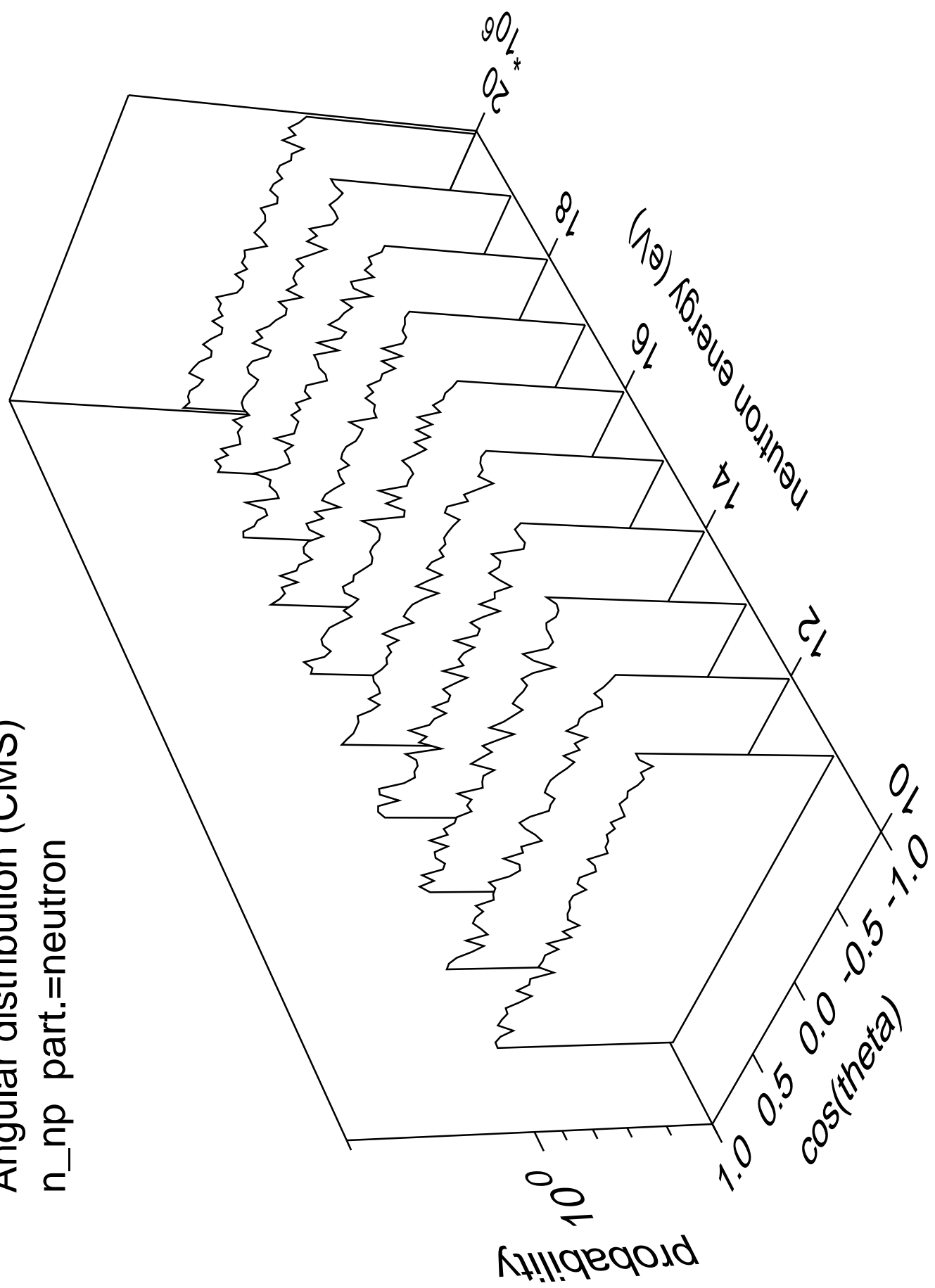
Angular distribution (CMS)
 n_{na} part.=alpha



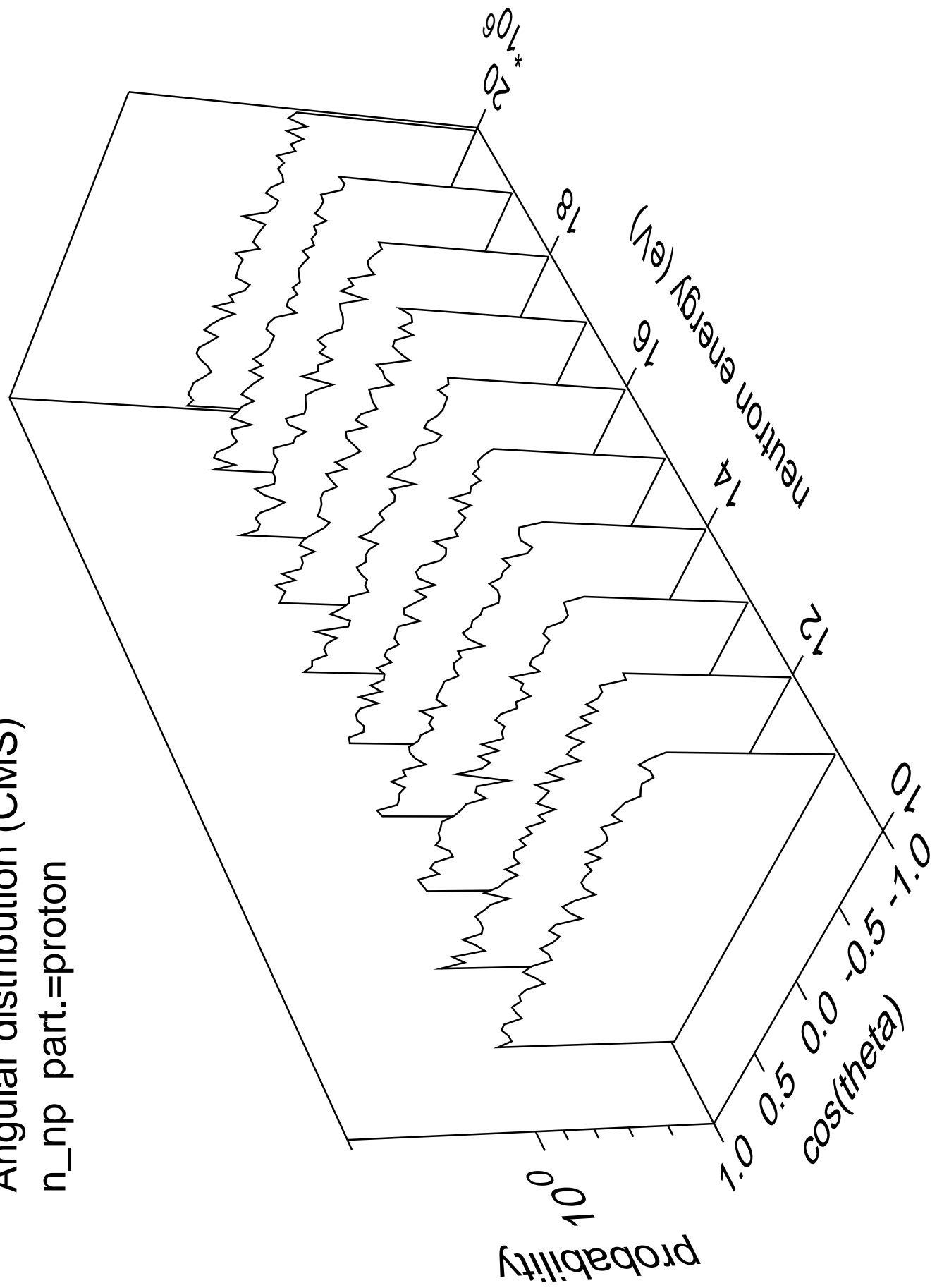
Angular distribution (CMS)
 n_{na} part.=gamma



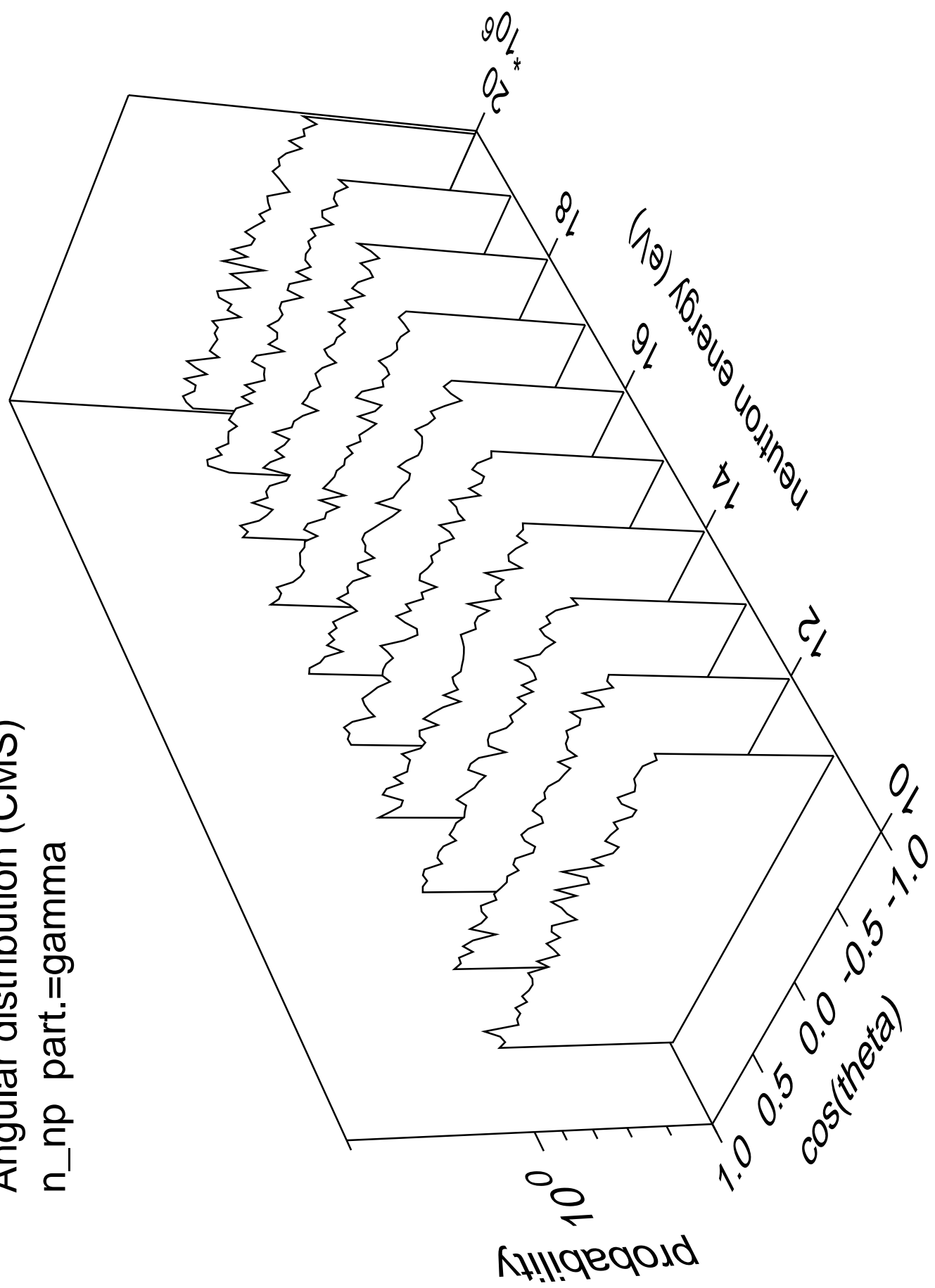
Angular distribution (CMS)
 n_{np} part.=neutron

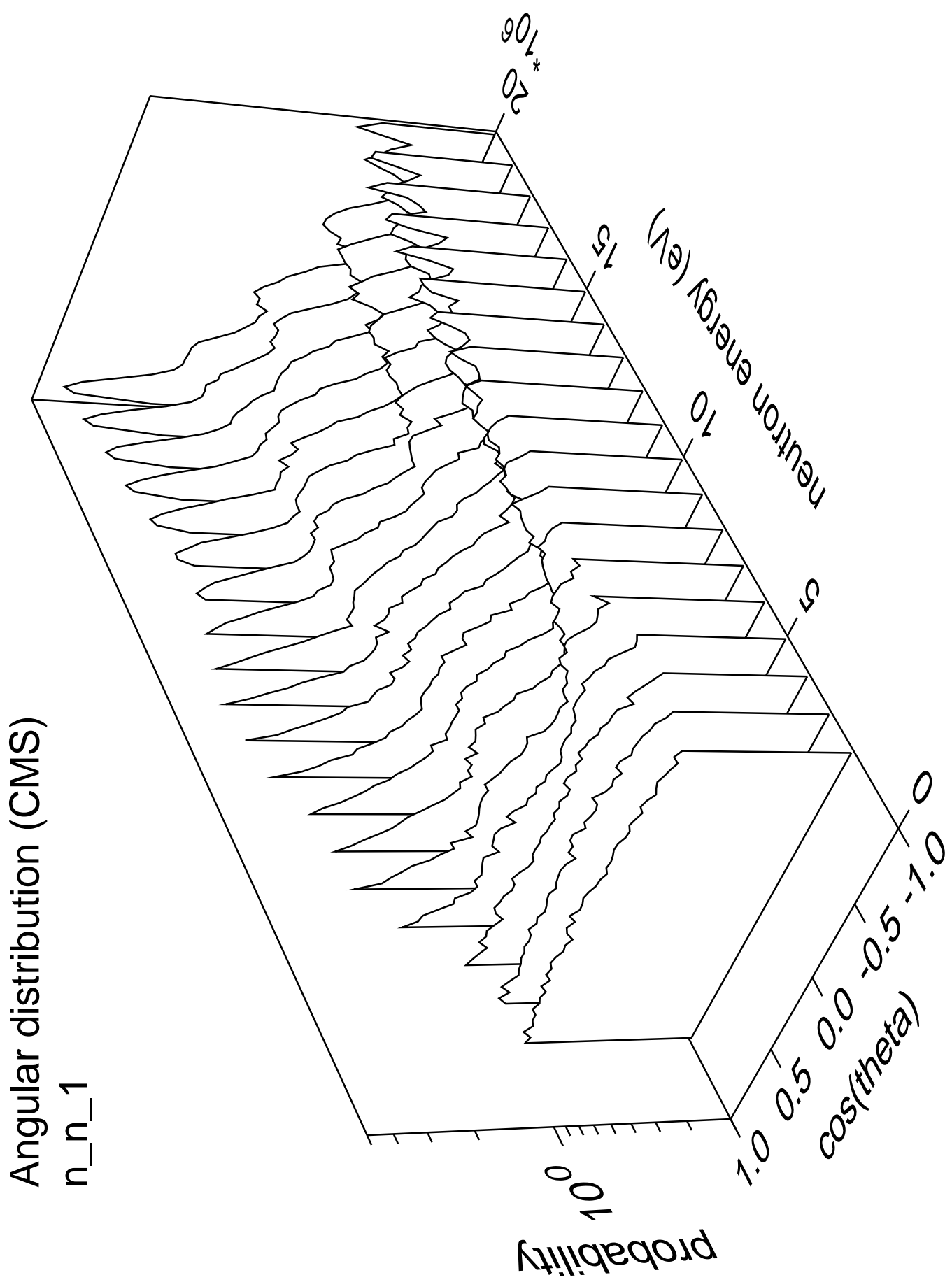


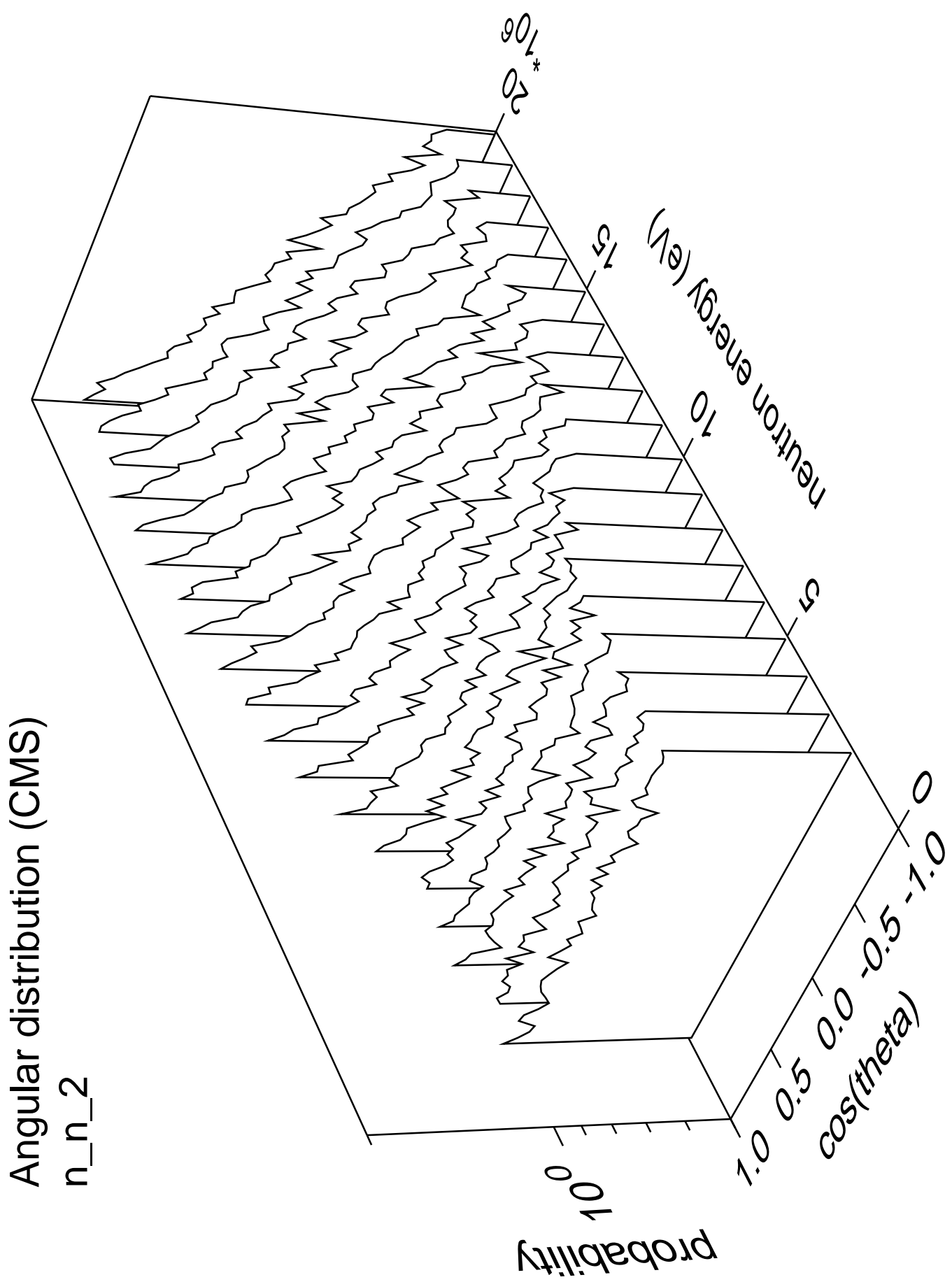
Angular distribution (CMS)
 n_{np} part.=proton

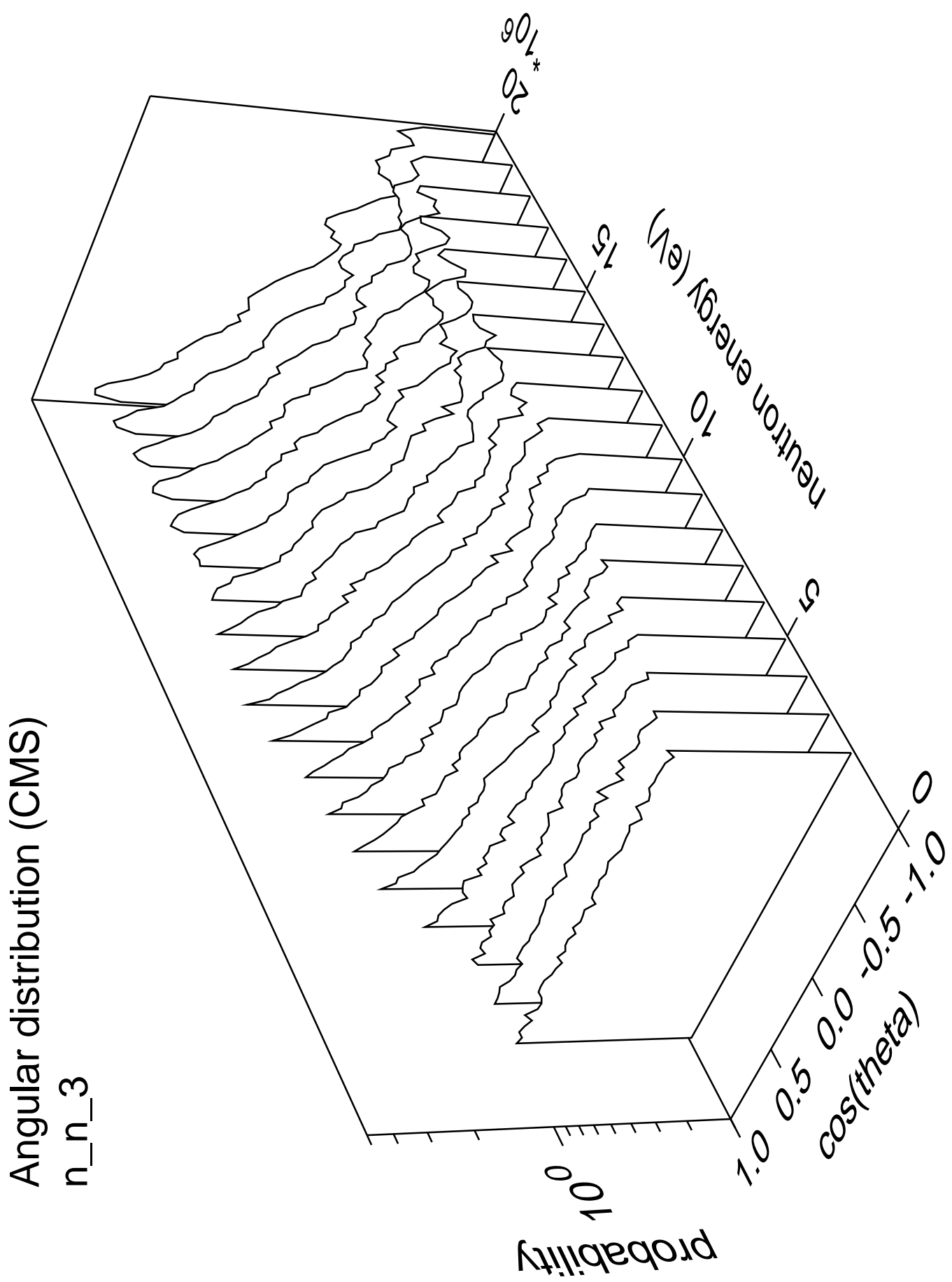


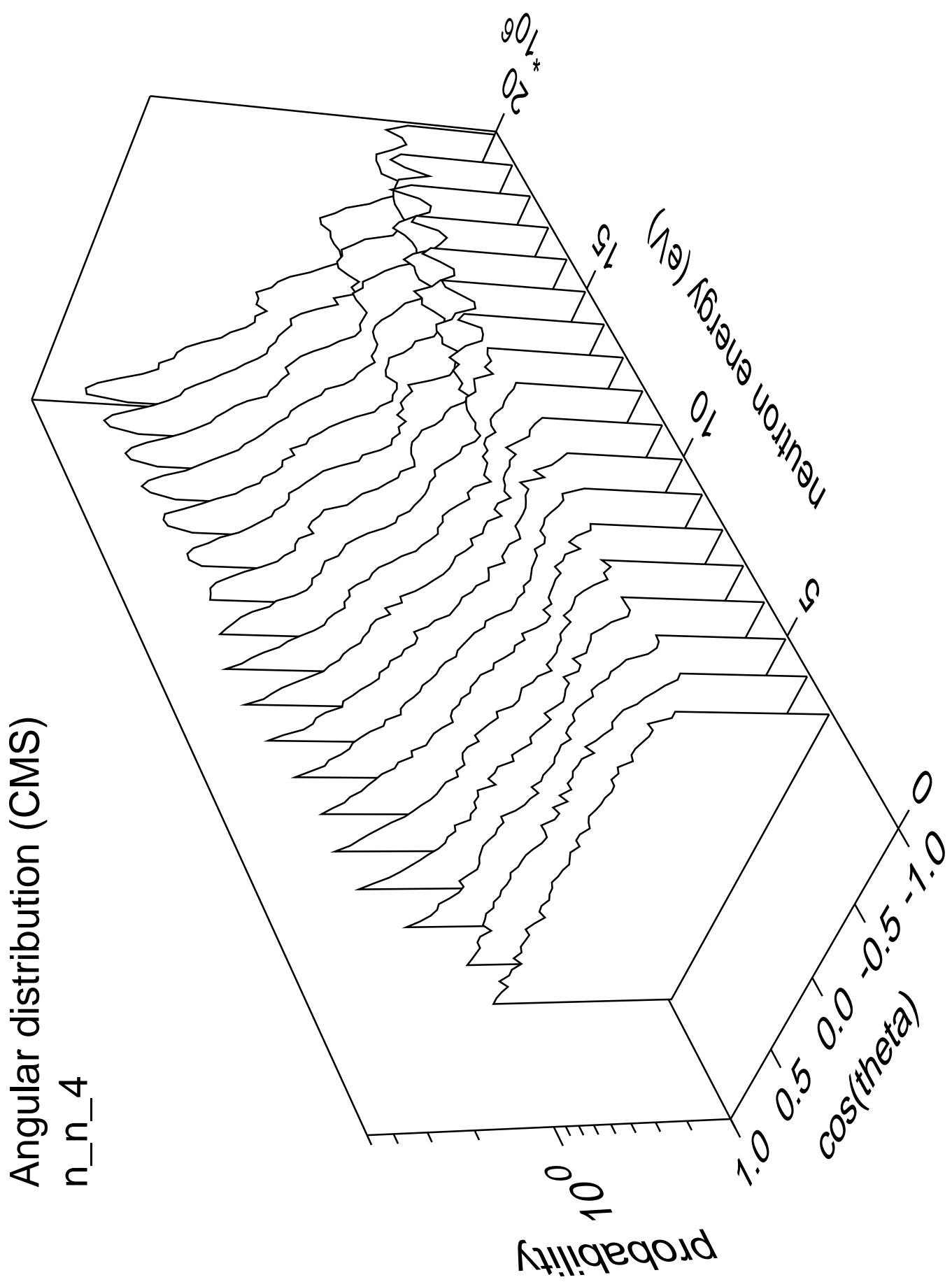
Angular distribution (CMS)
 n_{np} part.=gamma

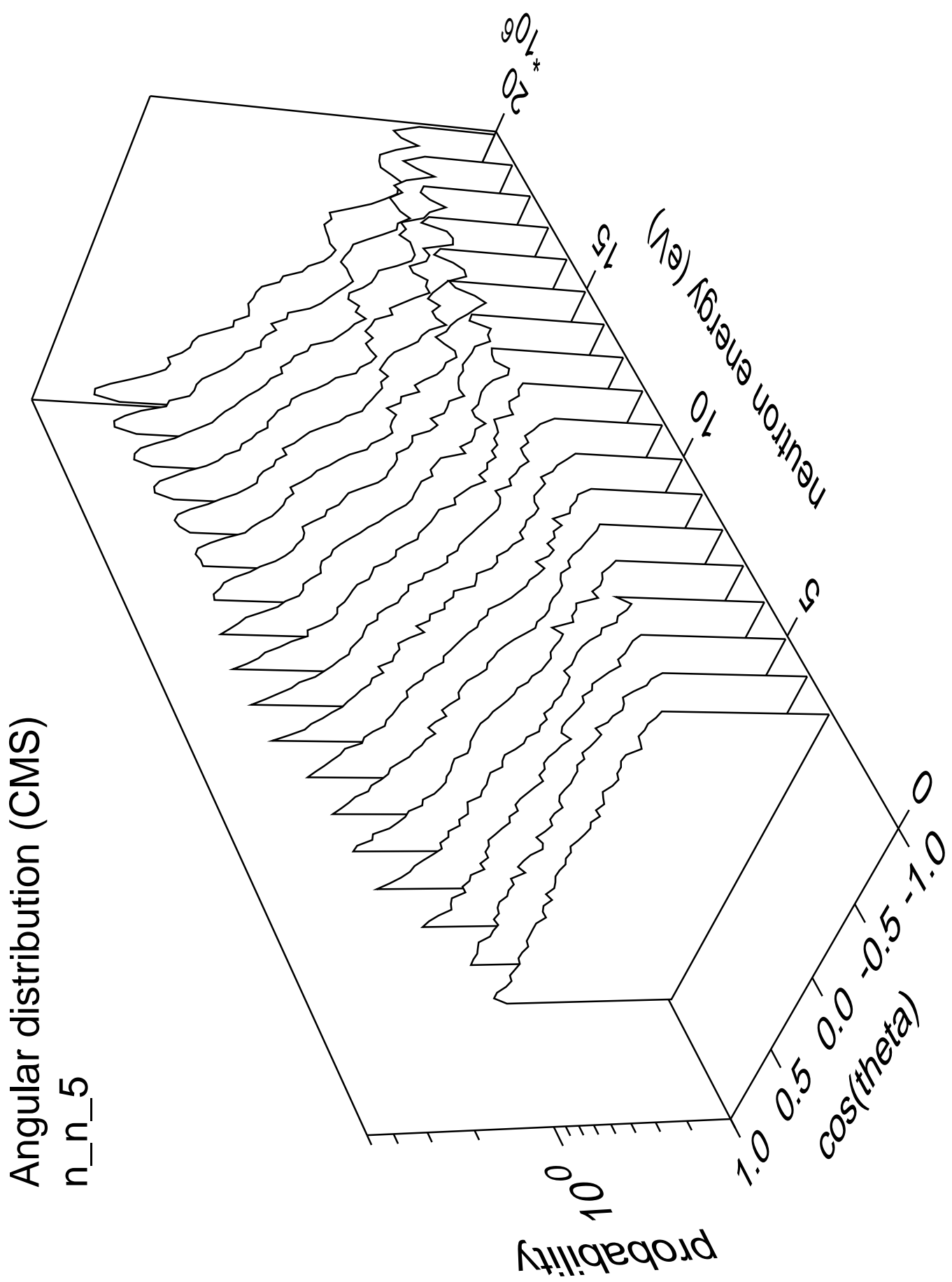


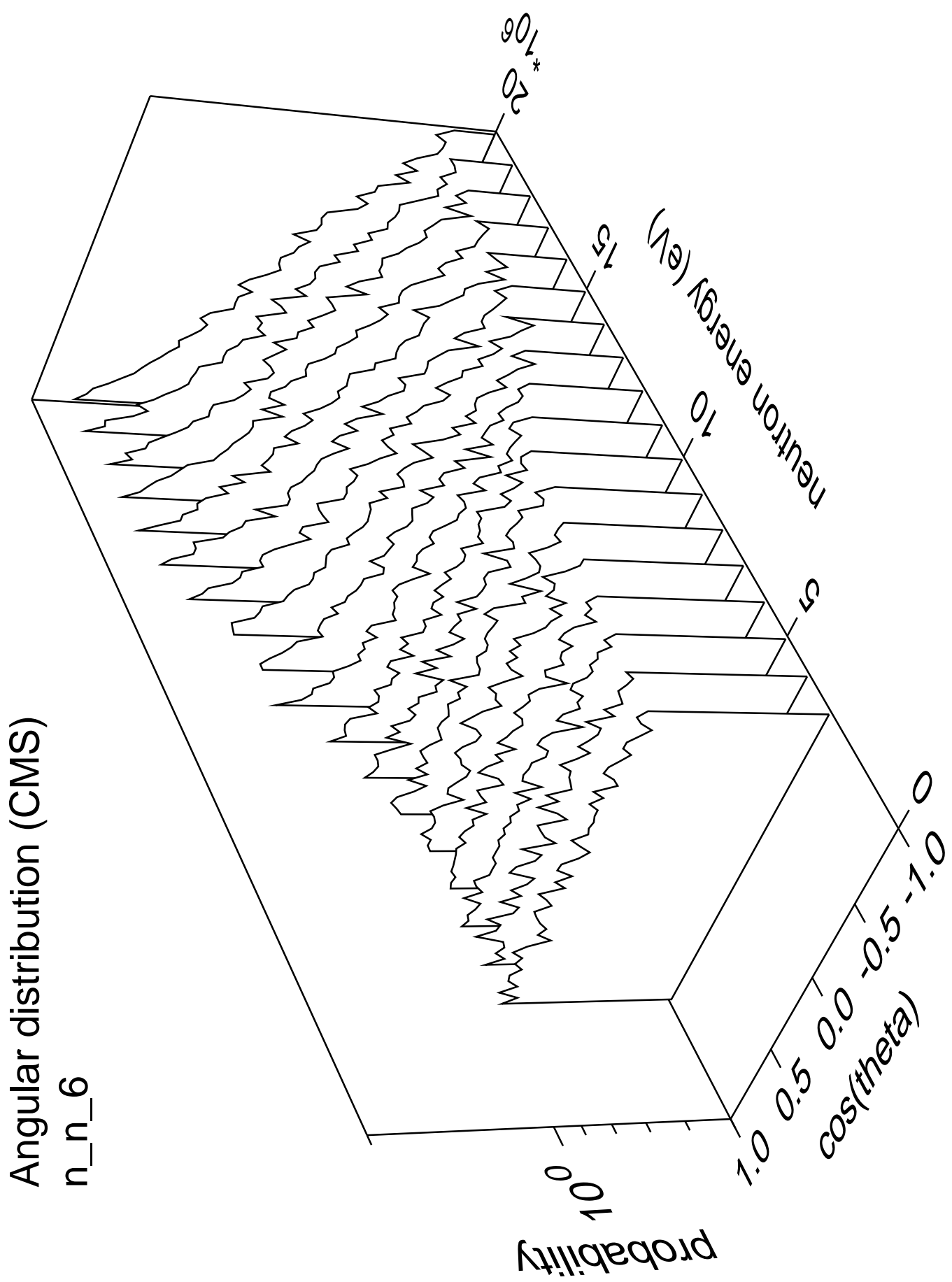


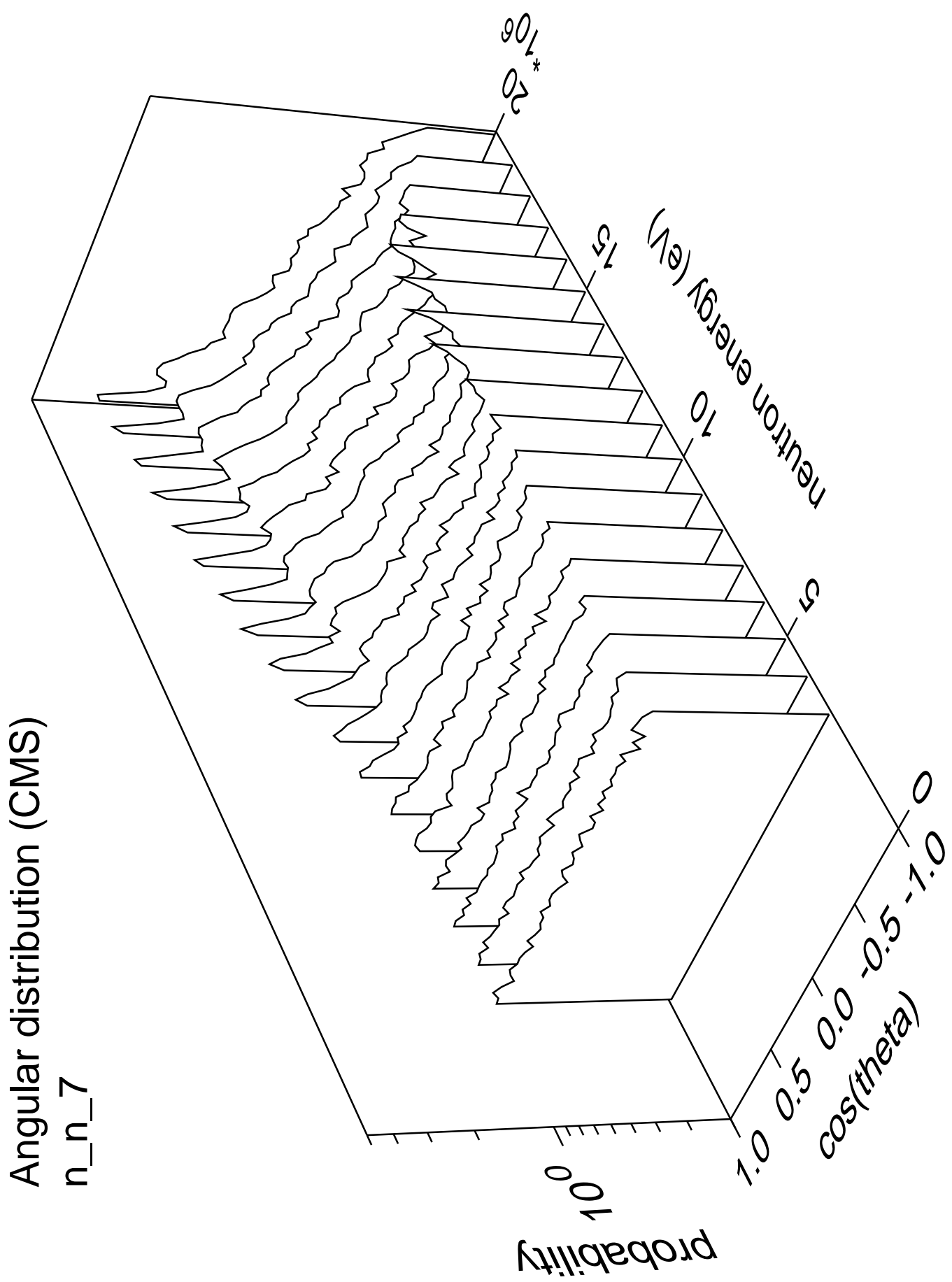


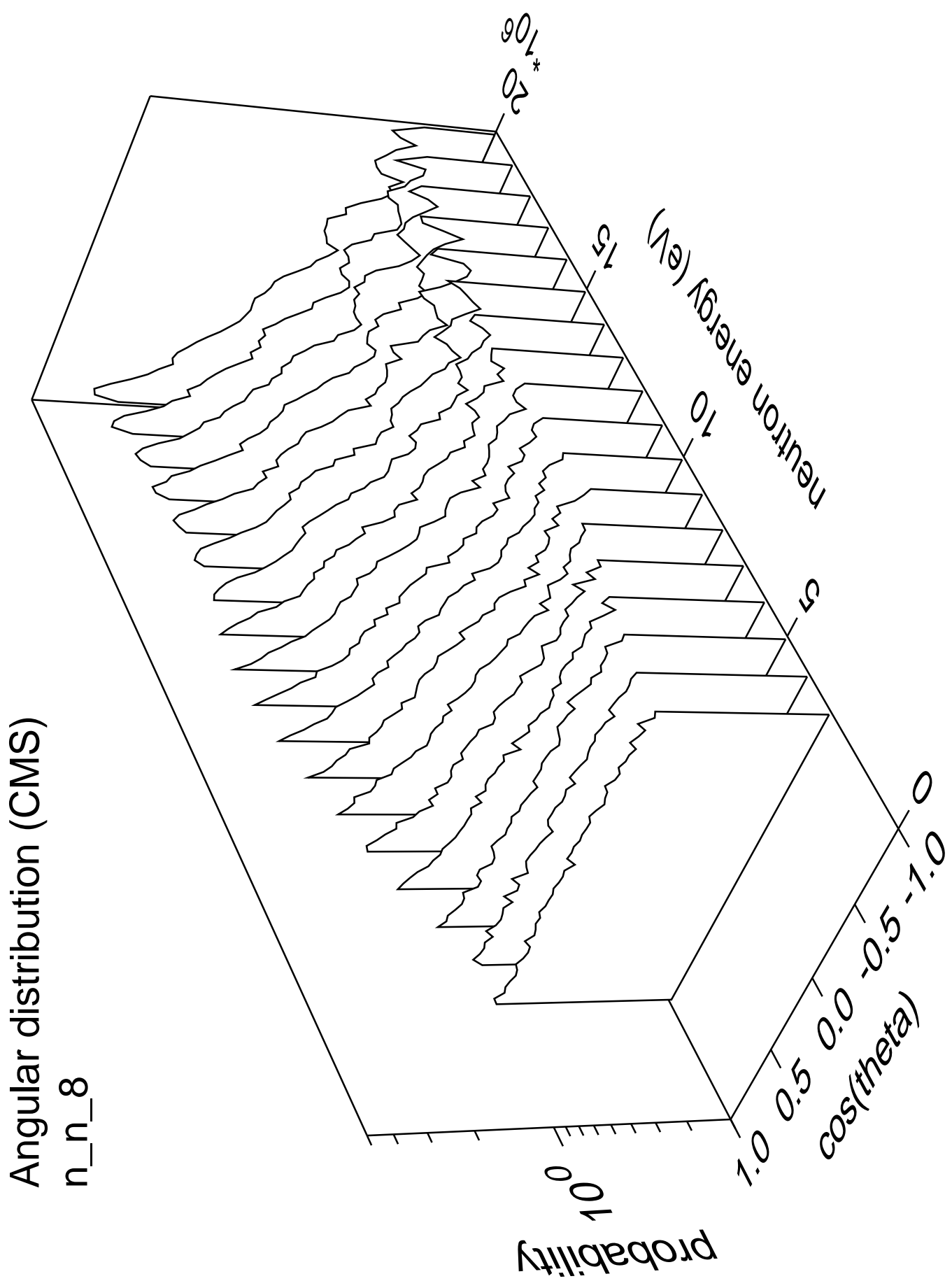


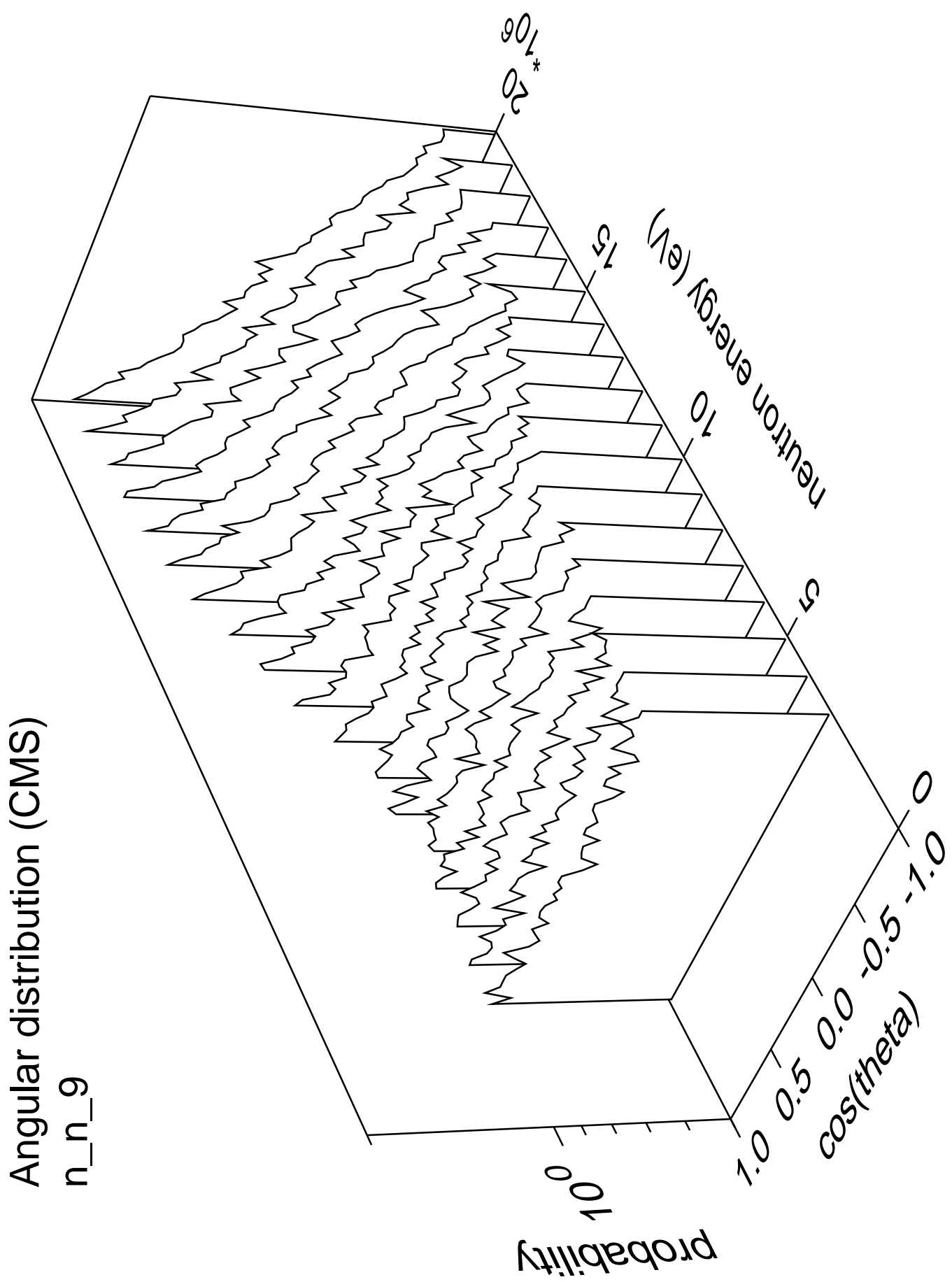


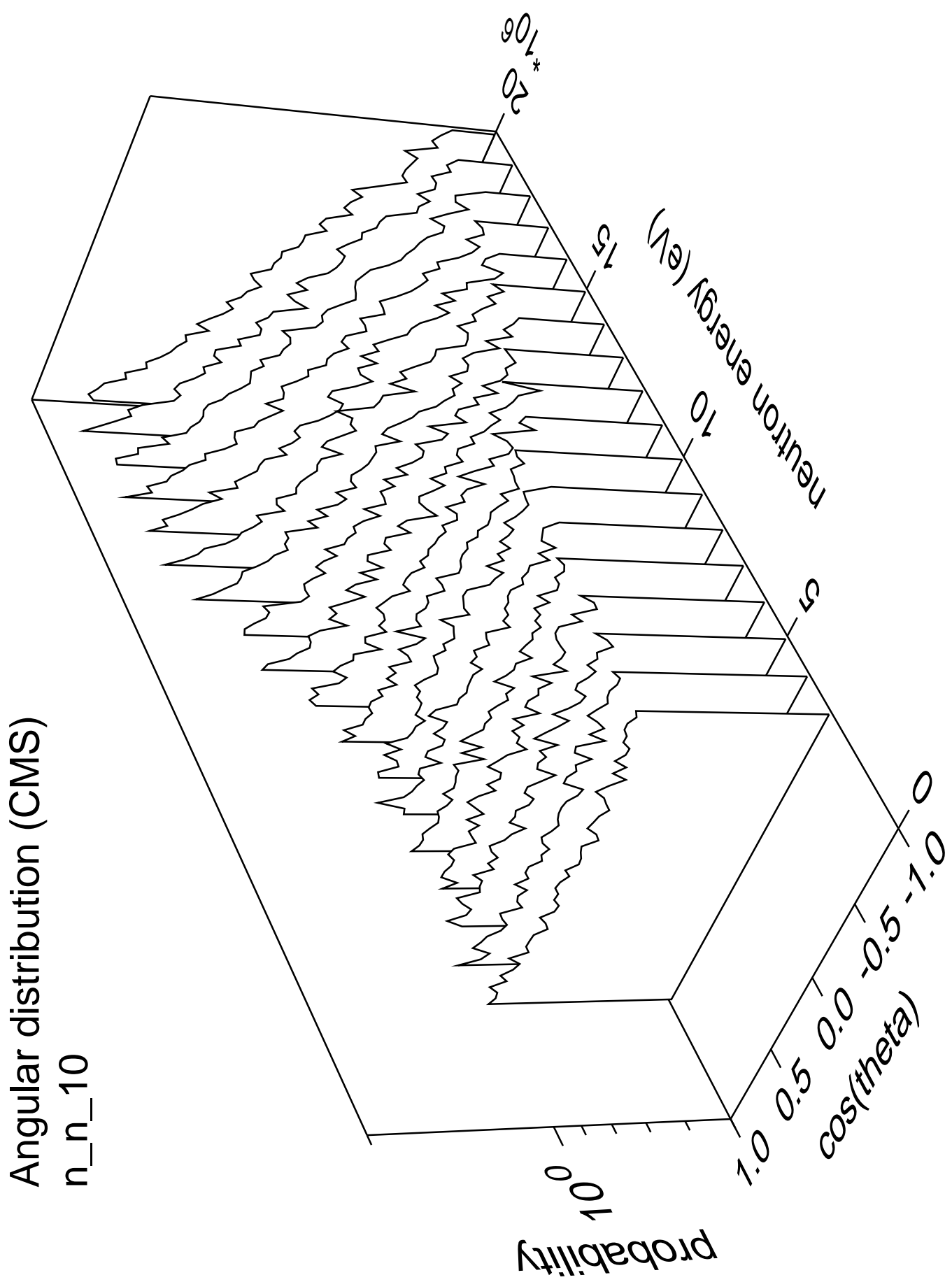


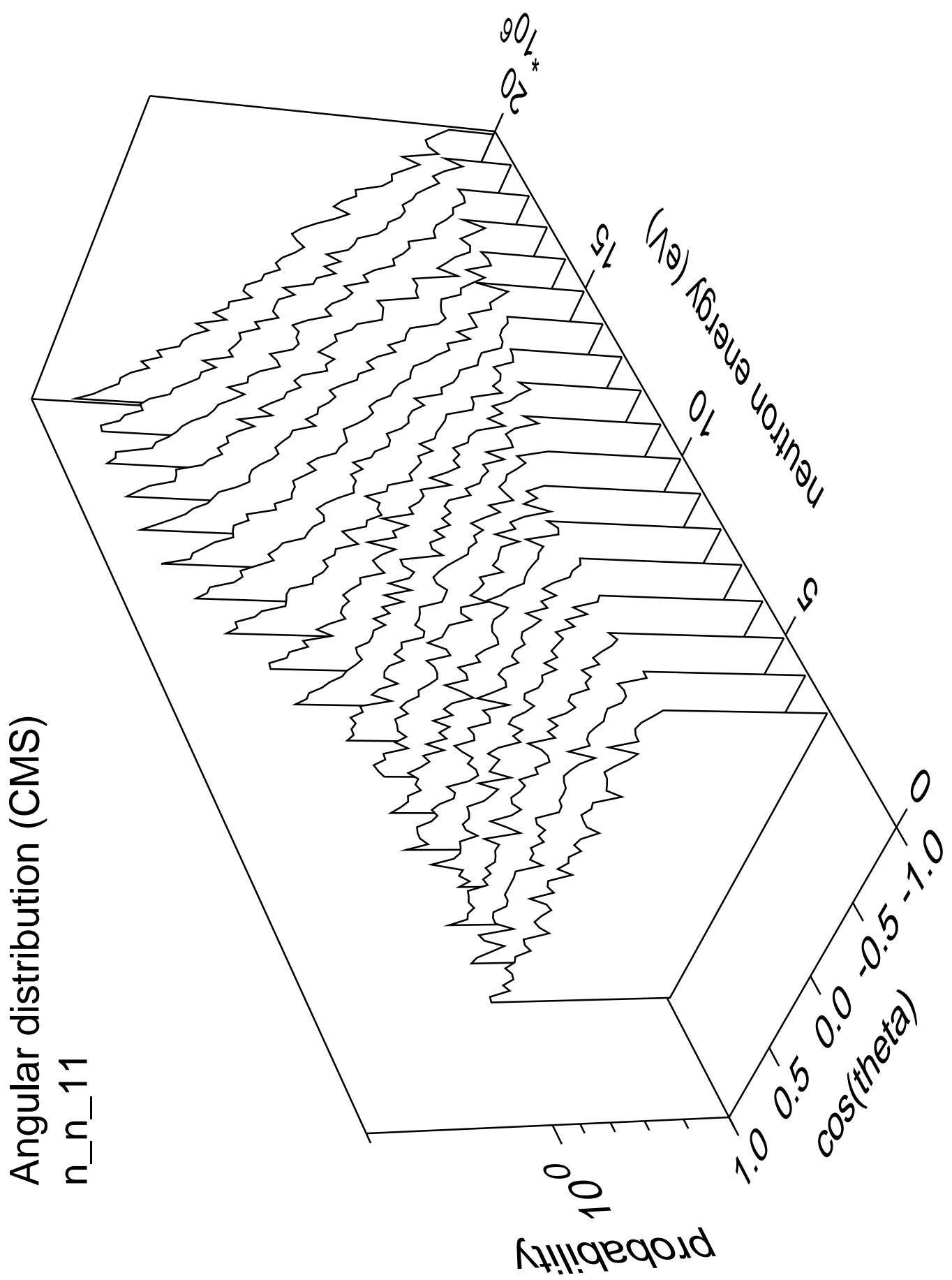


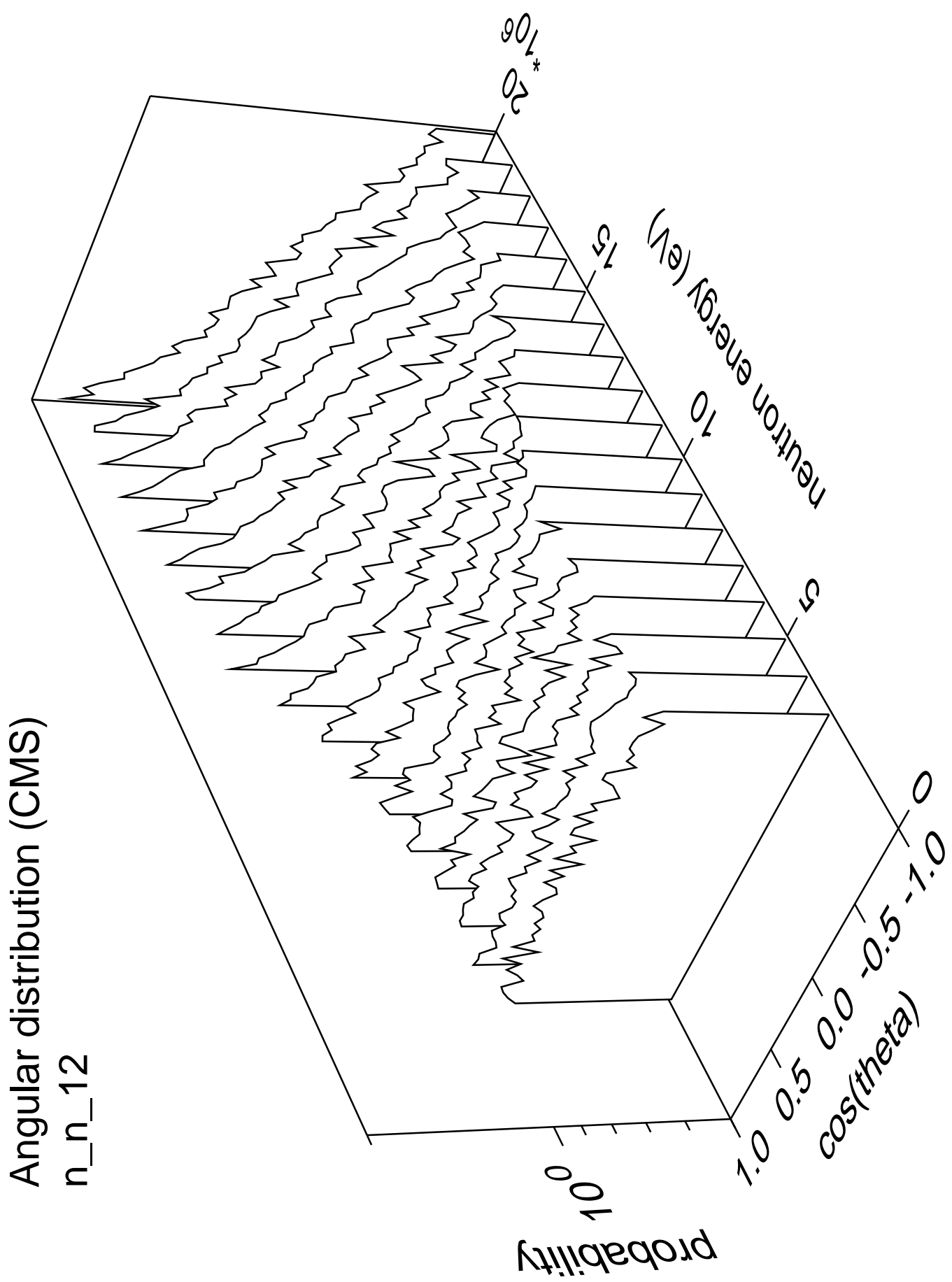




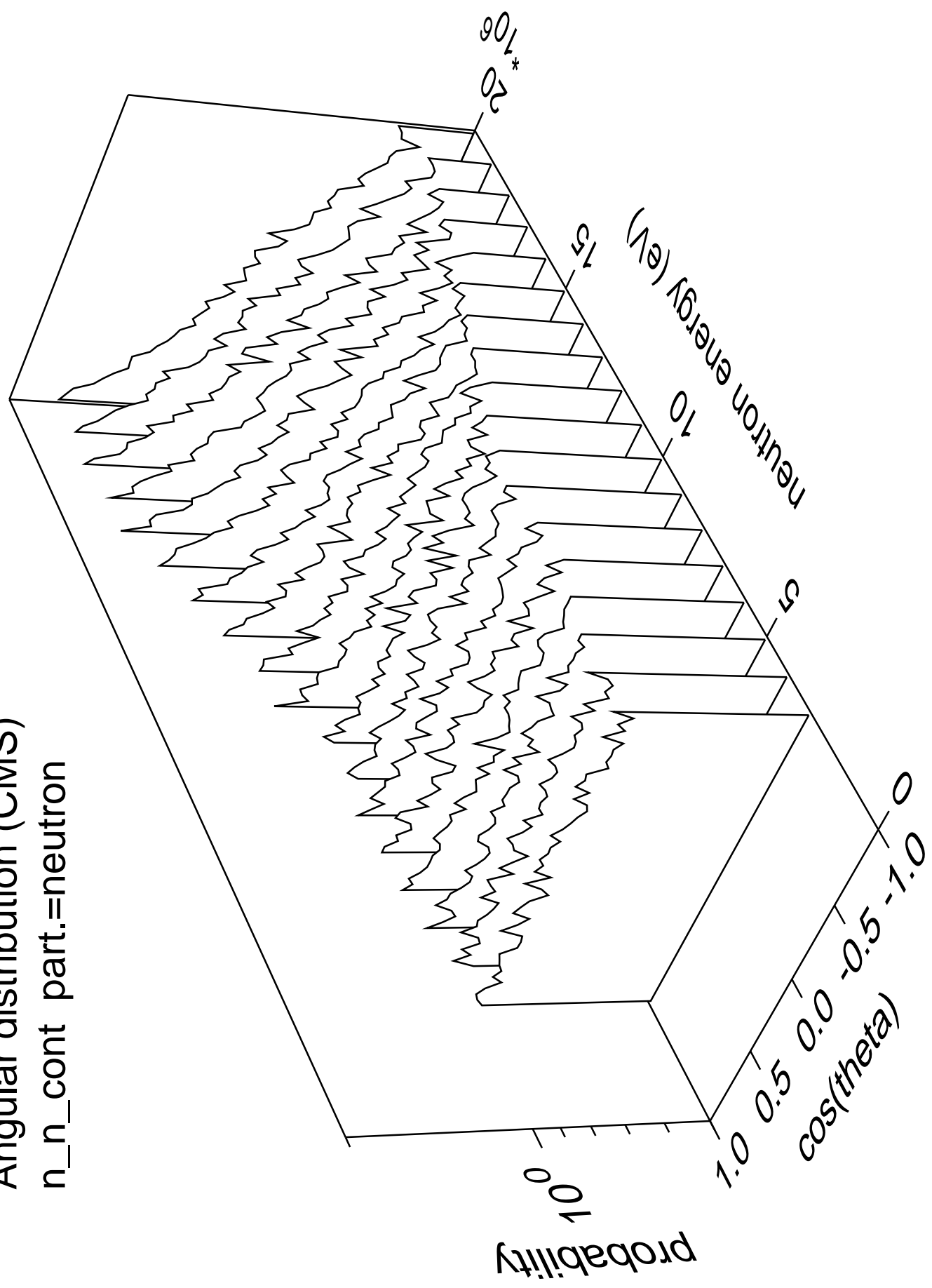




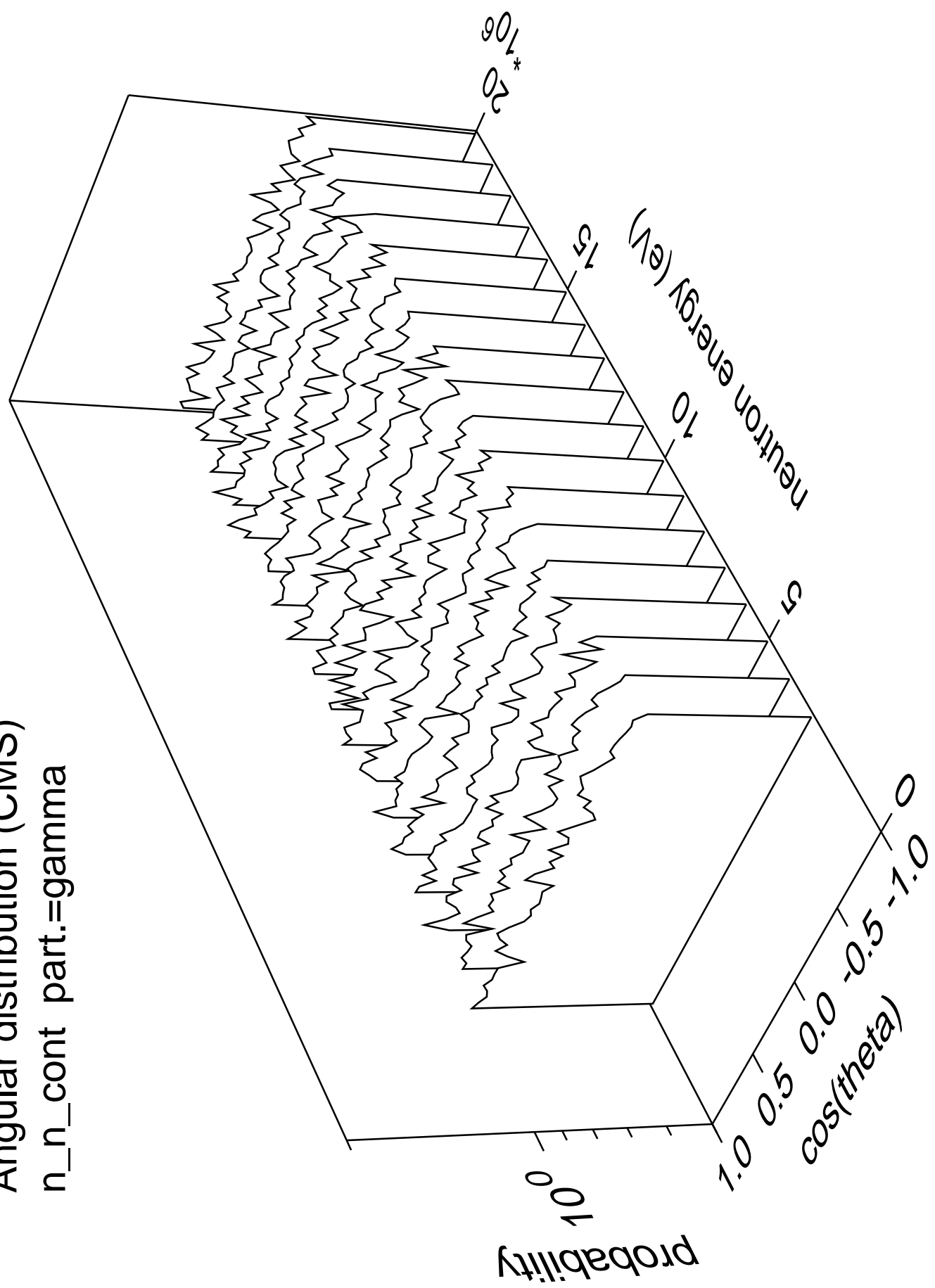


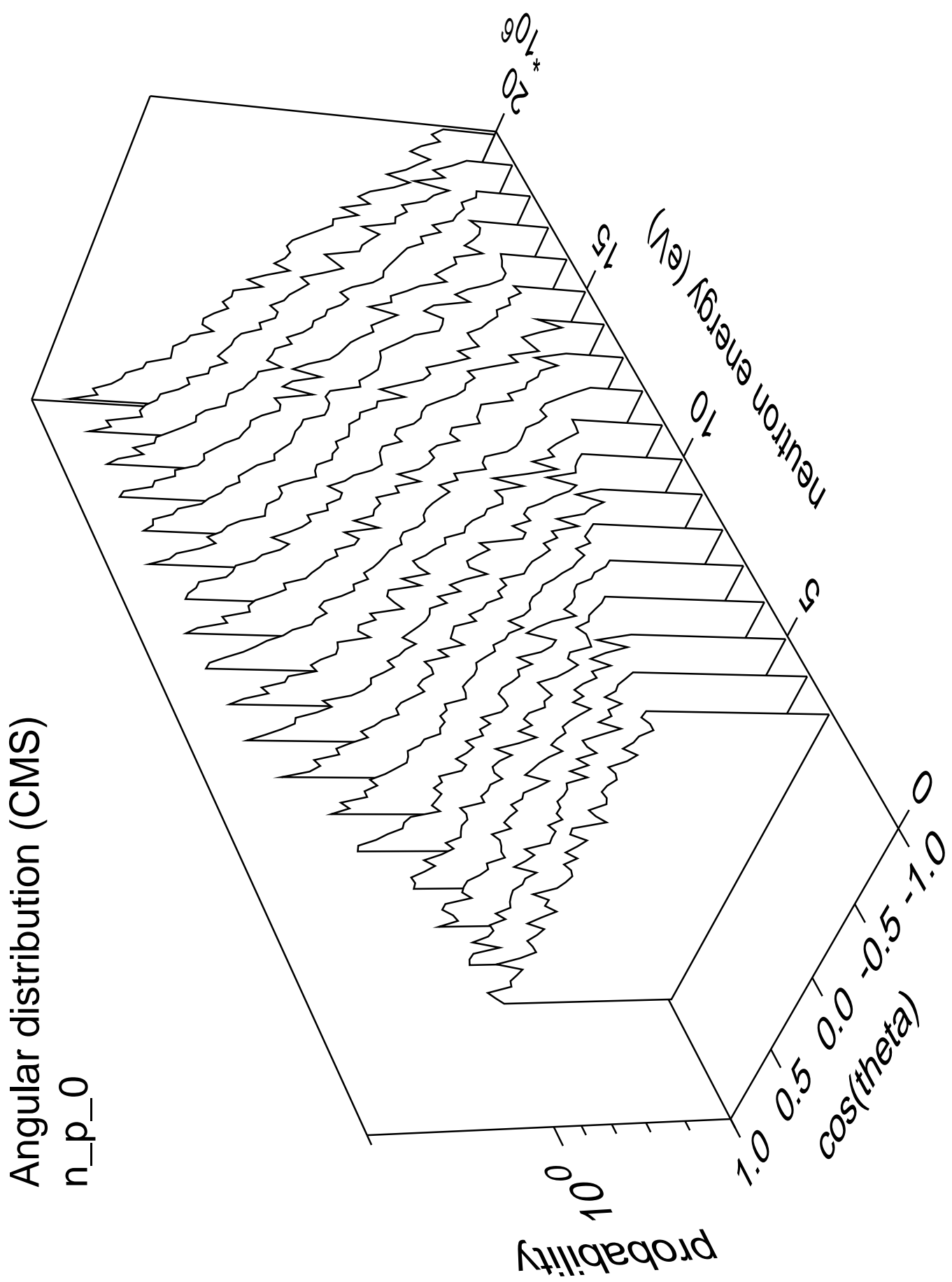


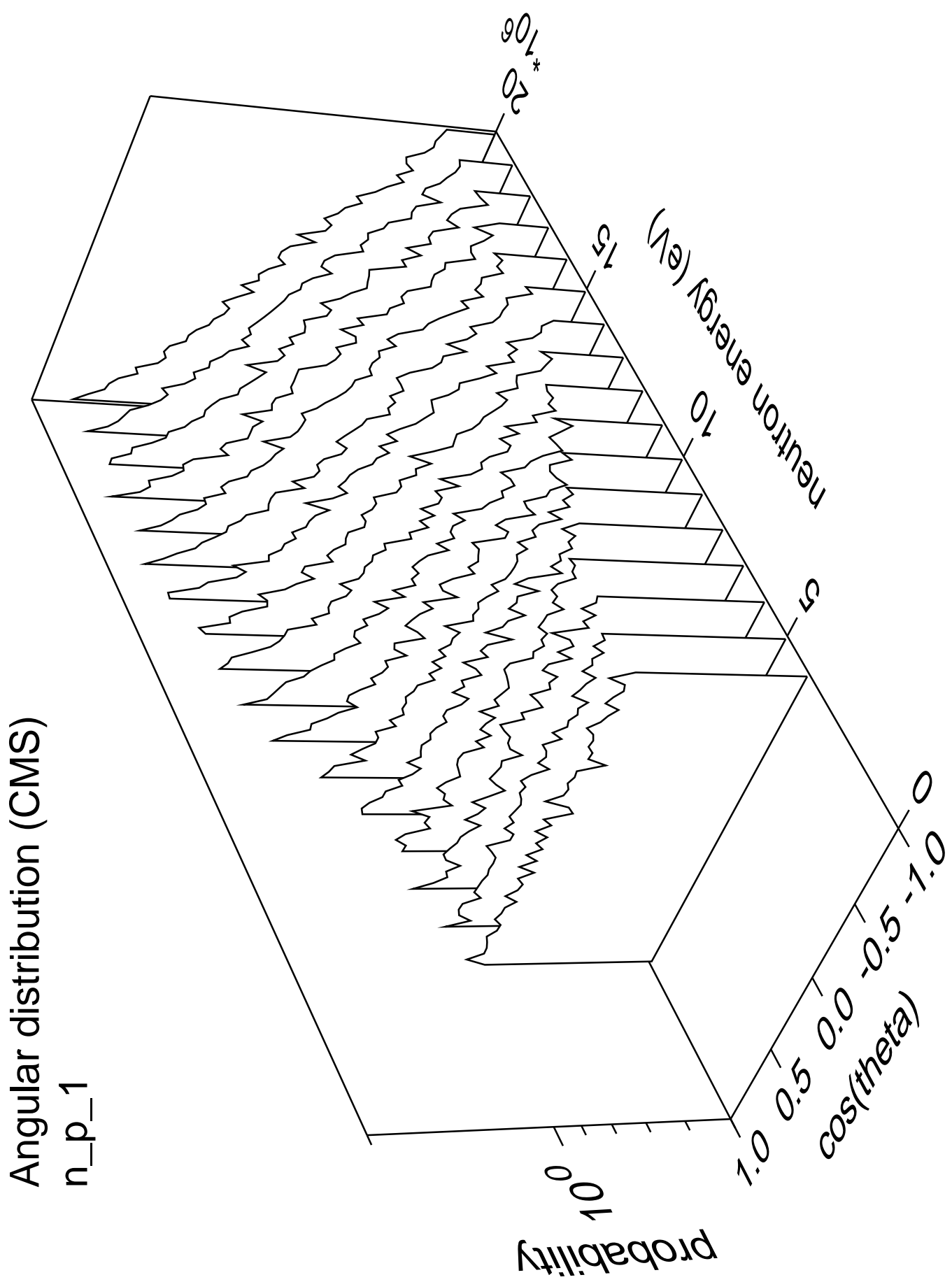
Angular distribution (CMS)
n_n_cont part.=neutron

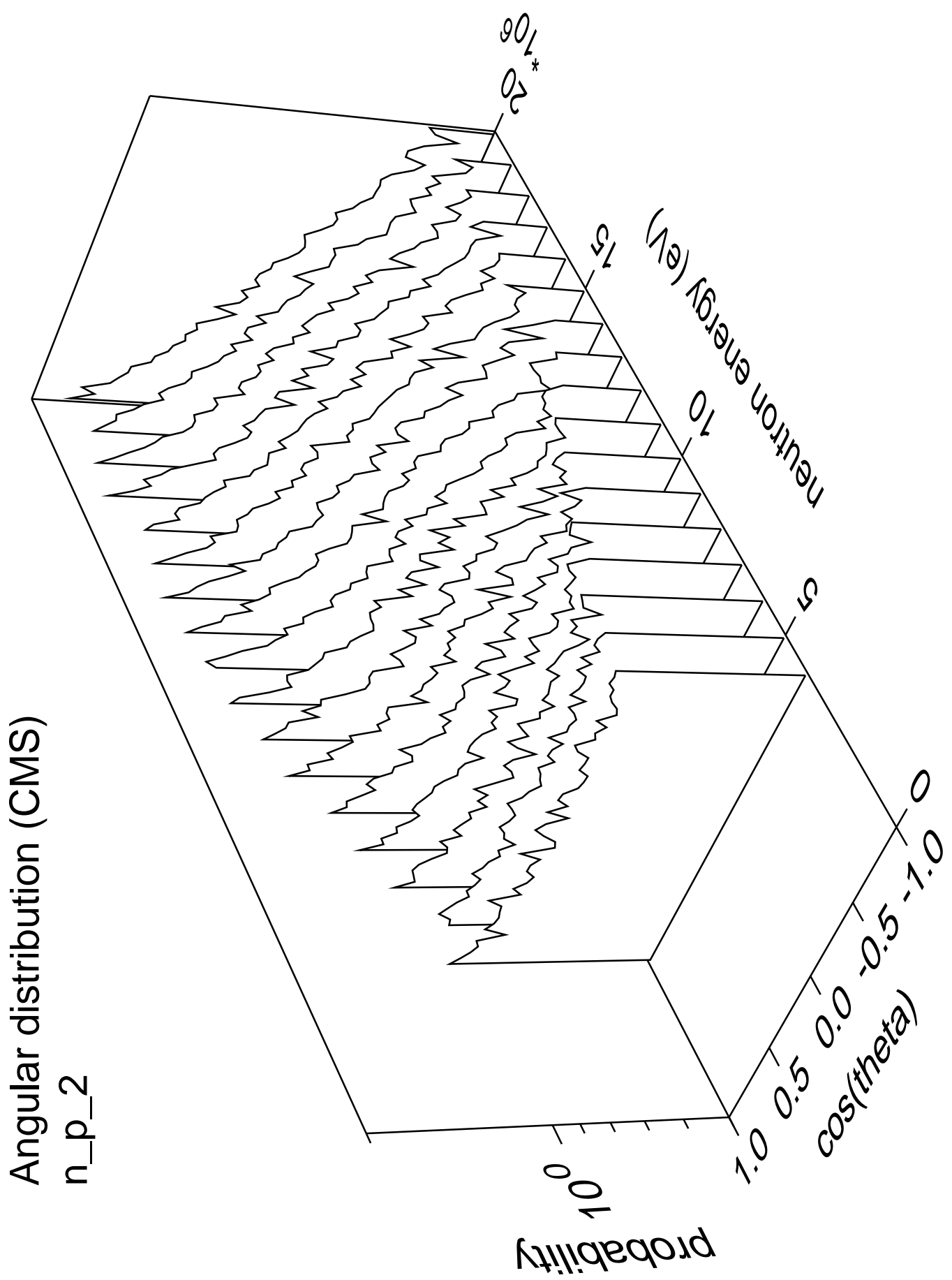


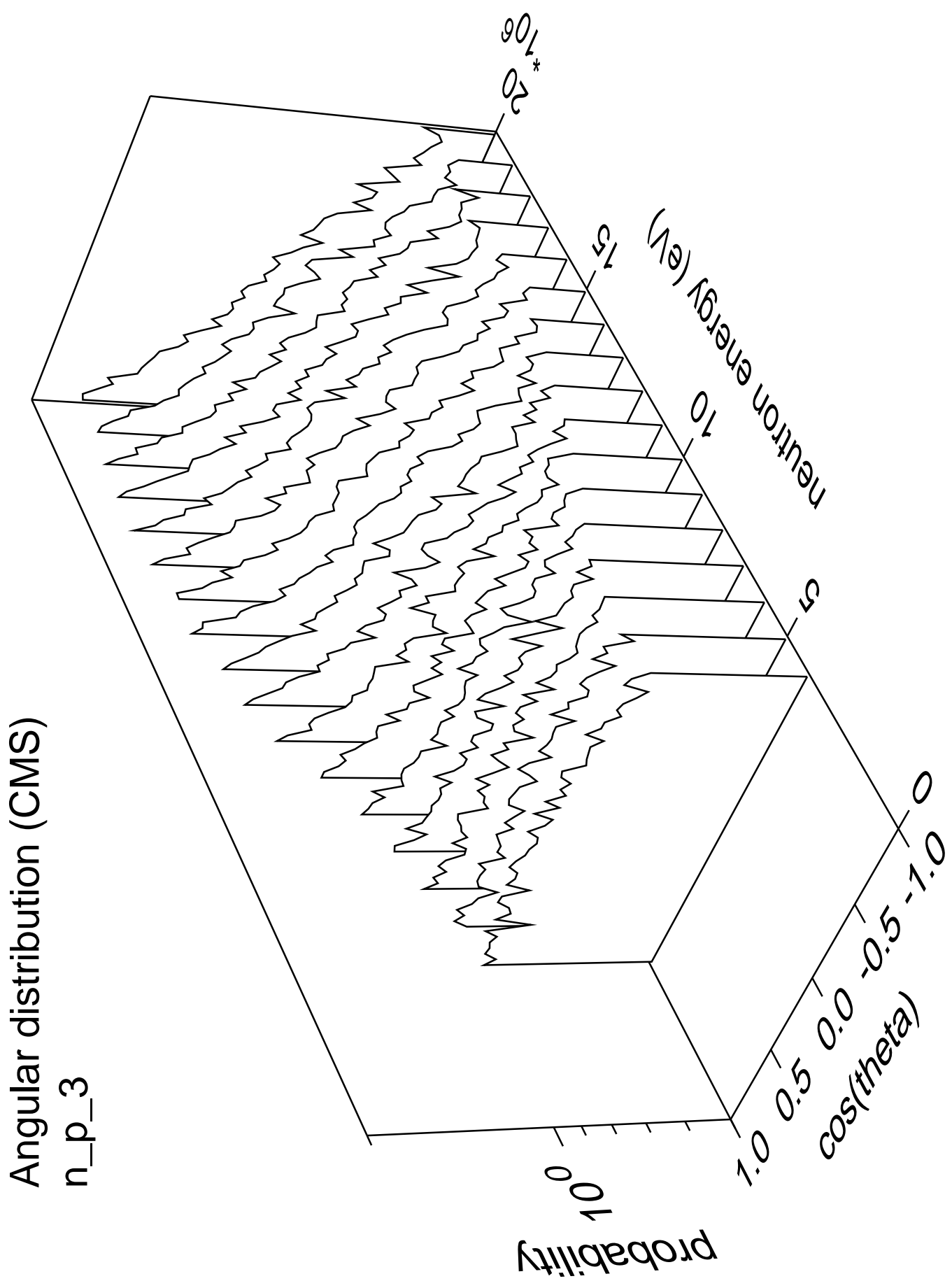
Angular distribution (CMS)
n_n_cont part.=gamma

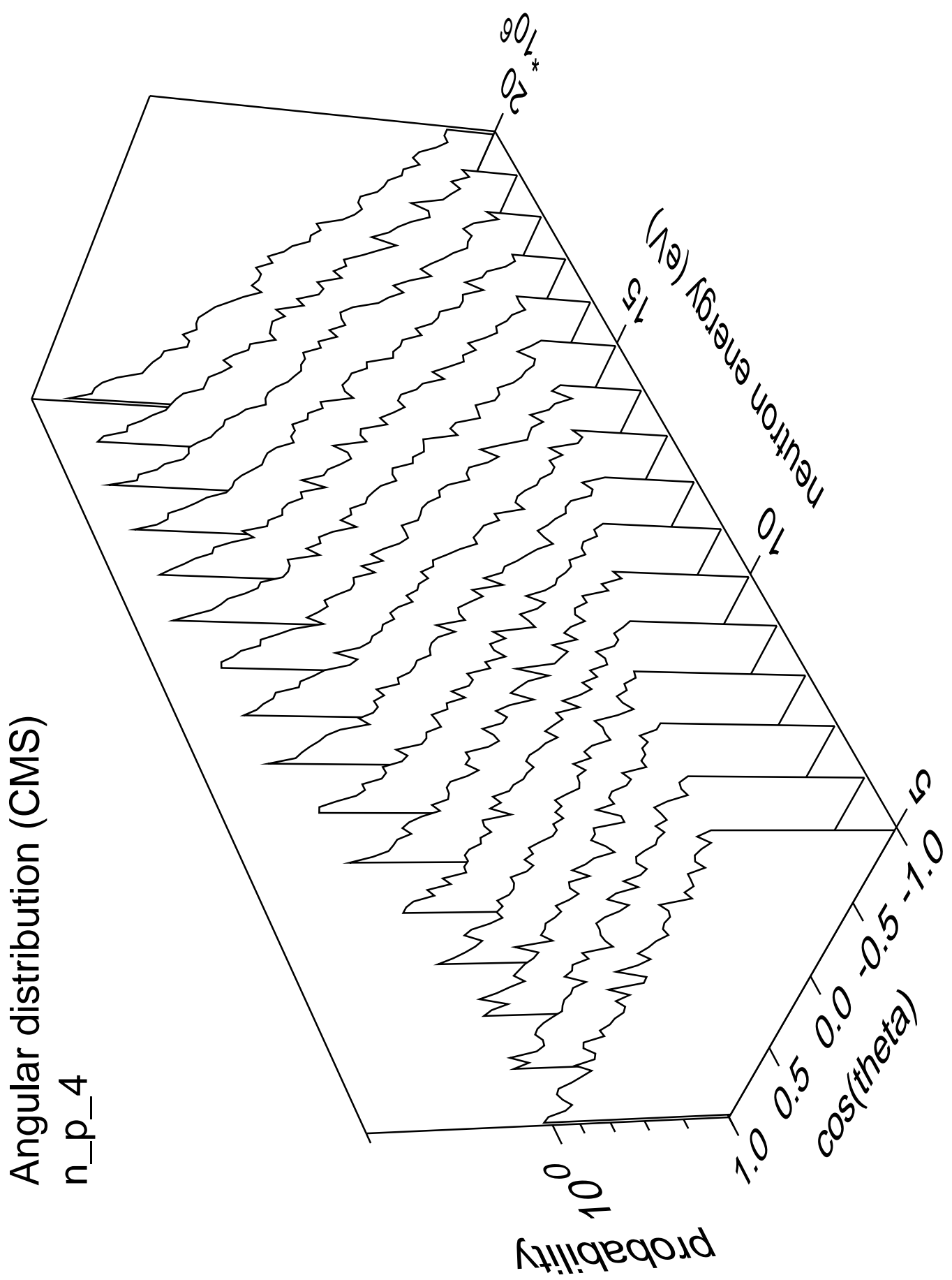


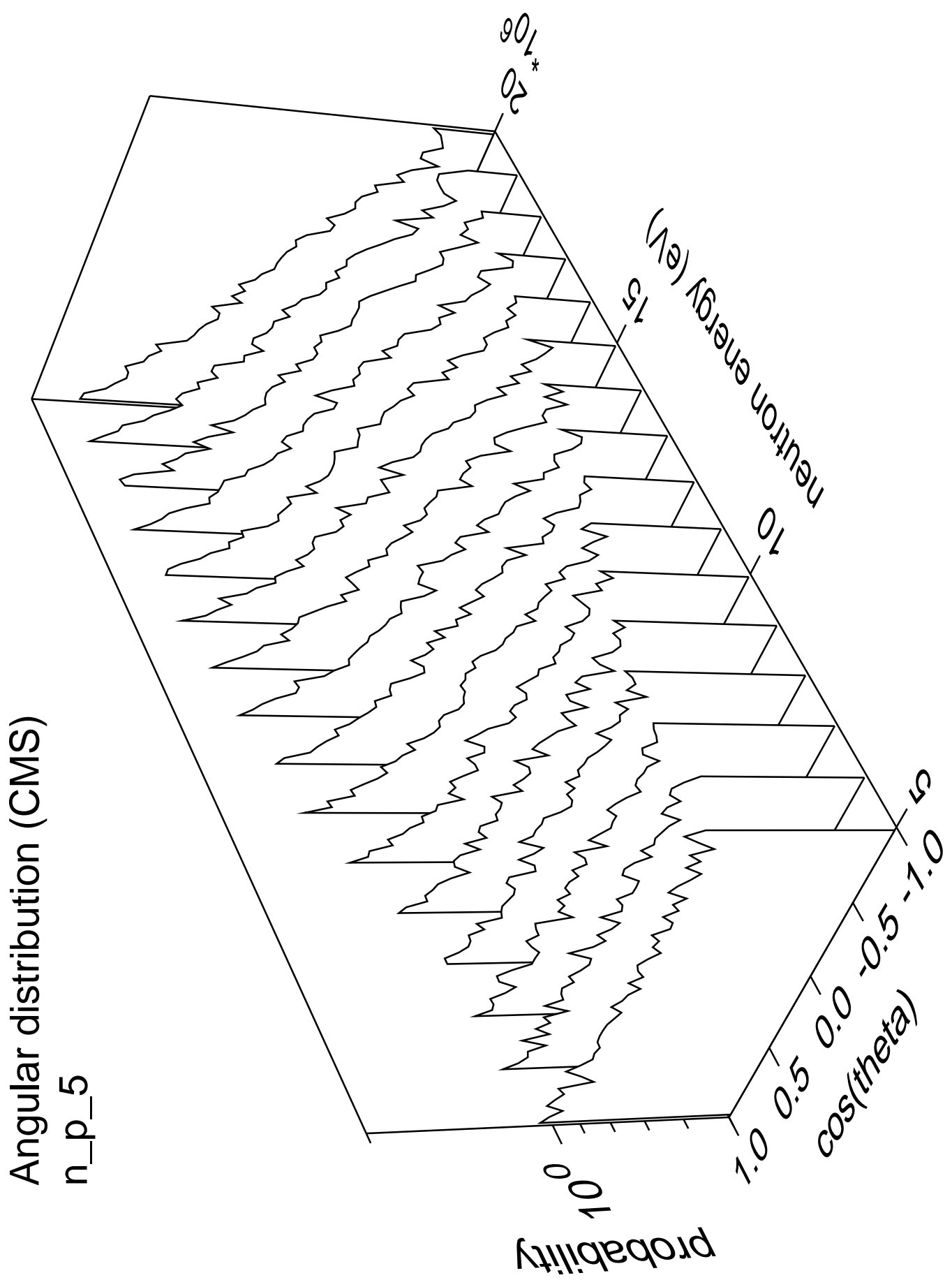


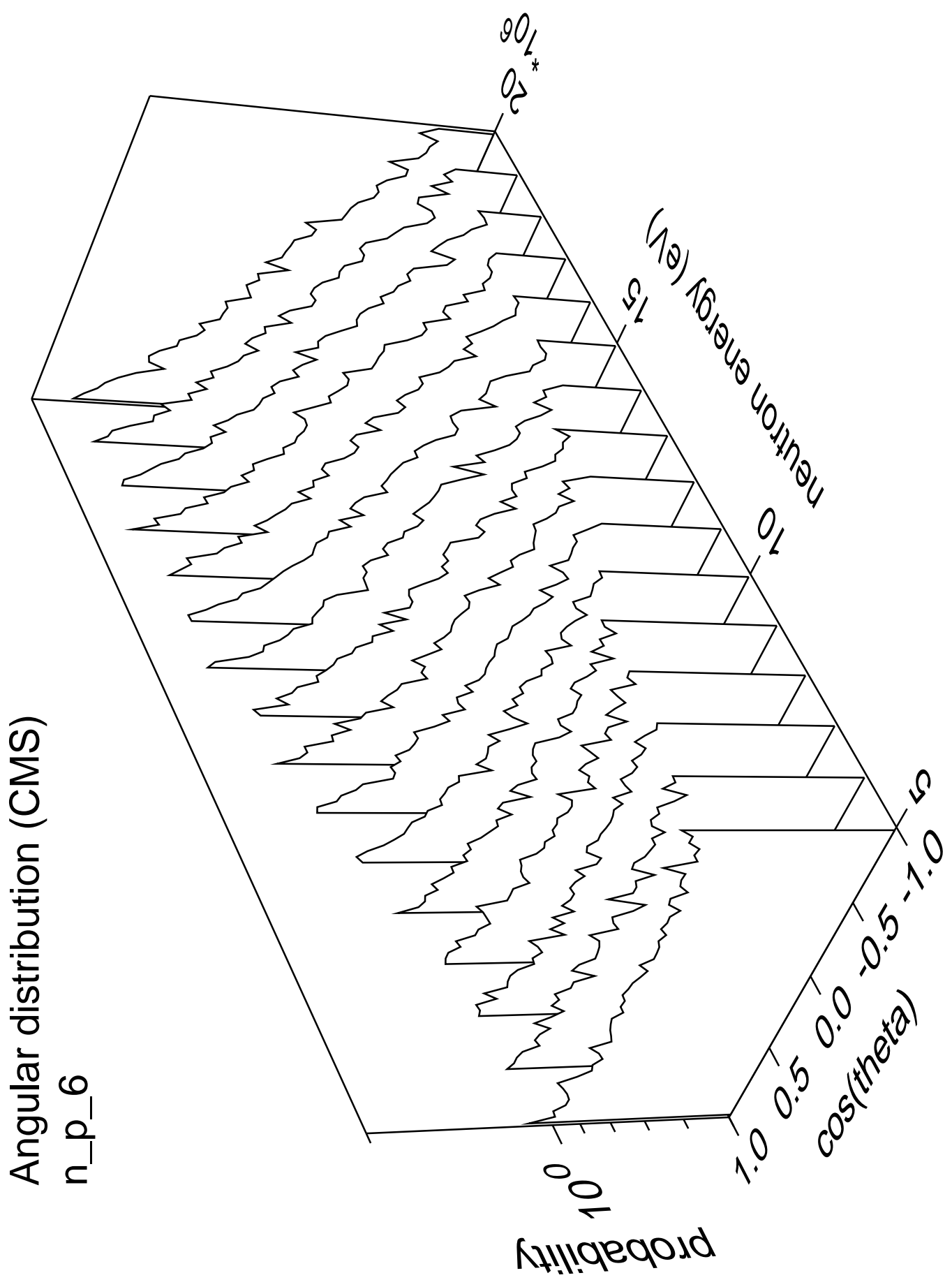


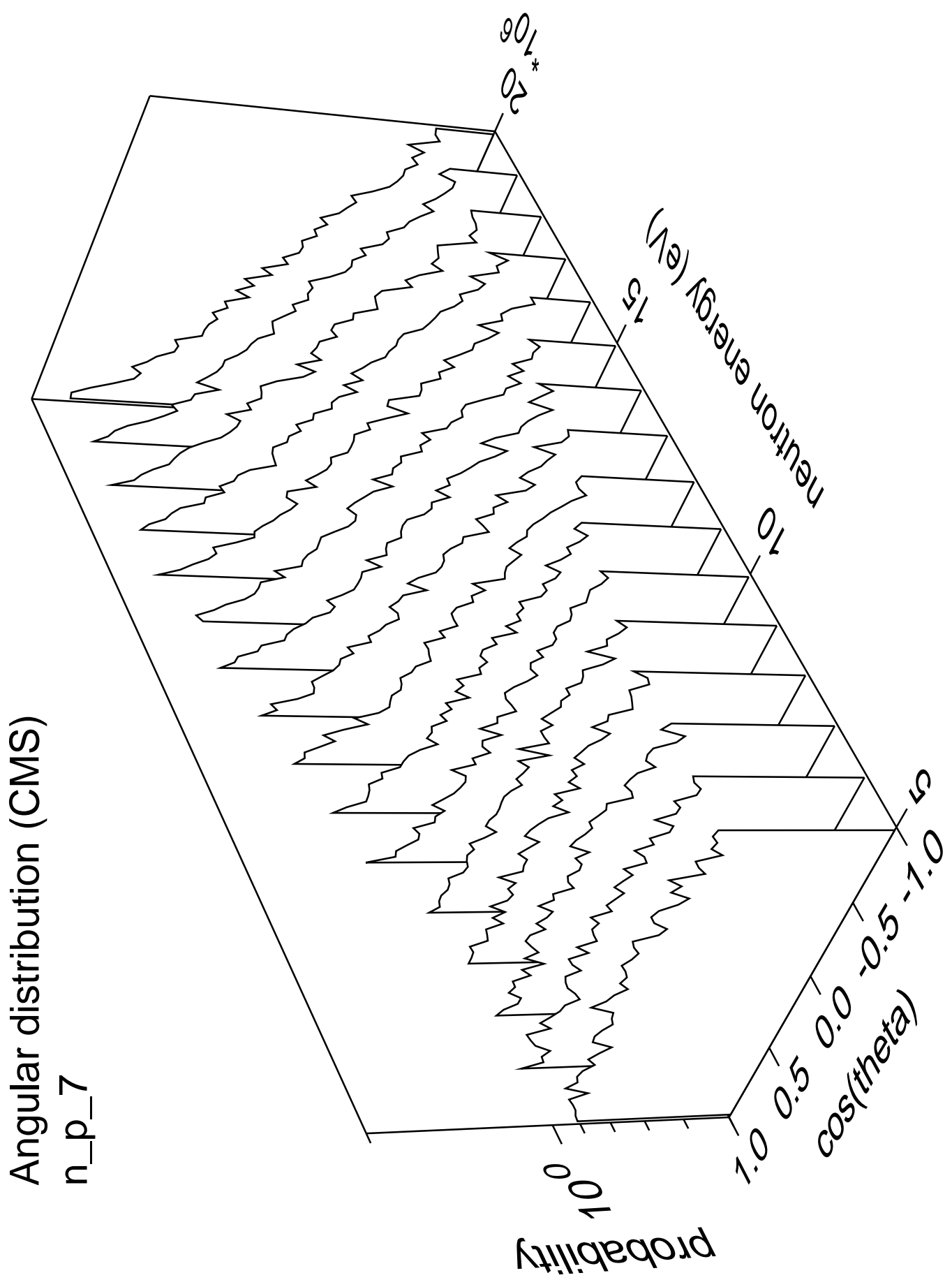


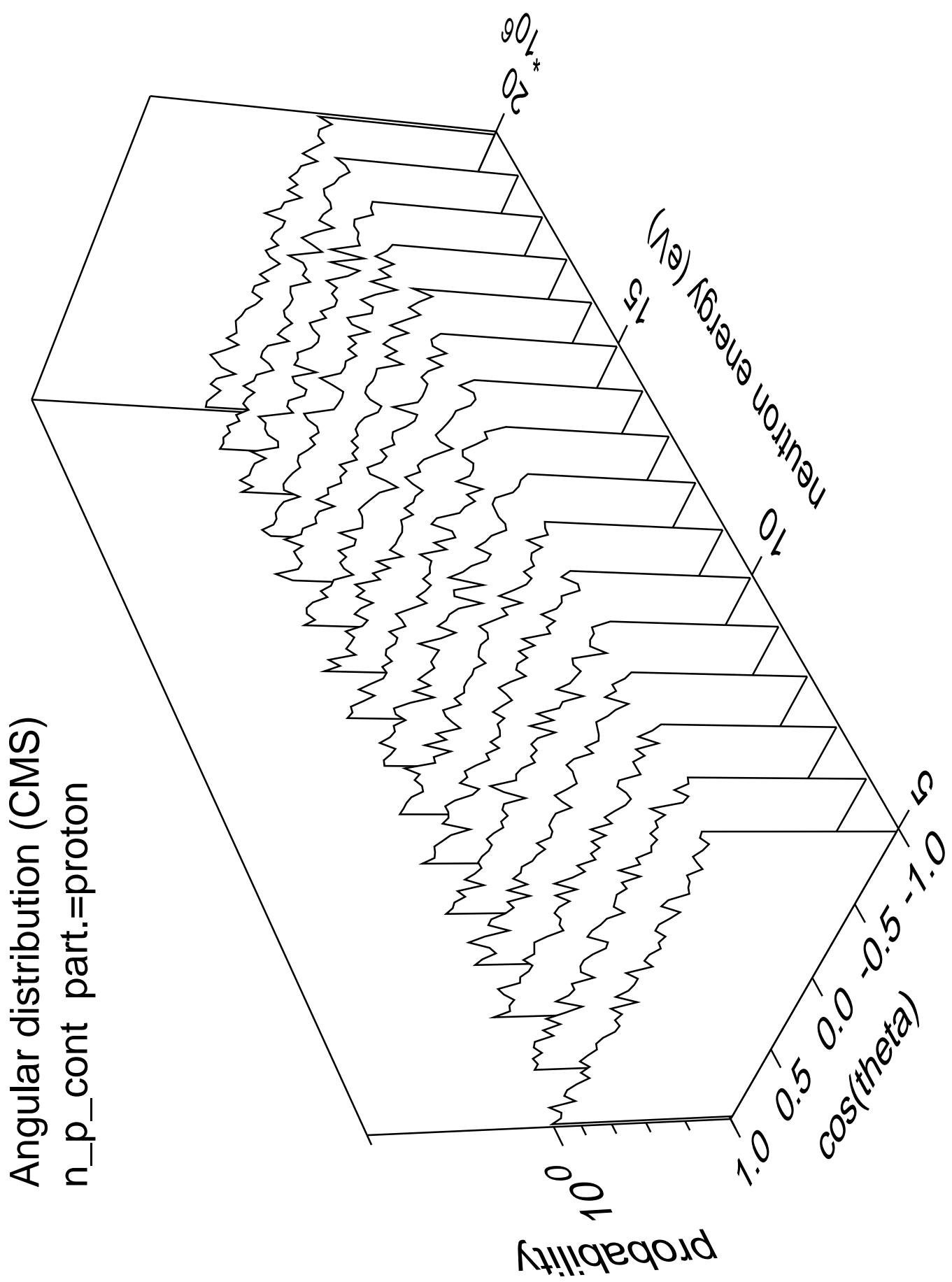




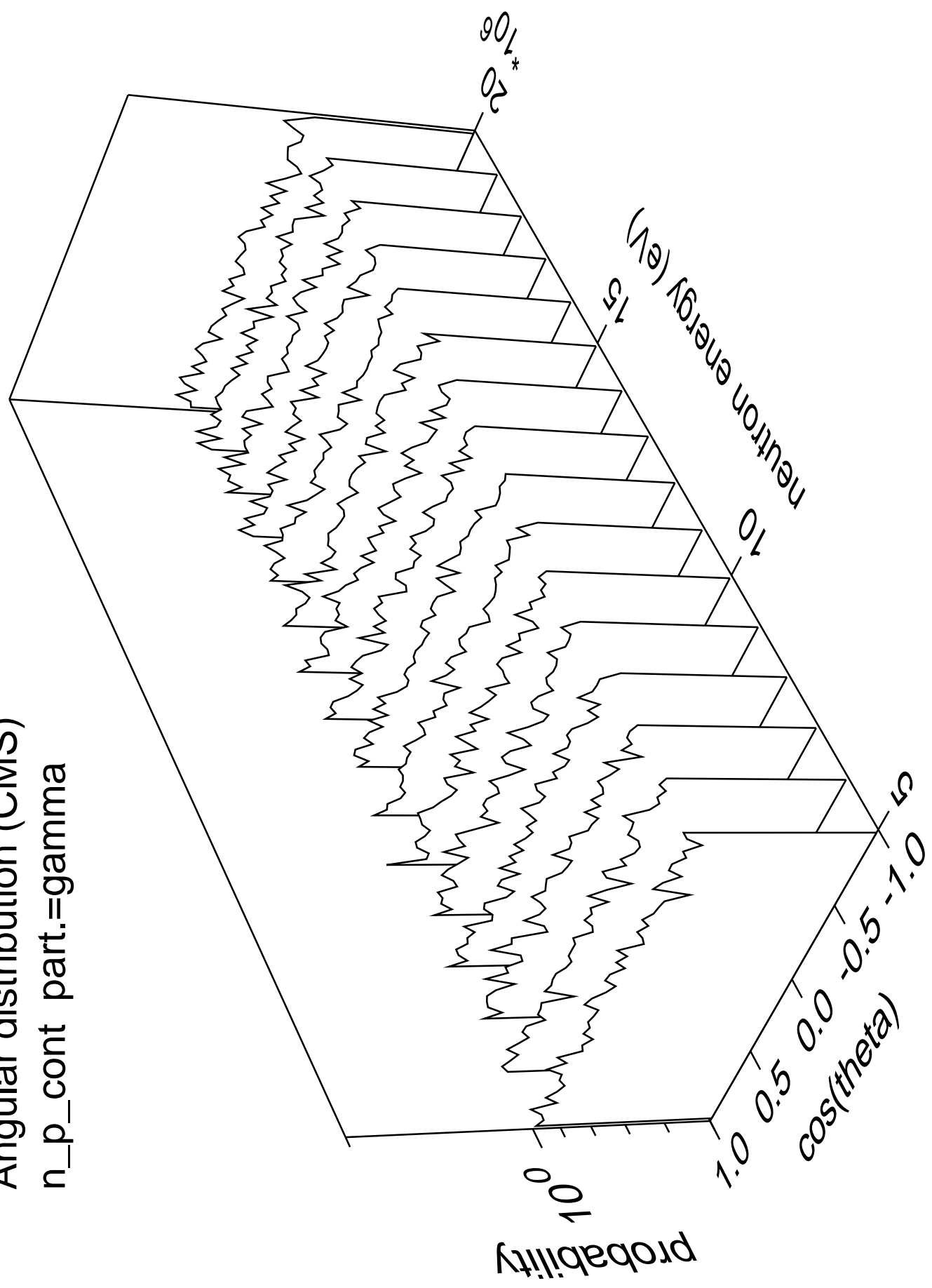


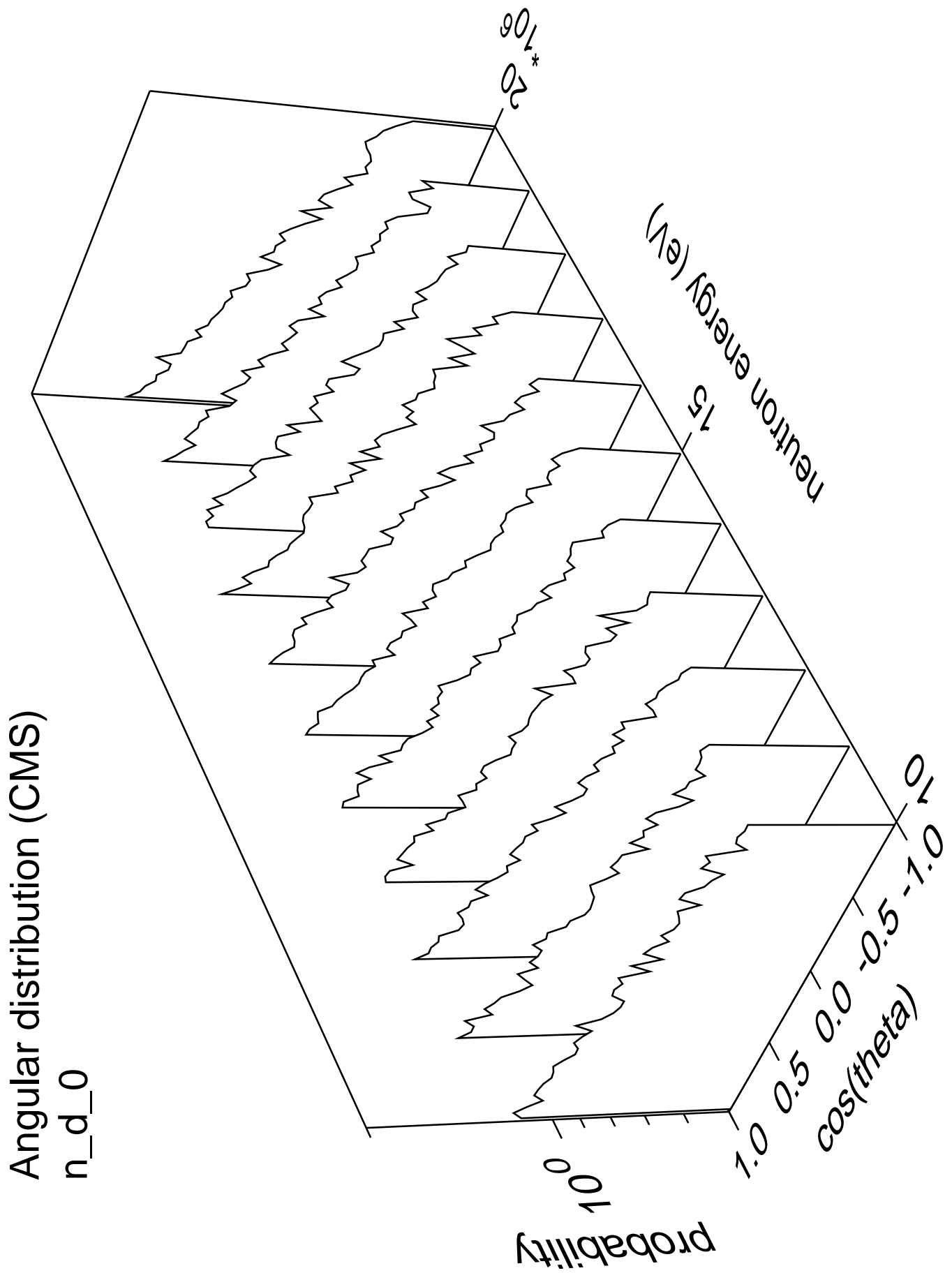


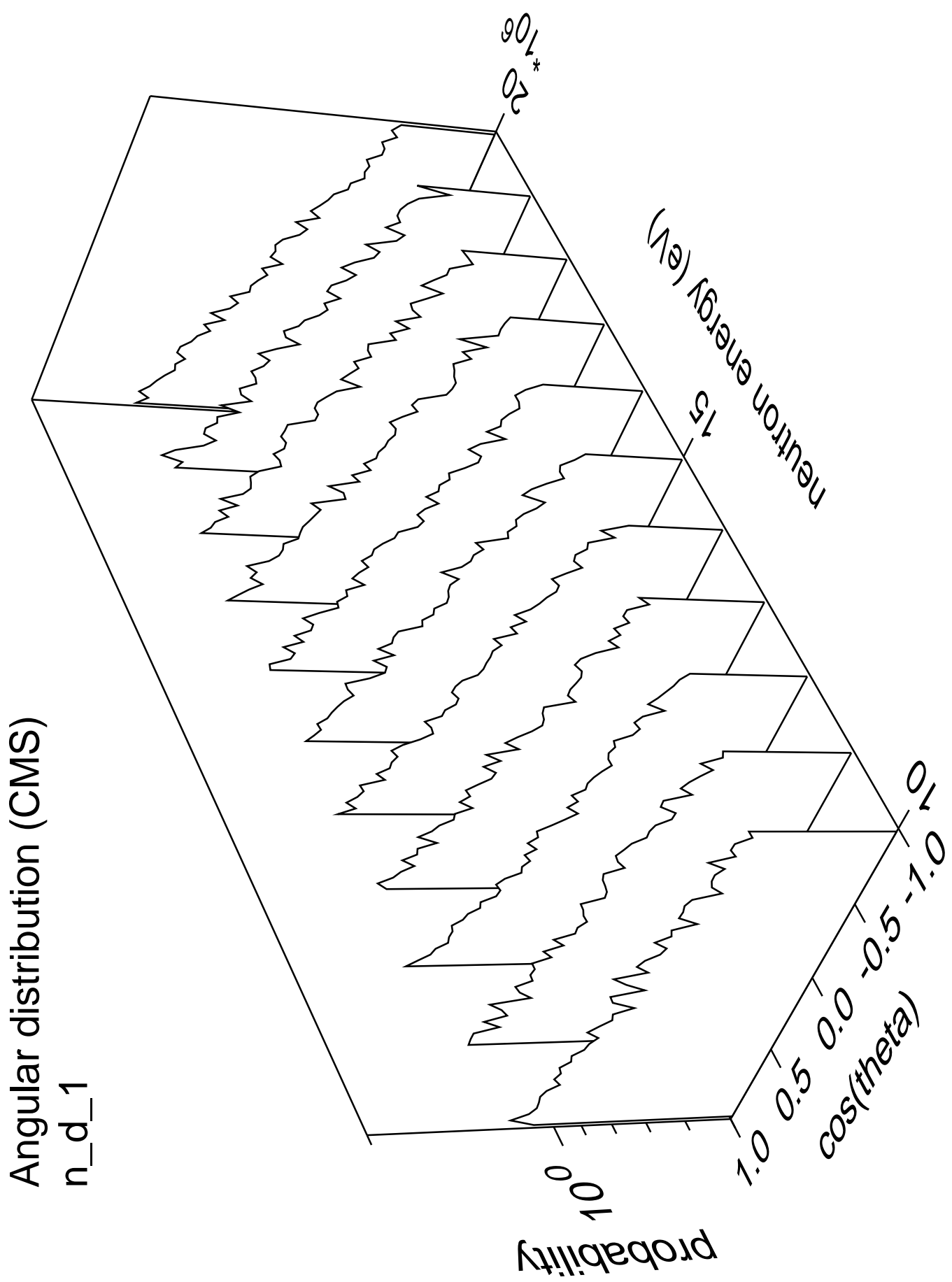


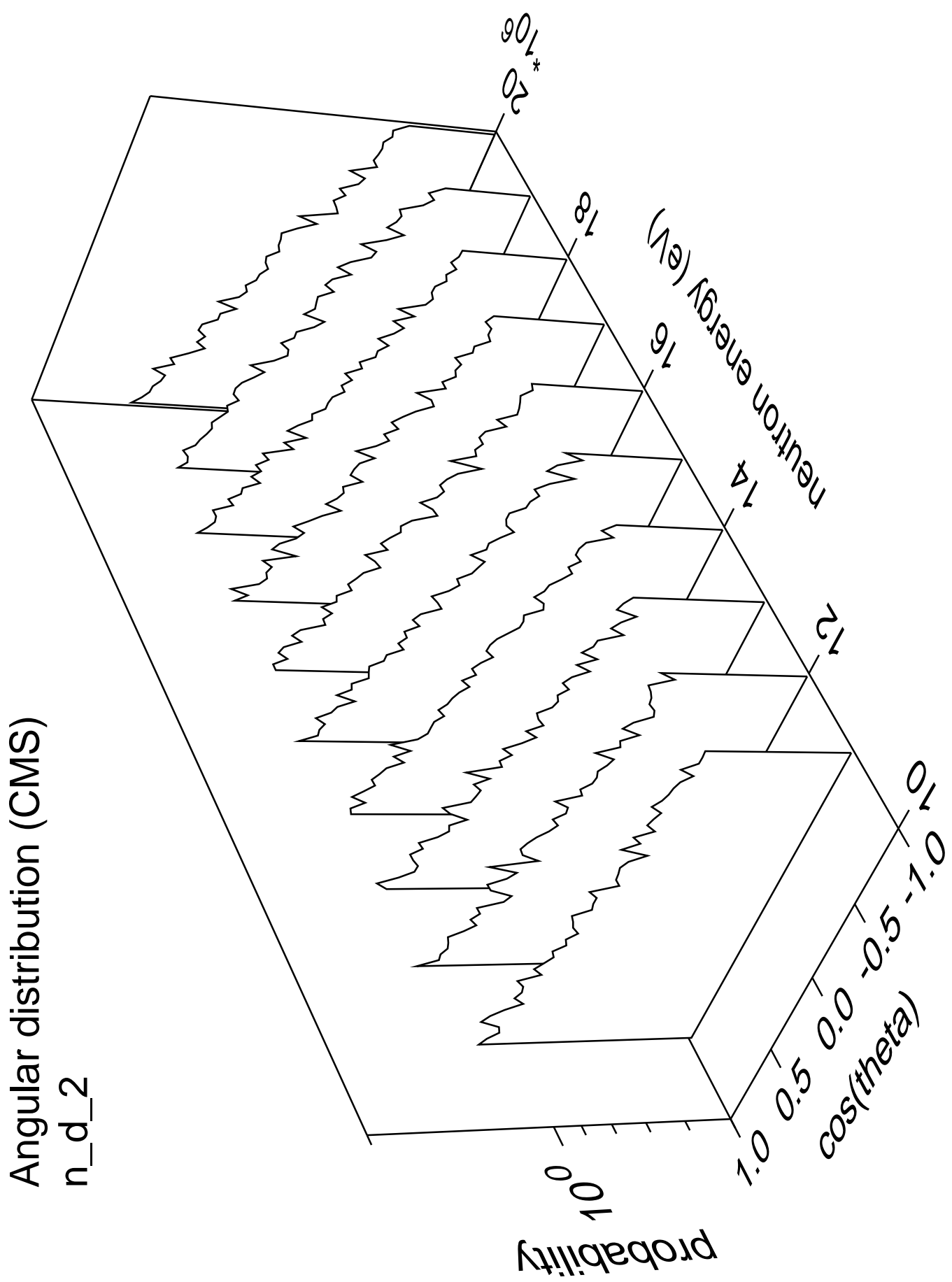


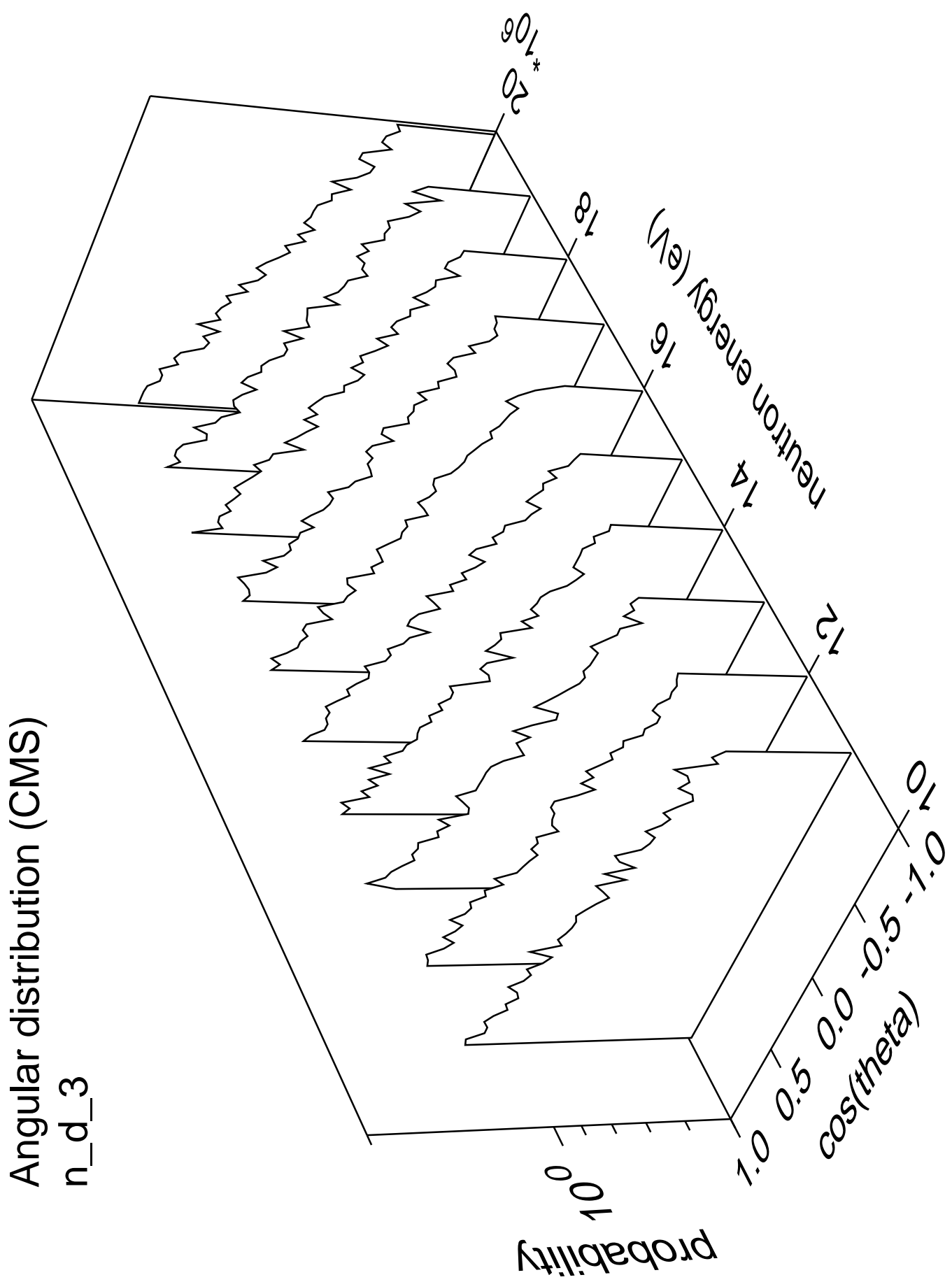
Angular distribution (CMS)
n_p_cont part.=gamma



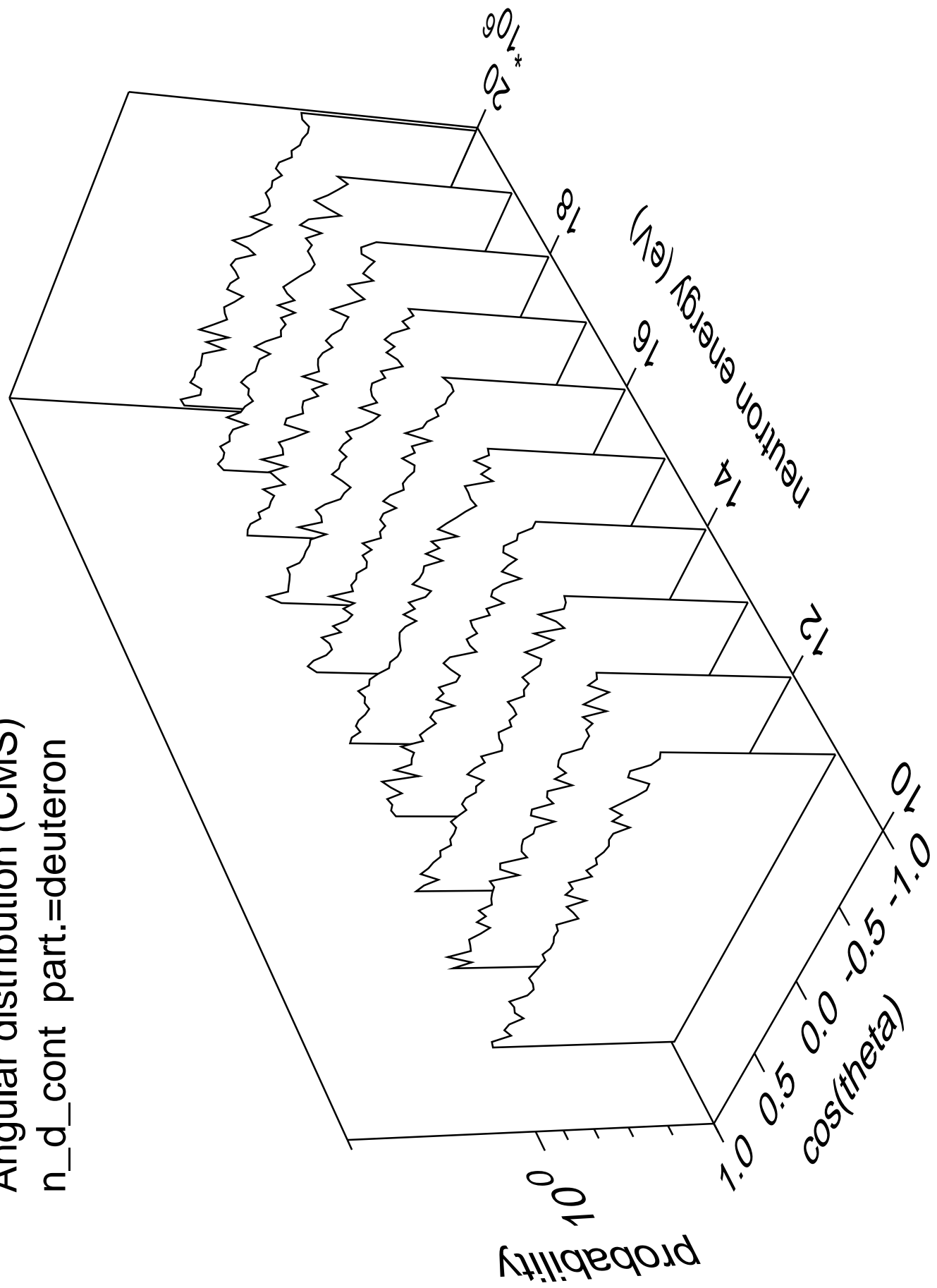




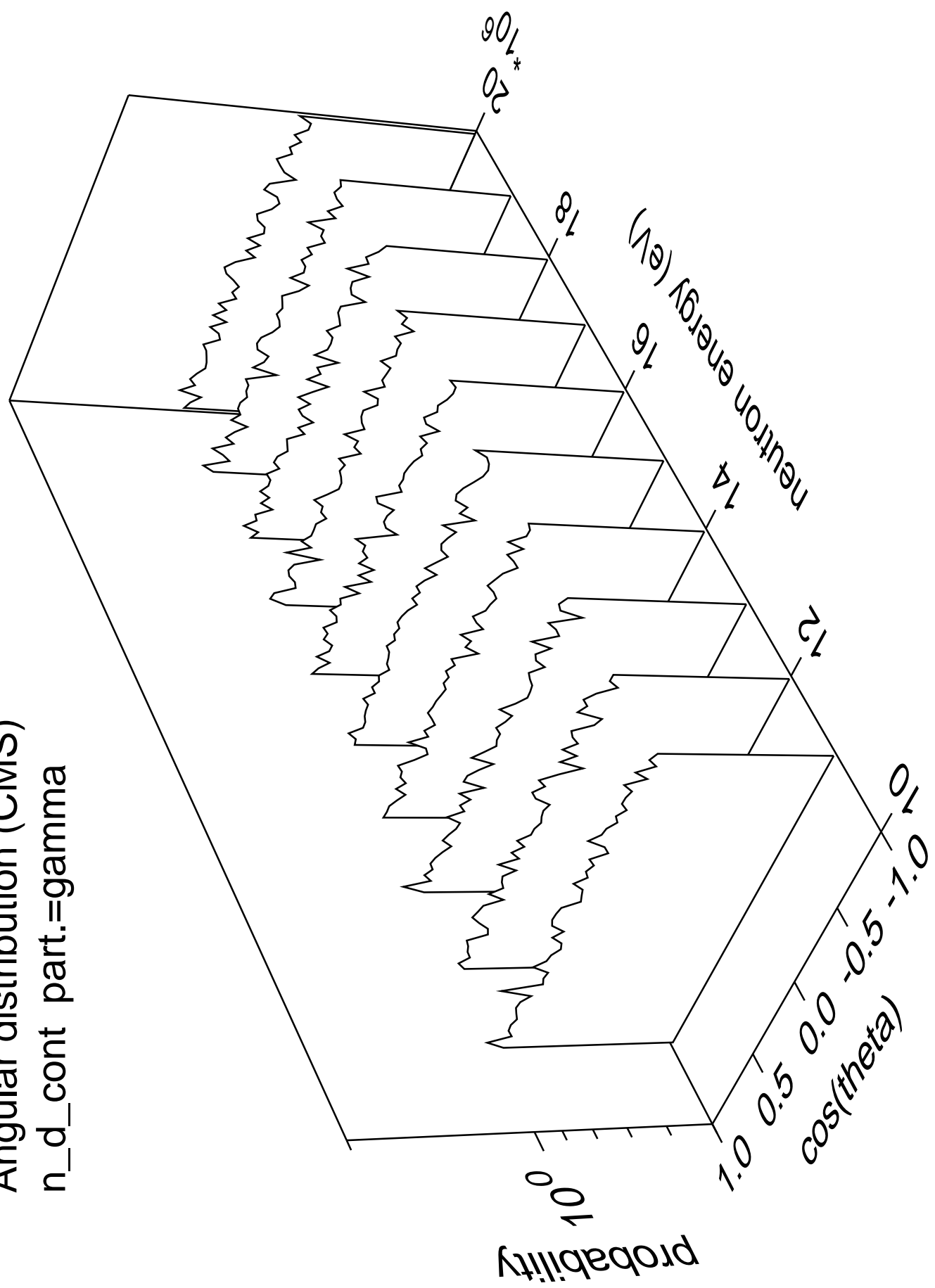


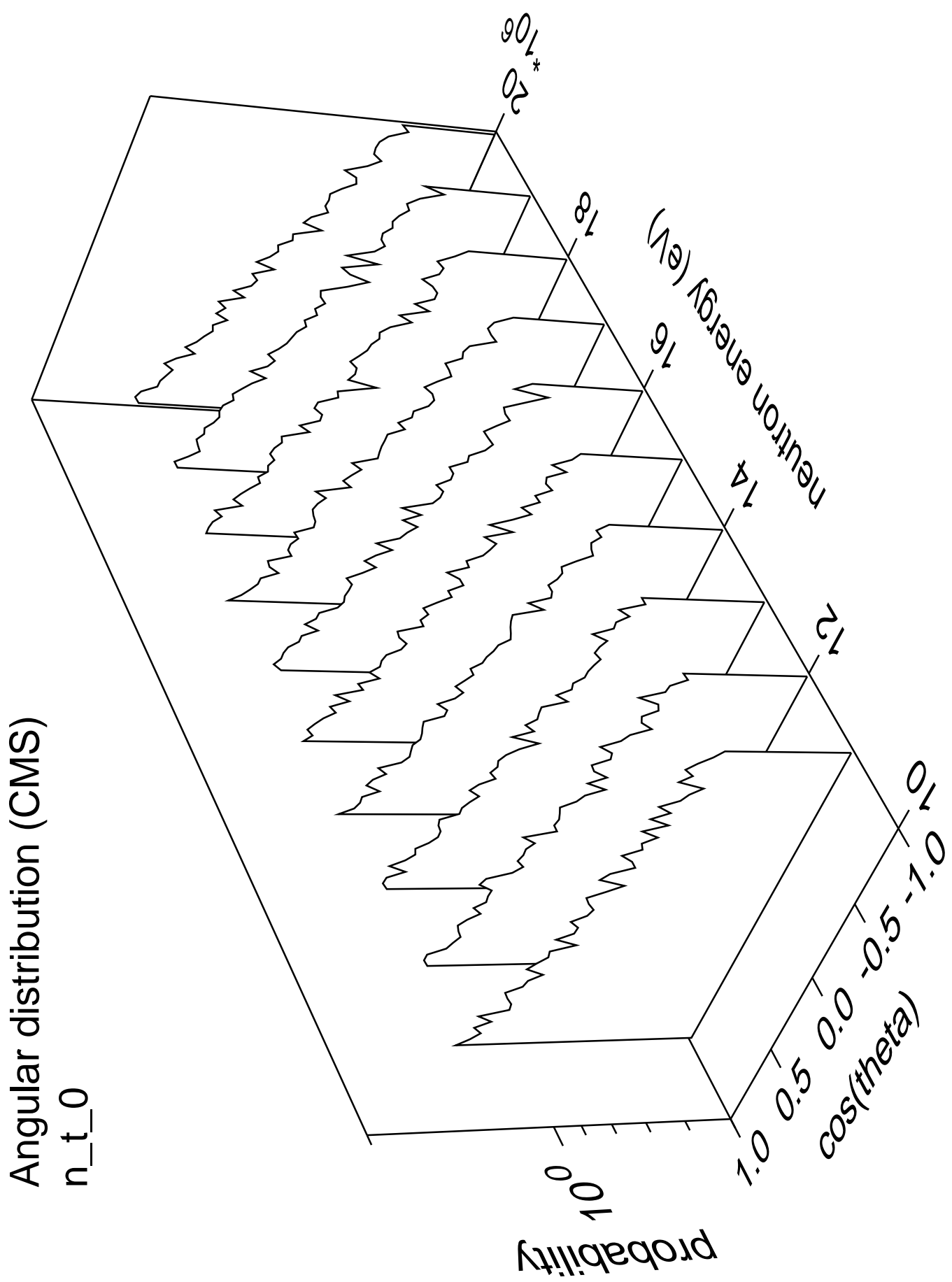


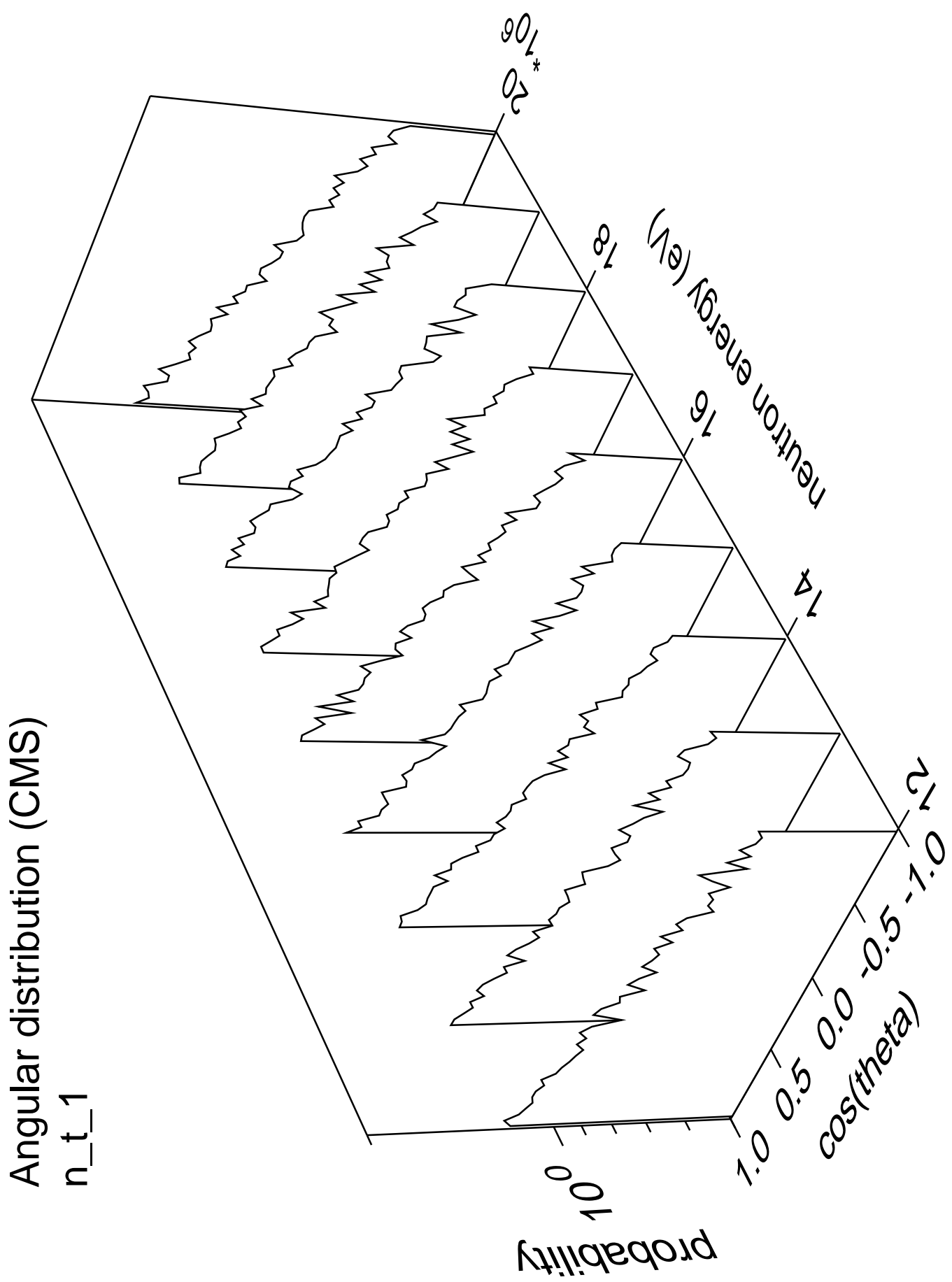
Angular distribution (CMS)
 n_d cont part.=deuteron

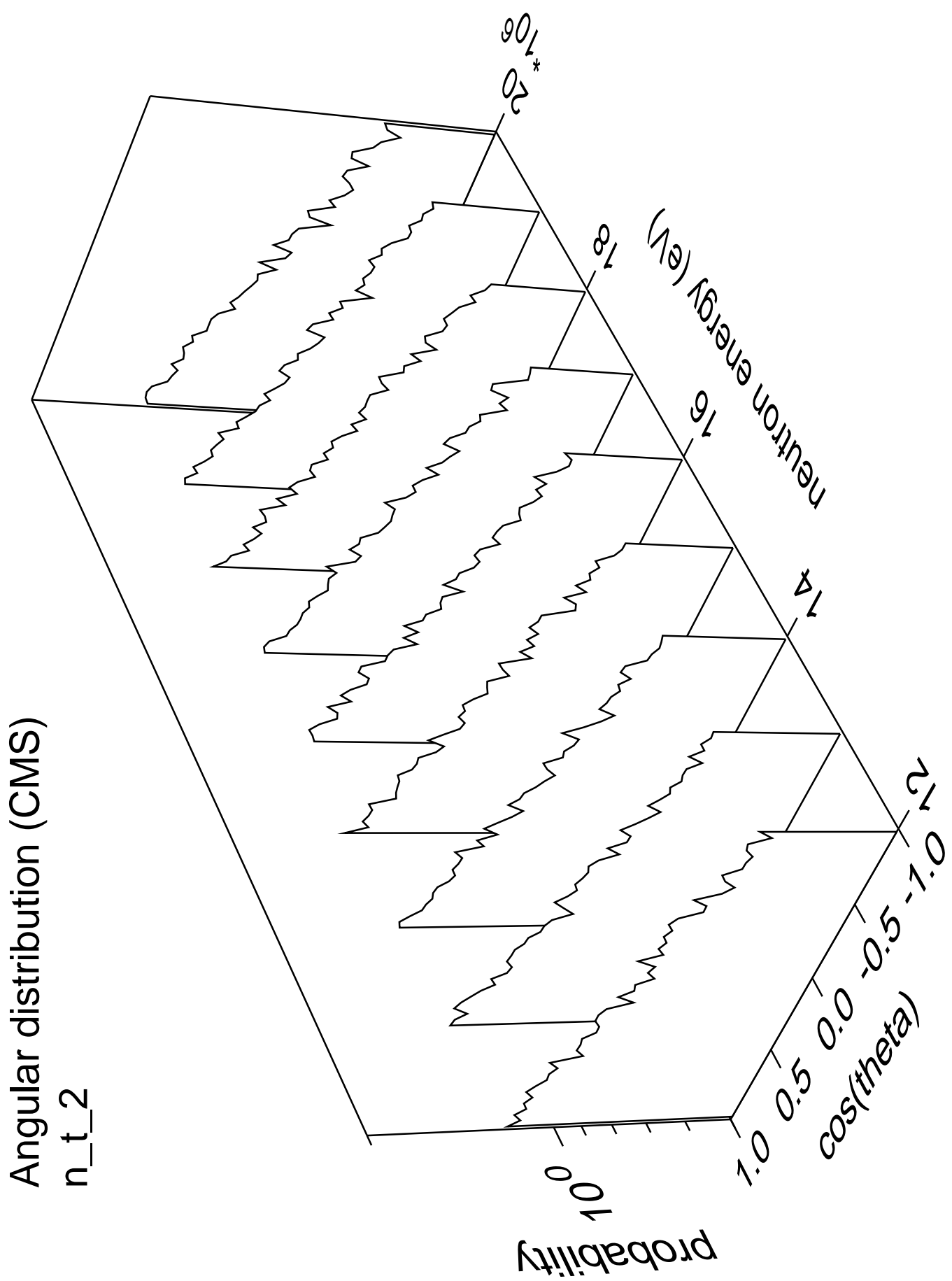


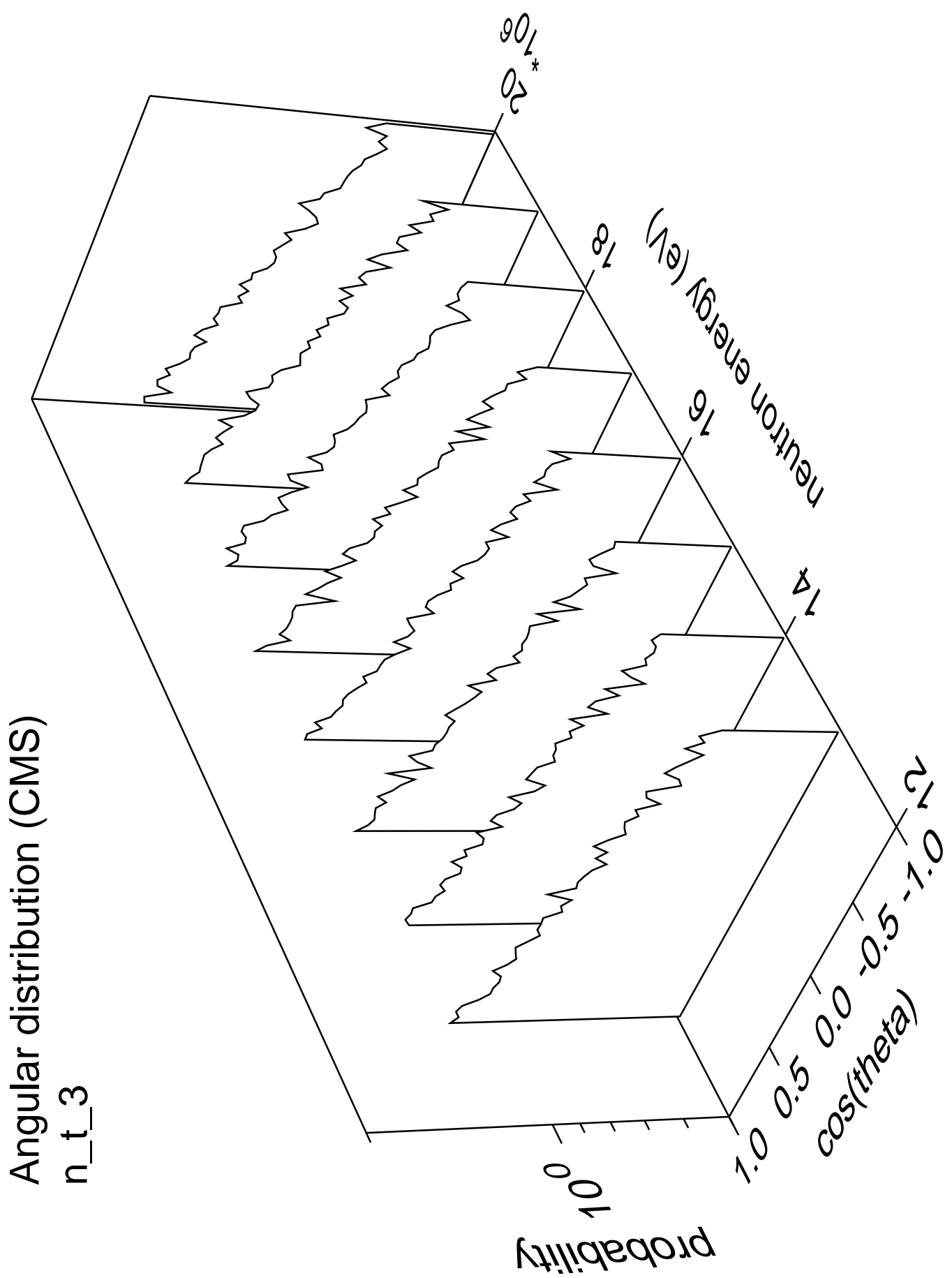
Angular distribution (CMS)
 n_d cont part.=gamma

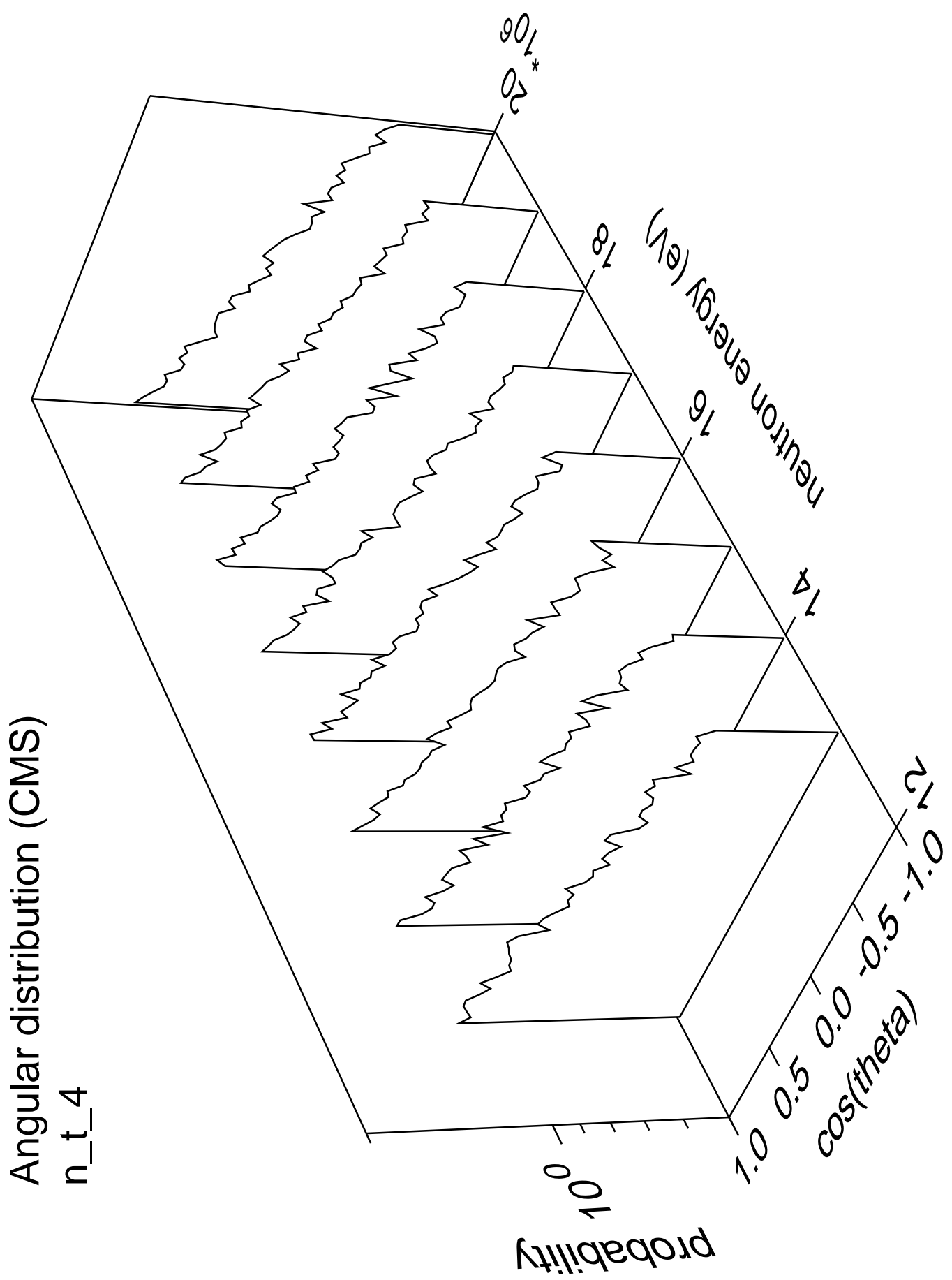


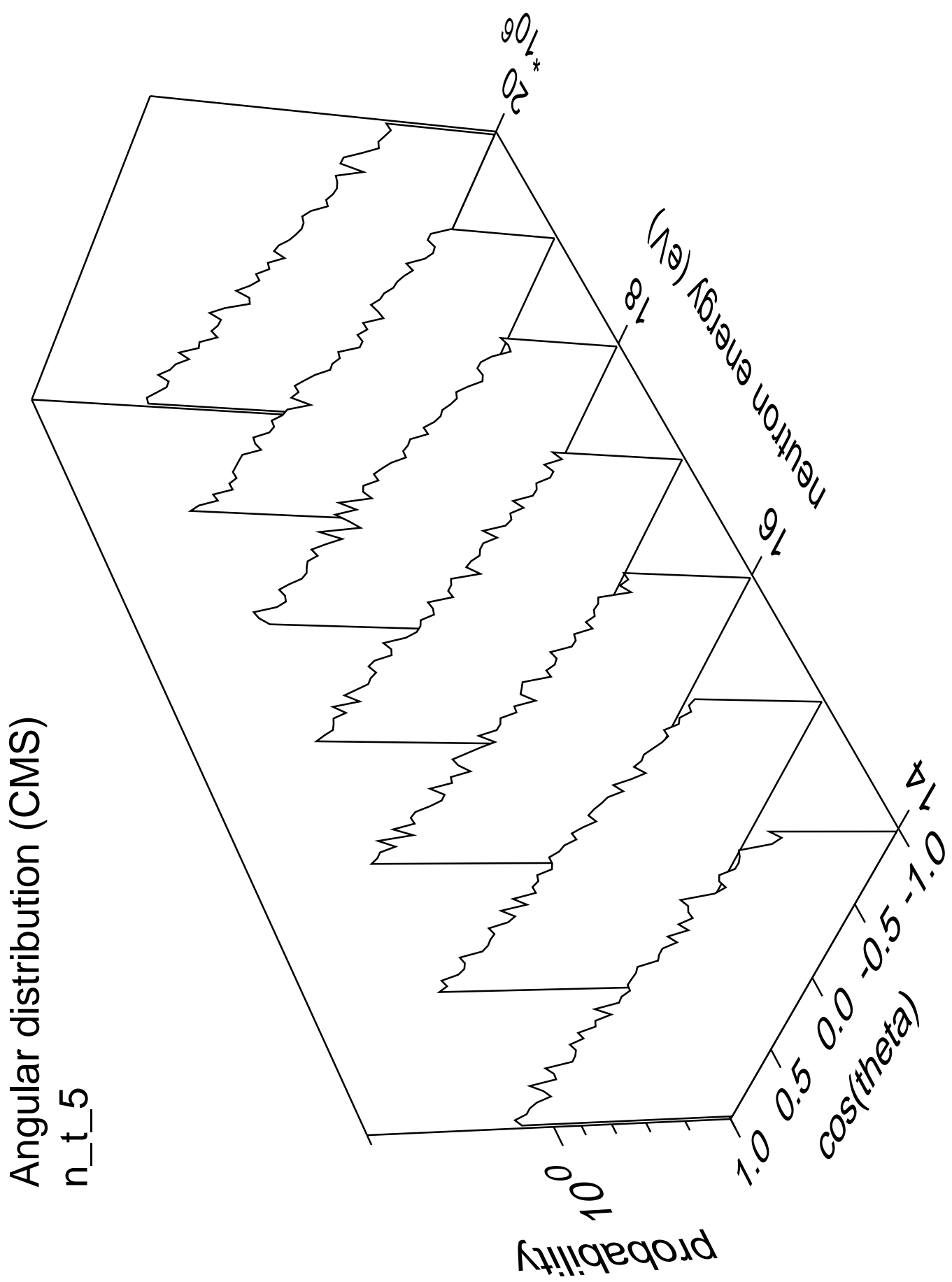


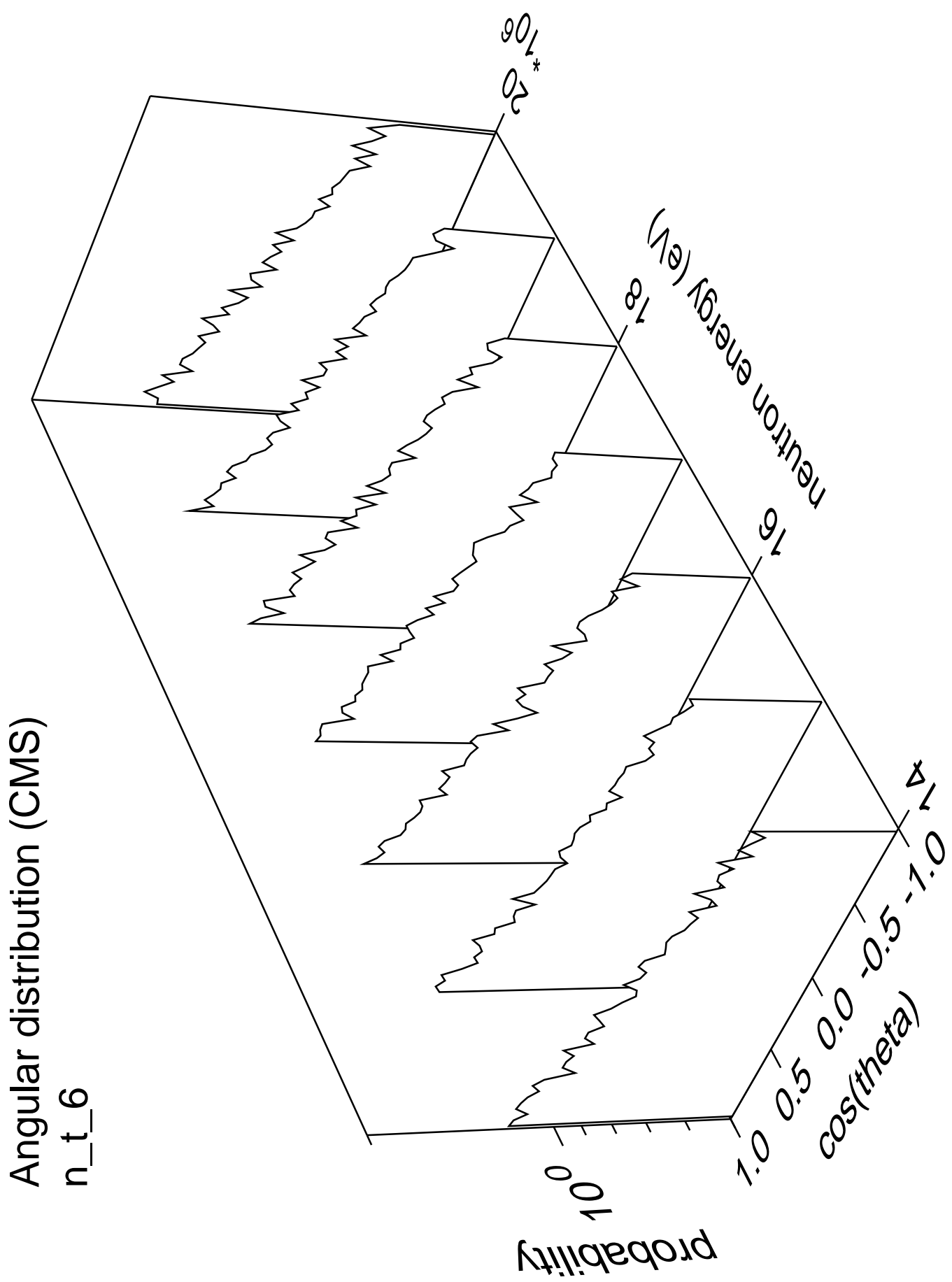


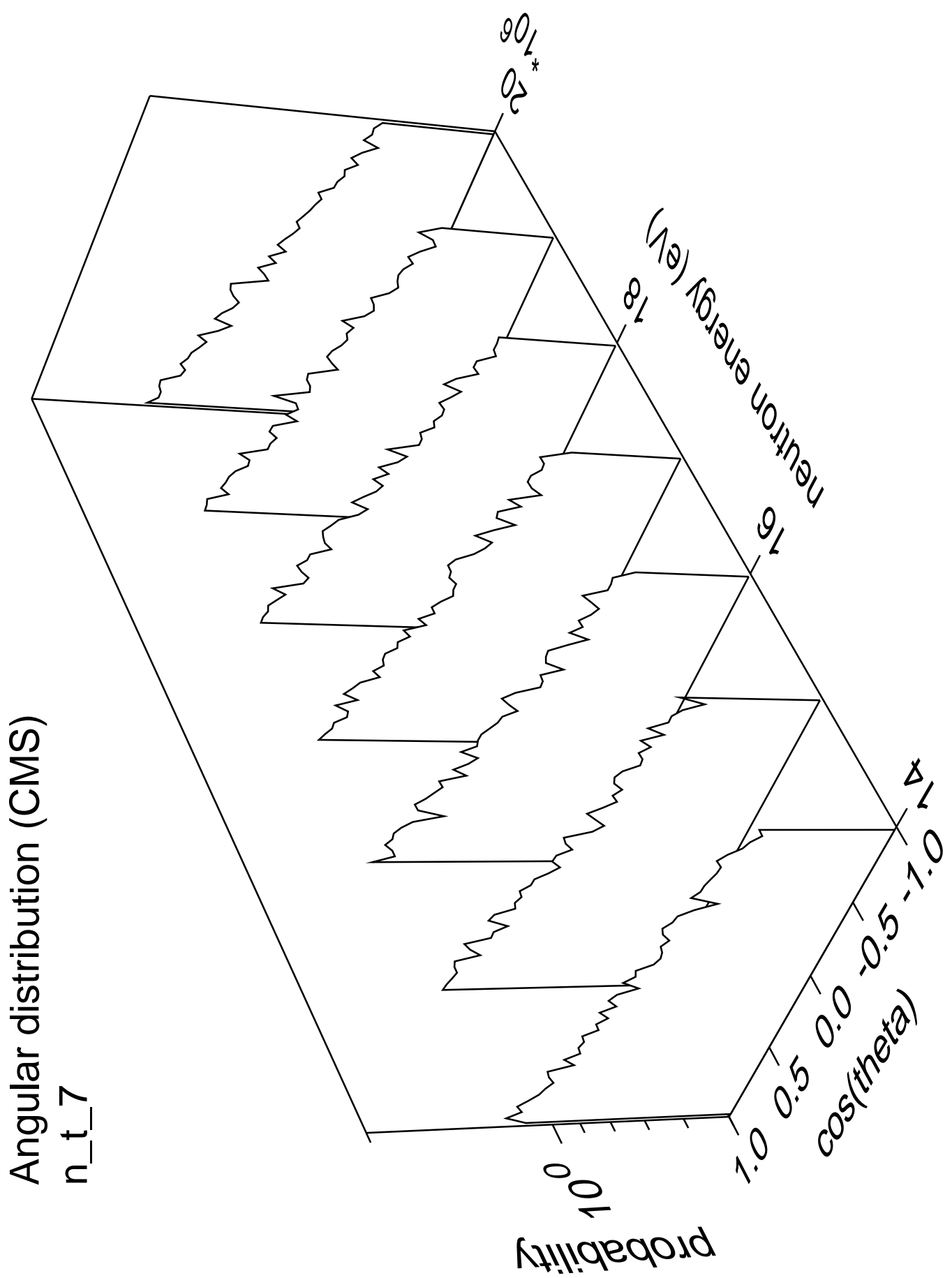


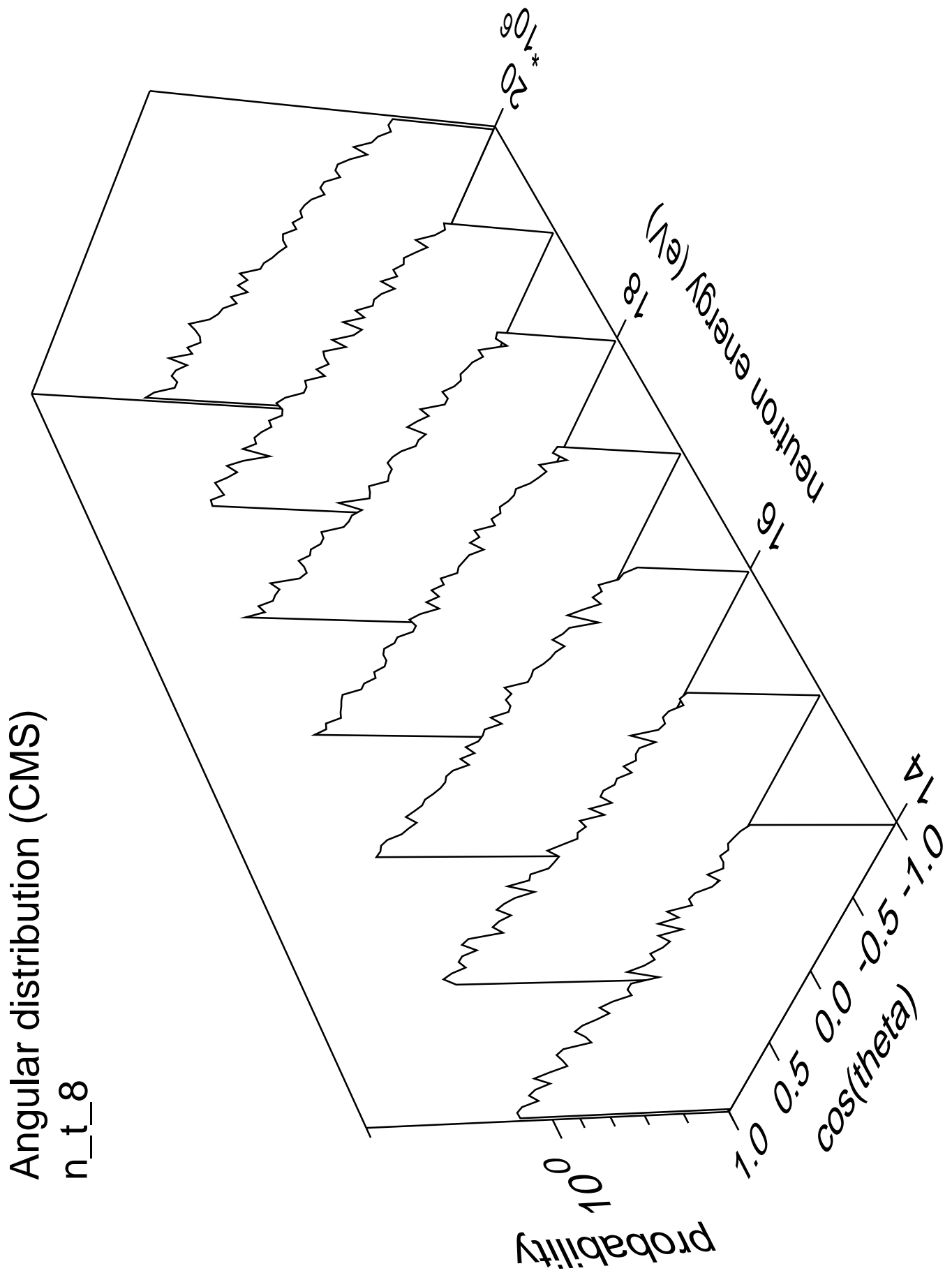


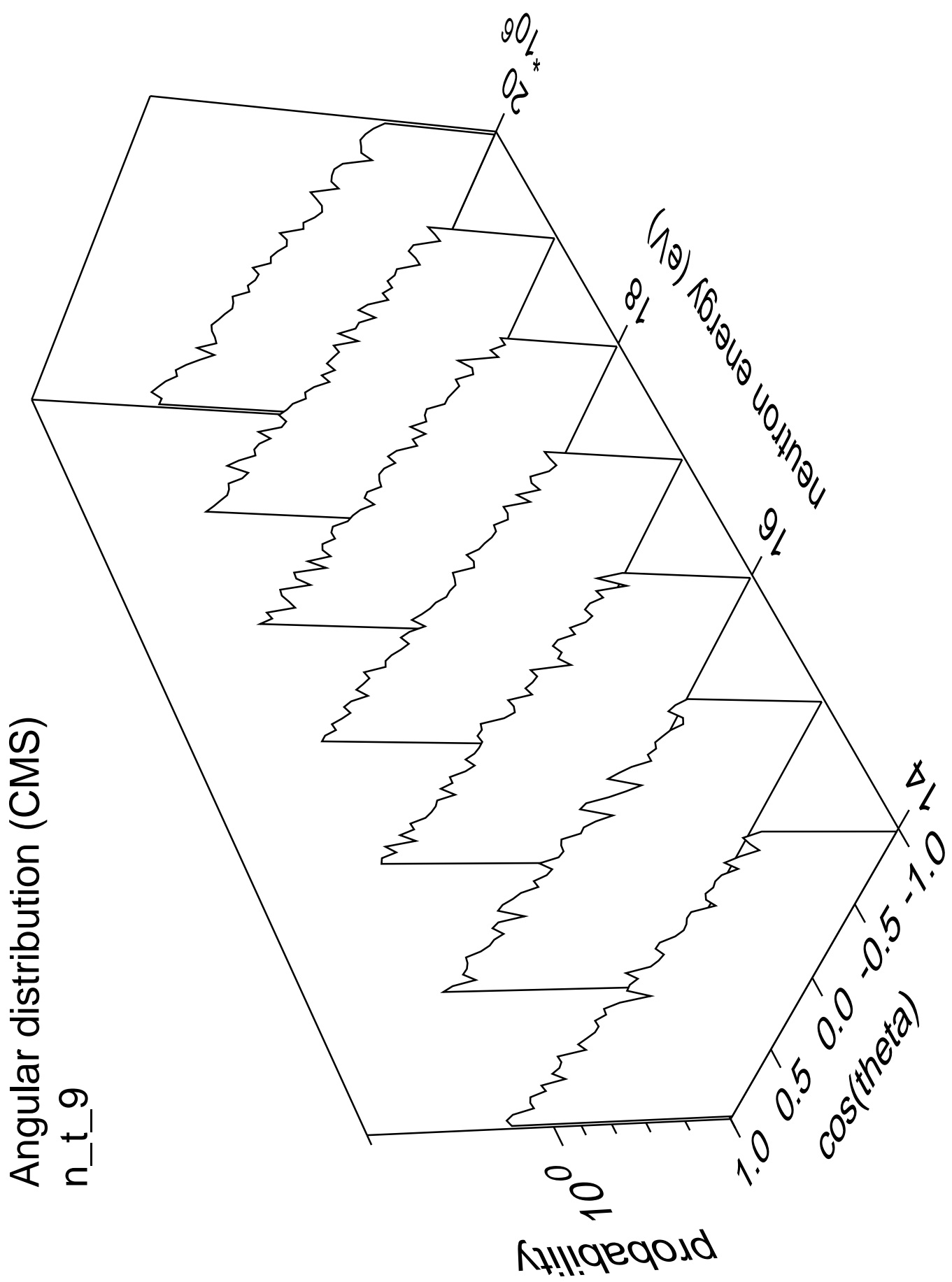


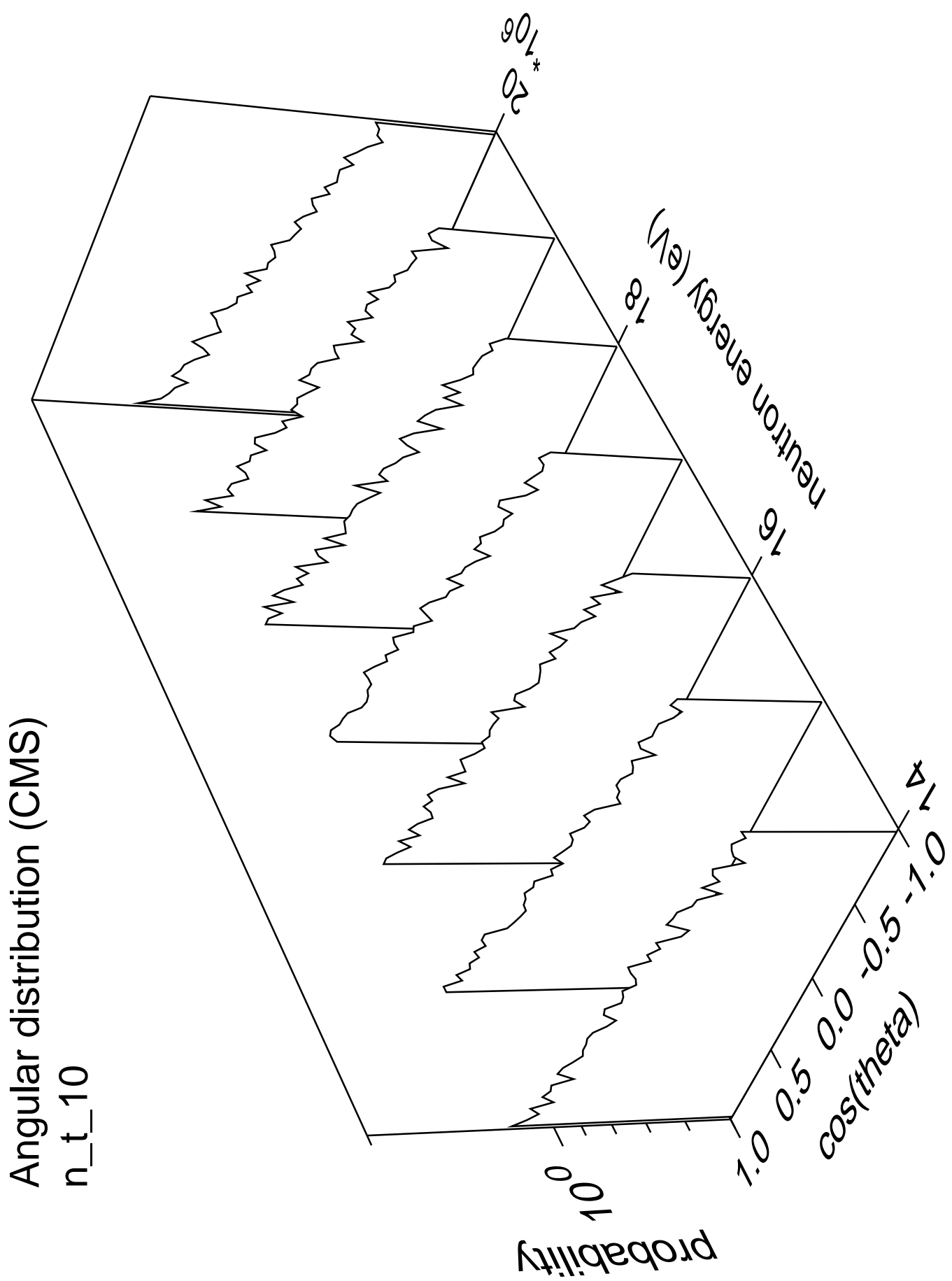


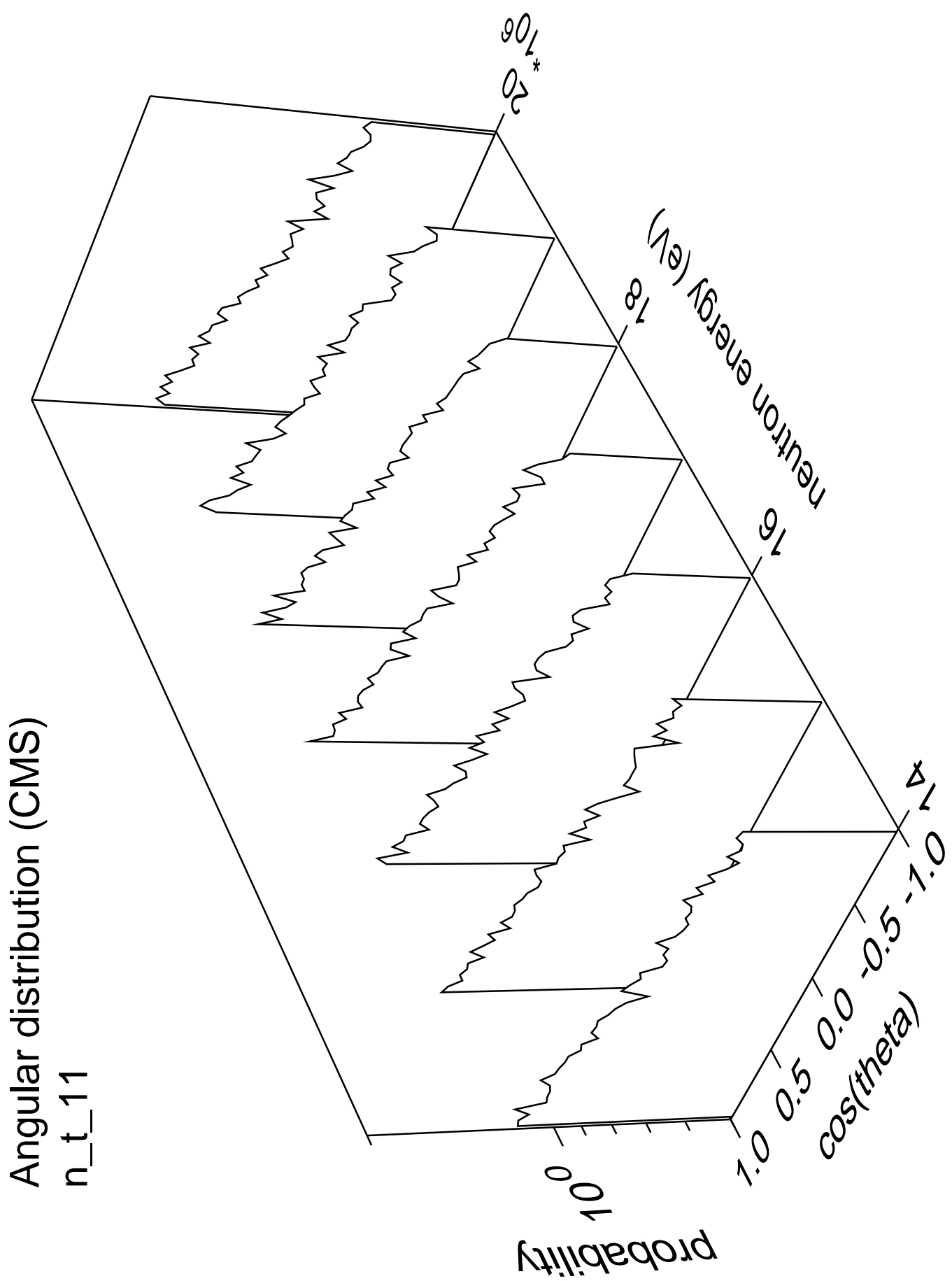


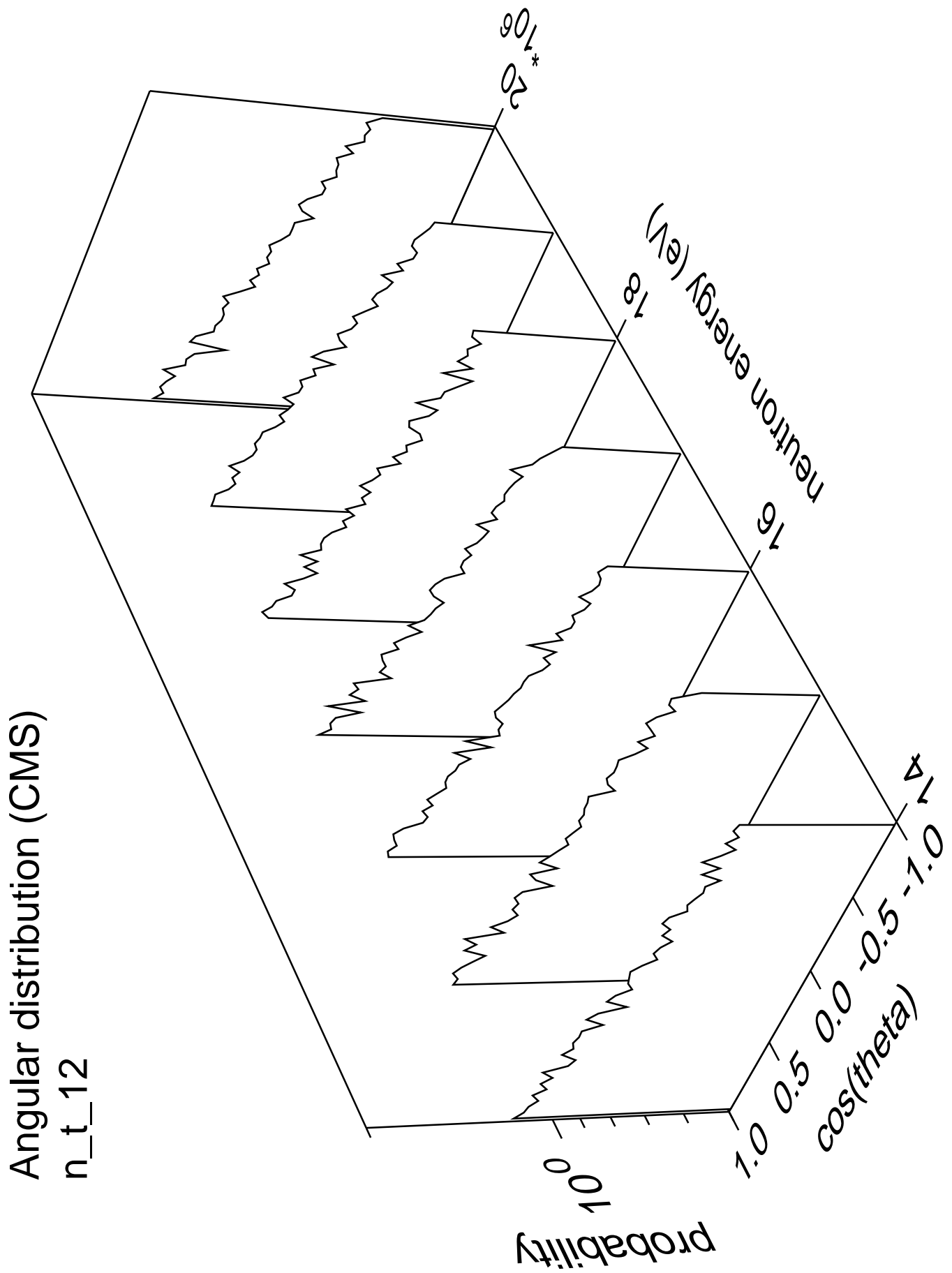


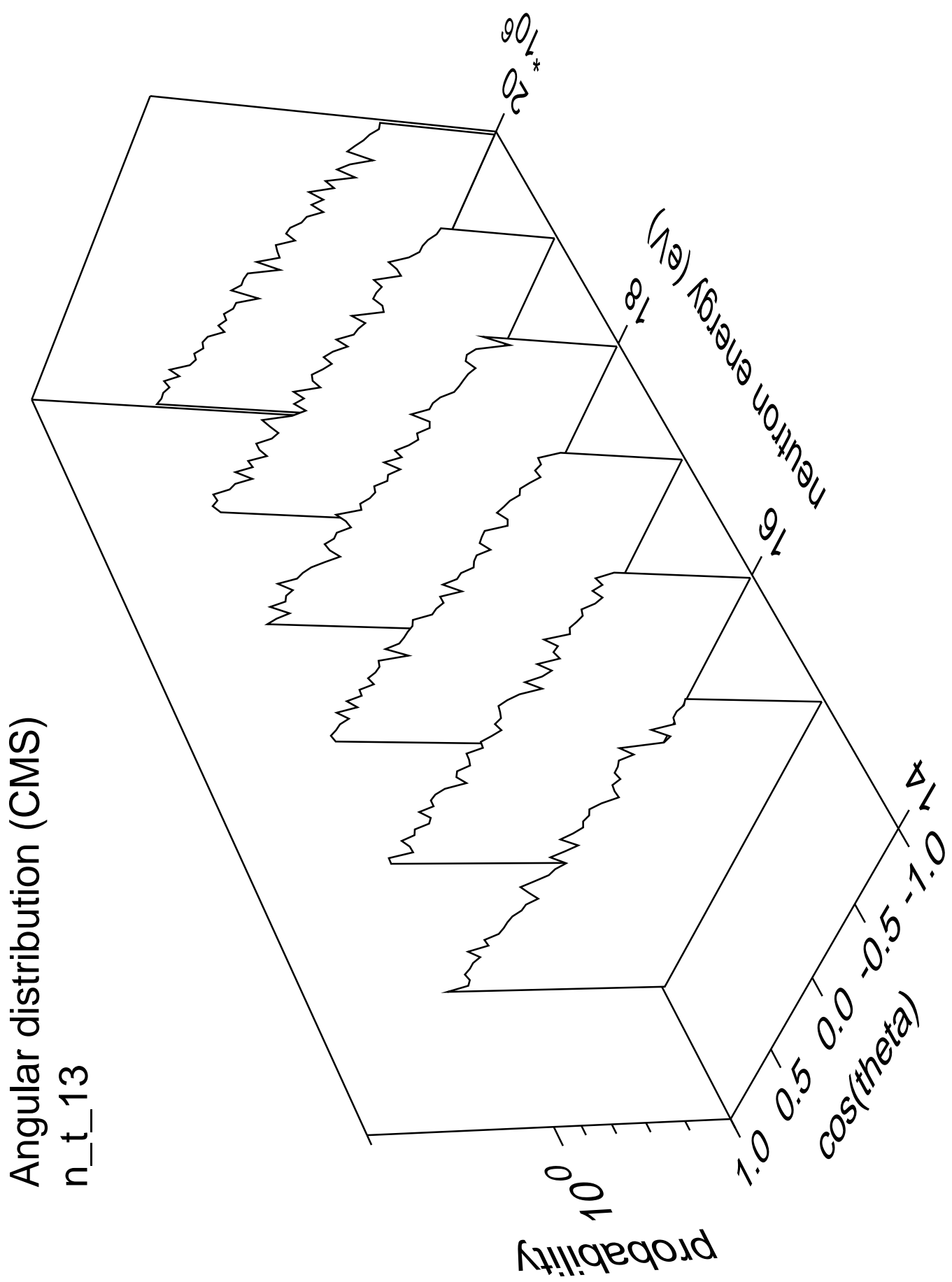


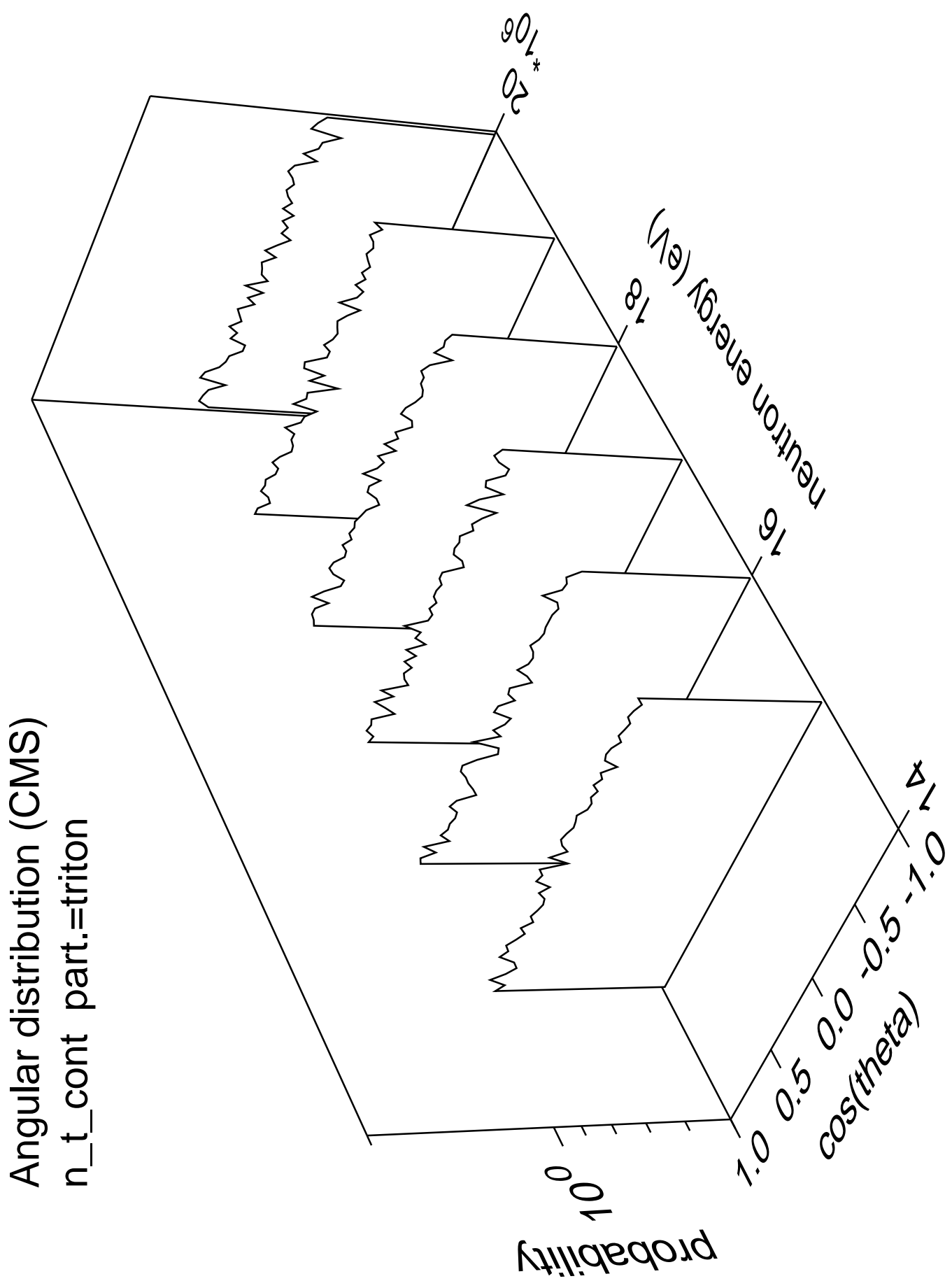




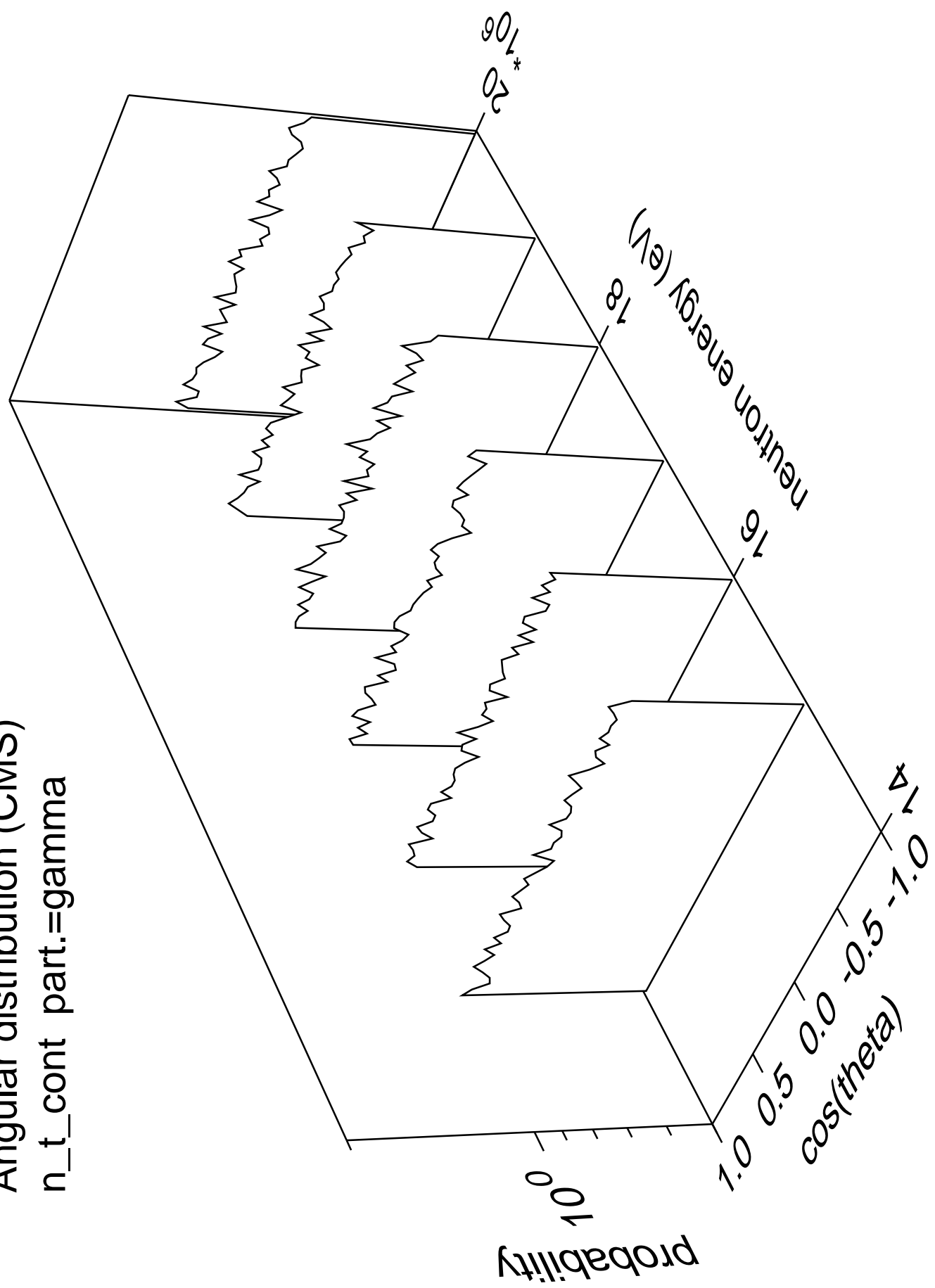


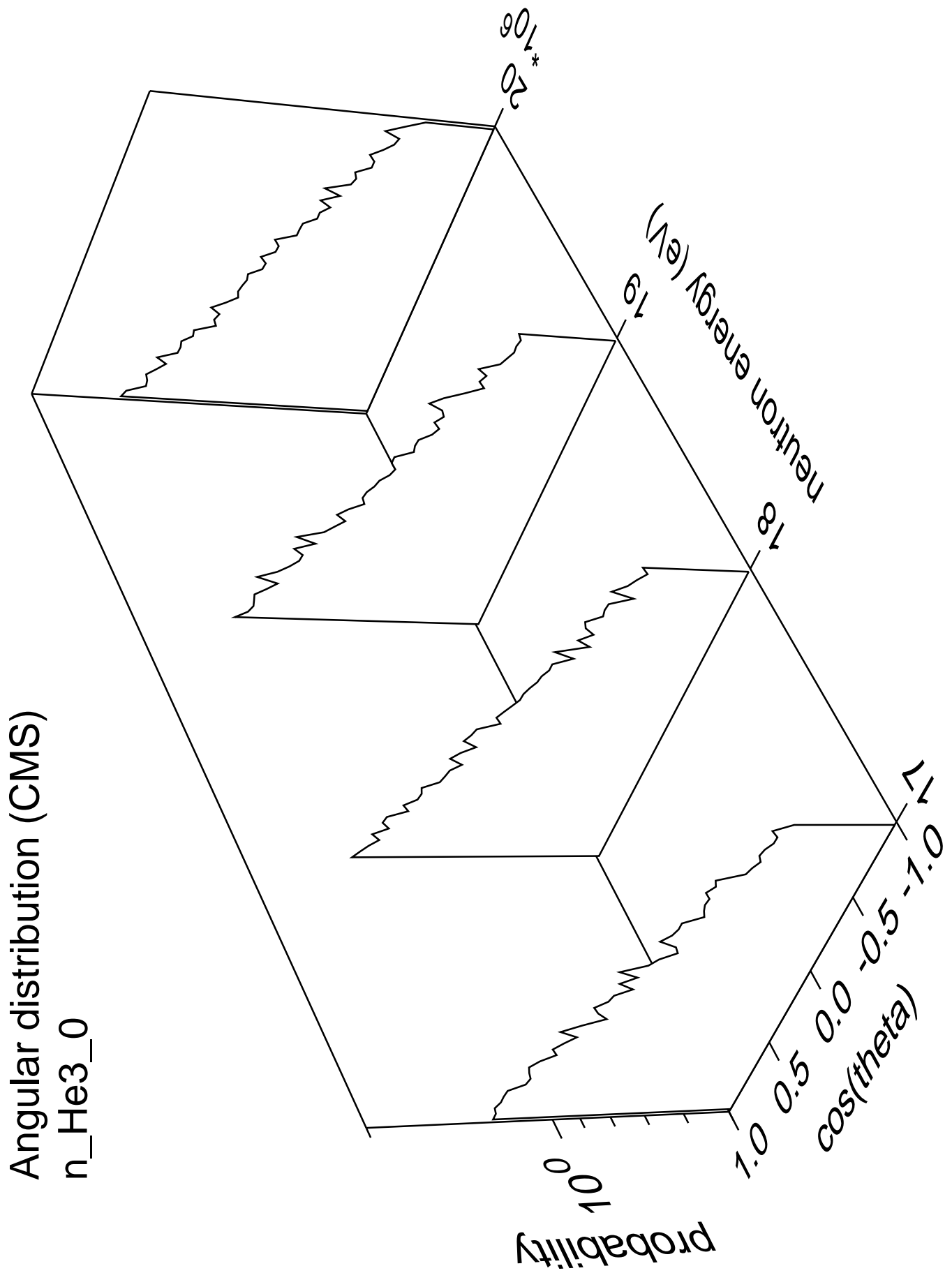


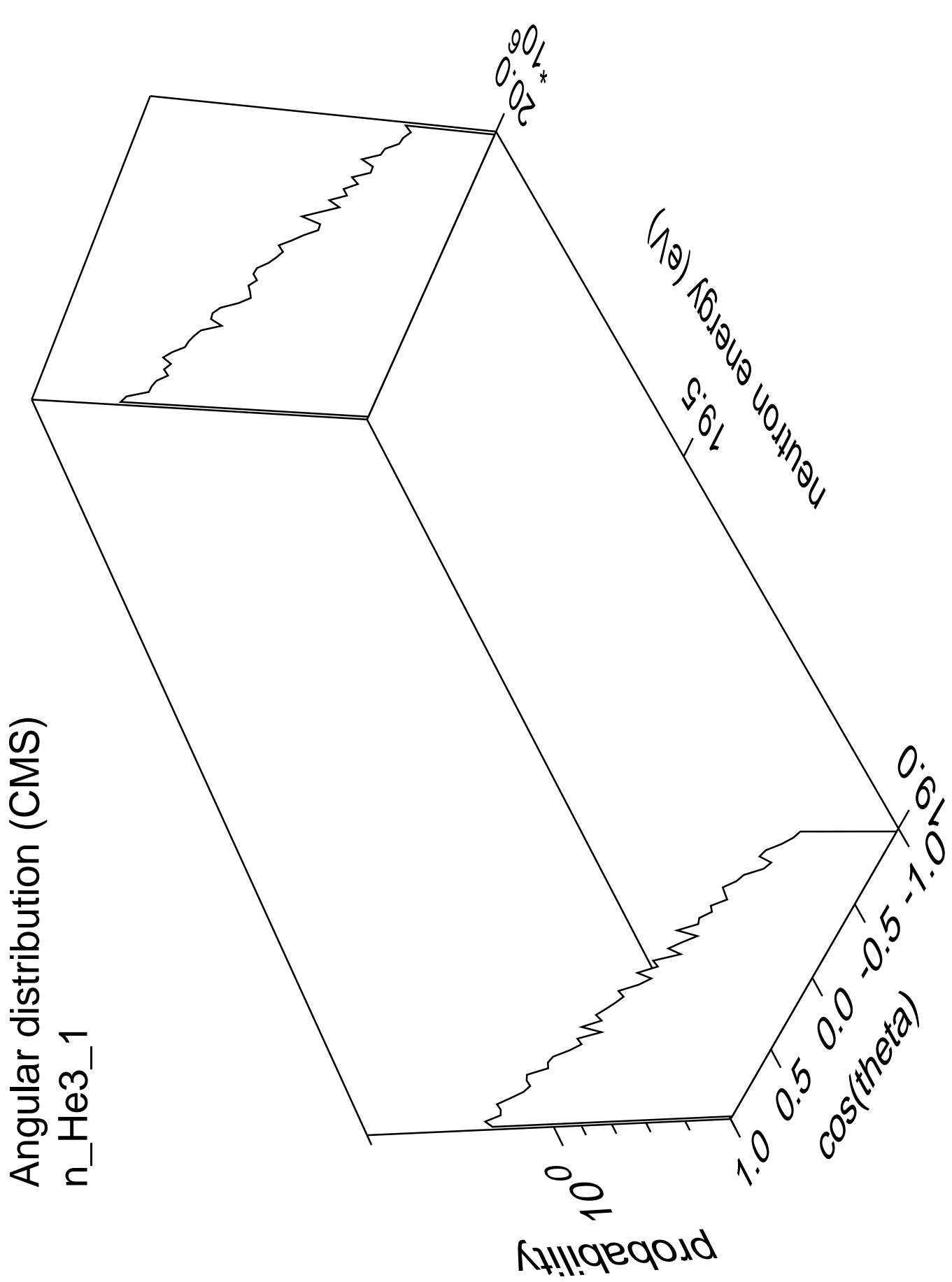


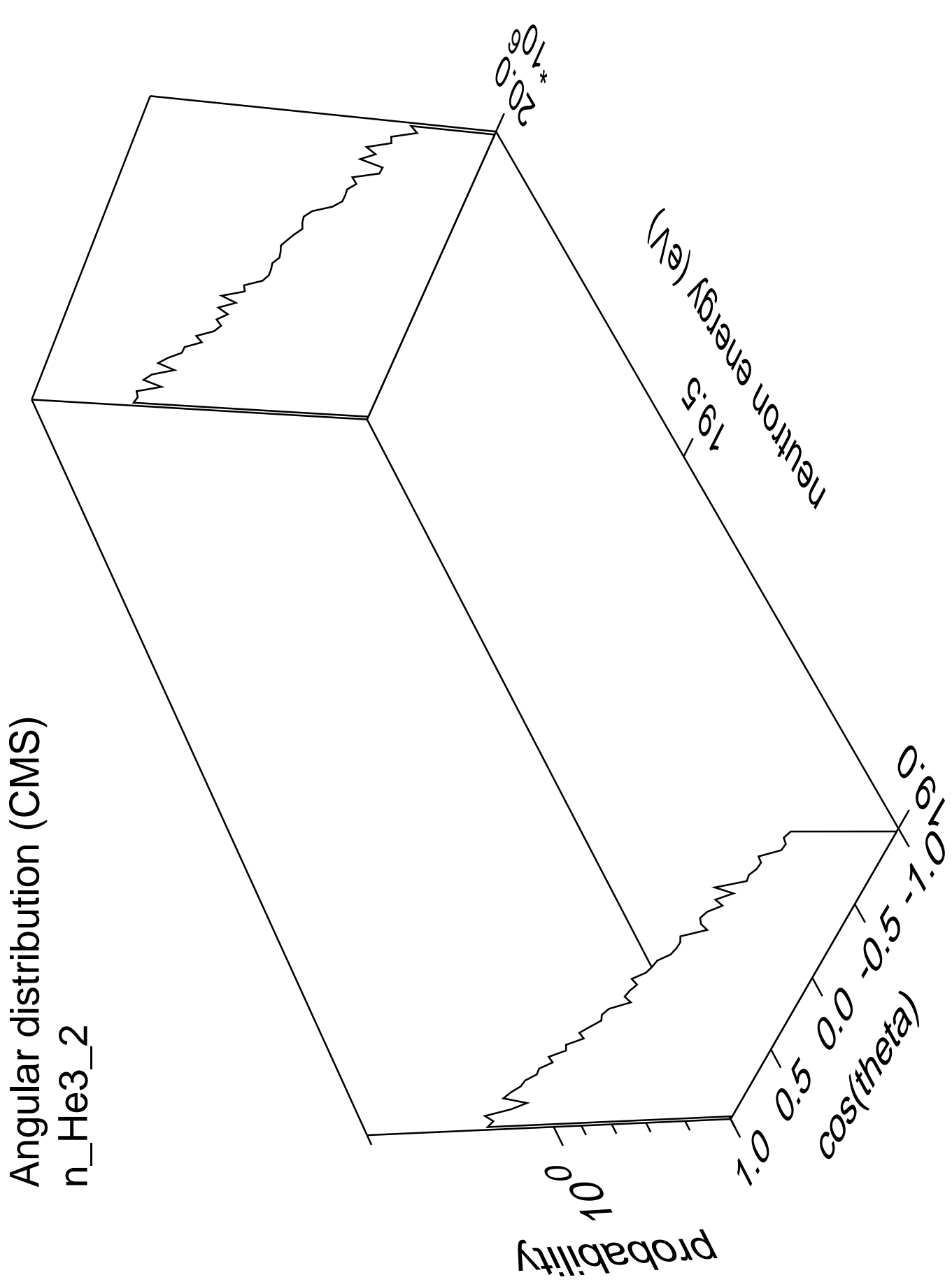


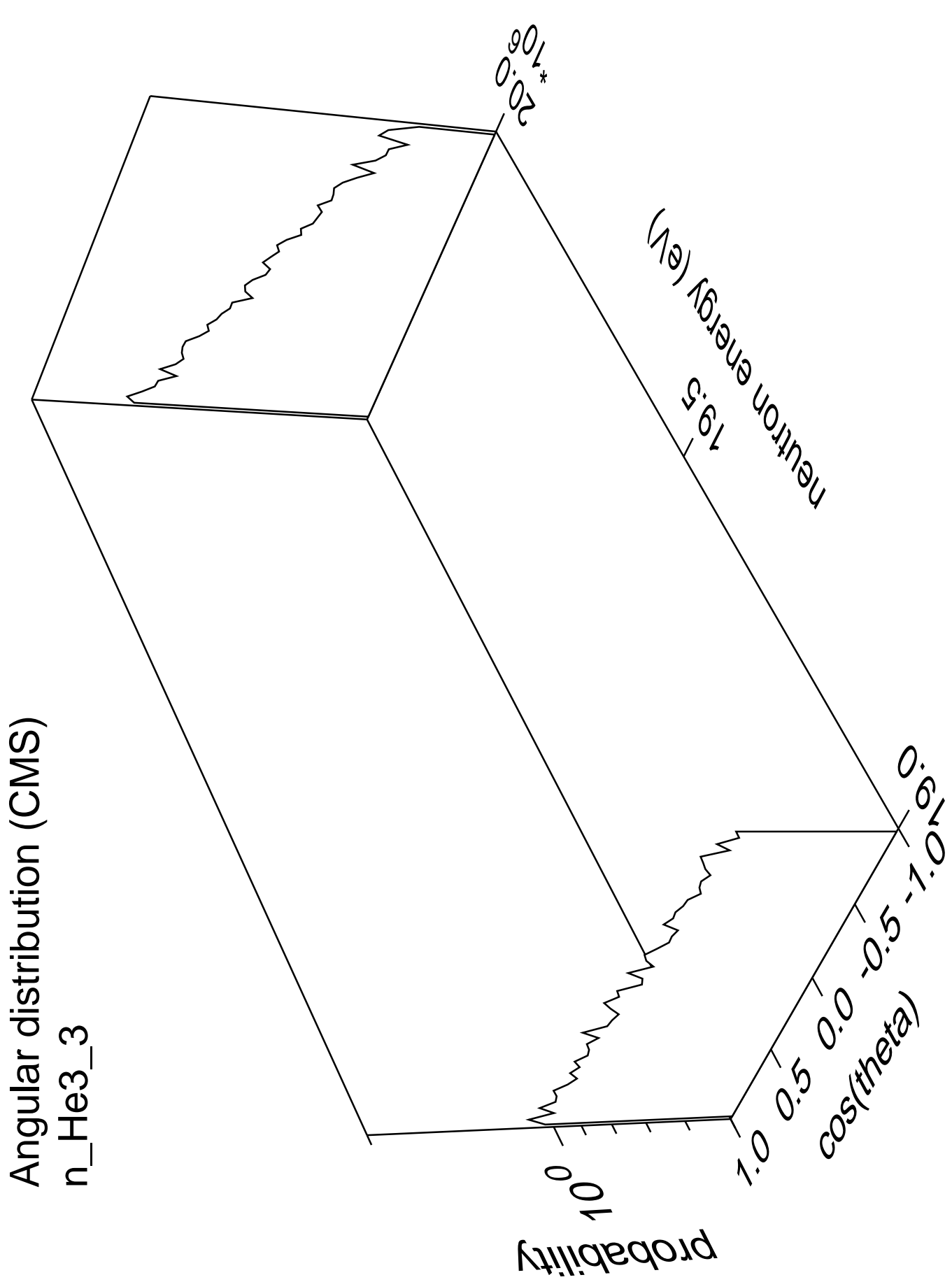
Angular distribution (CMS)
 n_t cont part.=gamma











Angular distribution (CMS)
n_He3_cont part.=3He

Probability

10^0

10^{-1}

10^{-2}

10^{-3}

10^{-4}

10^{-5}

10^{-6}

10^{-7}

10^{-8}

10^{-9}

10^{-10}

10^{-11}

10^{-12}

10^{-13}

10^{-14}

10^{-15}

10^{-16}

10^{-17}

10^{-18}

10^{-19}

10^{-20}

10^{-21}

10^{-22}

10^{-23}

10^{-24}

10^{-25}

10^{-26}

10^{-27}

10^{-28}

10^{-29}

10^{-30}

10^{-31}

10^{-32}

10^{-33}

10^{-34}

10^{-35}

10^{-36}

10^{-37}

10^{-38}

10^{-39}

10^{-40}

10^{-41}

10^{-42}

10^{-43}

10^{-44}

10^{-45}

10^{-46}

10^{-47}

10^{-48}

10^{-49}

10^{-50}

10^{-51}

10^{-52}

10^{-53}

10^{-54}

10^{-55}

10^{-56}

10^{-57}

10^{-58}

10^{-59}

10^{-60}

10^{-61}

10^{-62}

10^{-63}

10^{-64}

10^{-65}

10^{-66}

10^{-67}

10^{-68}

10^{-69}

10^{-70}

10^{-71}

10^{-72}

10^{-73}

10^{-74}

10^{-75}

10^{-76}

10^{-77}

10^{-78}

10^{-79}

10^{-80}

10^{-81}

10^{-82}

10^{-83}

10^{-84}

10^{-85}

10^{-86}

10^{-87}

10^{-88}

10^{-89}

10^{-90}

10^{-91}

10^{-92}

10^{-93}

10^{-94}

10^{-95}

10^{-96}

10^{-97}

10^{-98}

10^{-99}

10^{-100}

10^{-101}

10^{-102}

10^{-103}

10^{-104}

10^{-105}

10^{-106}

10^{-107}

10^{-108}

10^{-109}

10^{-110}

10^{-111}

10^{-112}

10^{-113}

10^{-114}

10^{-115}

10^{-116}

10^{-117}

10^{-118}

10^{-119}

10^{-120}

10^{-121}

10^{-122}

10^{-123}

10^{-124}

10^{-125}

10^{-126}

10^{-127}

10^{-128}

10^{-129}

10^{-130}

10^{-131}

10^{-132}

10^{-133}

10^{-134}

10^{-135}

10^{-136}

10^{-137}

10^{-138}

10^{-139}

10^{-140}

10^{-141}

10^{-142}

10^{-143}

10^{-144}

10^{-145}

10^{-146}

10^{-147}

10^{-148}

10^{-149}

10^{-150}

10^{-151}

10^{-152}

10^{-153}

10^{-154}

10^{-155}

10^{-156}

10^{-157}

10^{-158}

10^{-159}

10^{-160}

10^{-161}

10^{-162}

10^{-163}

10^{-164}

10^{-165}

10^{-166}

10^{-167}

10^{-168}

10^{-169}

10^{-170}

10^{-171}

10^{-172}

10^{-173}

10^{-174}

10^{-175}

10^{-176}

10^{-177}

10^{-178}

10^{-179}

10^{-180}

10^{-181}

10^{-182}

10^{-183}

10^{-184}

10^{-185}

10^{-186}

10^{-187}

10^{-188}

10^{-189}

10^{-190}

10^{-191}

10^{-192}

10^{-193}

10^{-194}

10^{-195}

10^{-196}

10^{-197}

10^{-198}

10^{-199}

10^{-200}

10^{-201}

10^{-202}

10^{-203}

10^{-204}

10^{-205}

10^{-206}

10^{-207}

10^{-208}

10^{-209}

10^{-210}

10^{-211}

10^{-212}

10^{-213}

10^{-214}

10^{-215}

10^{-216}

10^{-217}

10^{-218}

10^{-219}

10^{-220}

10^{-221}

10^{-222}

10^{-223}

10^{-224}

10^{-225}

10^{-226}

10^{-227}

10^{-228}

10^{-229}

10^{-230}

10^{-231}

10^{-232}

10^{-233}

10^{-234}

10^{-235}

10^{-236}

10^{-237}

10^{-238}

10^{-239}

10^{-240}

10^{-241}

10^{-242}

10^{-243}

10^{-244}

10^{-245}

10^{-246}

10^{-247}

10^{-248}

10^{-249}

10^{-250}

10^{-251}

10^{-252}

10^{-253}

10^{-254}

10^{-255}

10^{-256}

10^{-257}

10^{-258}

10^{-259}

10^{-260}

10^{-261}

10^{-262}

10^{-263}

10^{-264}

Angular distribution (CMS)
n_He3_cont part.=gamma

probability

10^0



cos(theta)

1.0

0.5

0.0

-0.5

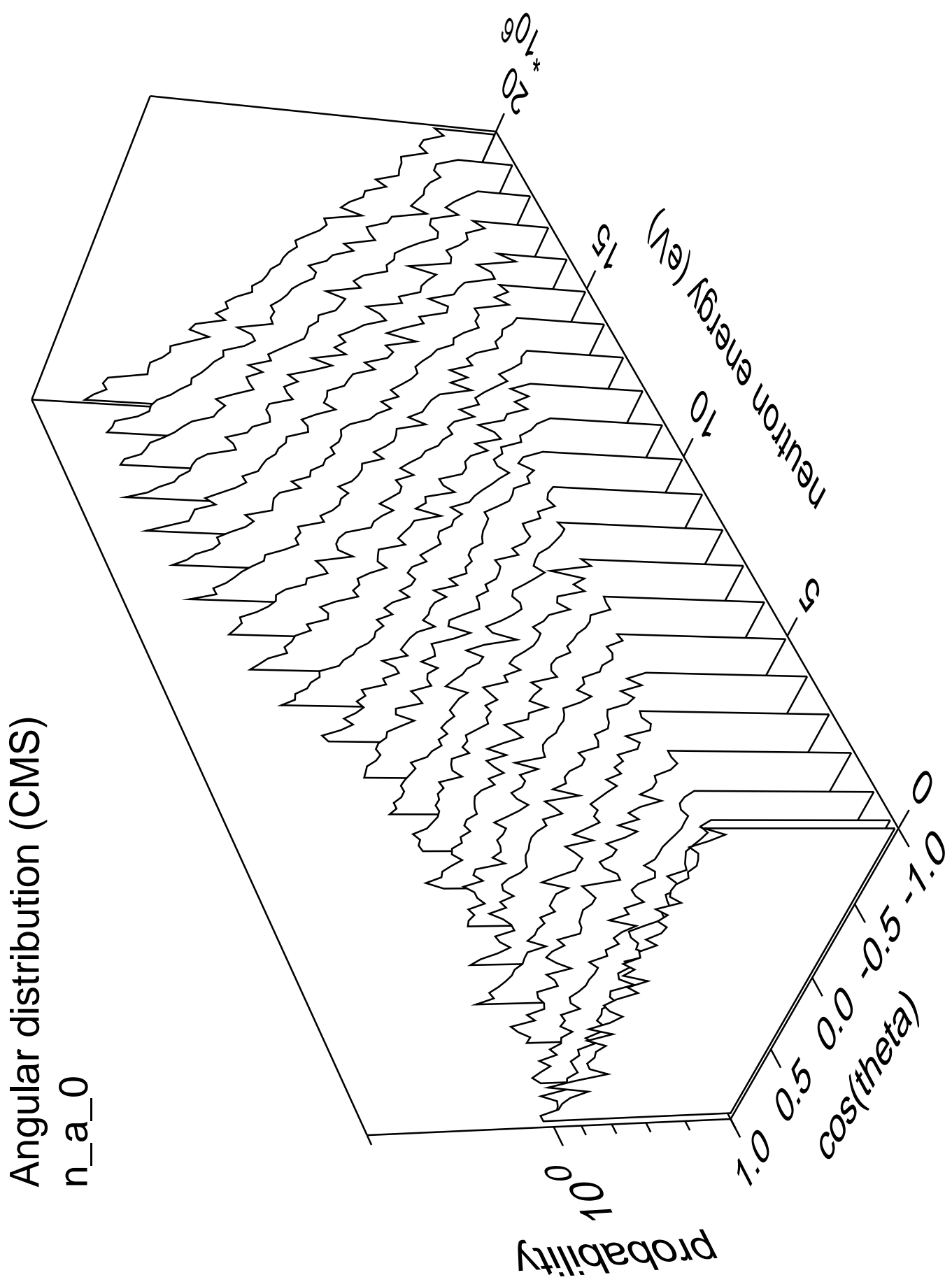
-1.0

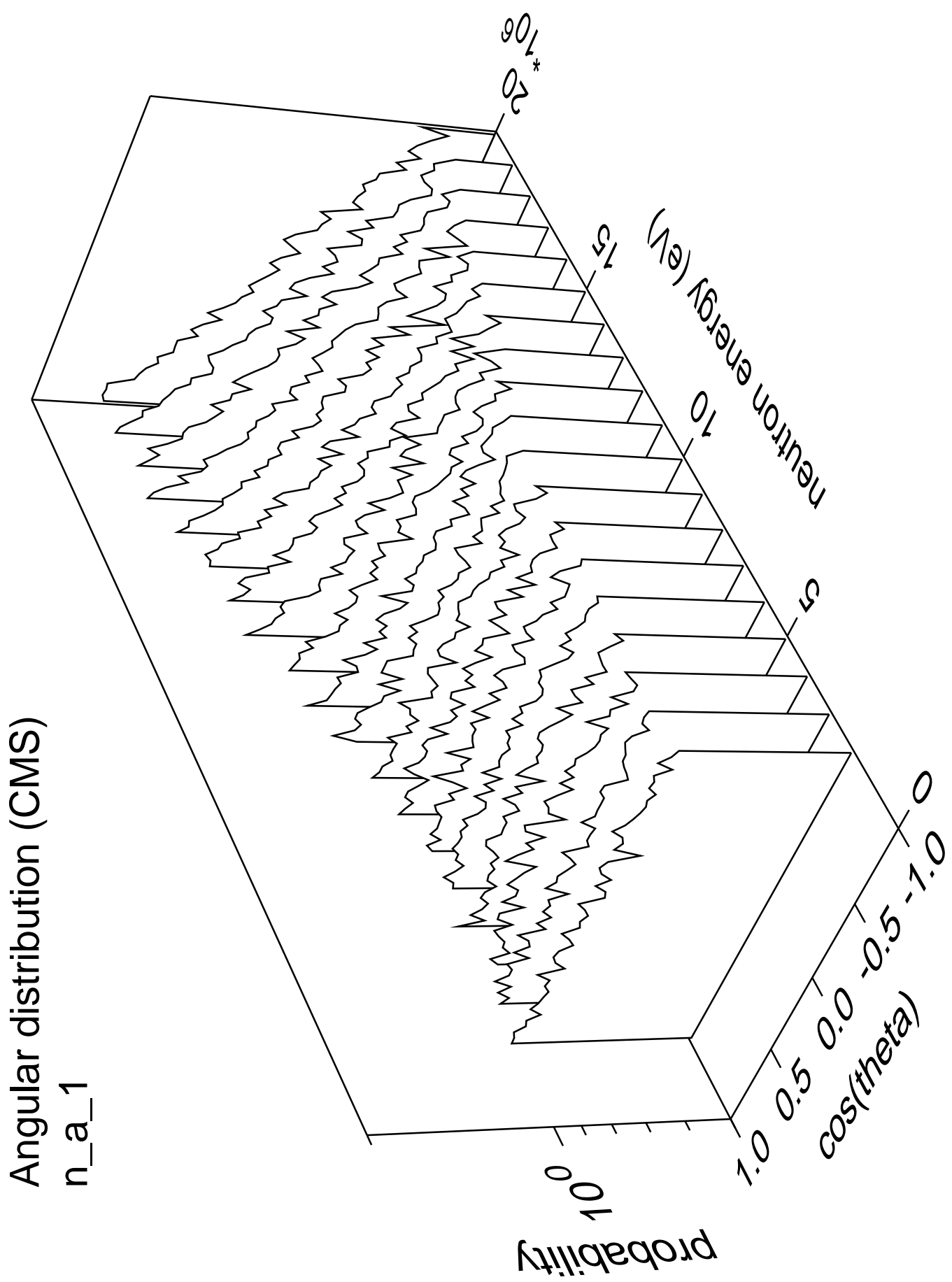
neutron energy (eV)

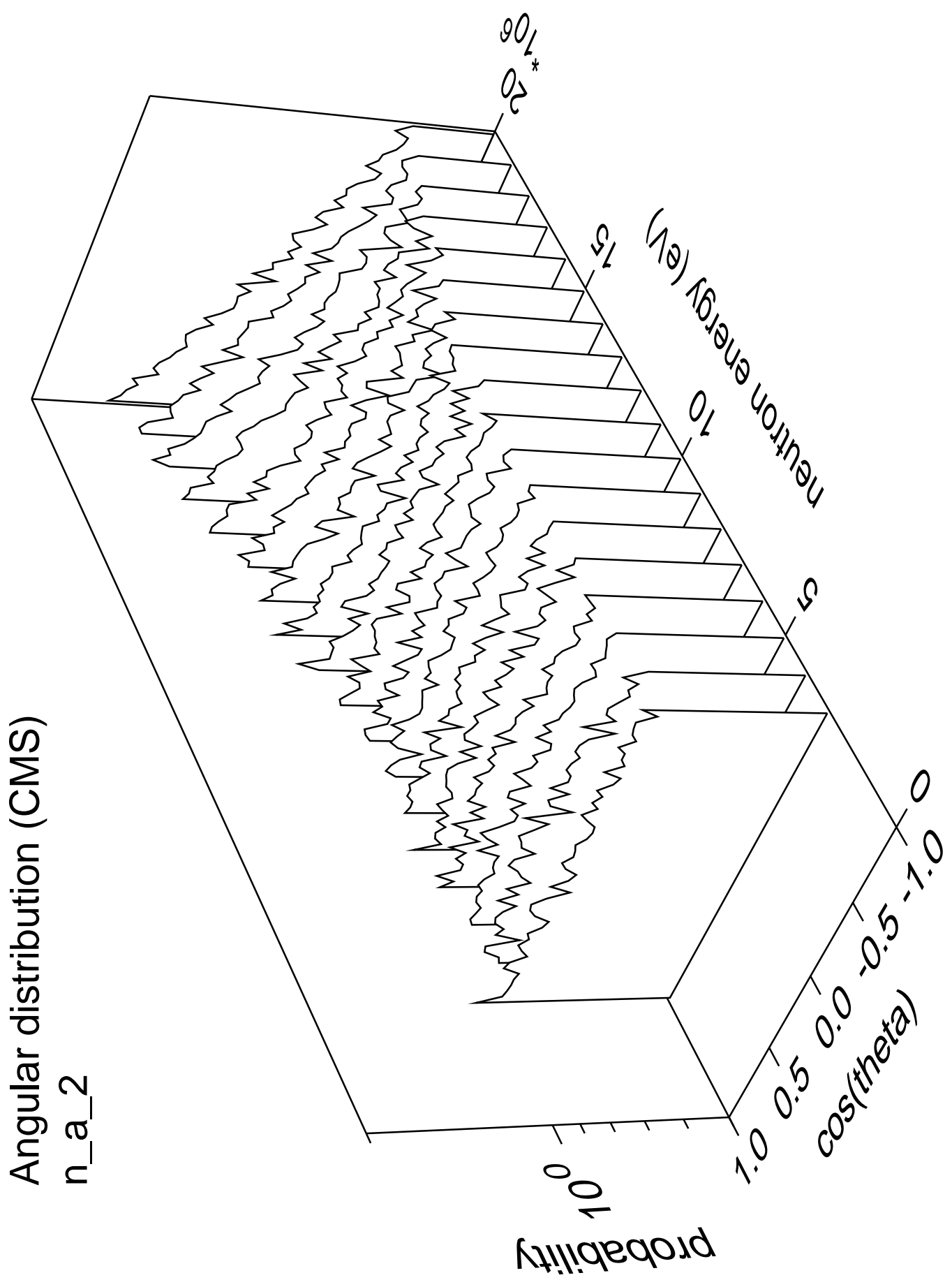
19.5

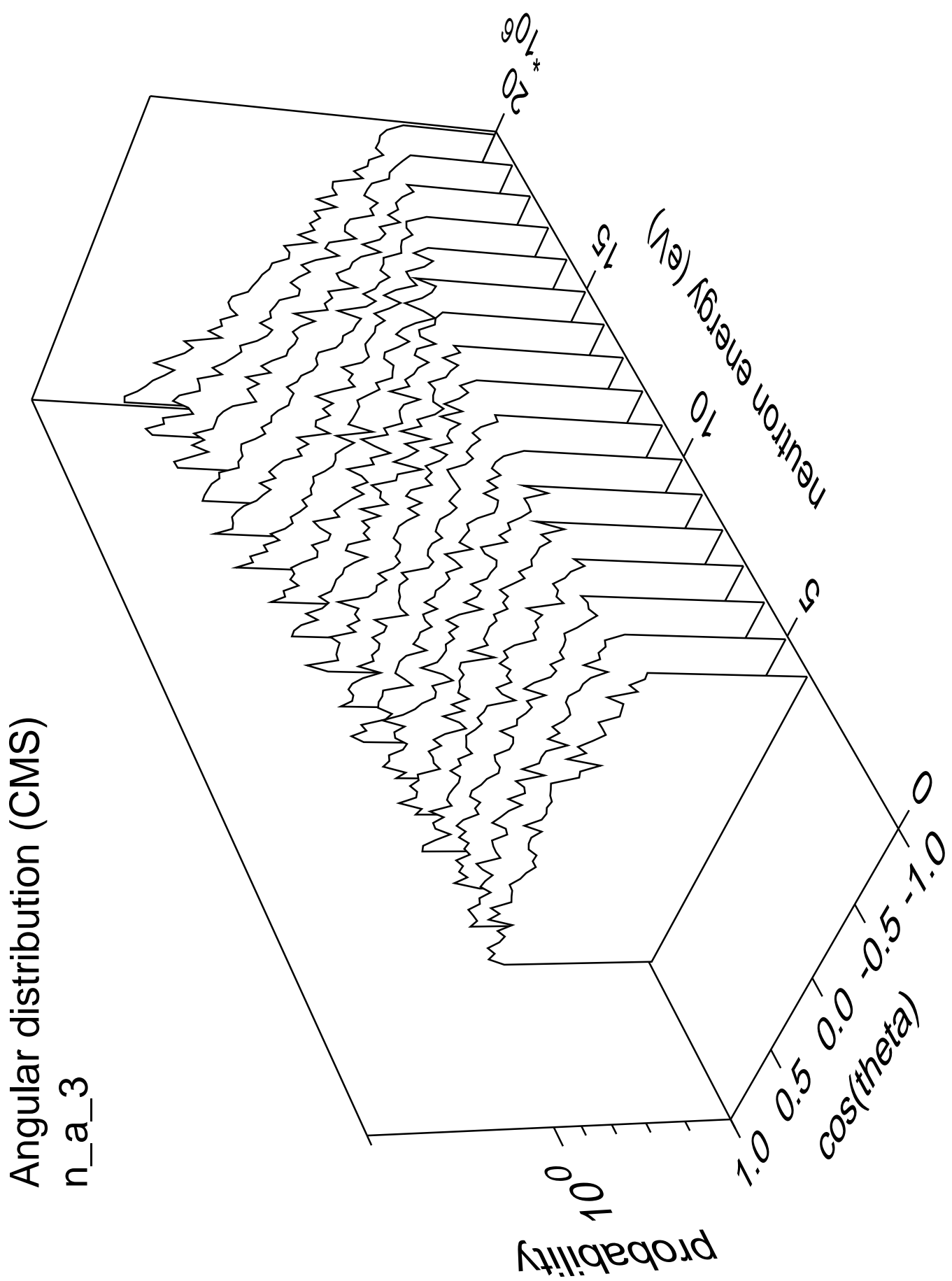
20.0

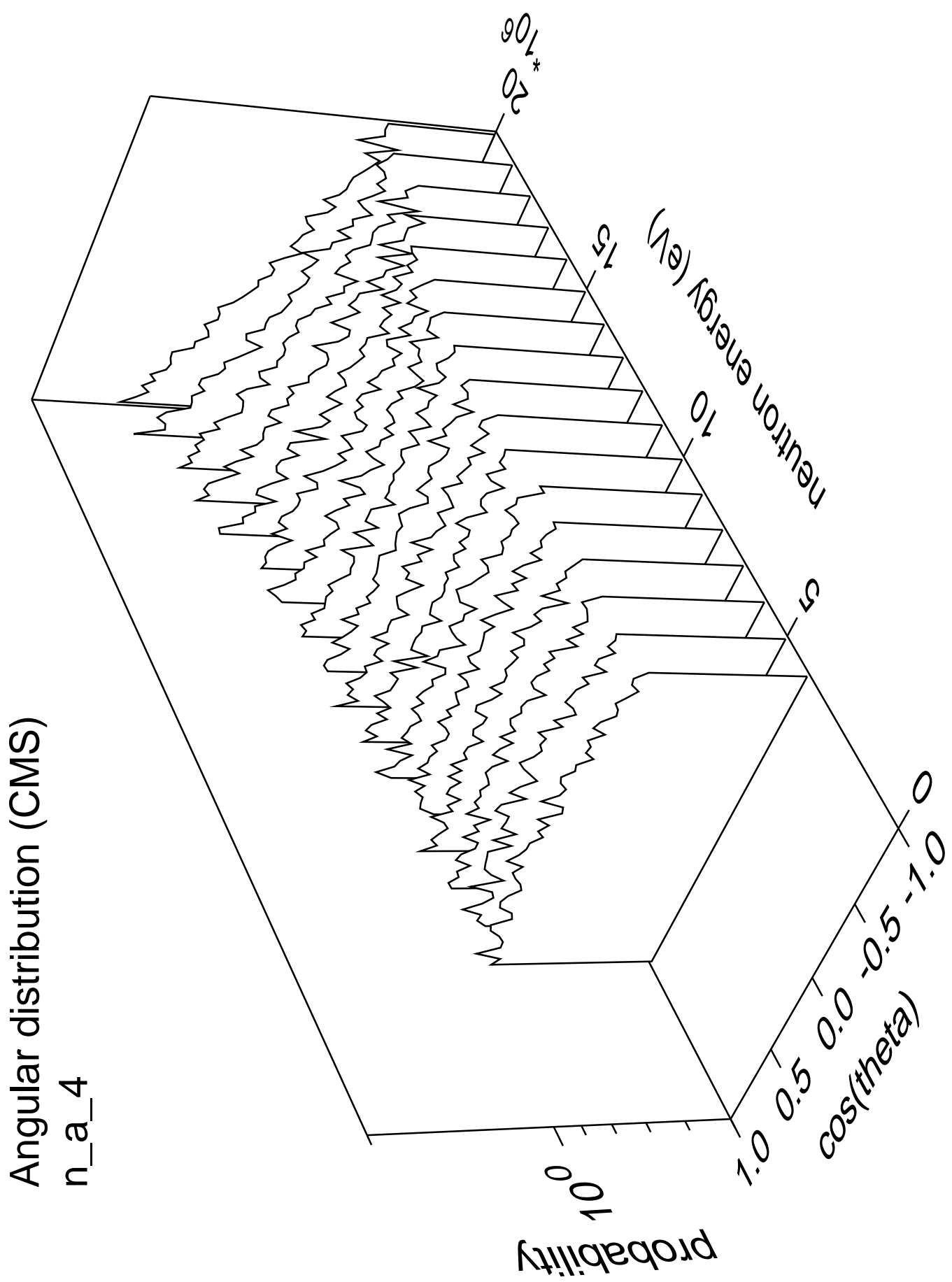
20.0*

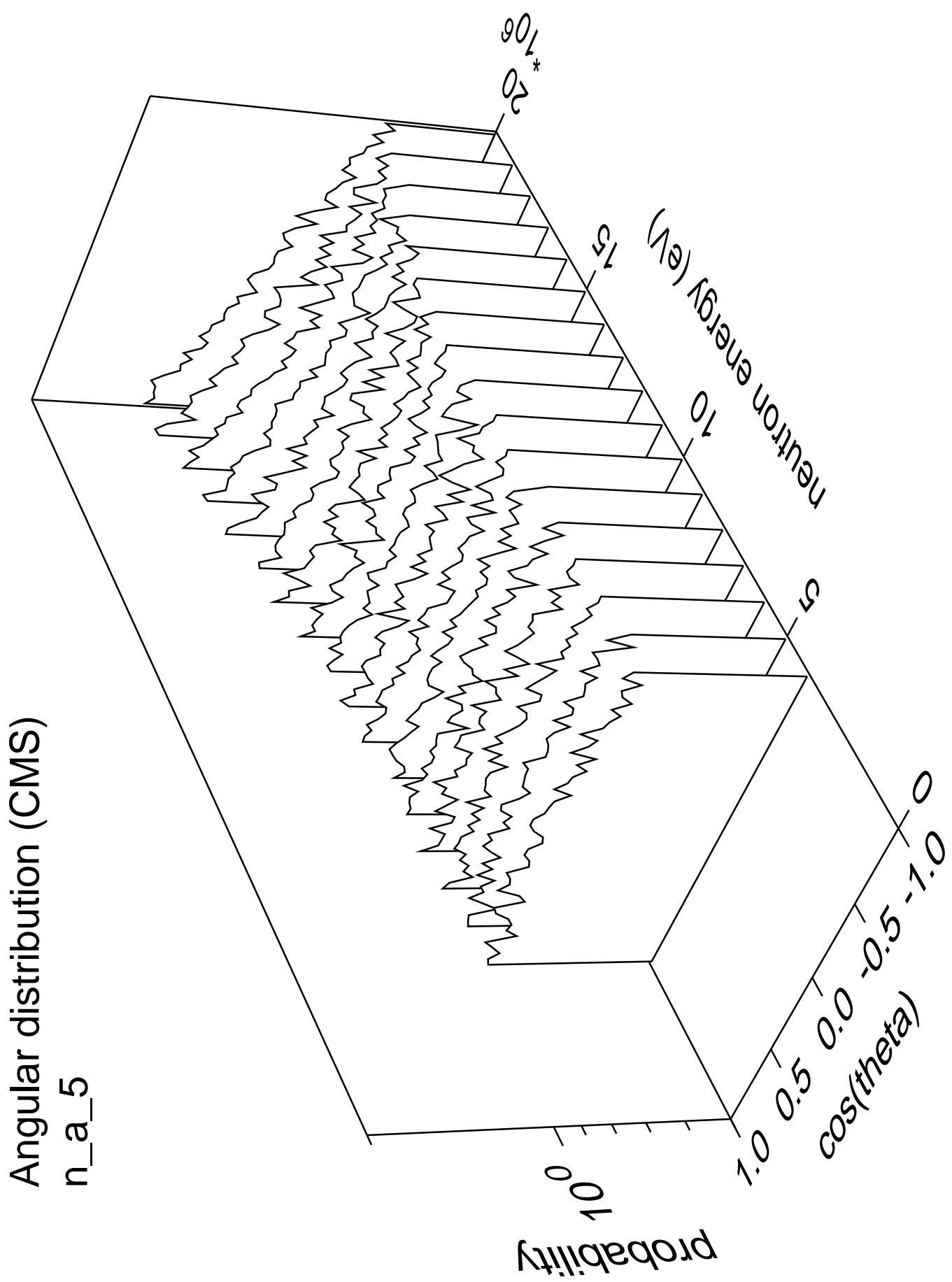


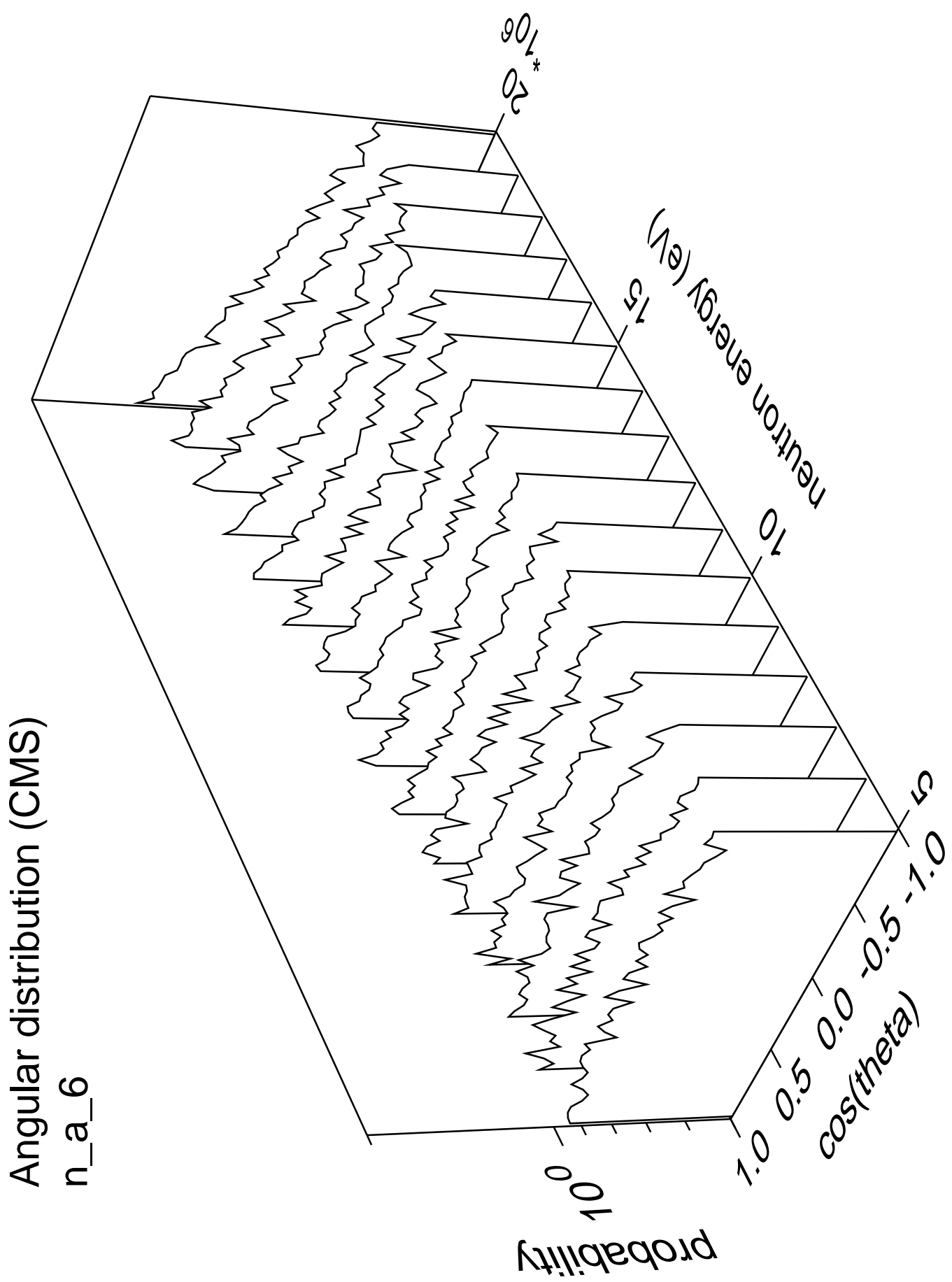


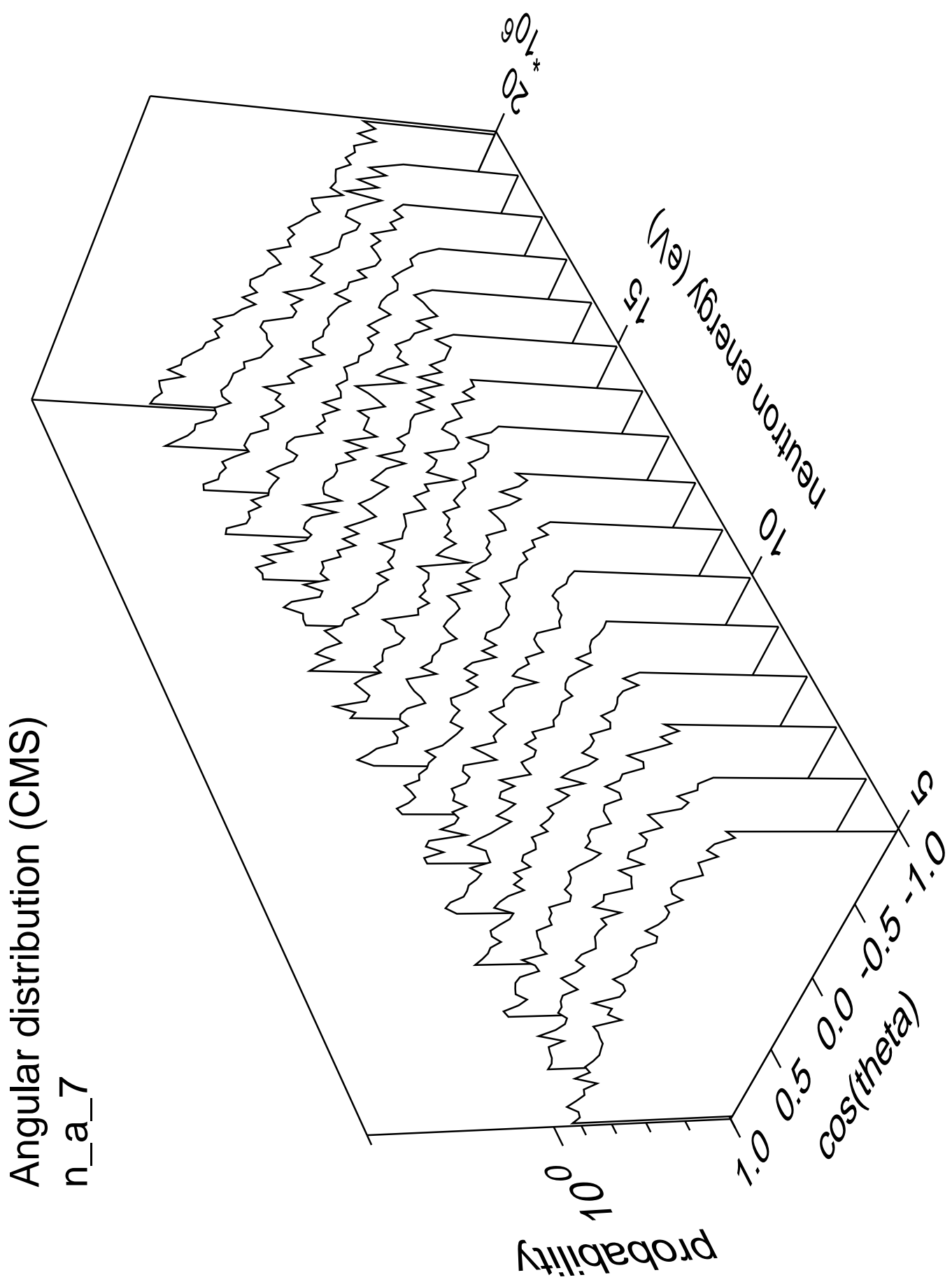


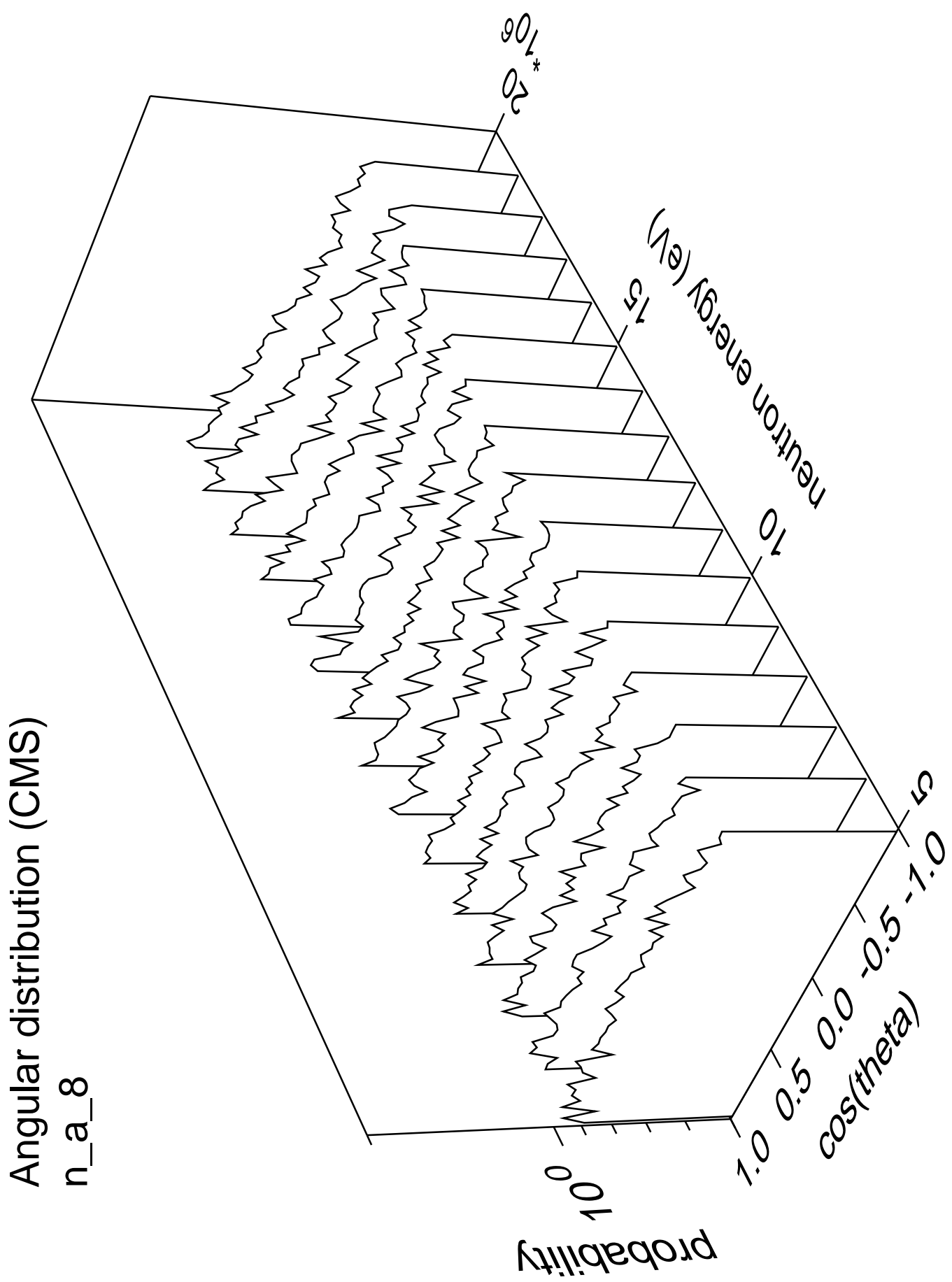


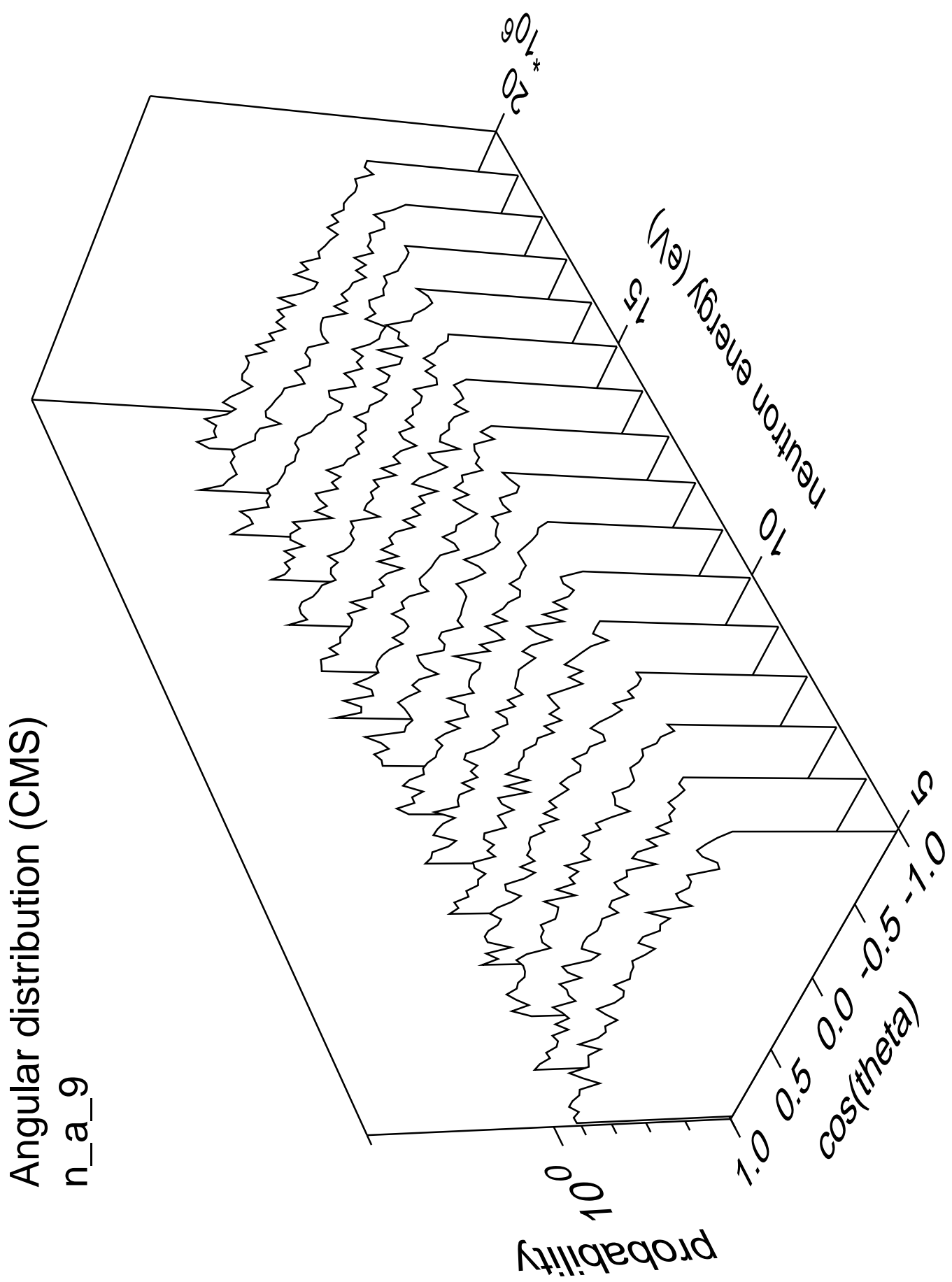




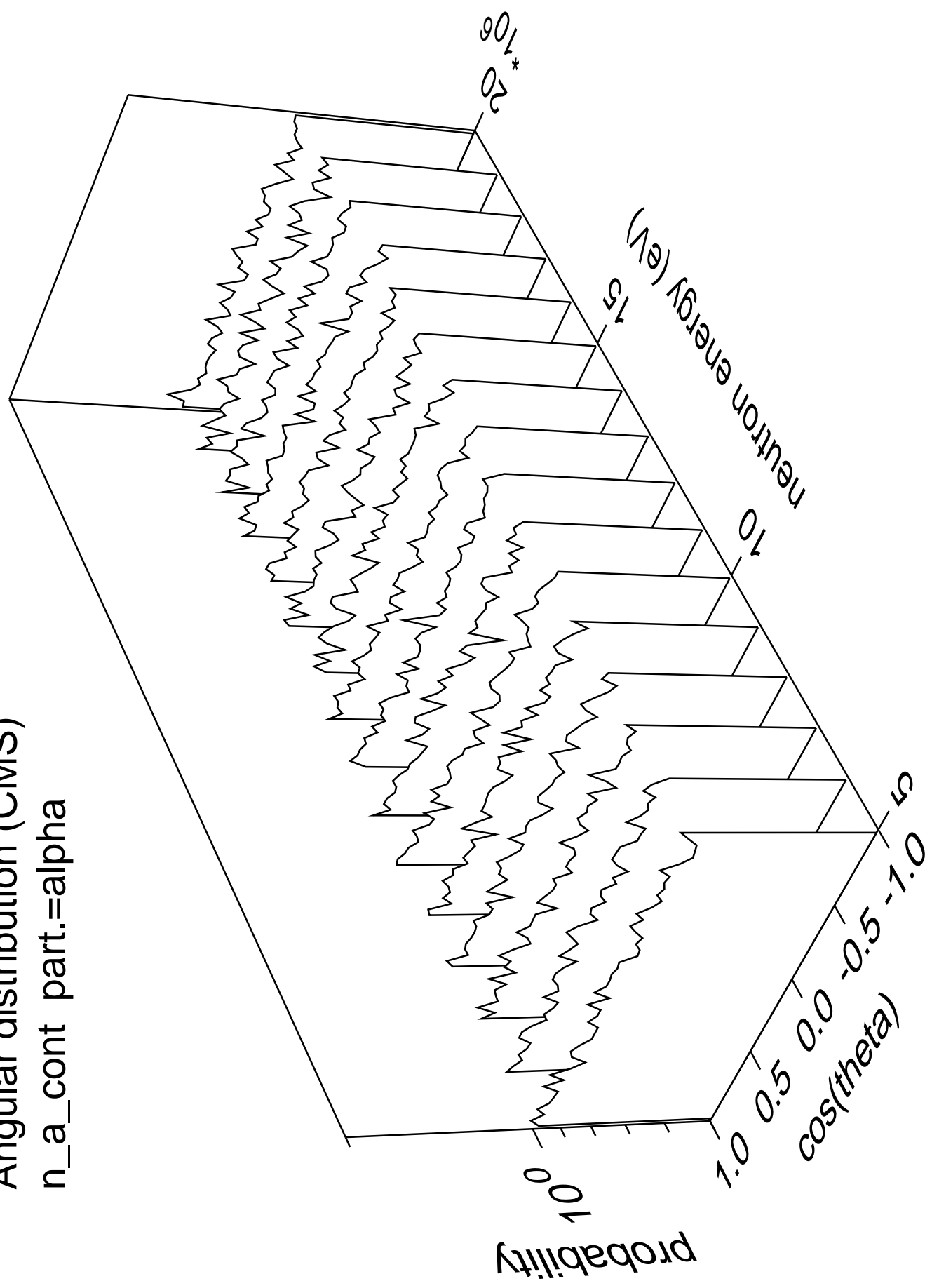




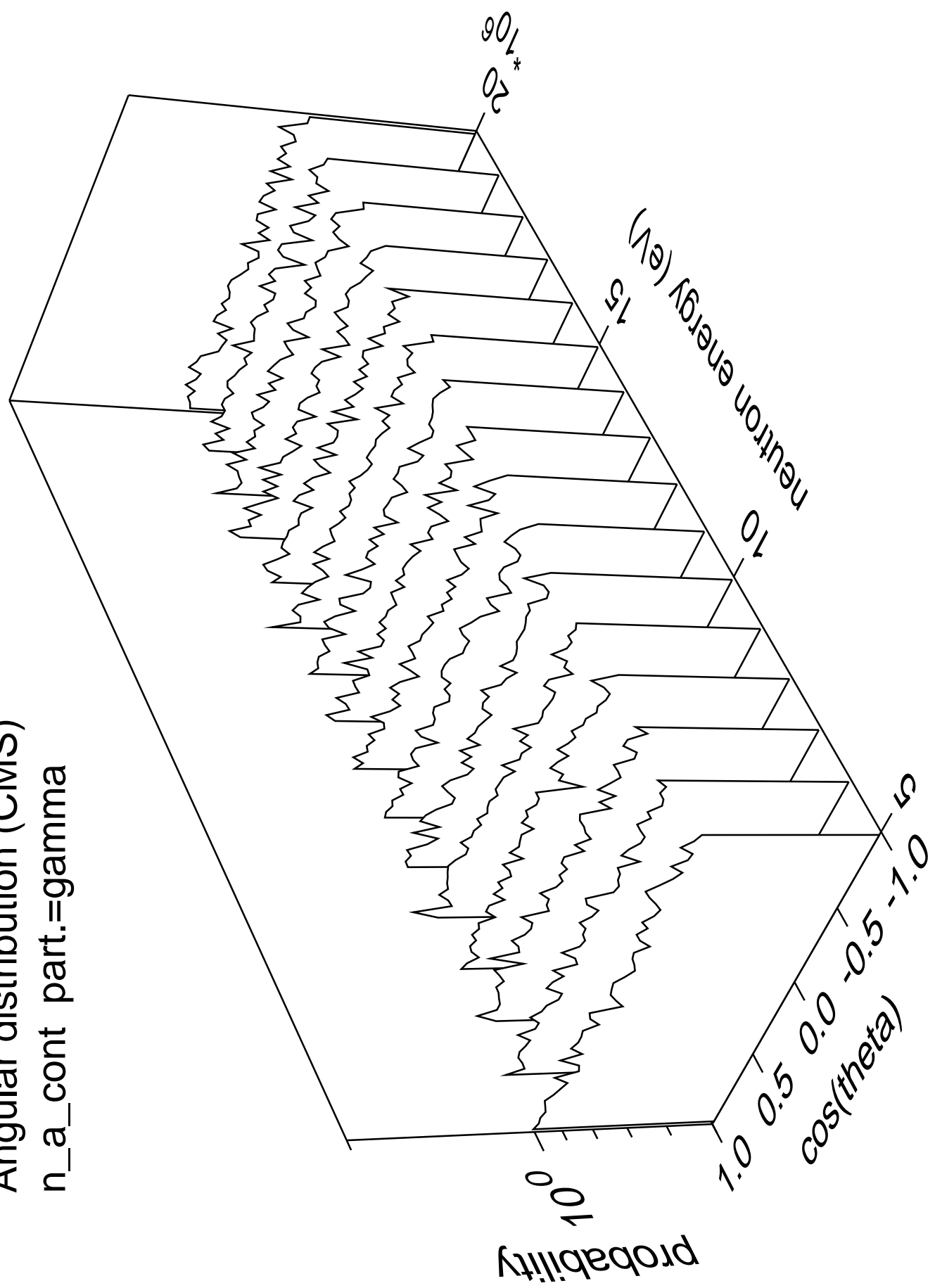




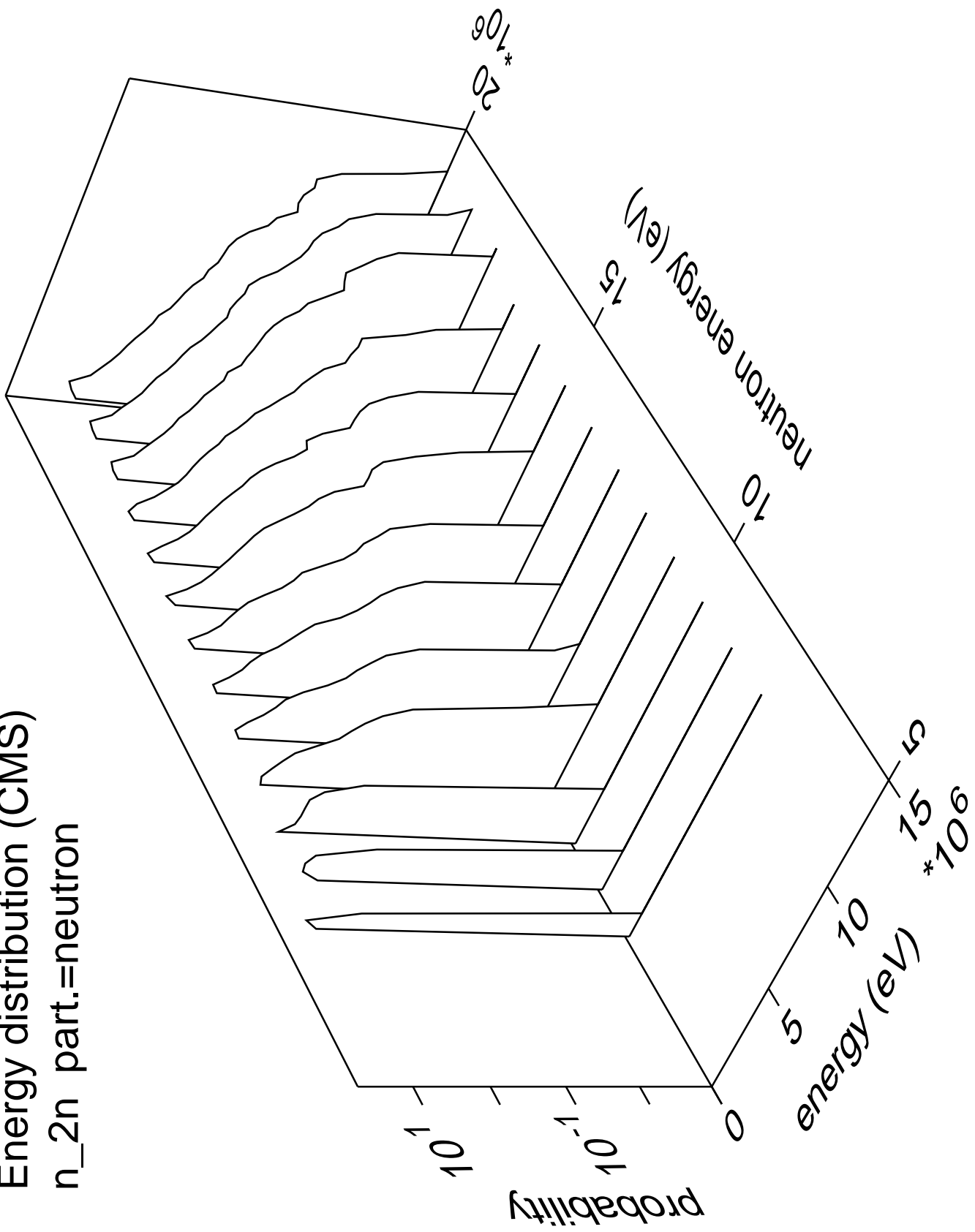
Angular distribution (CMS)
 n_a _cont part.=alpha



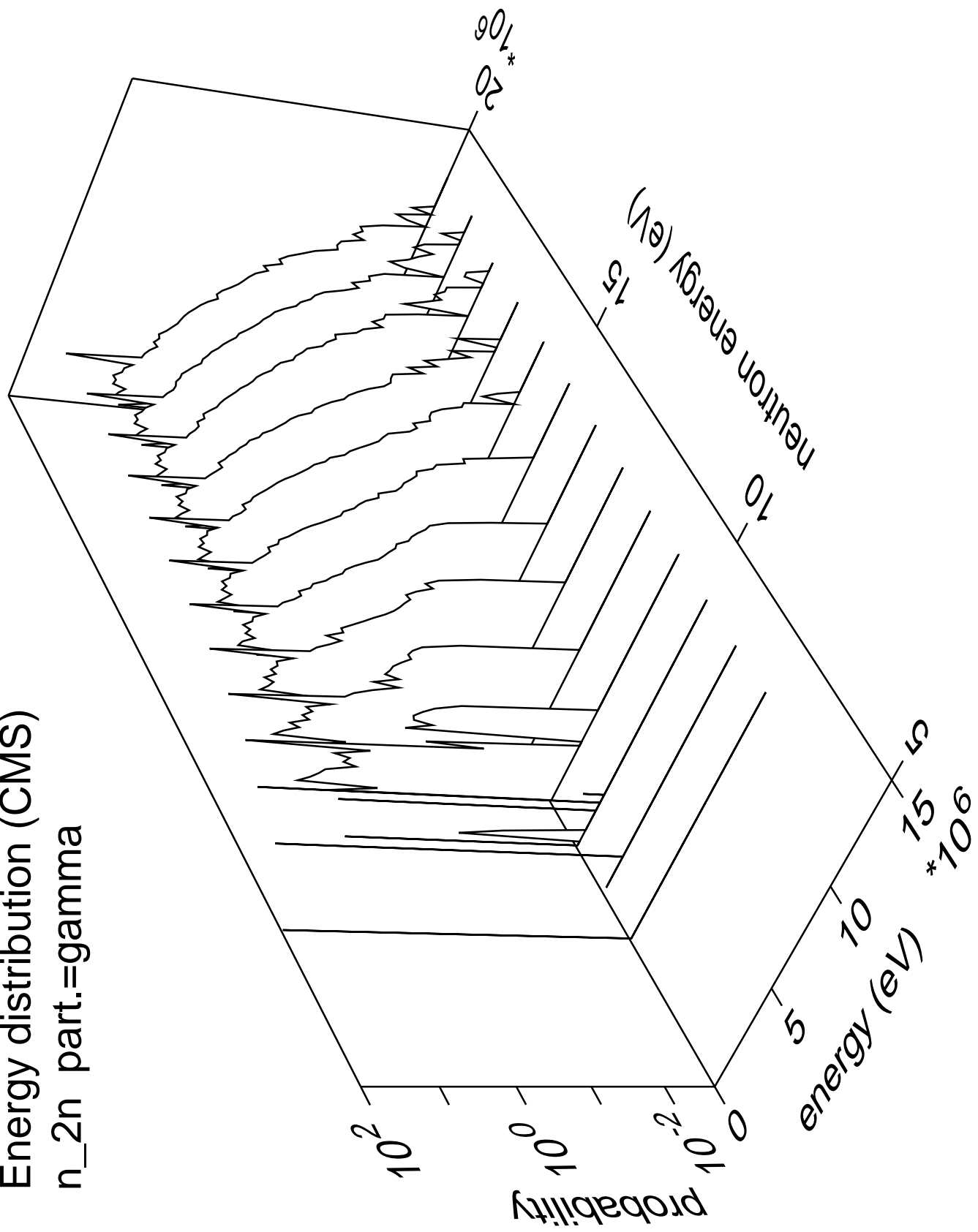
Angular distribution (CMS)
n_a_cont part.=gamma



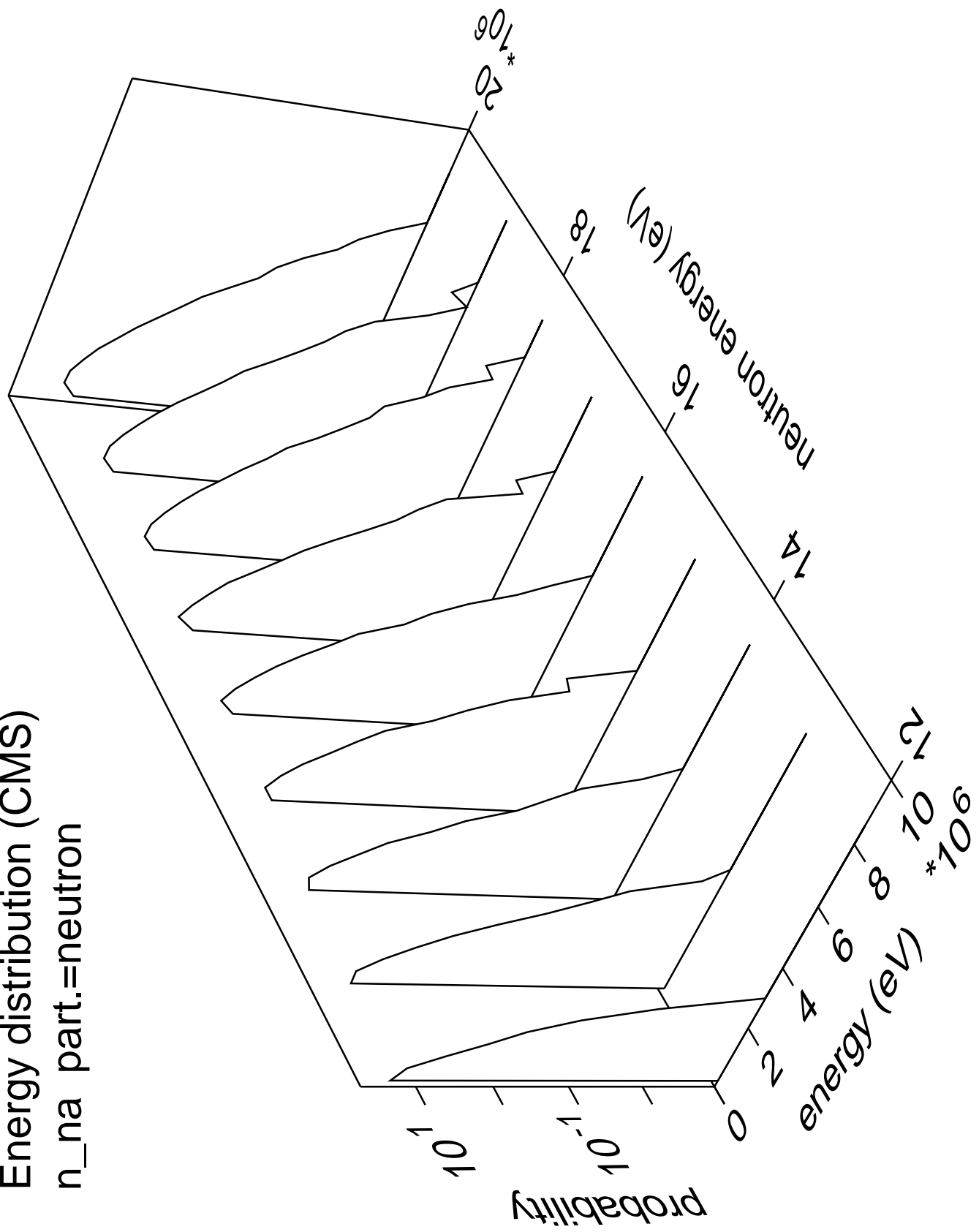
Energy distribution (CMS)
 n_{2n} part.=neutron



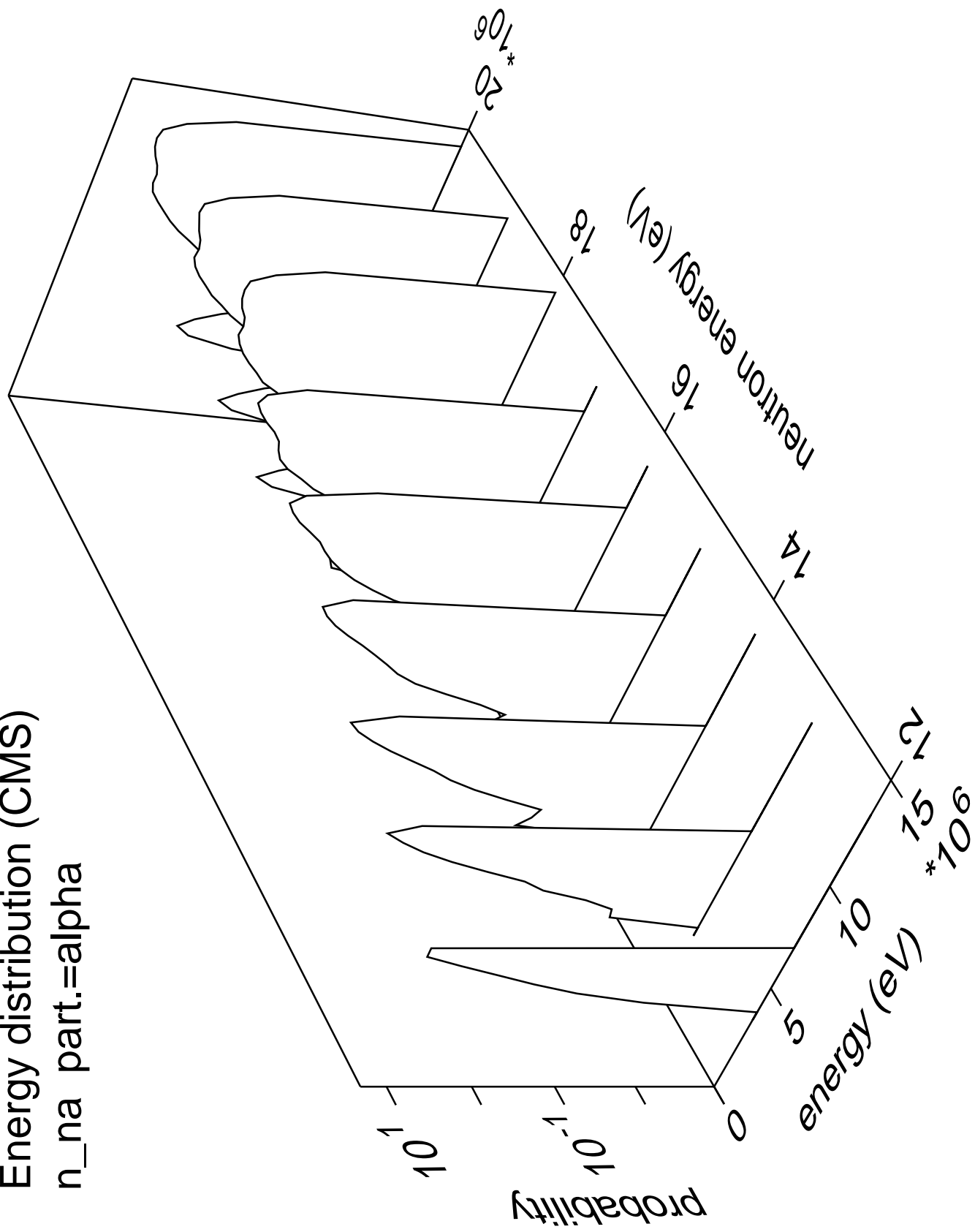
Energy distribution (CMS)
 n_{2n} part.=gamma



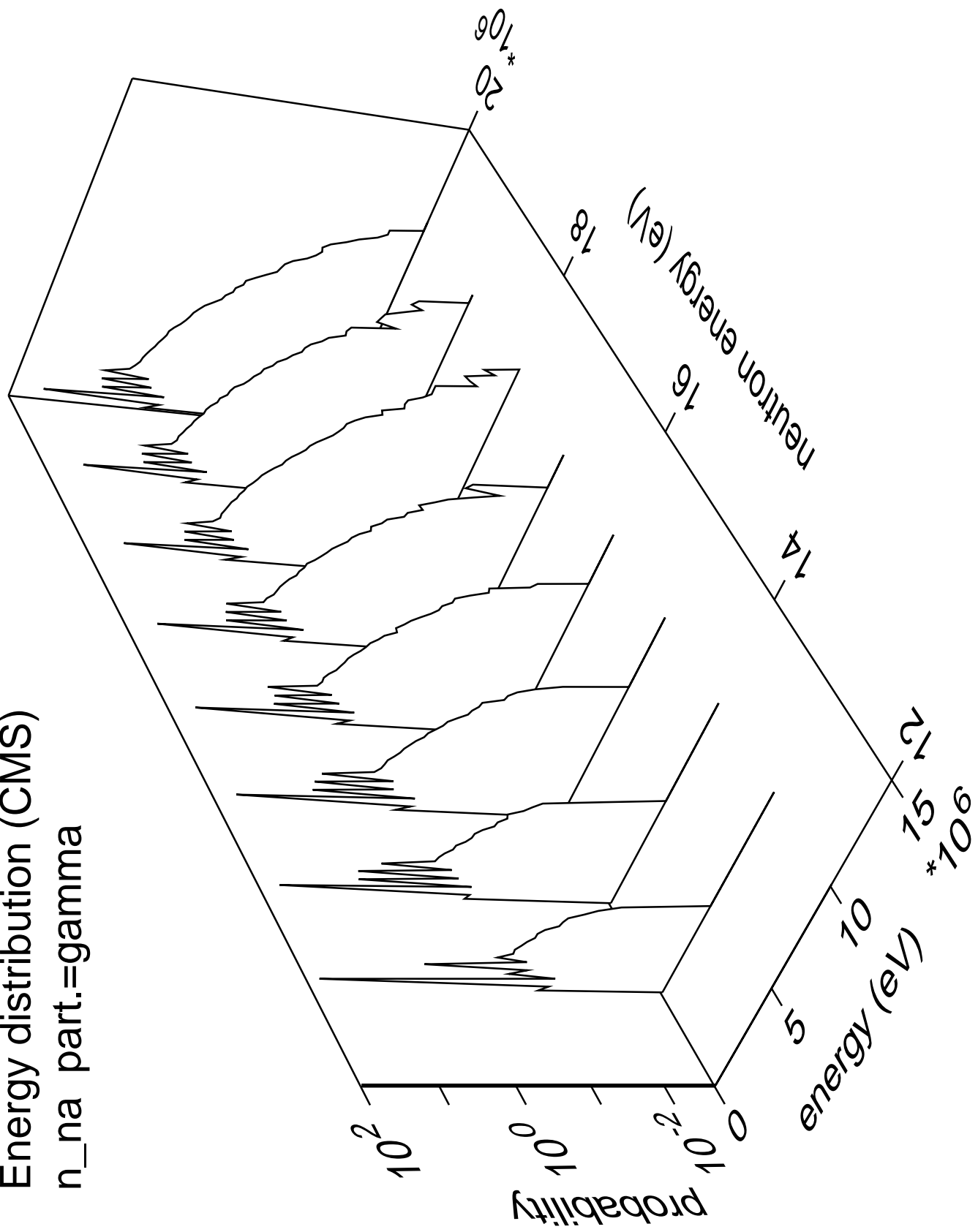
Energy distribution (CMS)
 $n_{\text{na}} \text{ part.} = \text{neutron}$

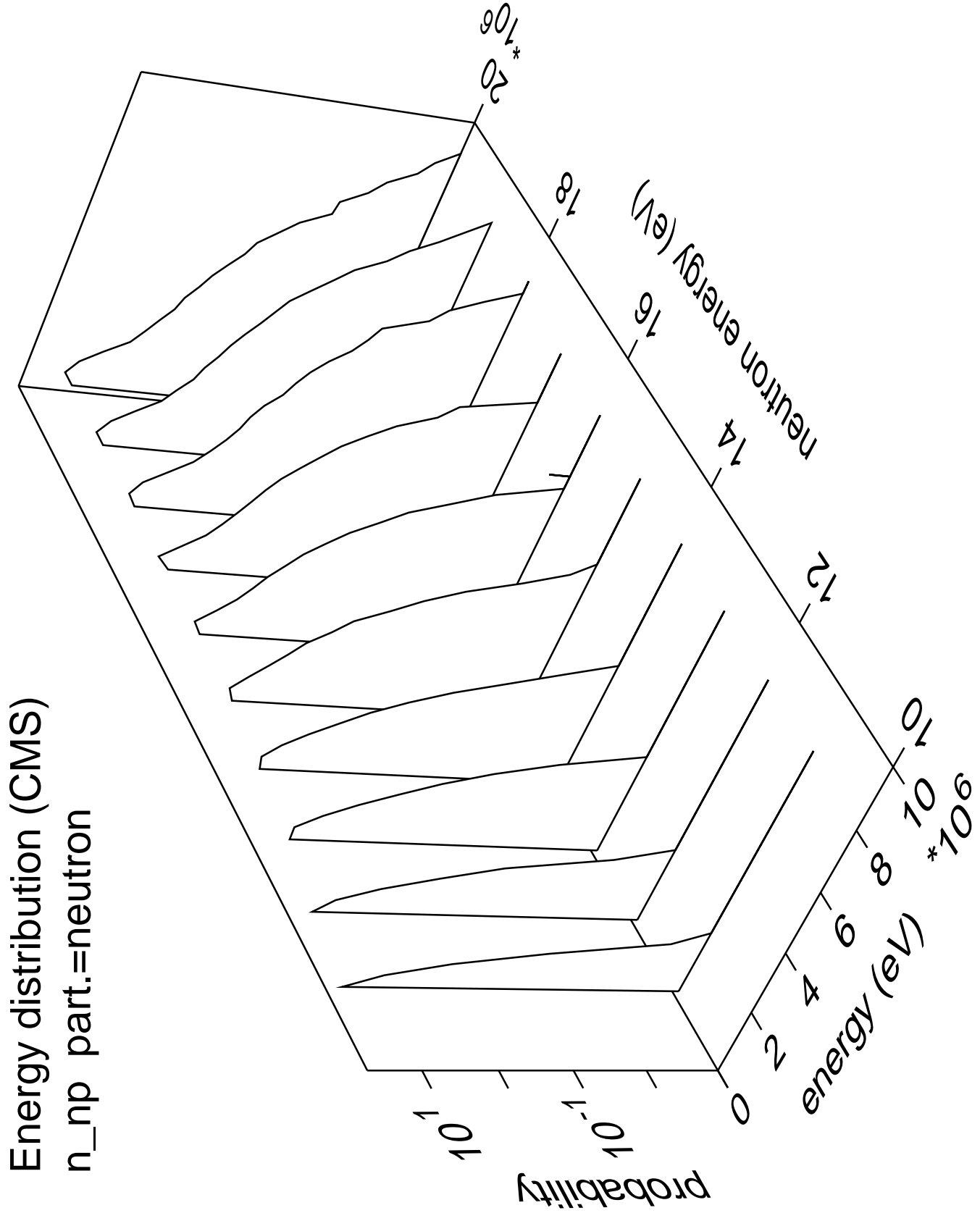


Energy distribution (CMS)
 $n_{\text{na}} \text{ part.} = \text{alpha}$

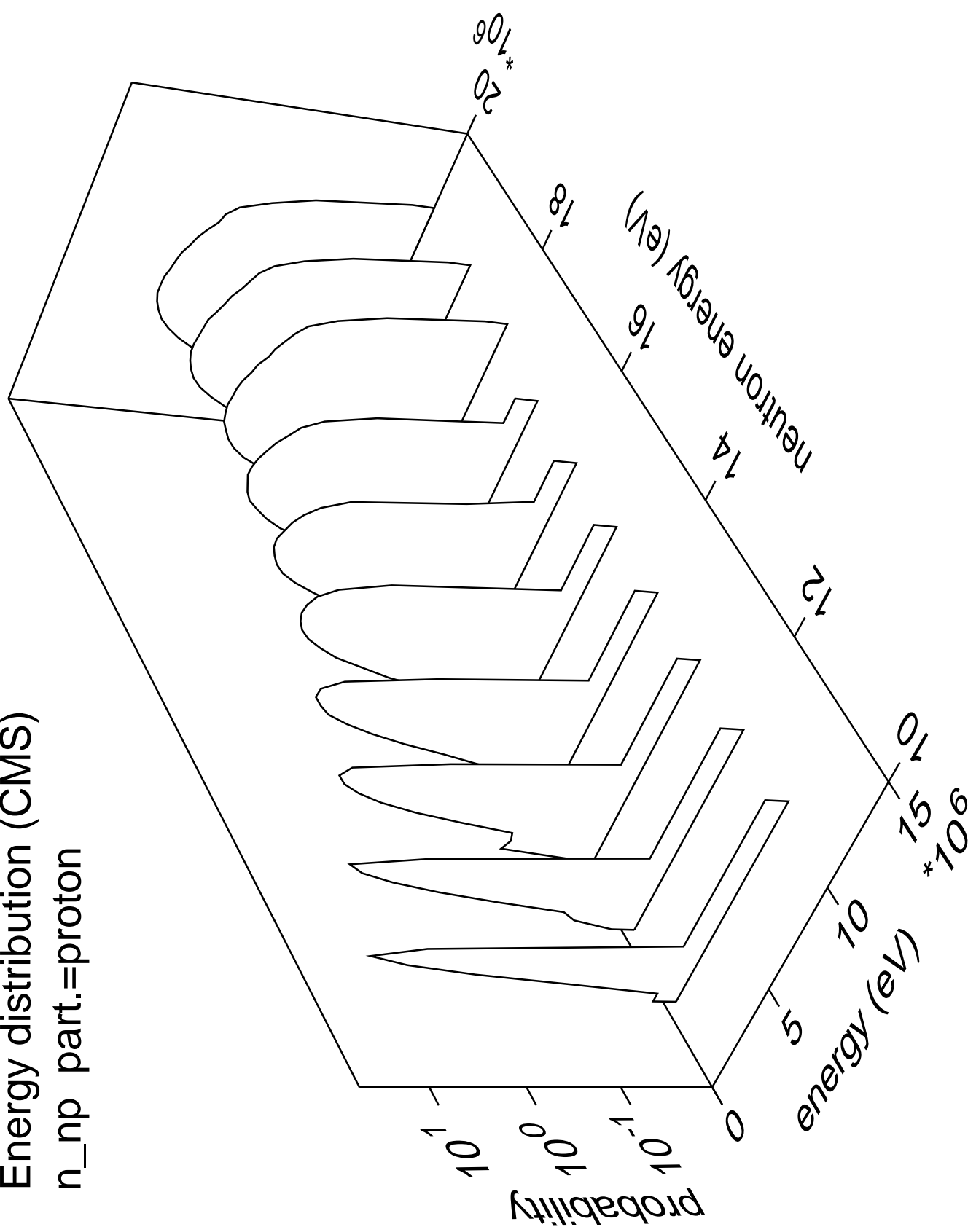


Energy distribution (CMS)
 n_{na} part.=gamma

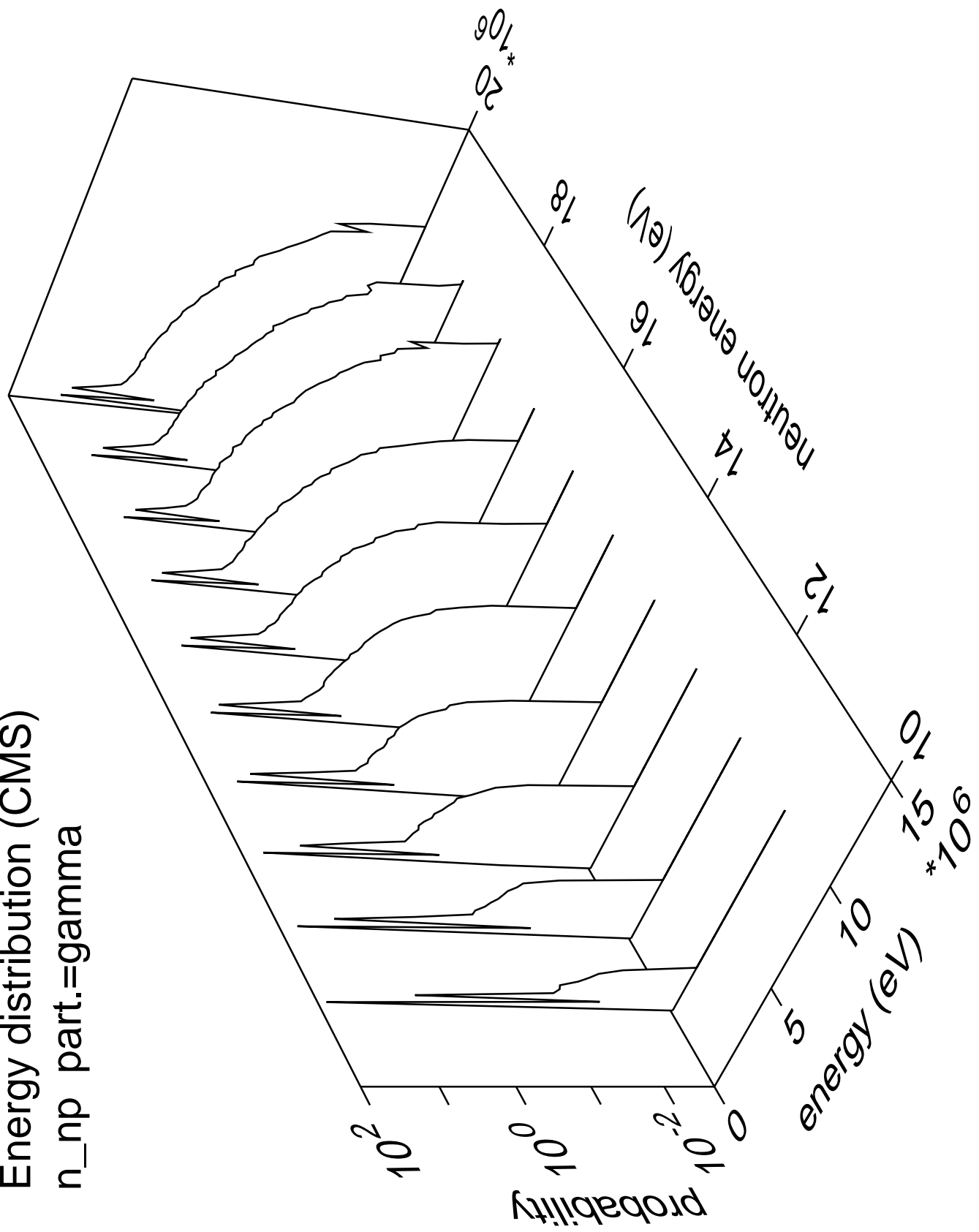




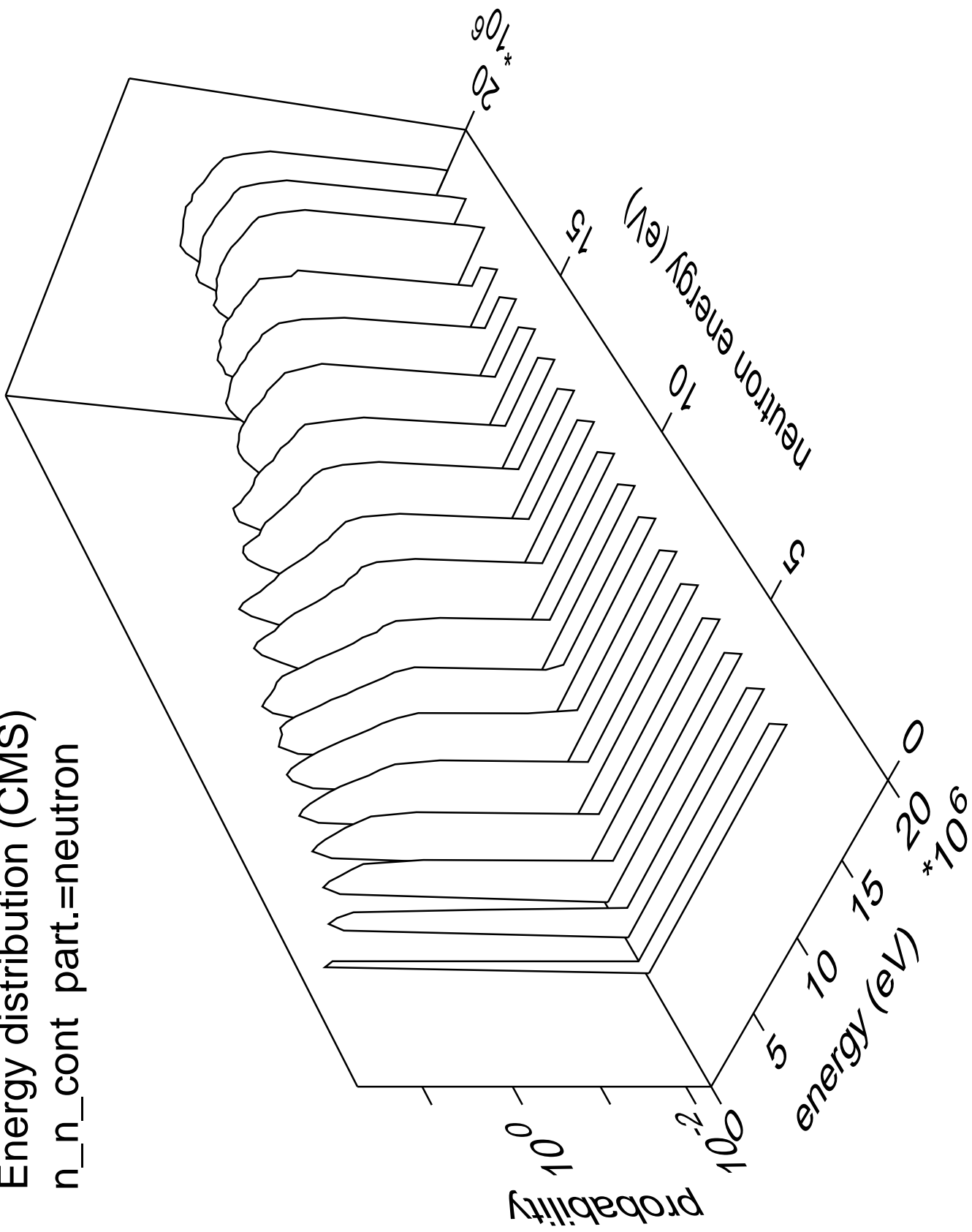
Energy distribution (CMS)
 n_{np} part.=proton



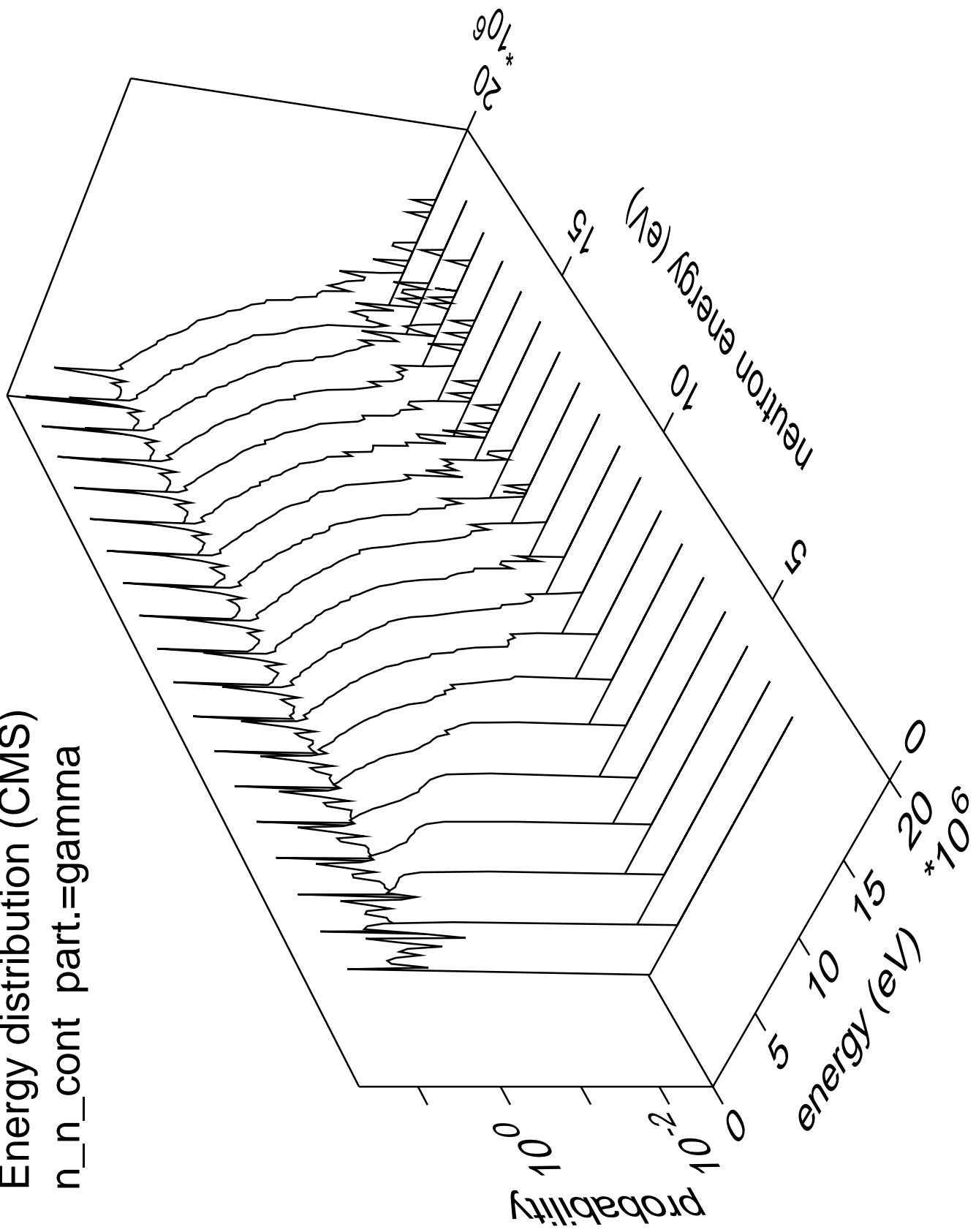
Energy distribution (CMS)
 n_{np} part.=gamma



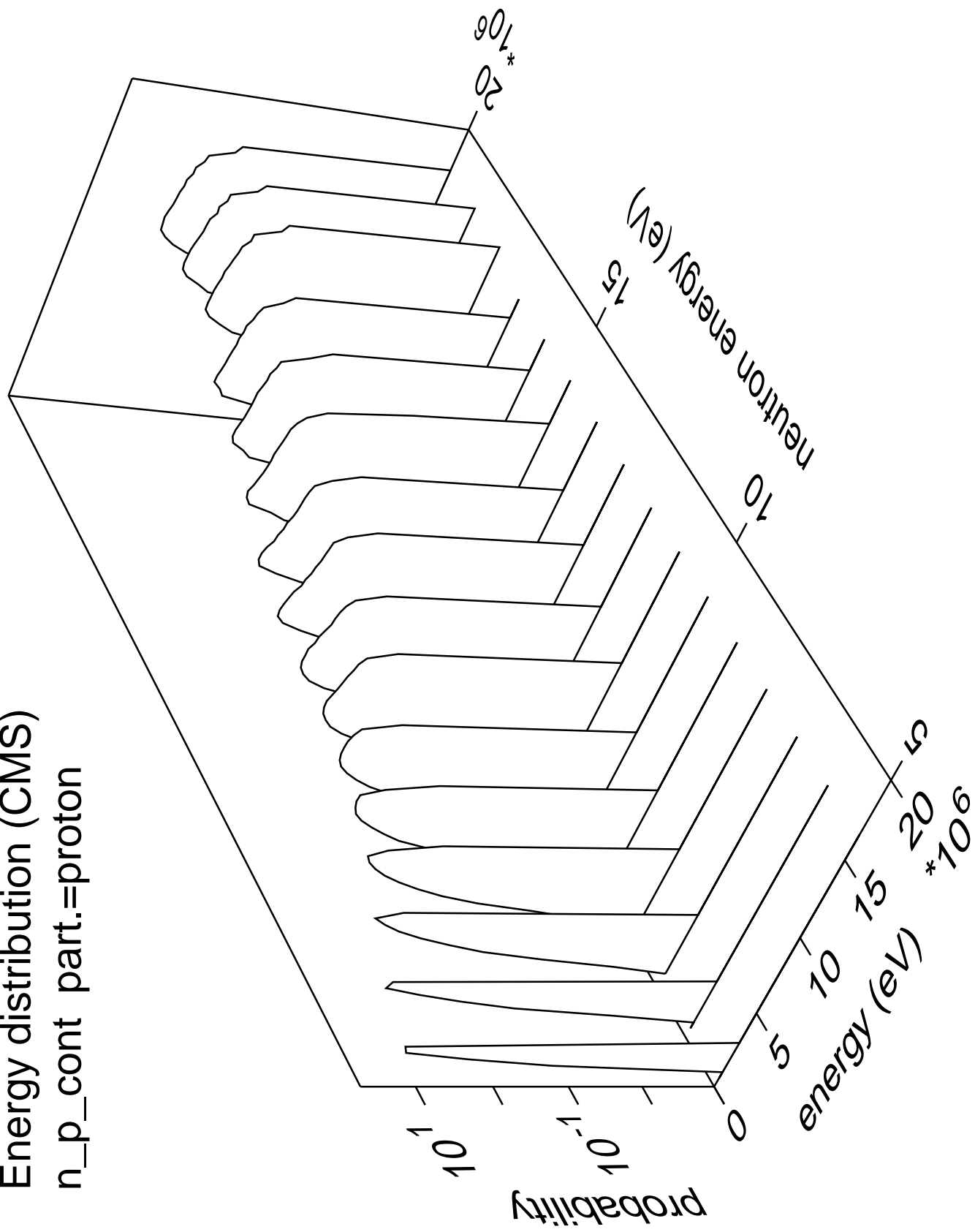
Energy distribution (CMS)
n_n_cont part.=neutron



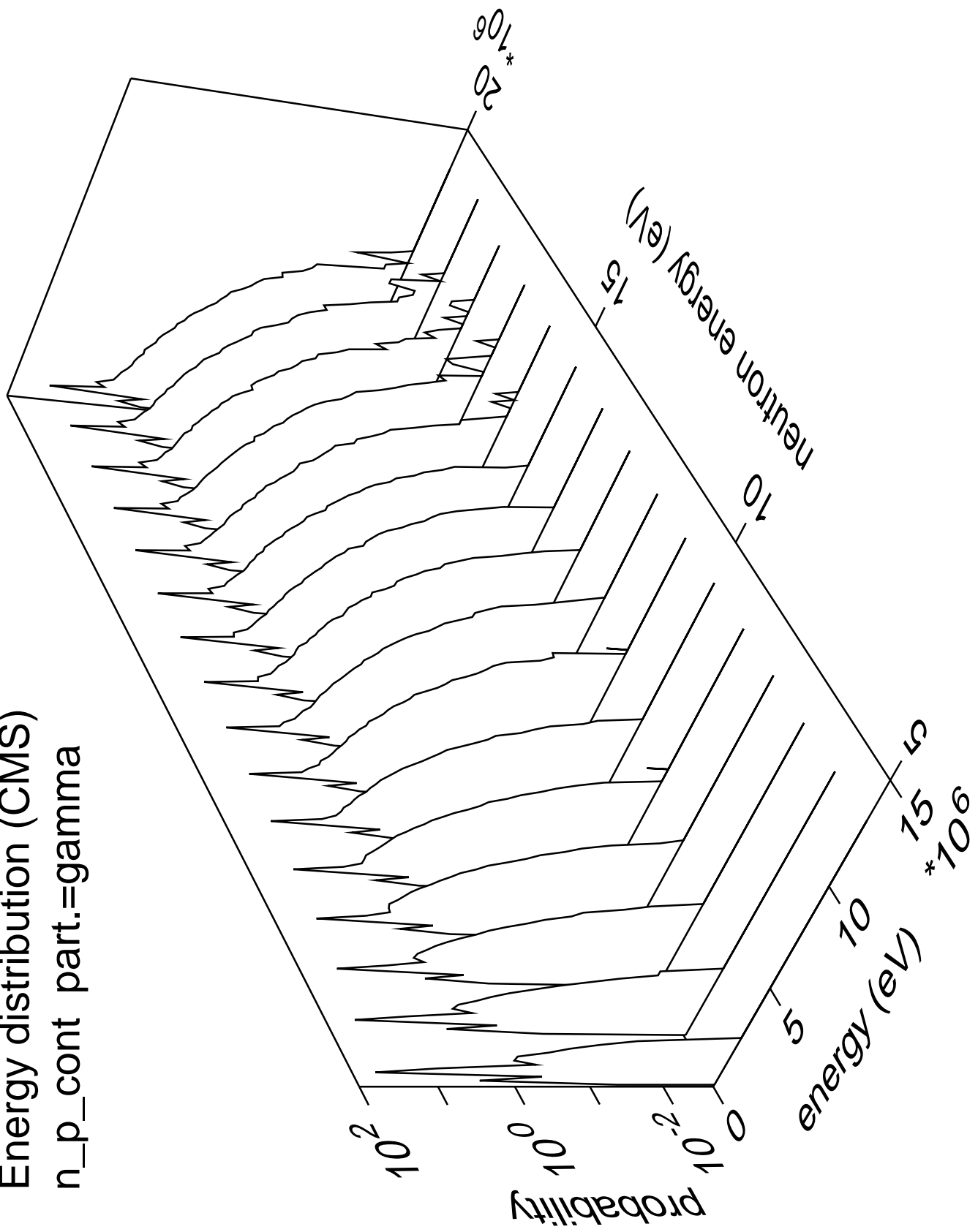
Energy distribution (CMS)
n_n_cont part.=gamma



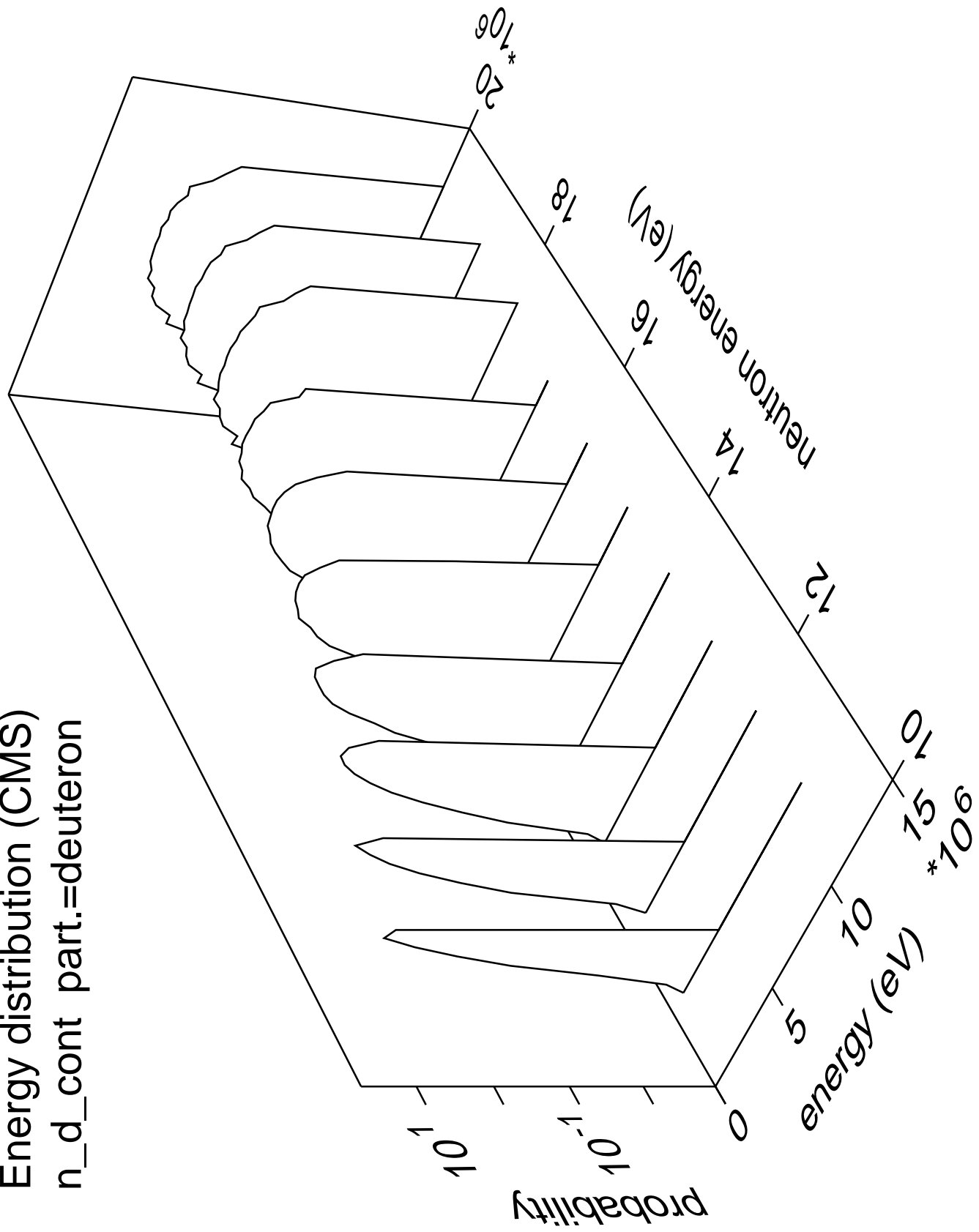
Energy distribution (CMS)
 $n_p_{\text{cont}} \text{ part.} = \text{proton}$



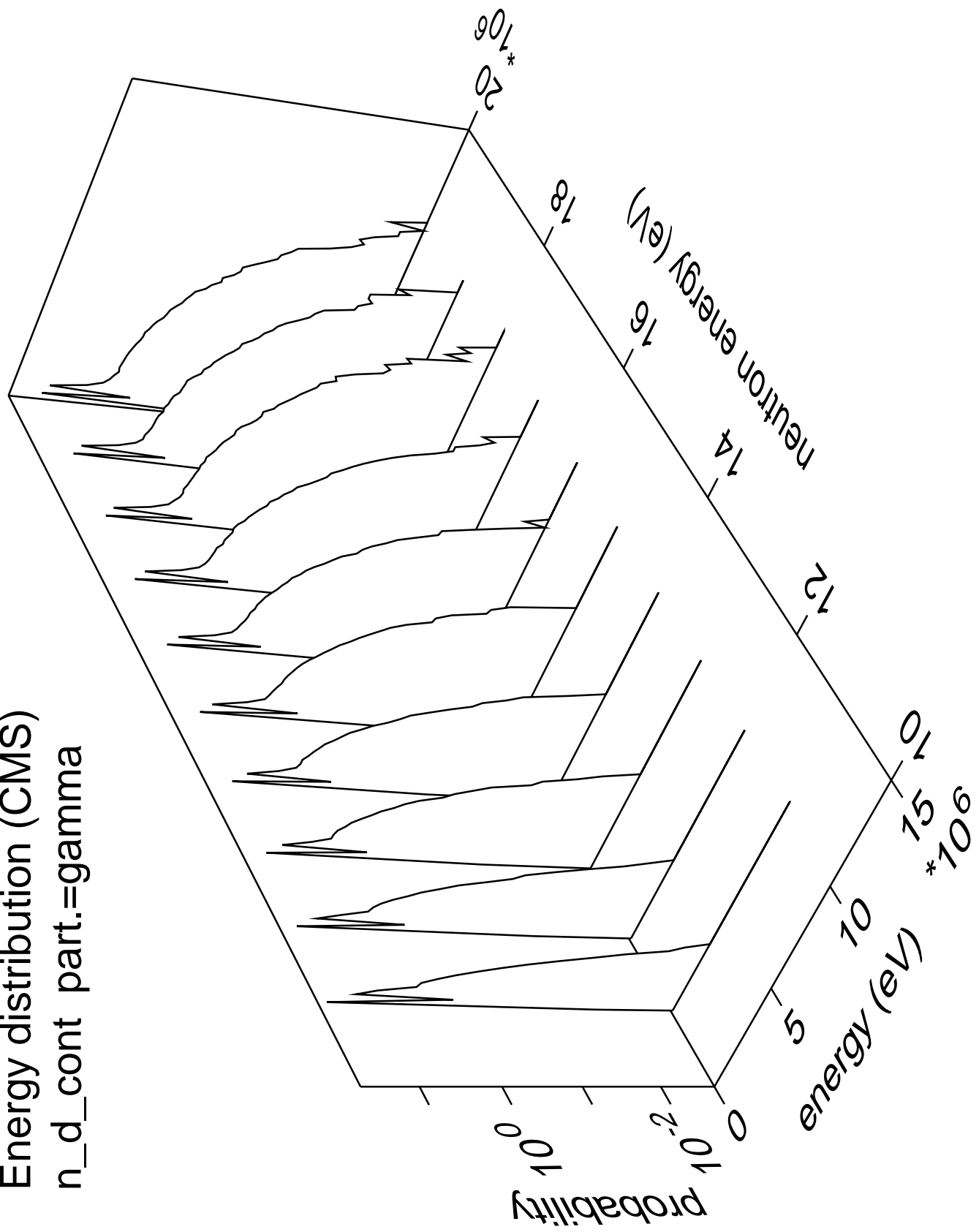
Energy distribution (CMS)
 n_p_{cont} part.=gamma



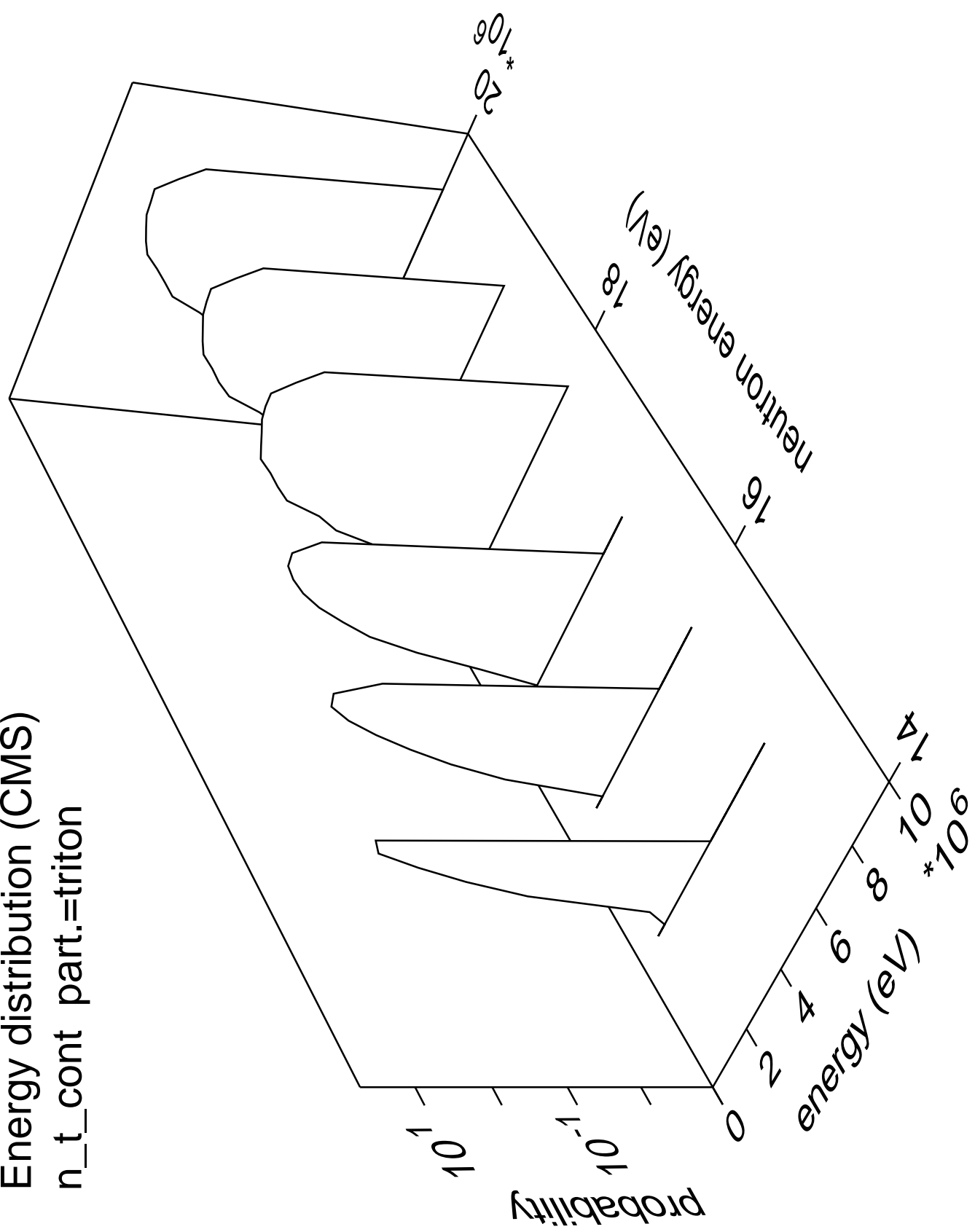
Energy distribution (CMS)
 n_d cont part.=deuteron



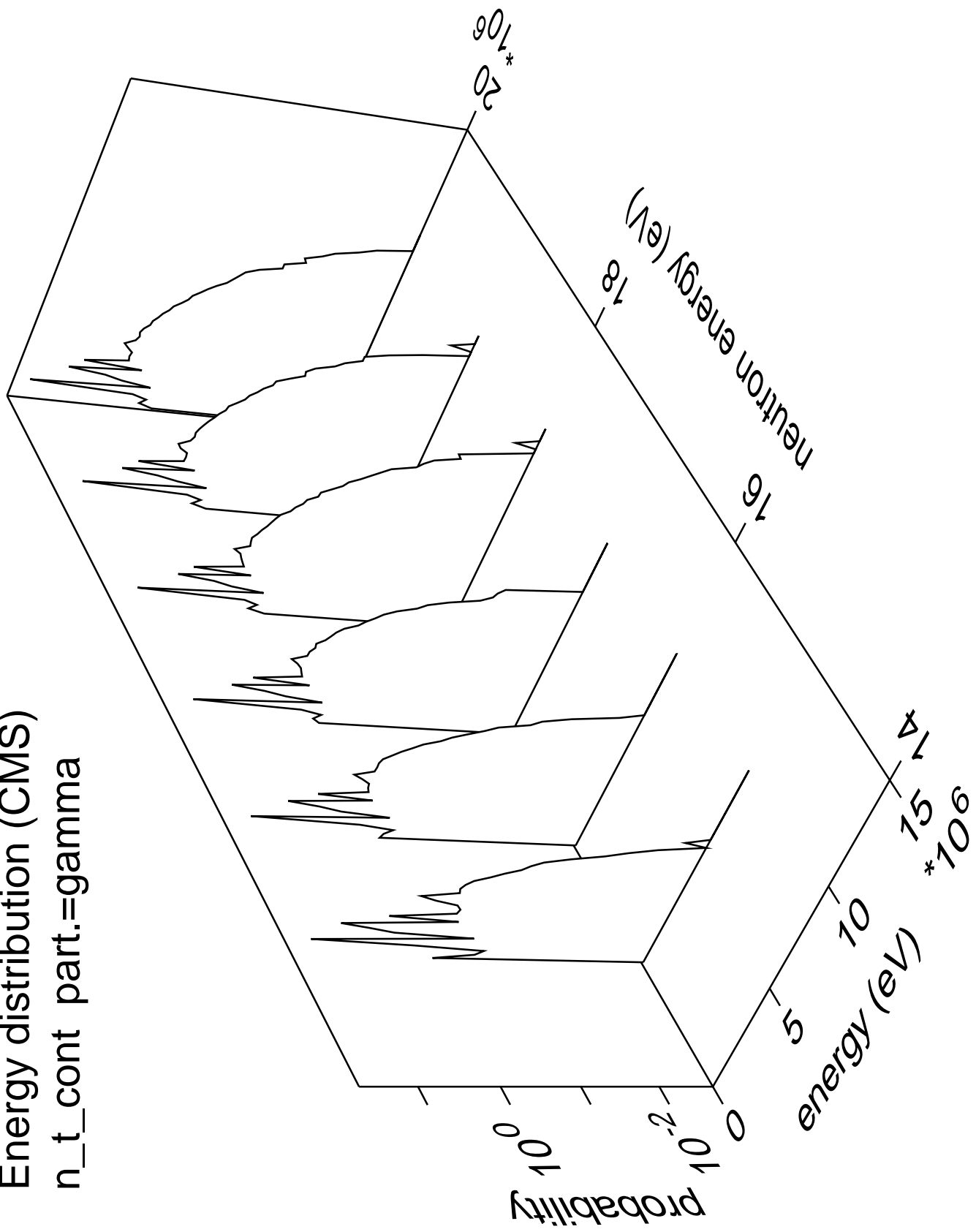
Energy distribution (CMS)
n_d_cont part.=gamma



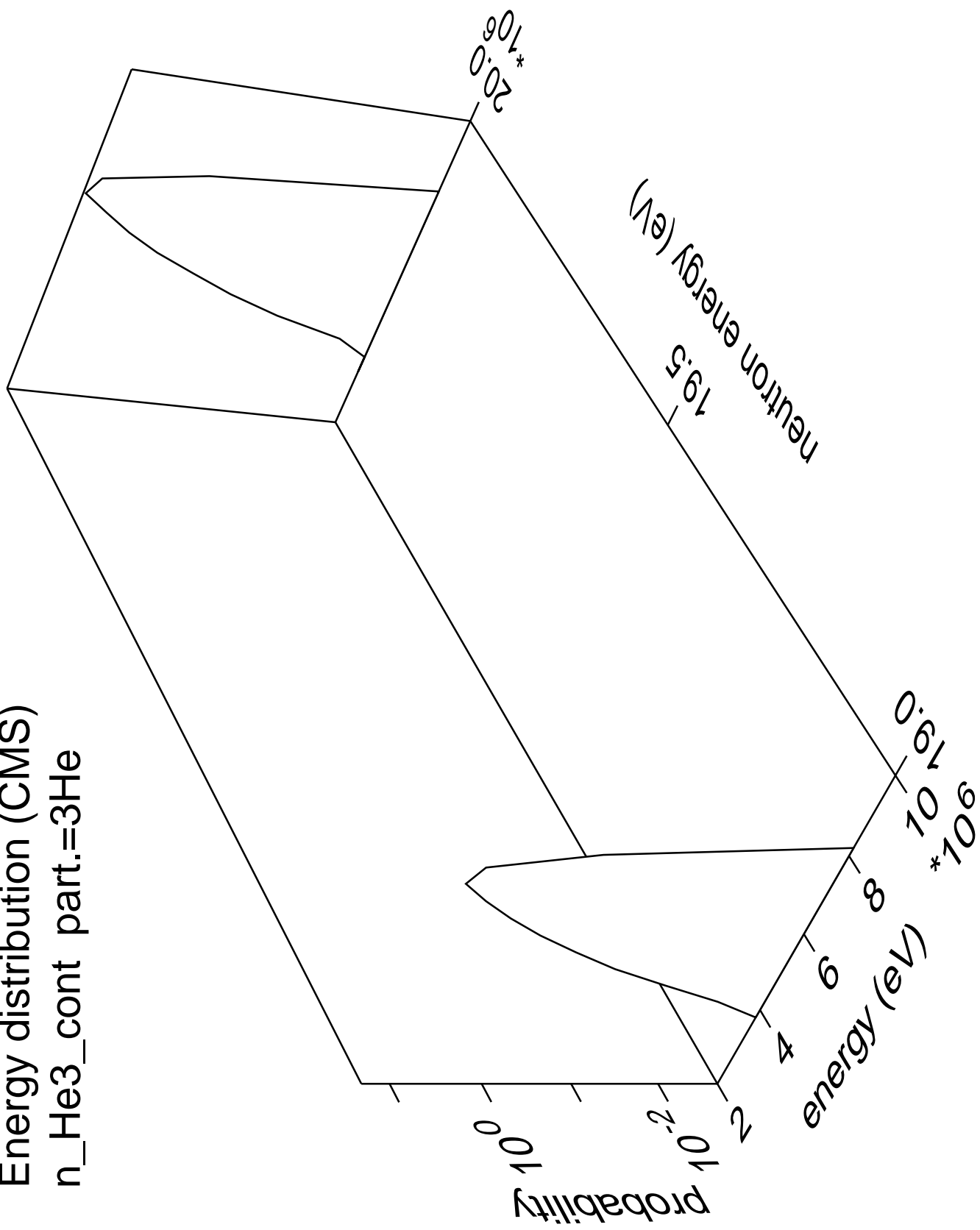
Energy distribution (CMS)
 n_t cont part.=triton



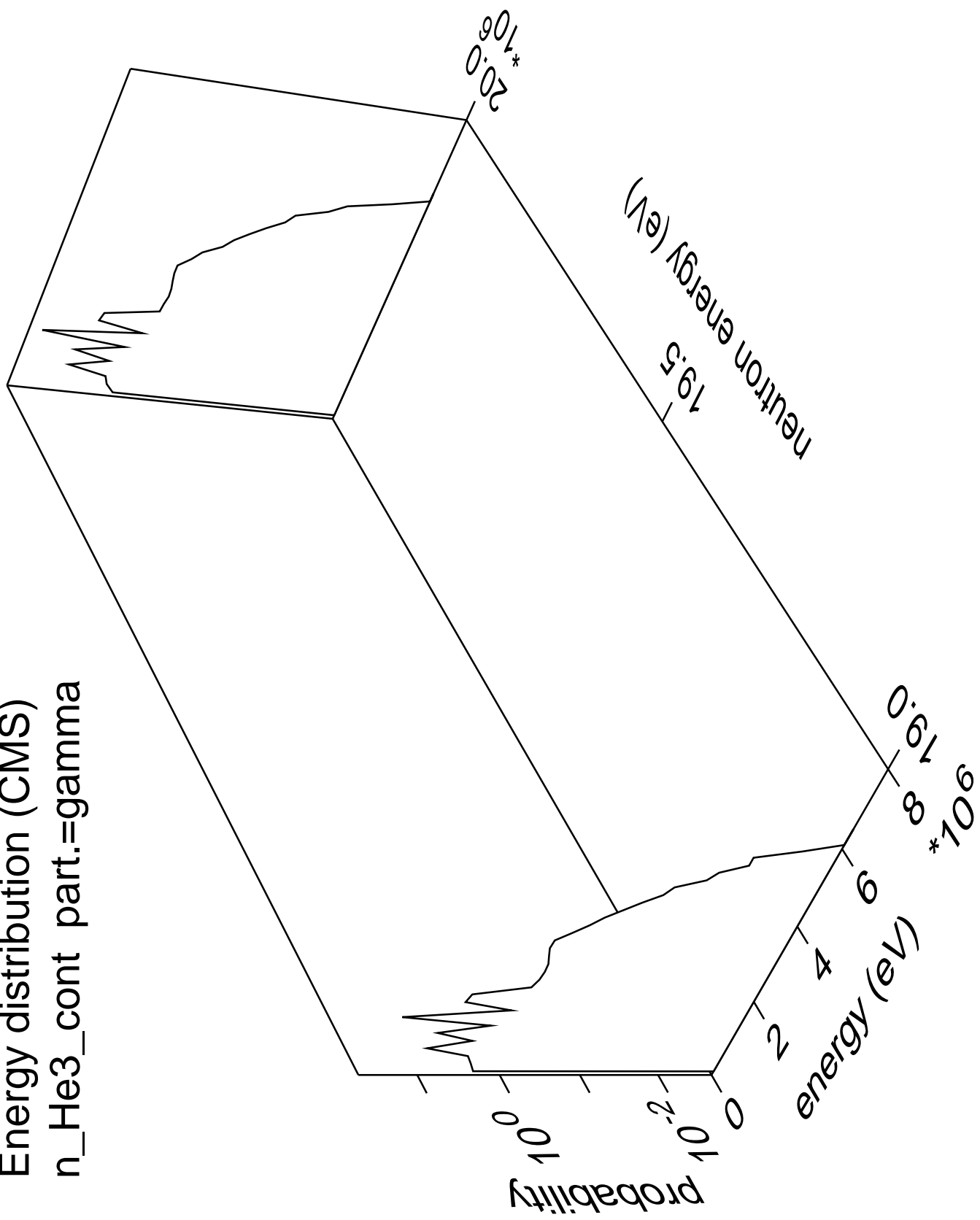
Energy distribution (CMS)
 n_t cont part.=gamma



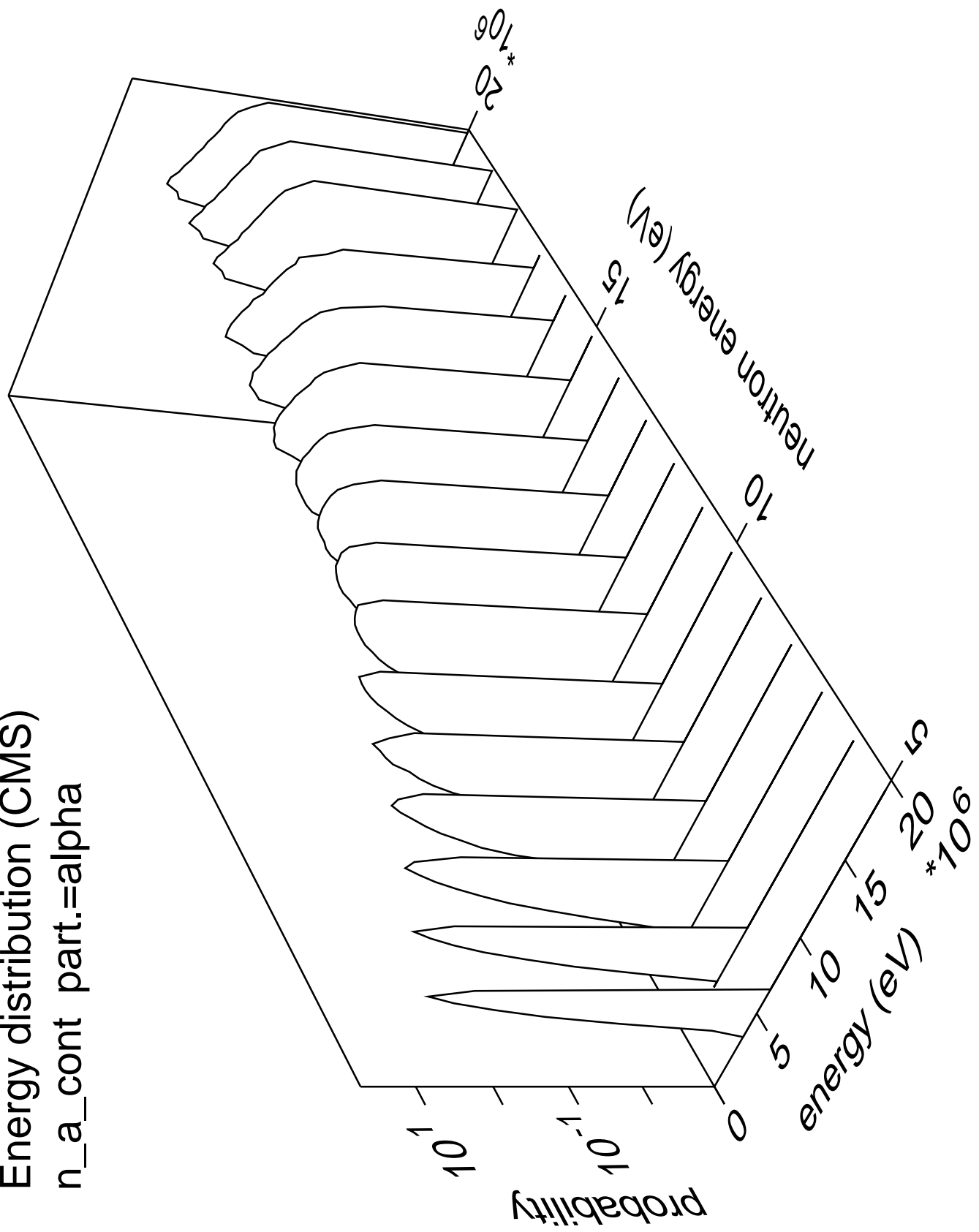
Energy distribution (CMS) $n_{\text{He3}} \text{ cont part.} = 3\text{He}$



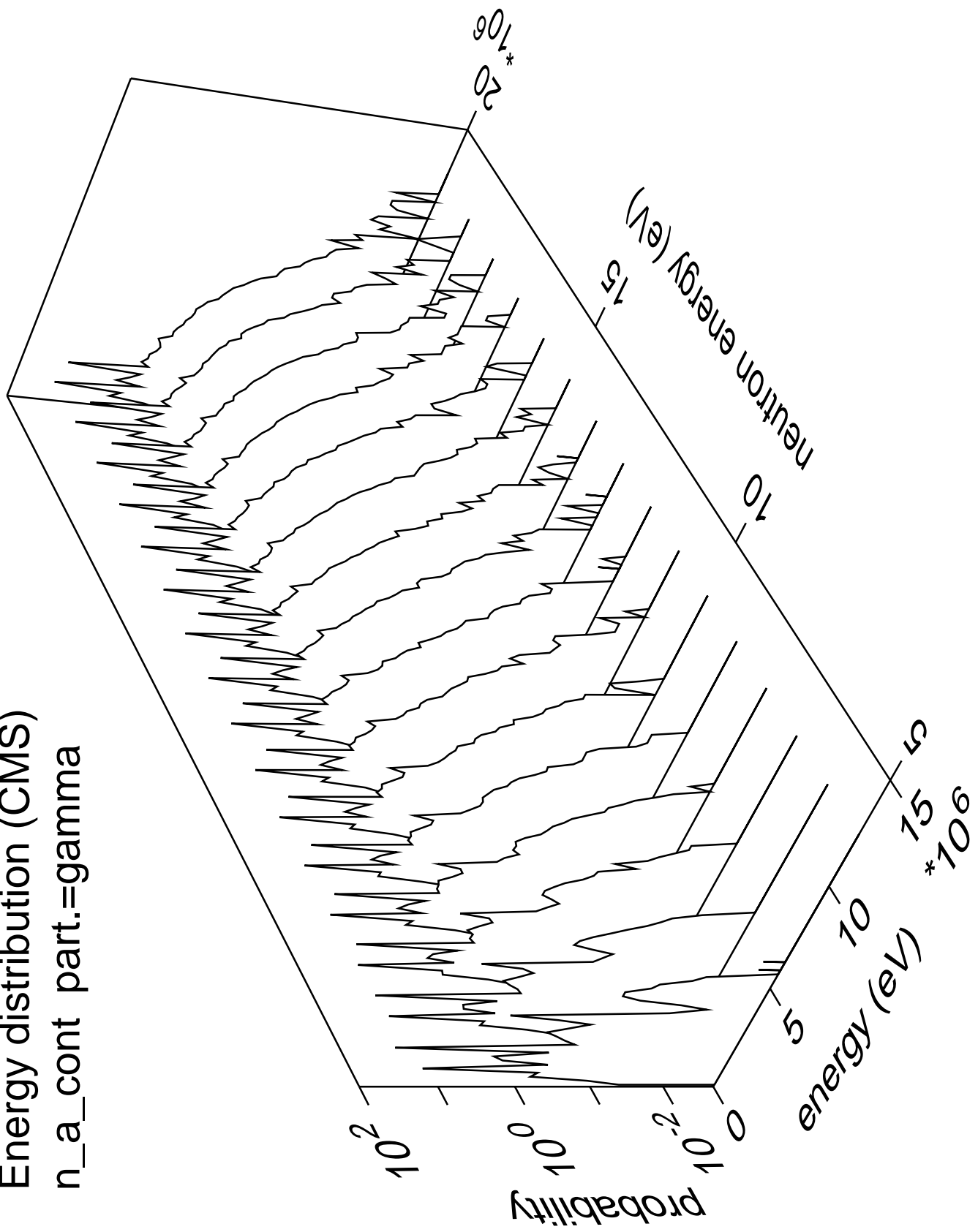
Energy distribution (CMS)
 n_{He3} cont part.=gamma



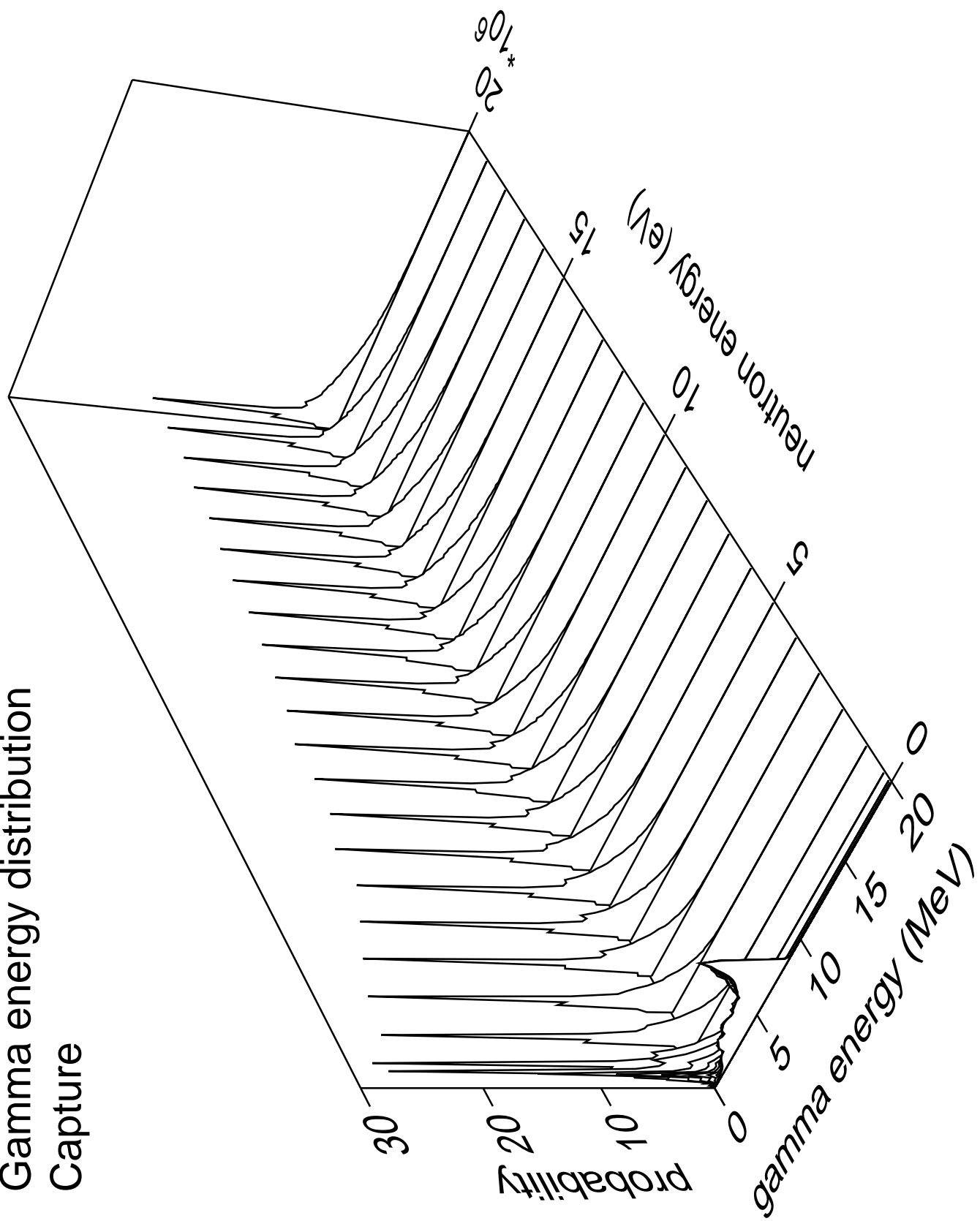
Energy distribution (CMS)
n_a_cont part.=alpha



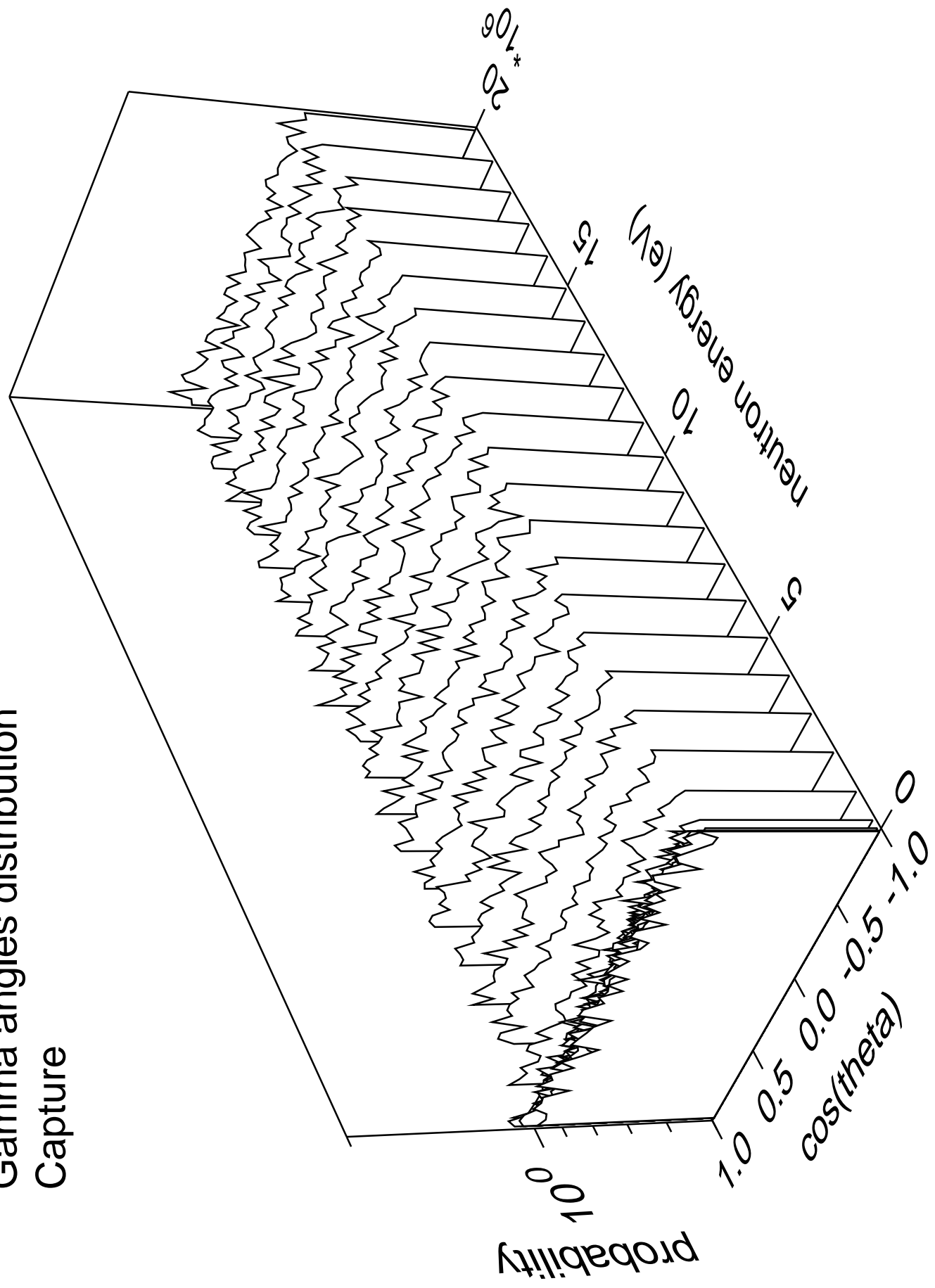
Energy distribution (CMS)
n_a_cont part.=gamma



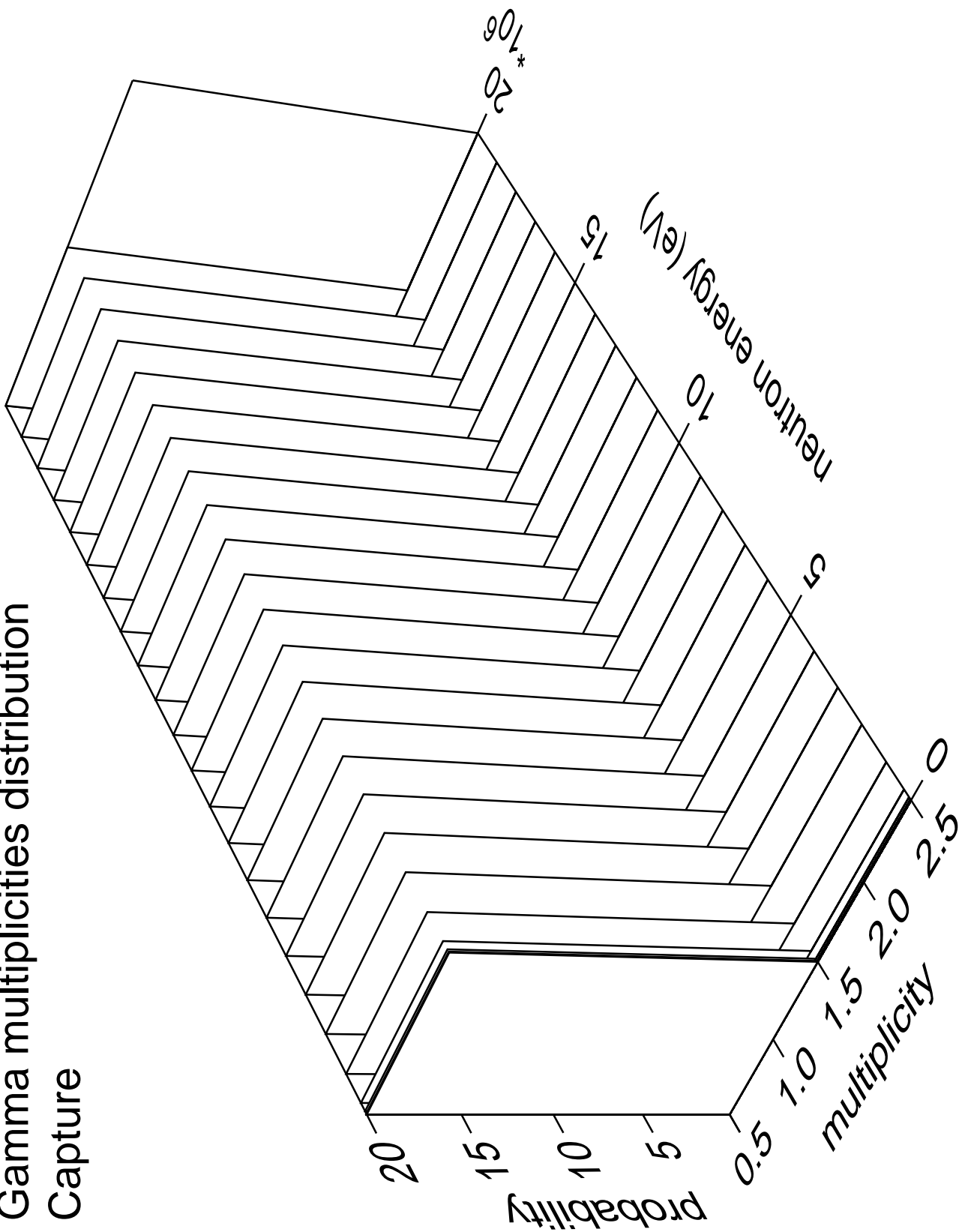
Gamma energy distribution Capture



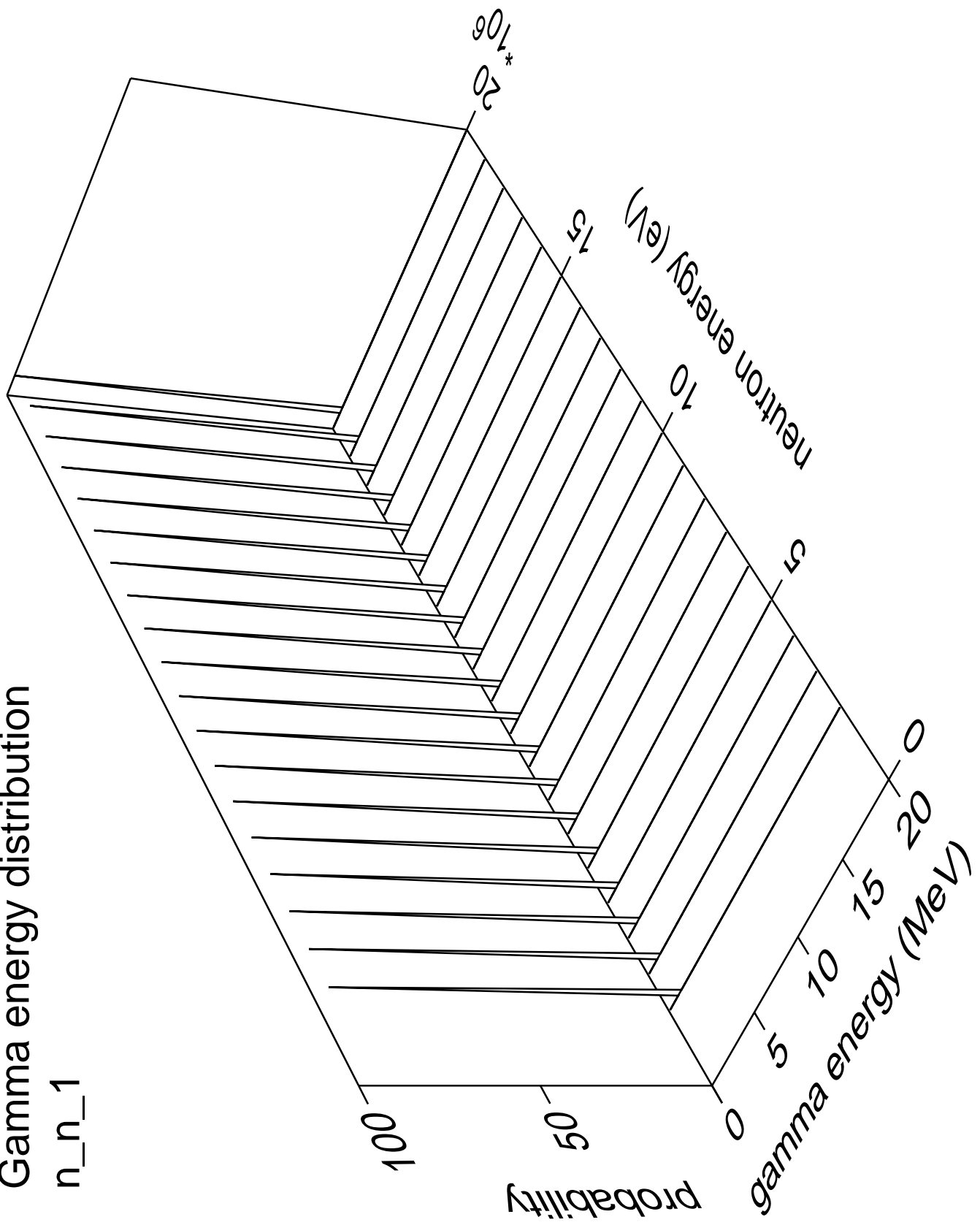
Gamma angles distribution Capture



Gamma multiplicities distribution Capture

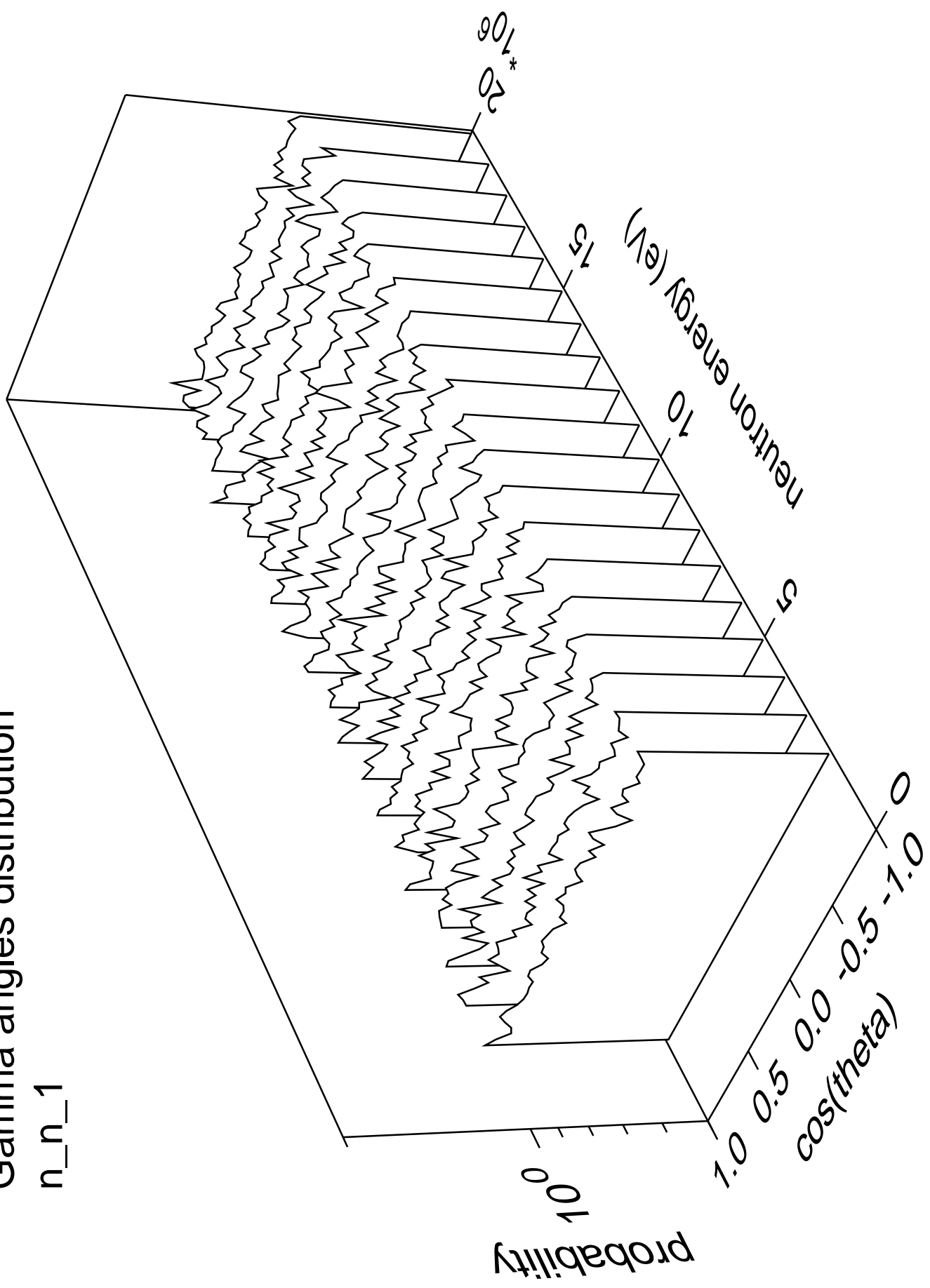


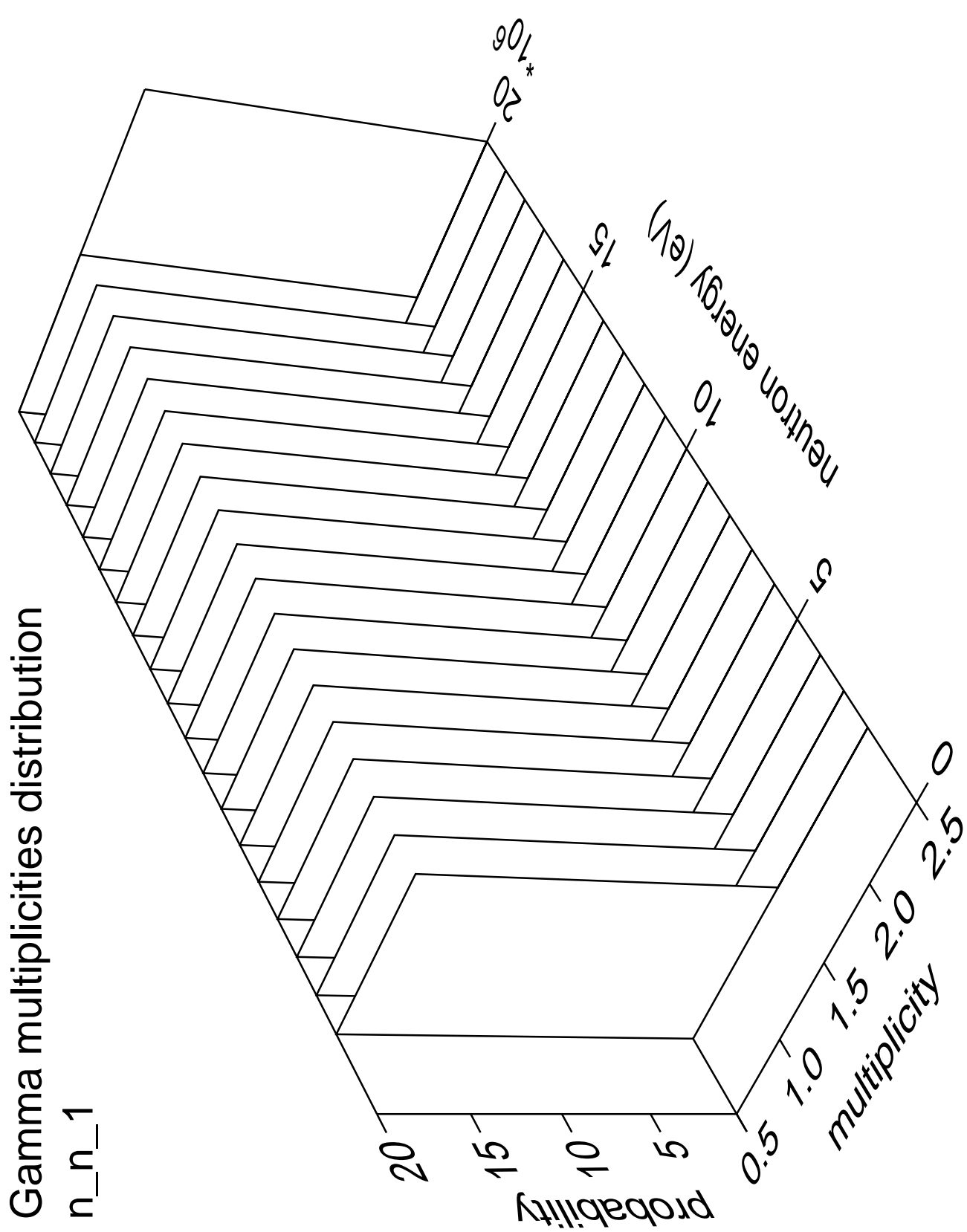
n_n_1

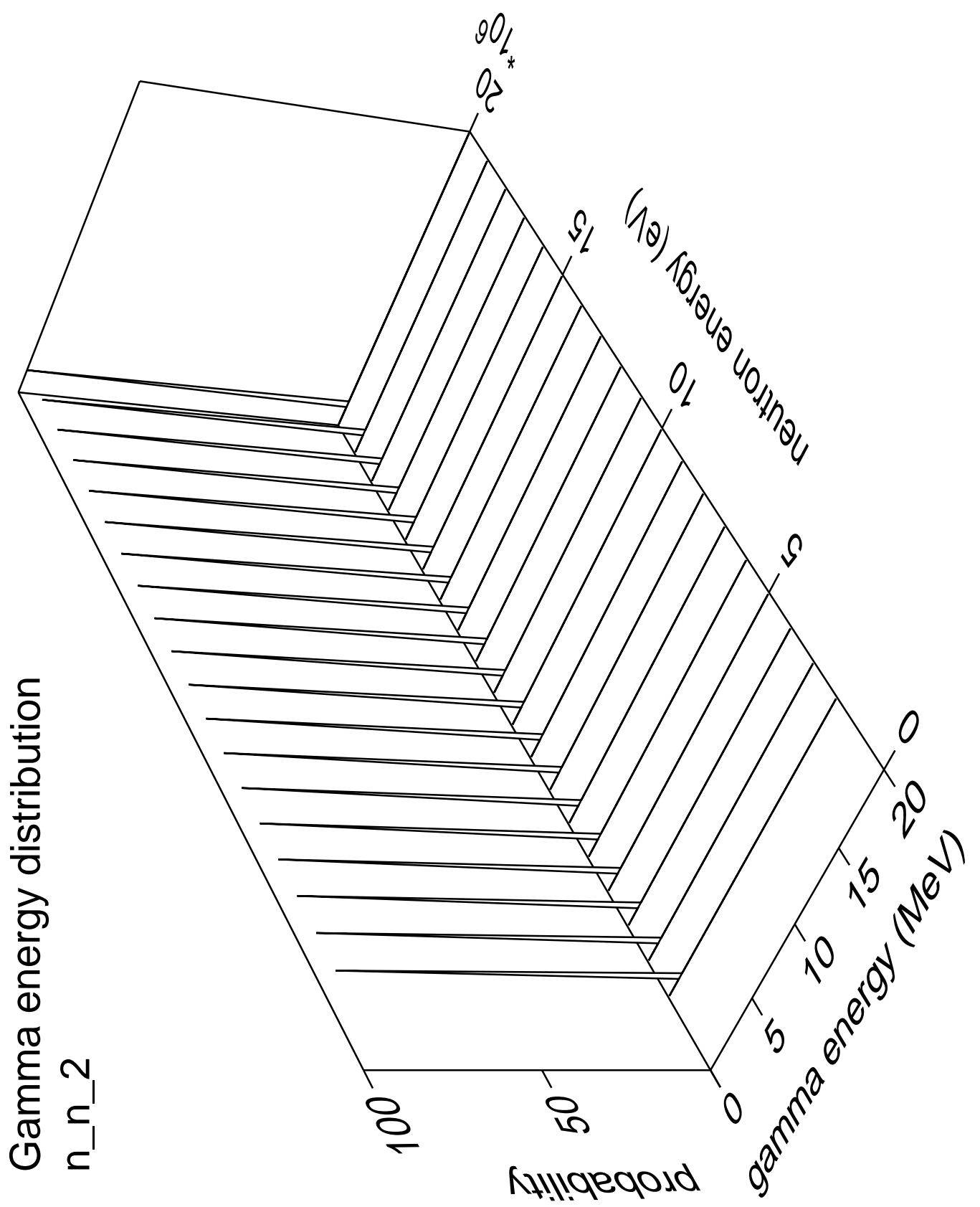


Gamma angles distribution

n_n_1

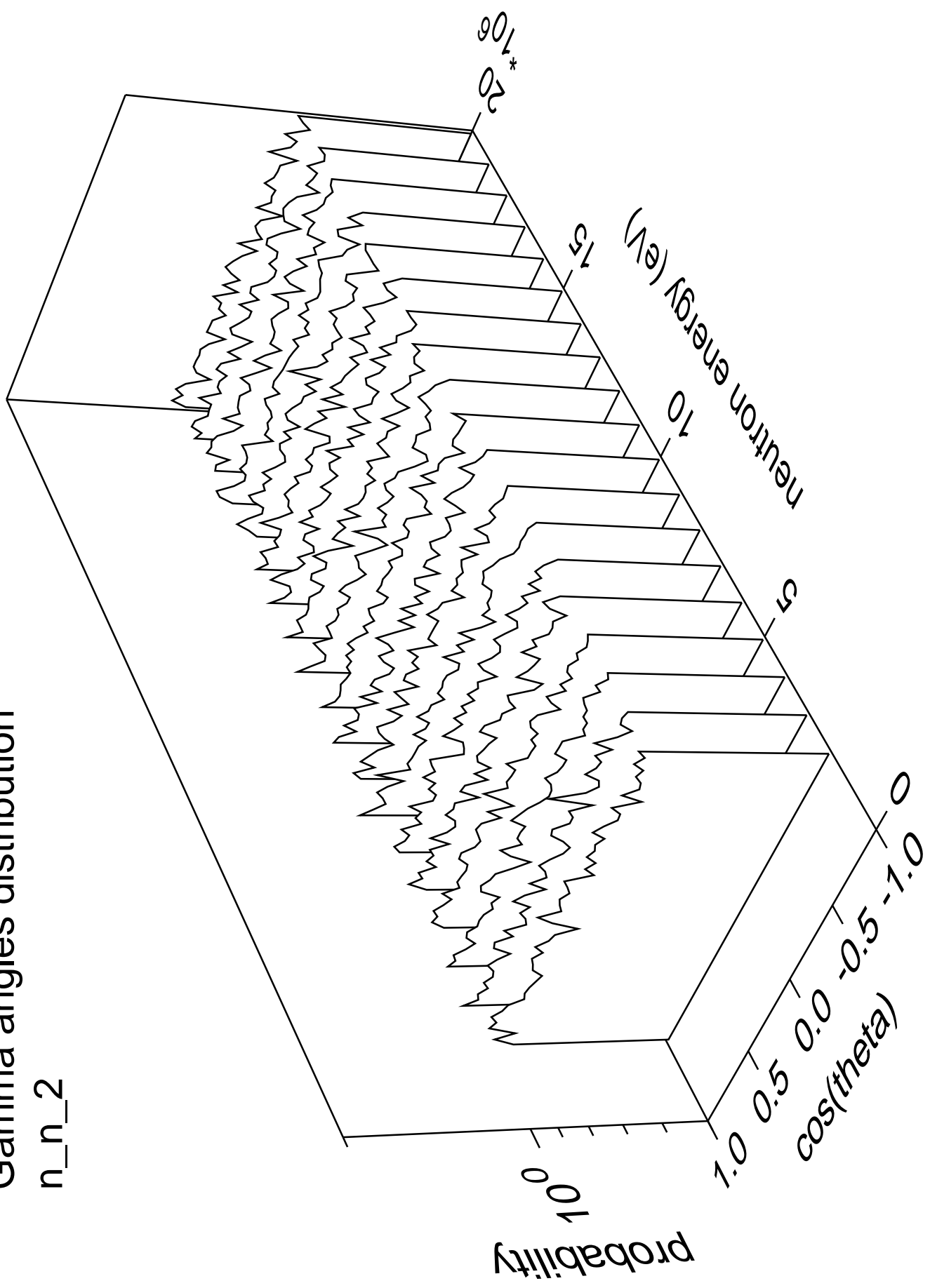


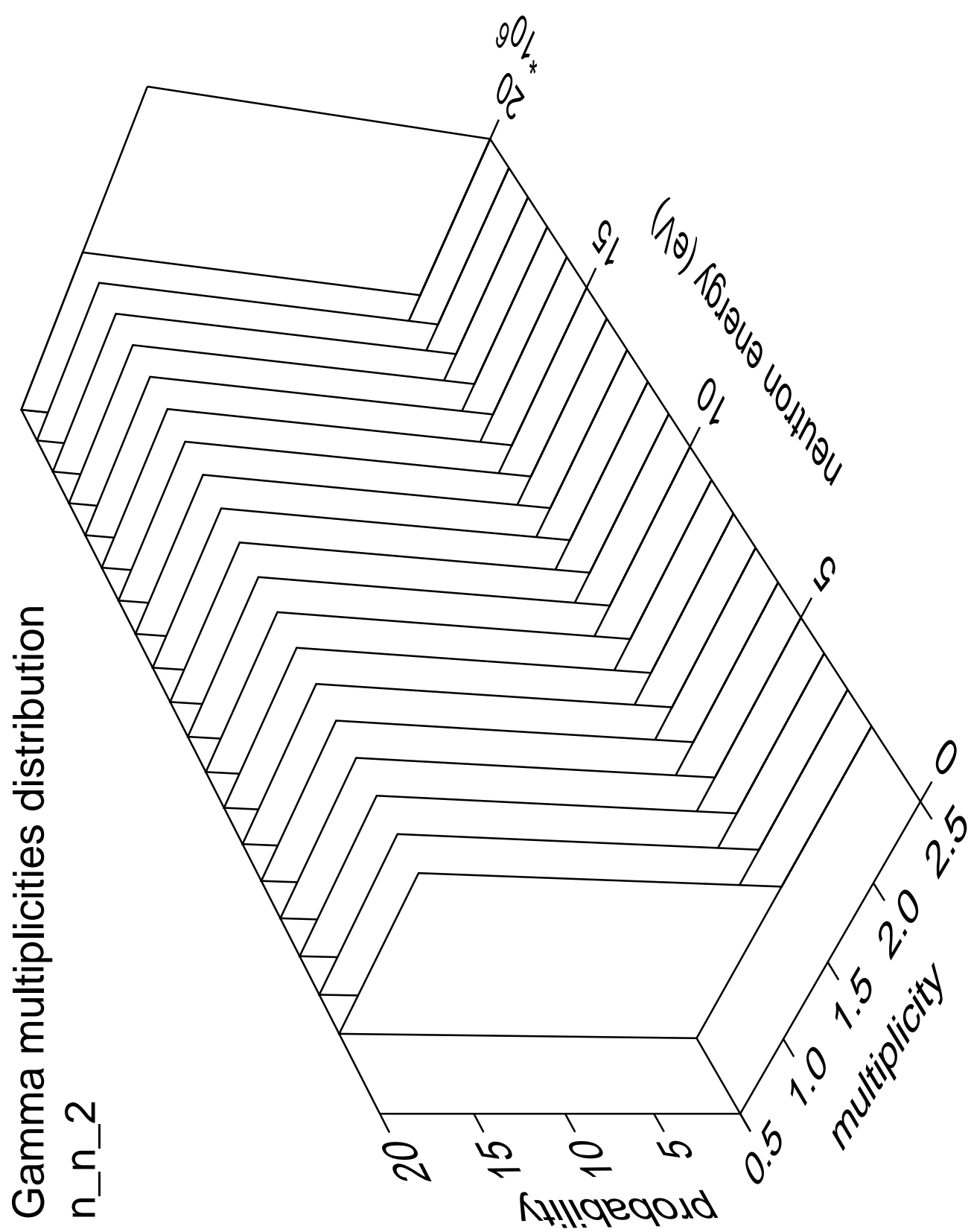




Gamma angles distribution

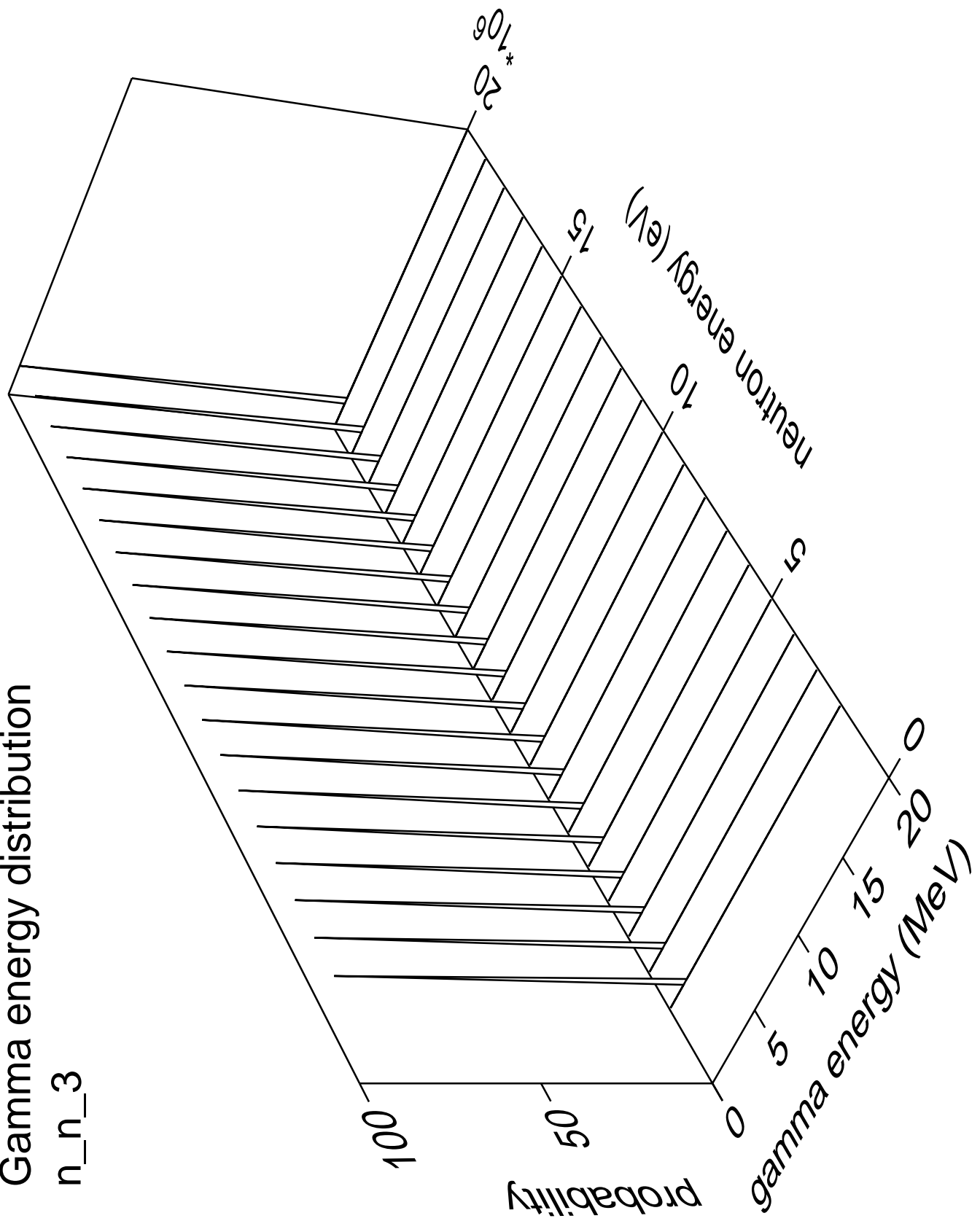
n_n_2





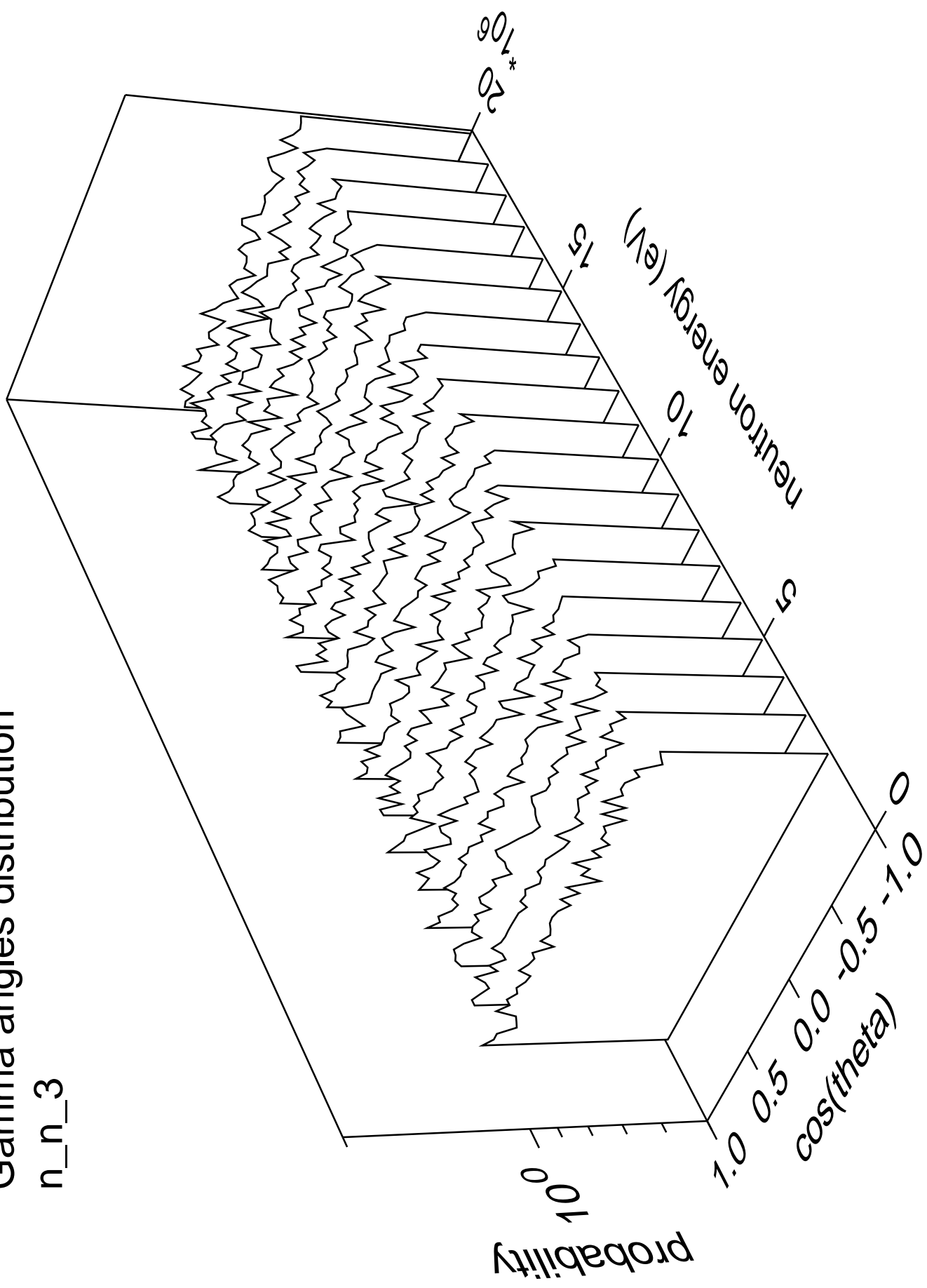
Gamma energy distribution

n_n_3

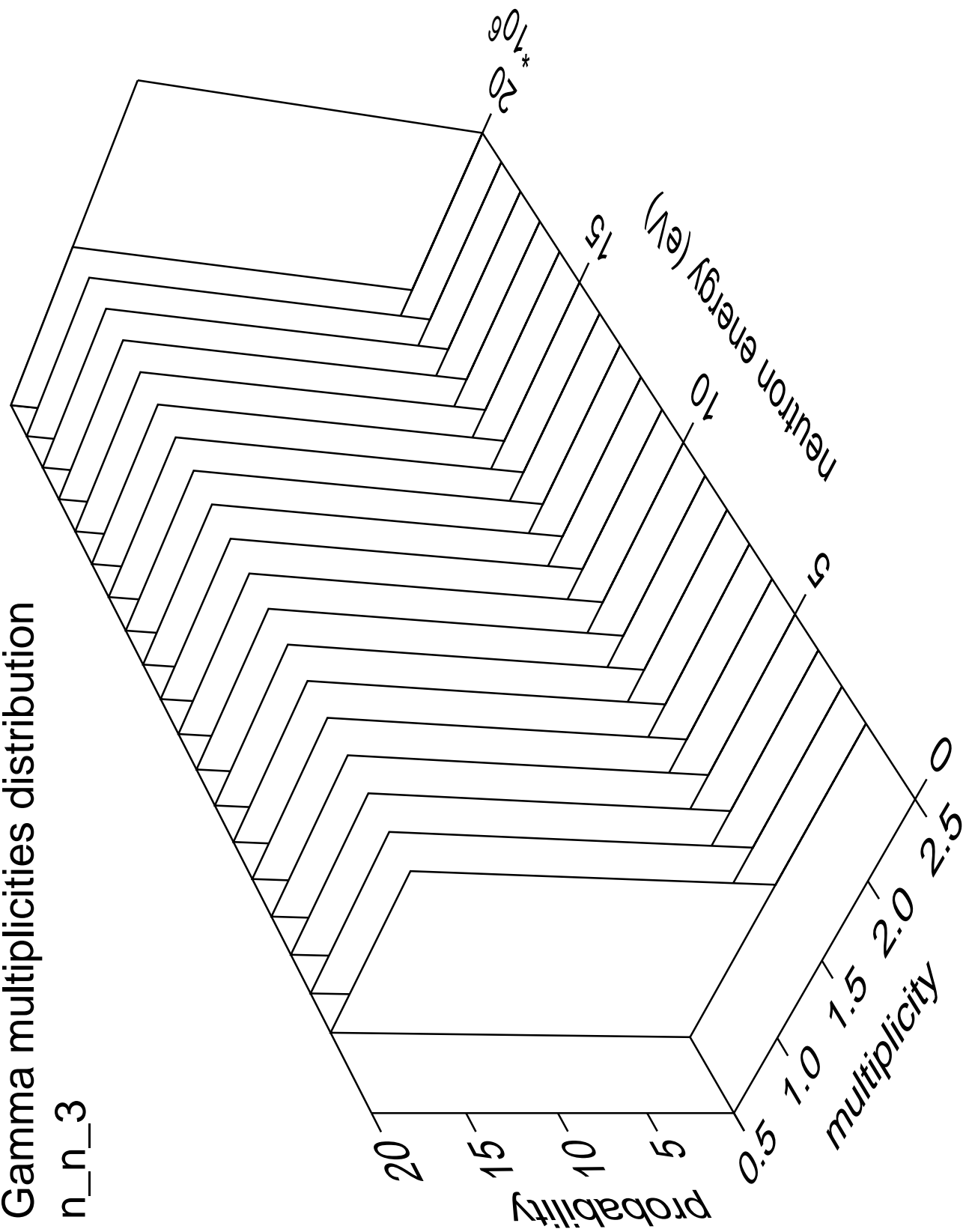


Gamma angles distribution

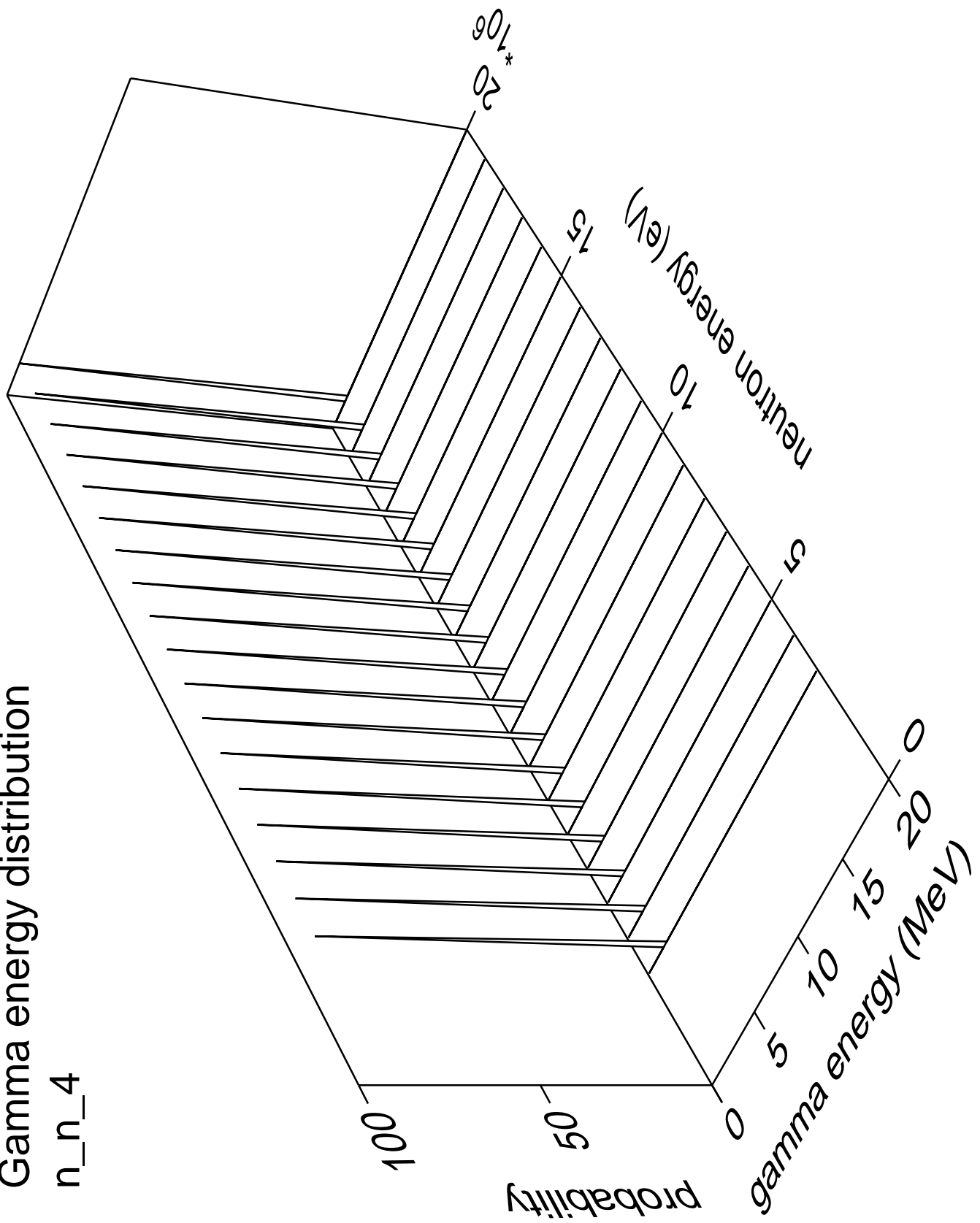
n_n_3



Gamma multiplicities distribution

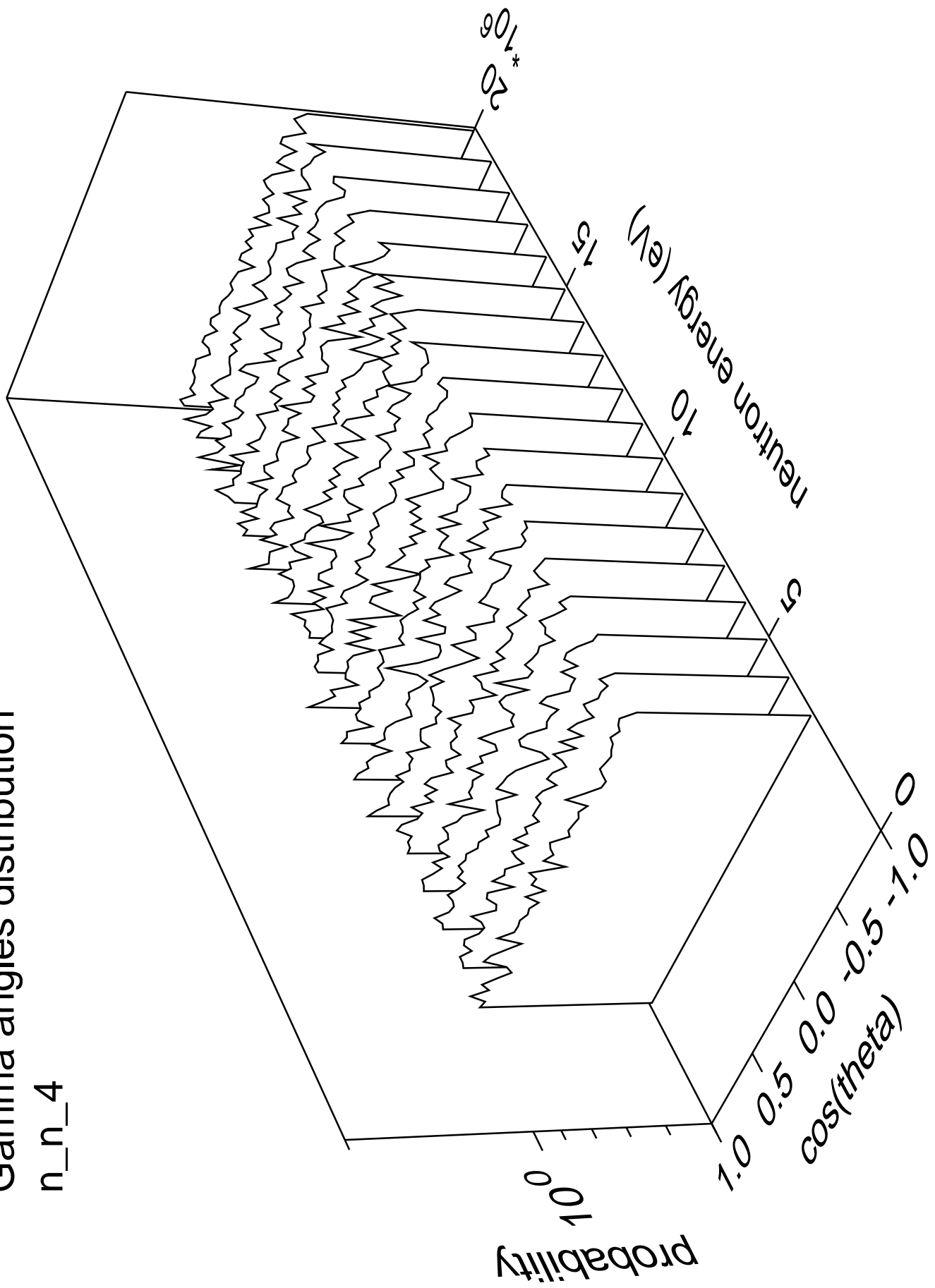


n_n_4

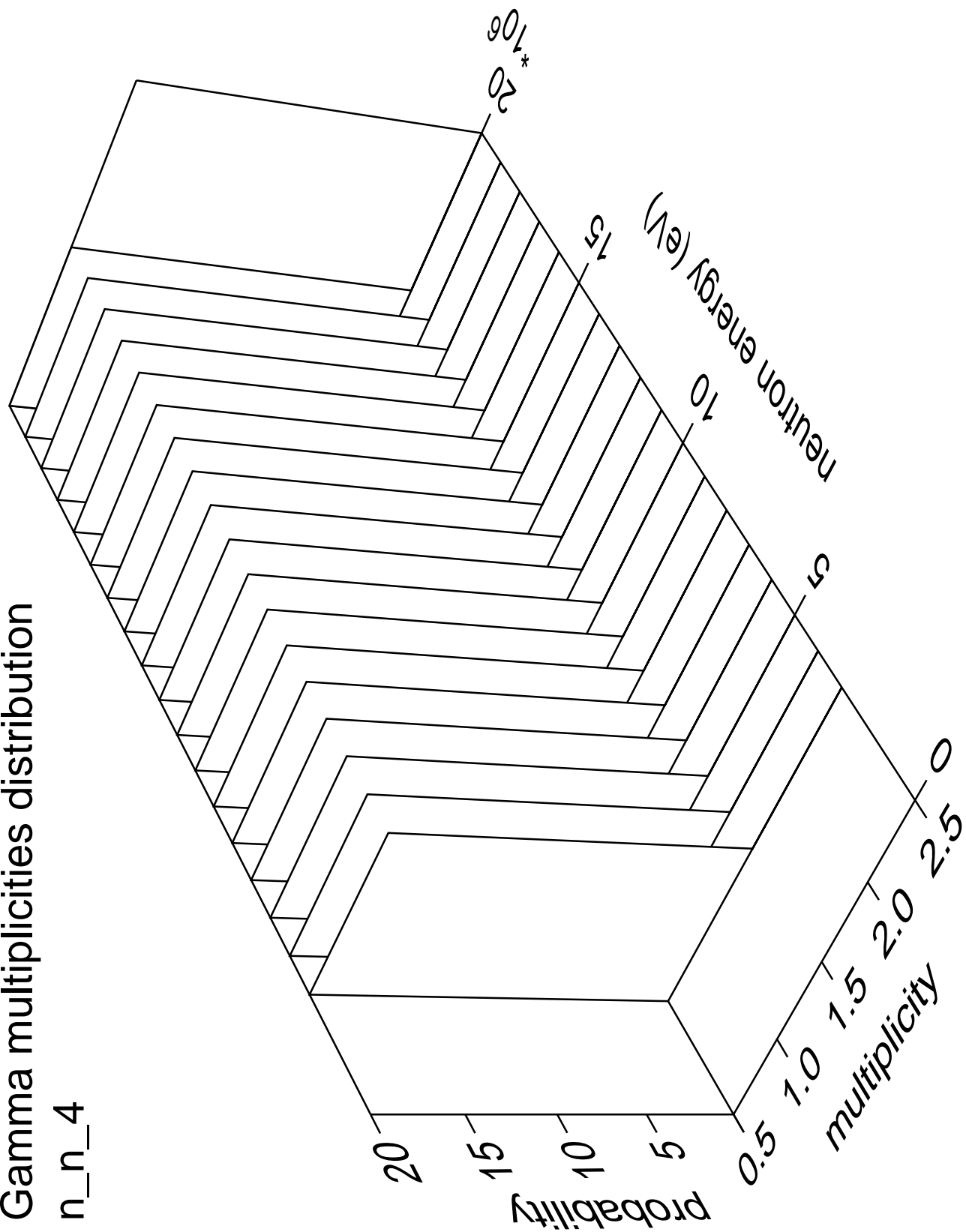


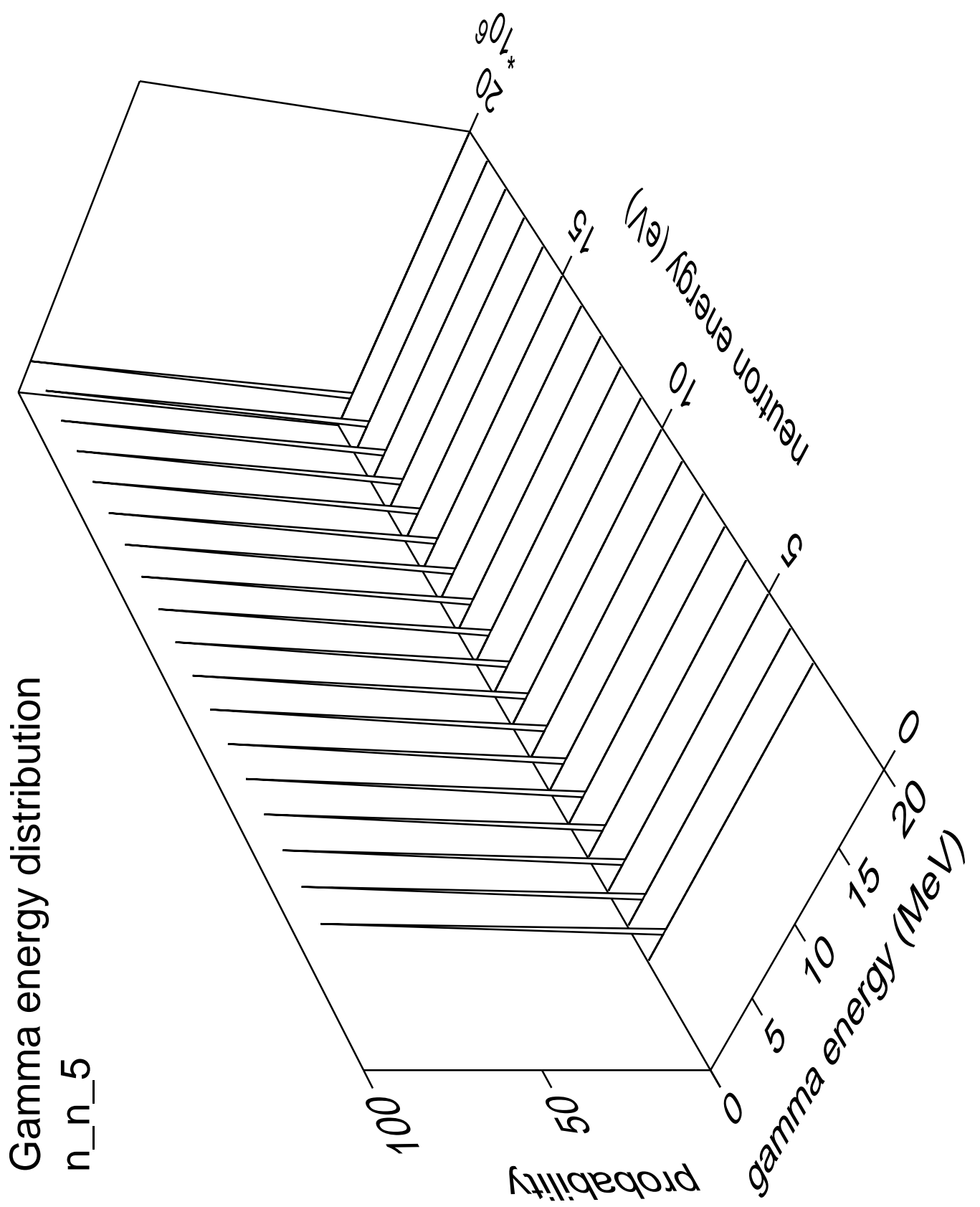
Gamma angles distribution

n_n_4



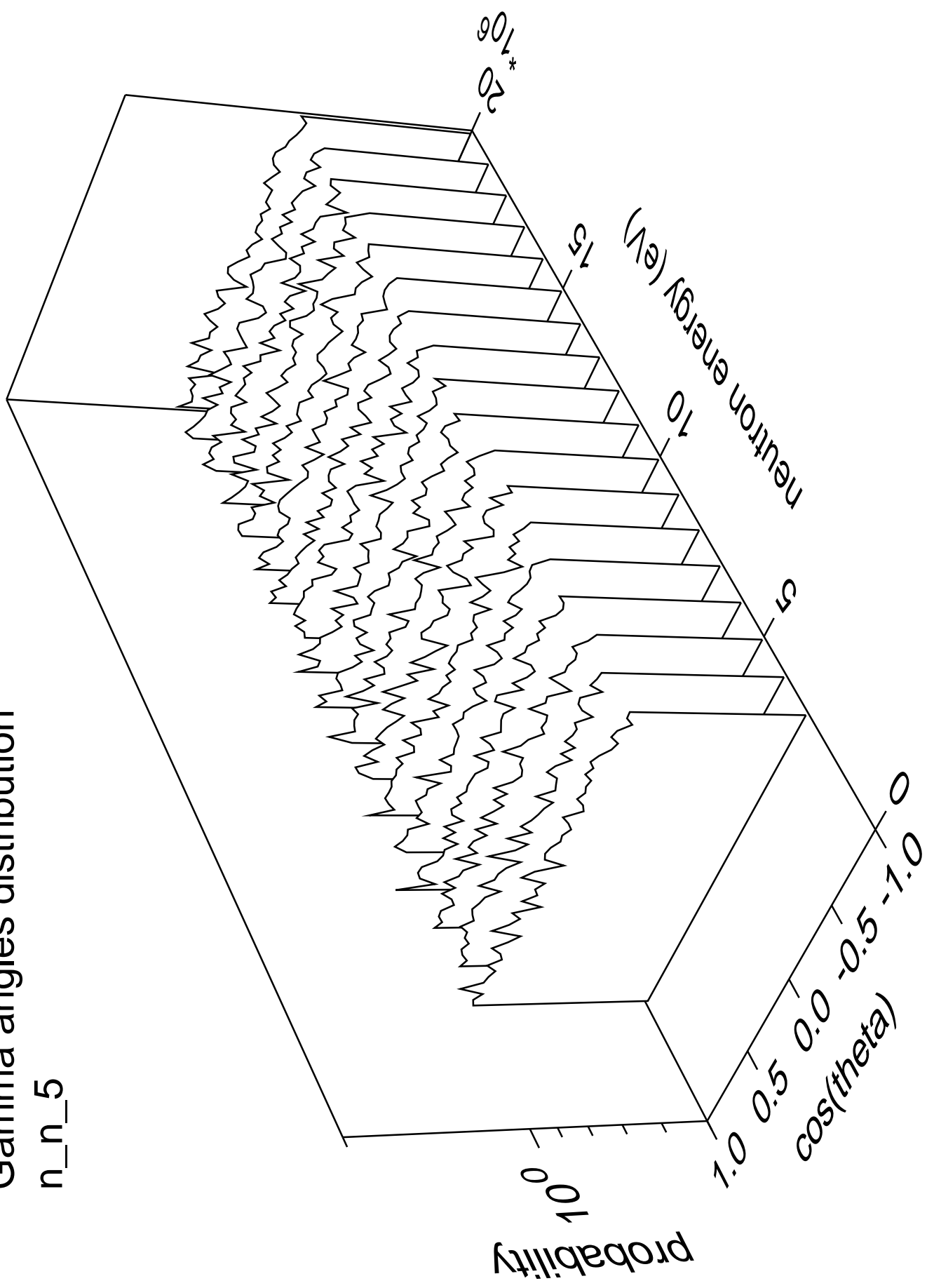
Gamma multiplicities distribution



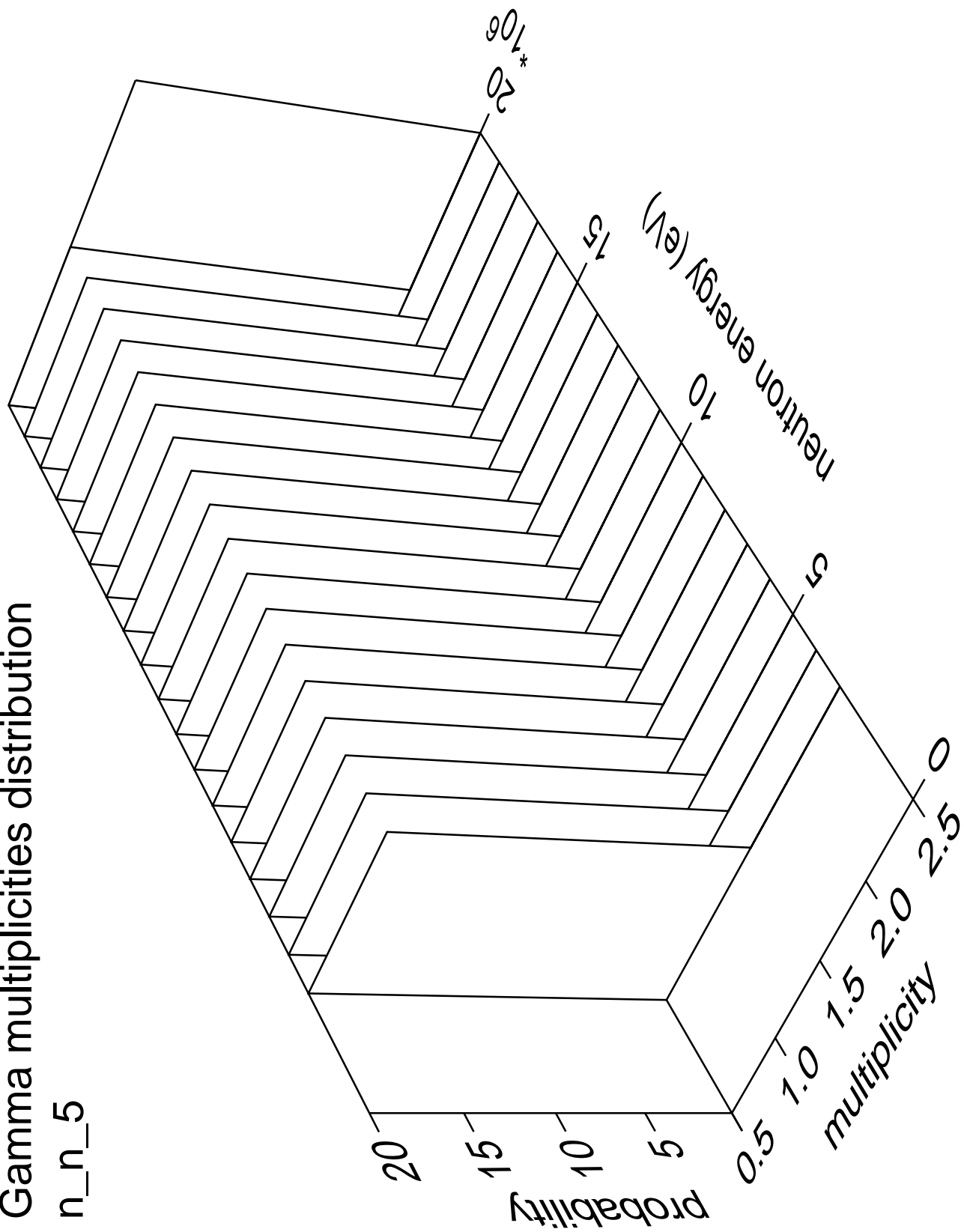


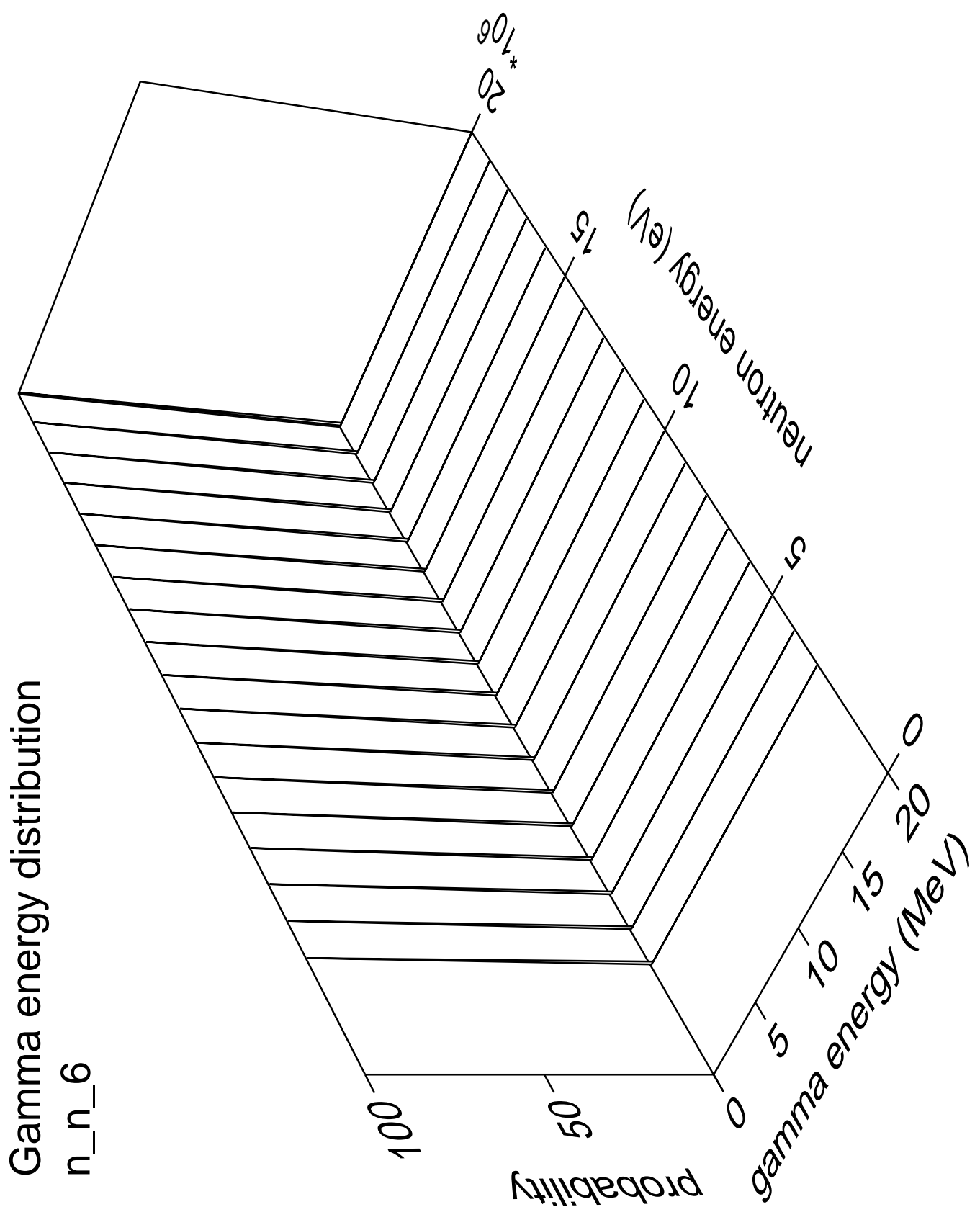
Gamma angles distribution

n_n_5



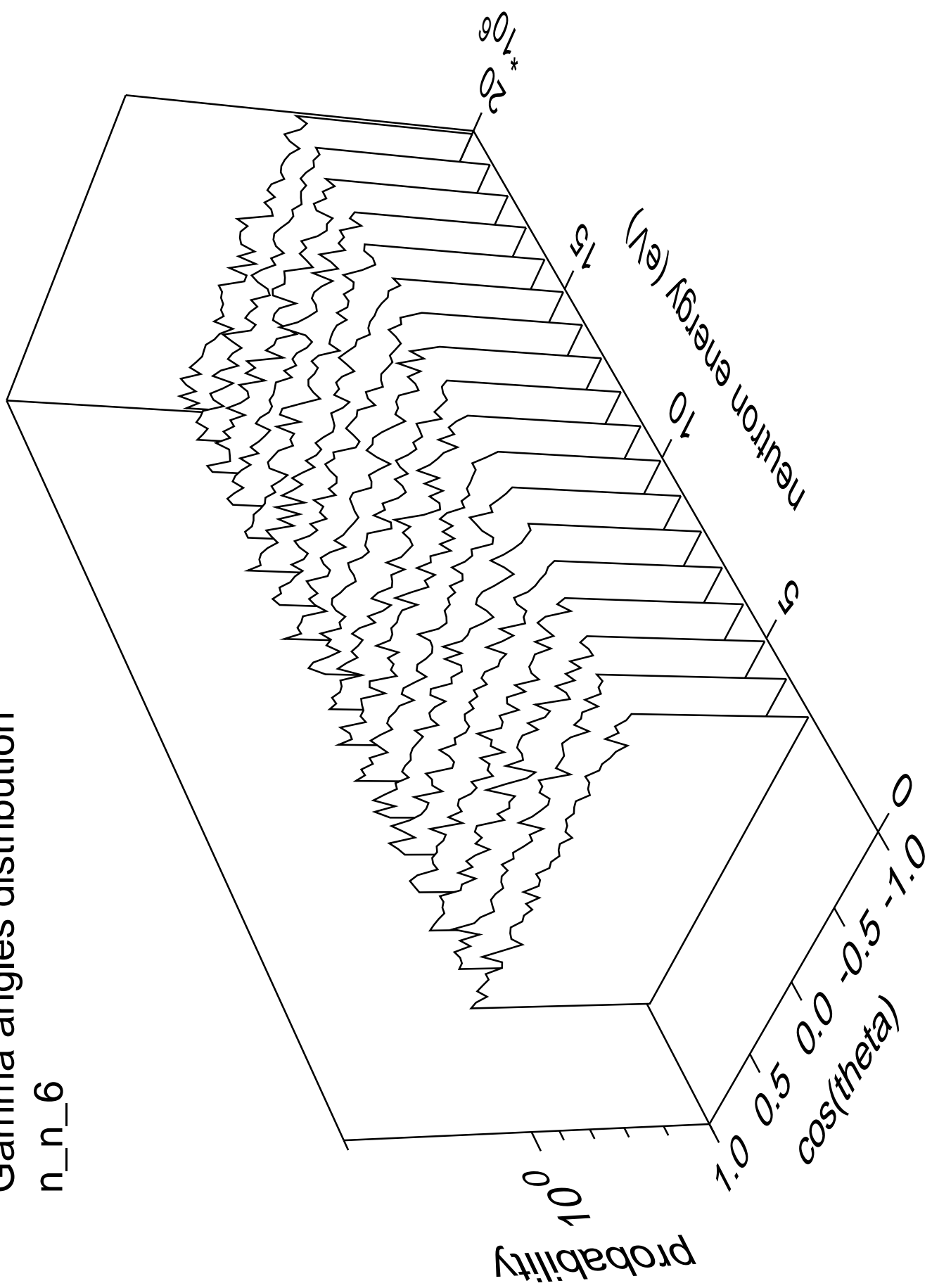
Gamma multiplicities distribution



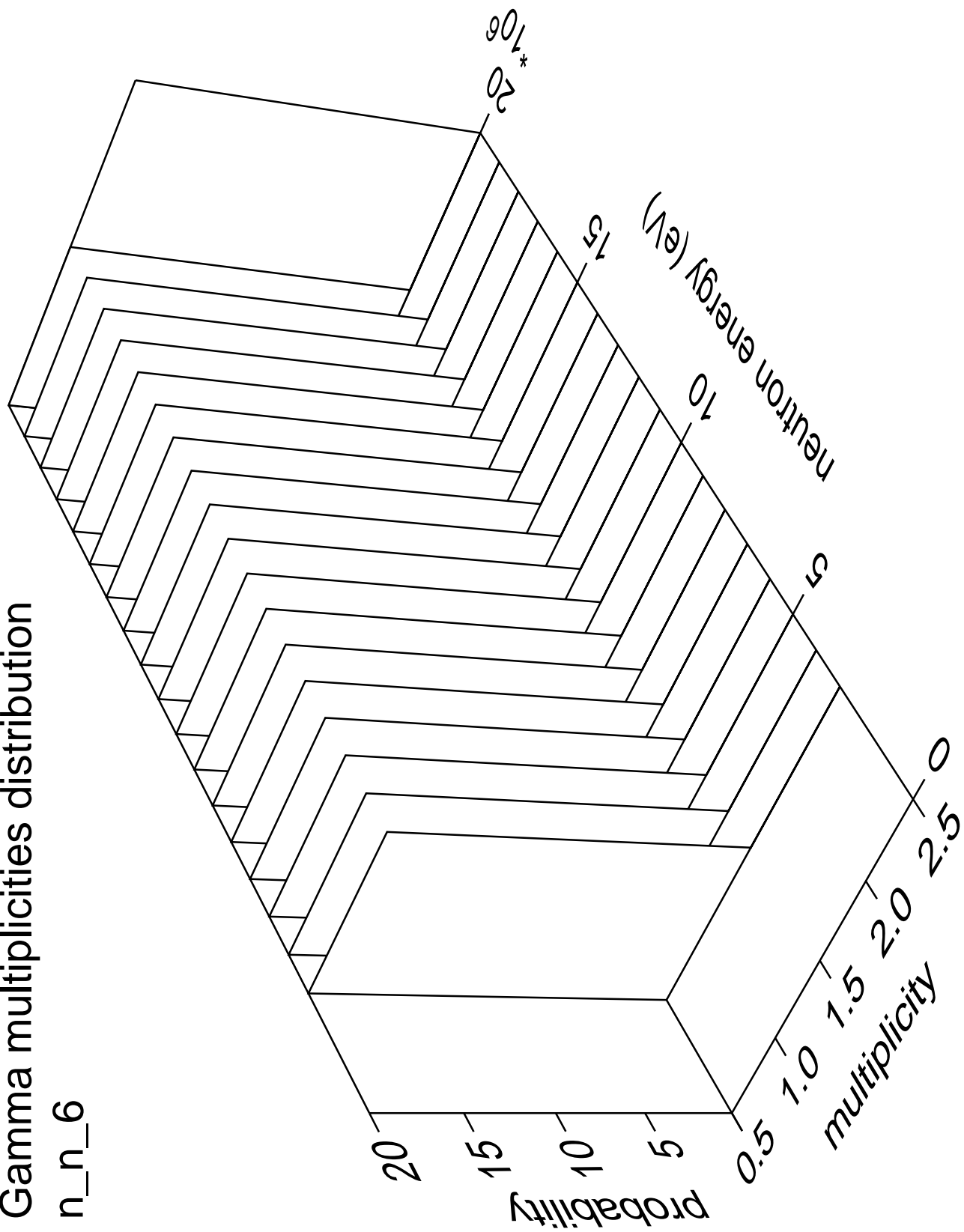


Gamma angles distribution

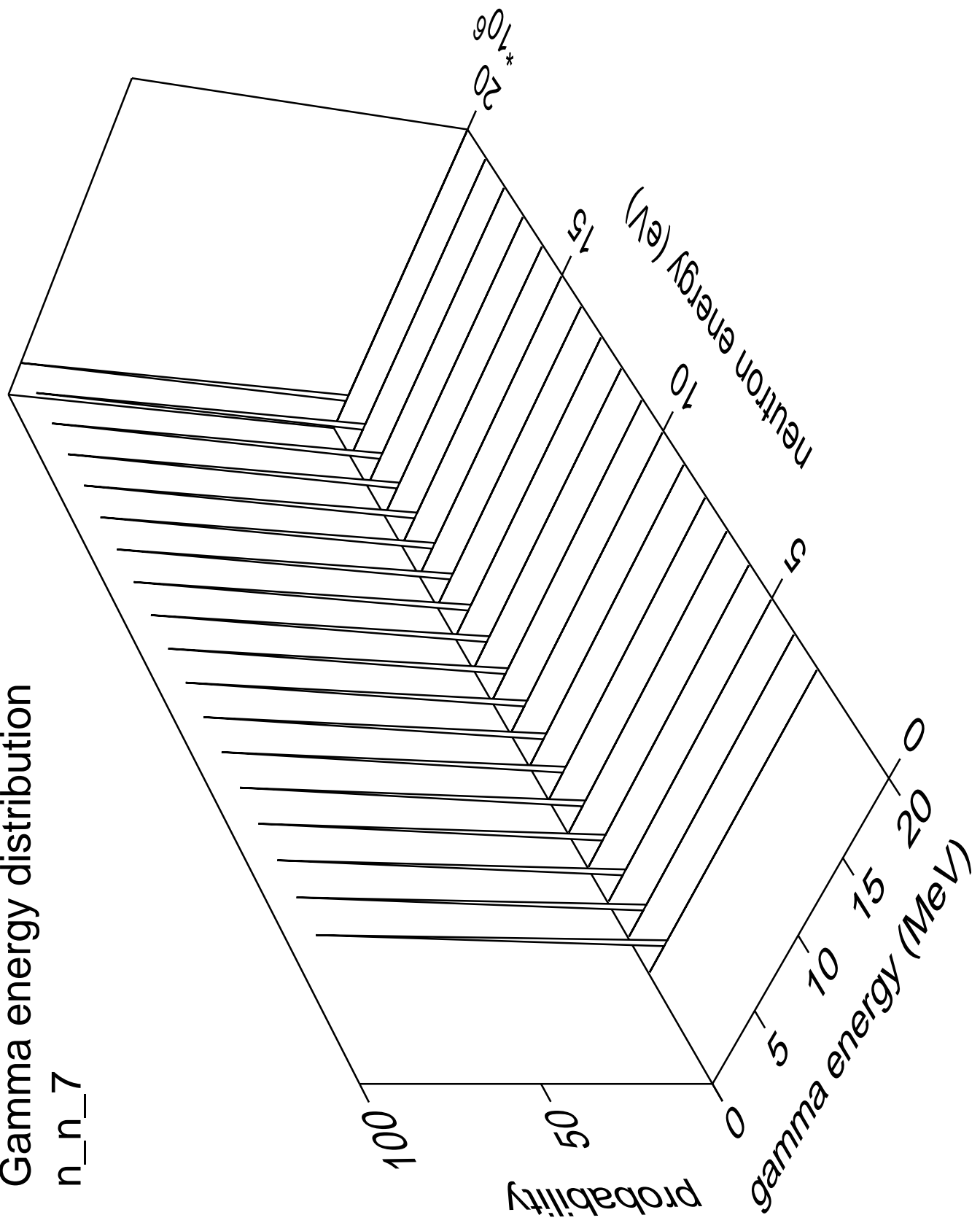
n_n_6



Gamma multiplicities distribution

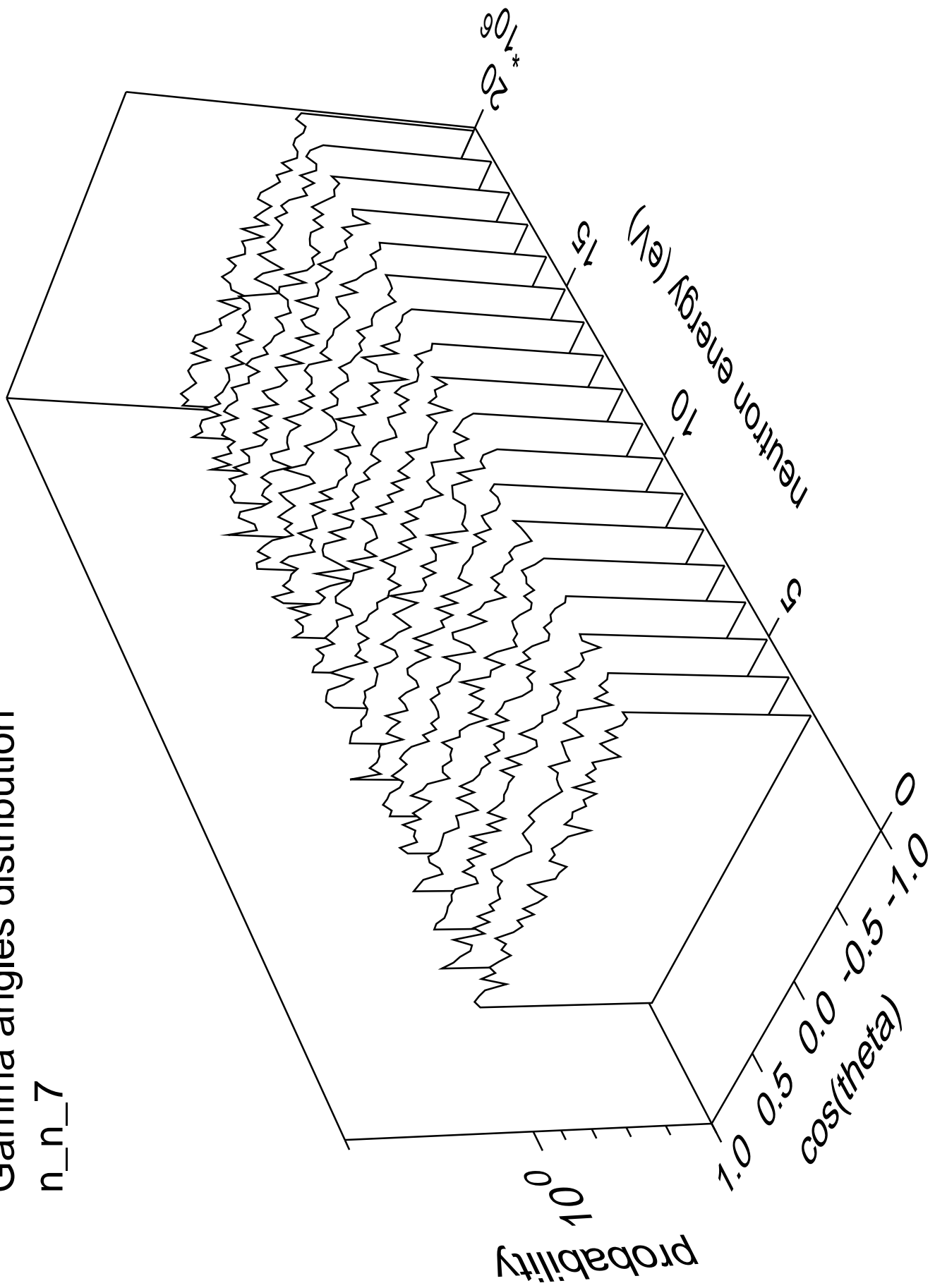


Gamma energy distribution

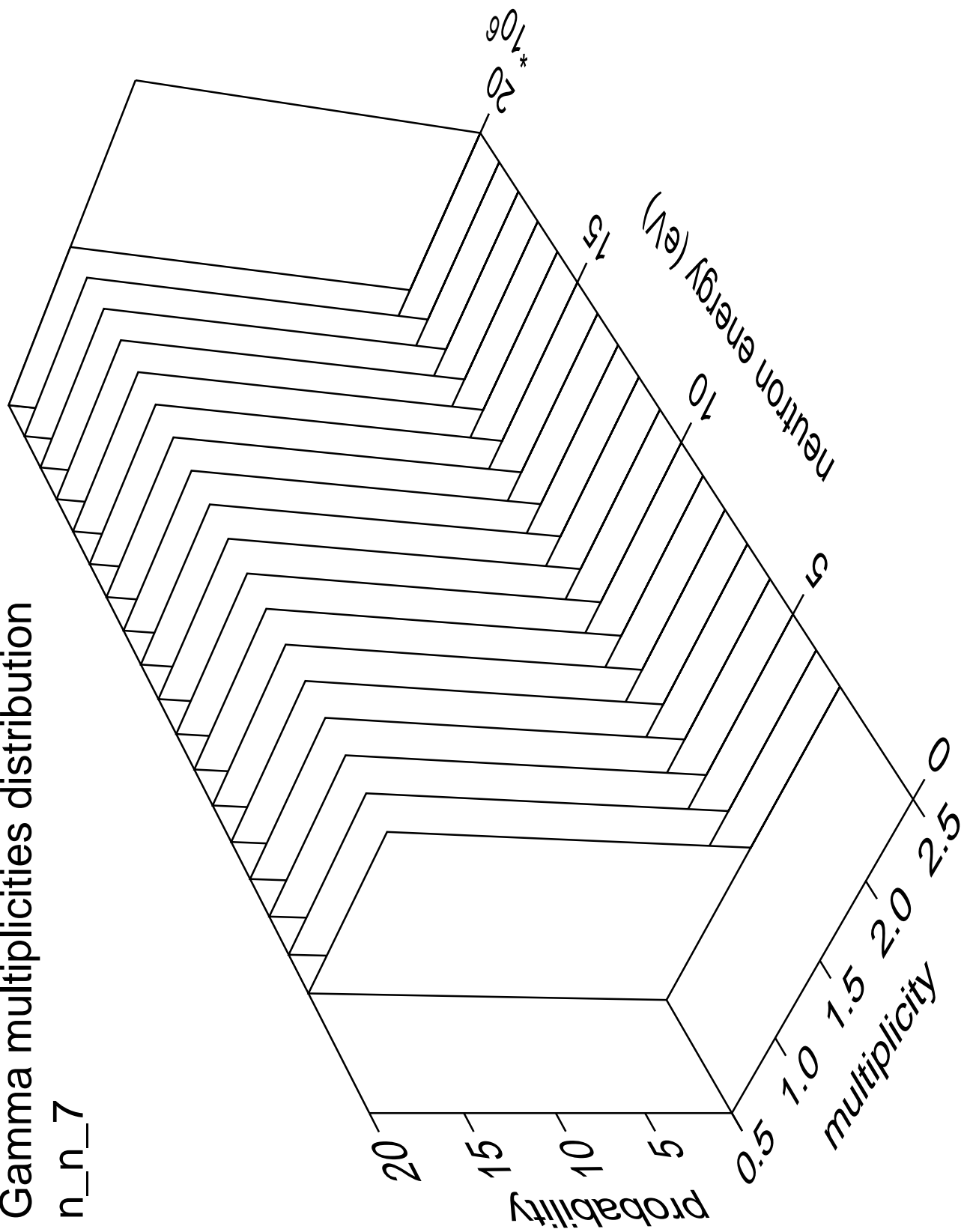


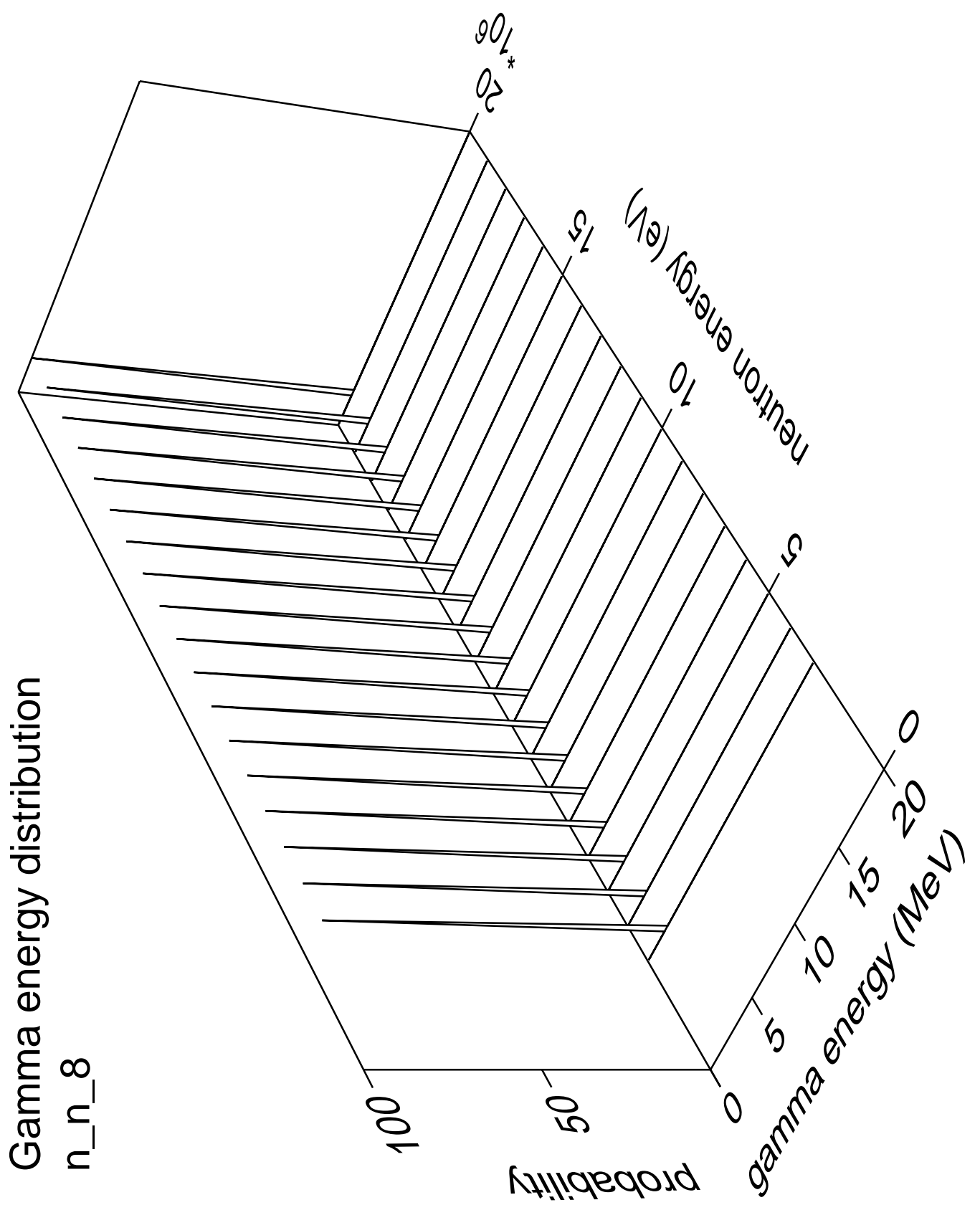
Gamma angles distribution

n_n_7



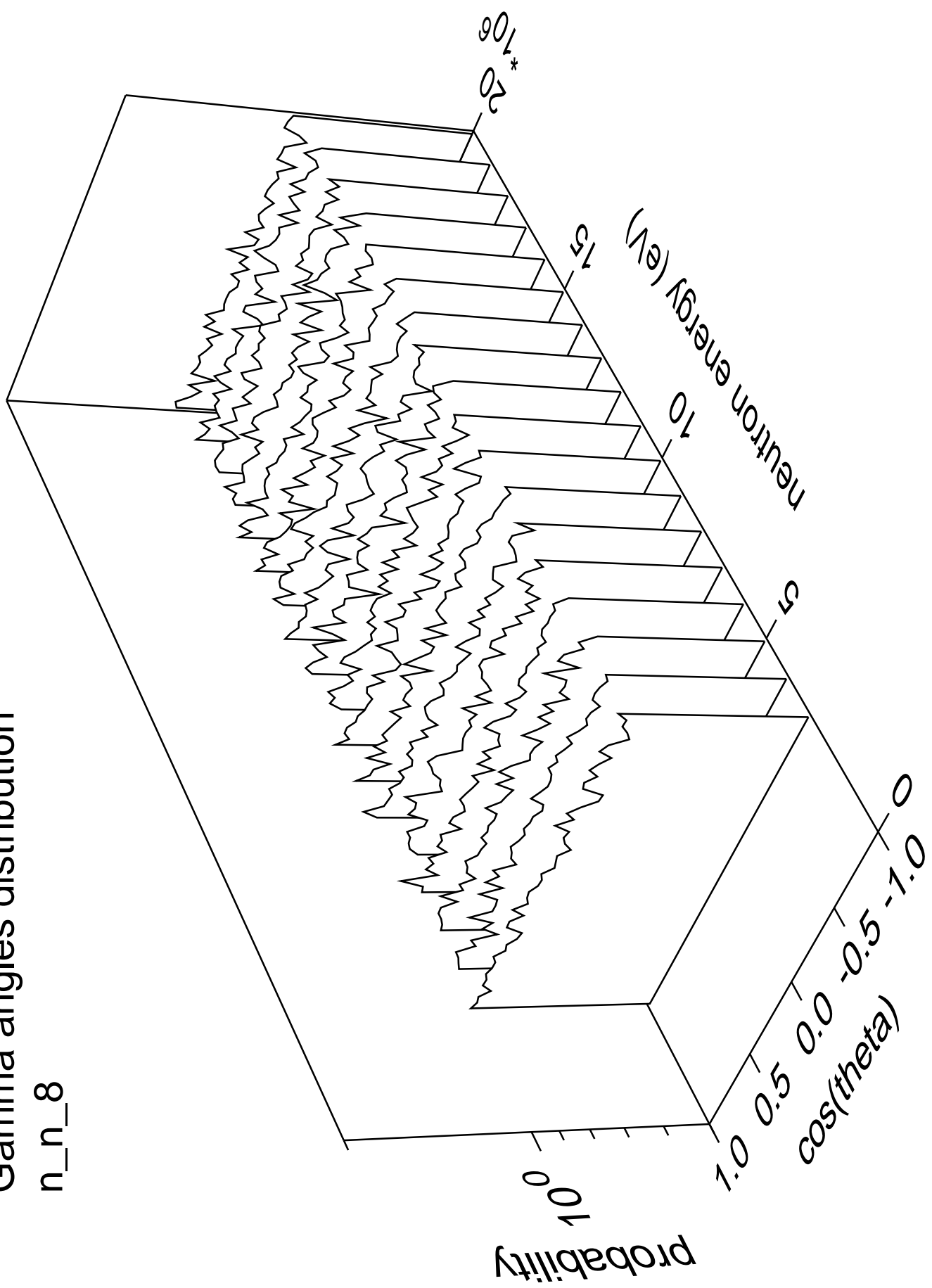
Gamma multiplicities distribution

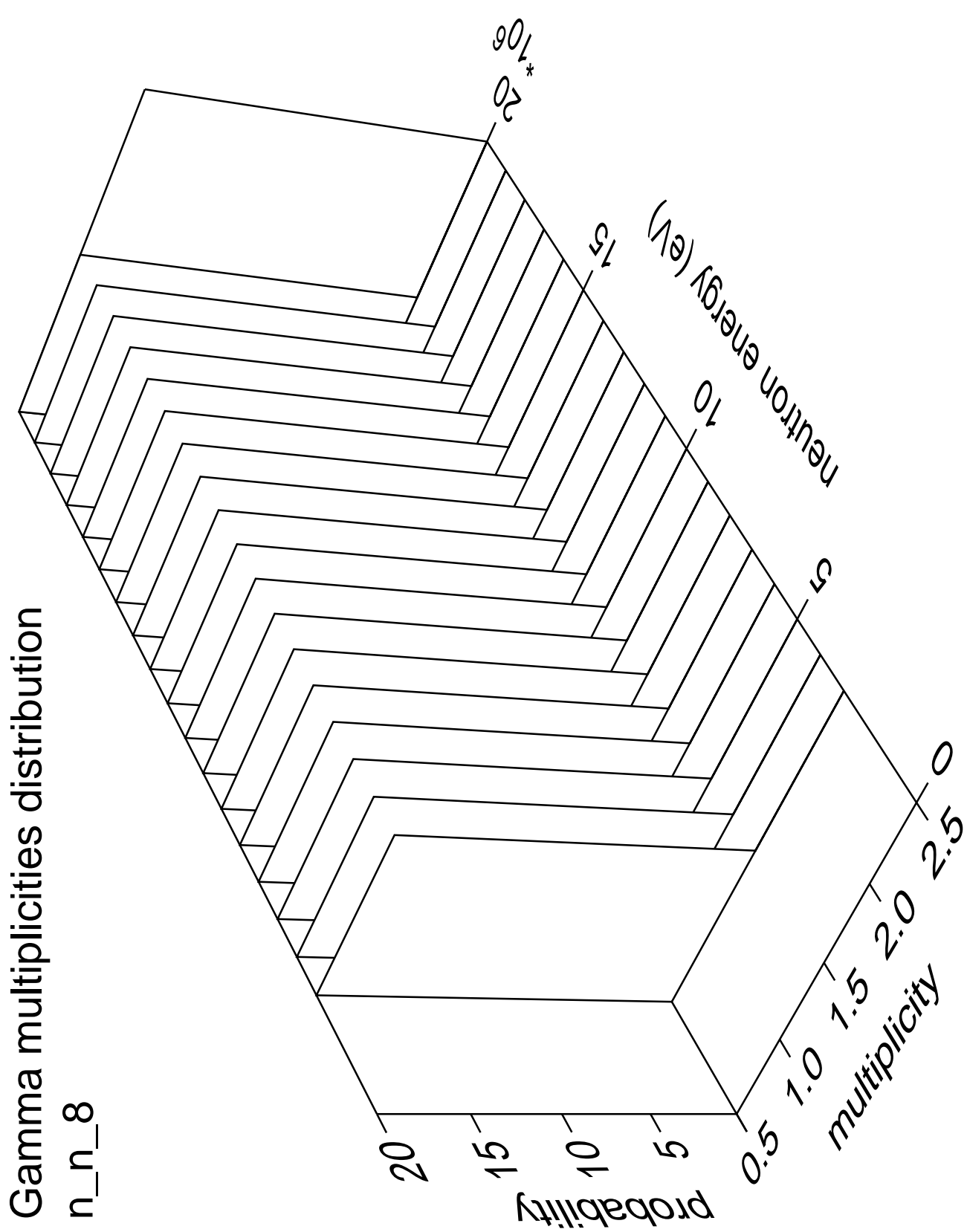


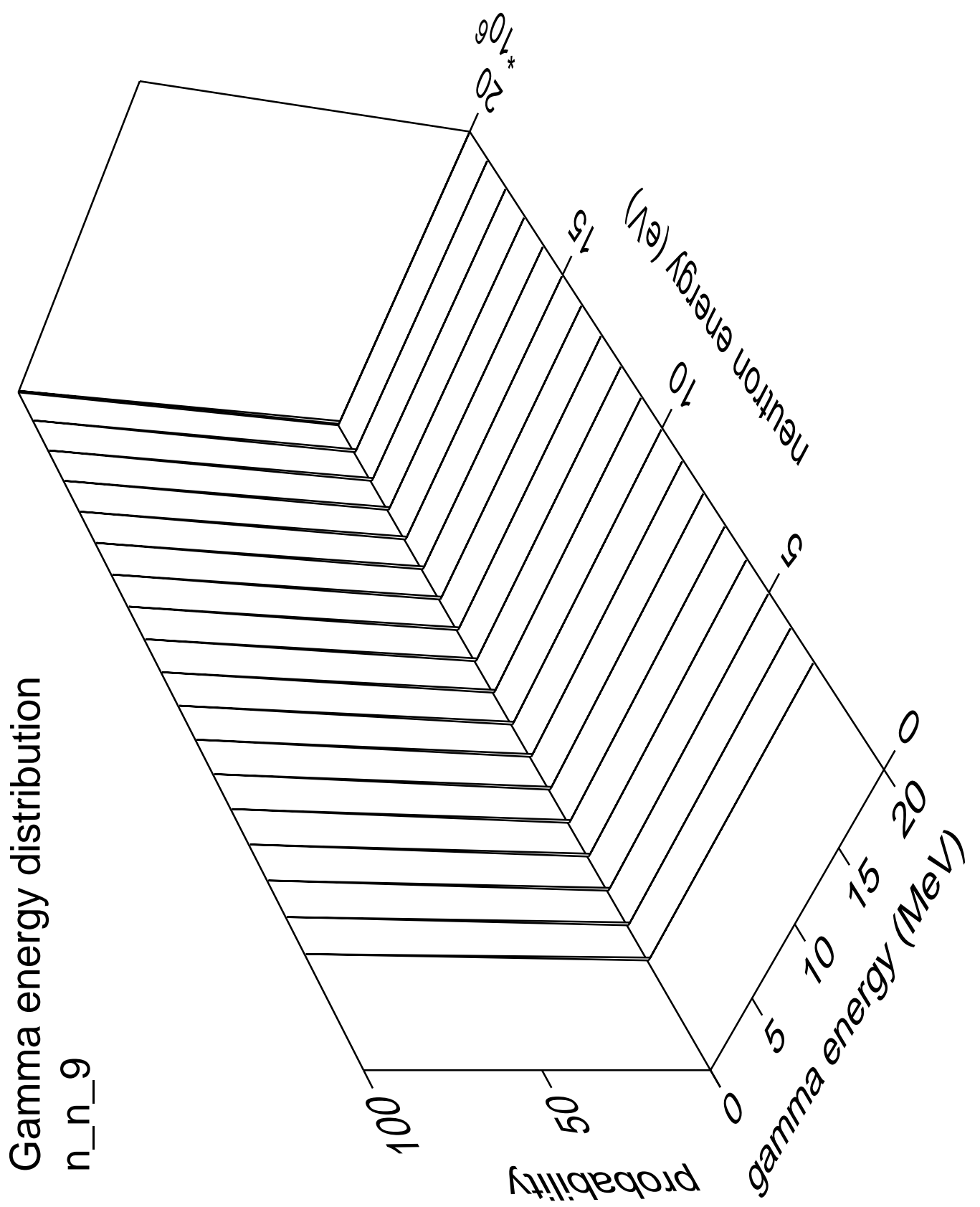


Gamma angles distribution

n_n_8

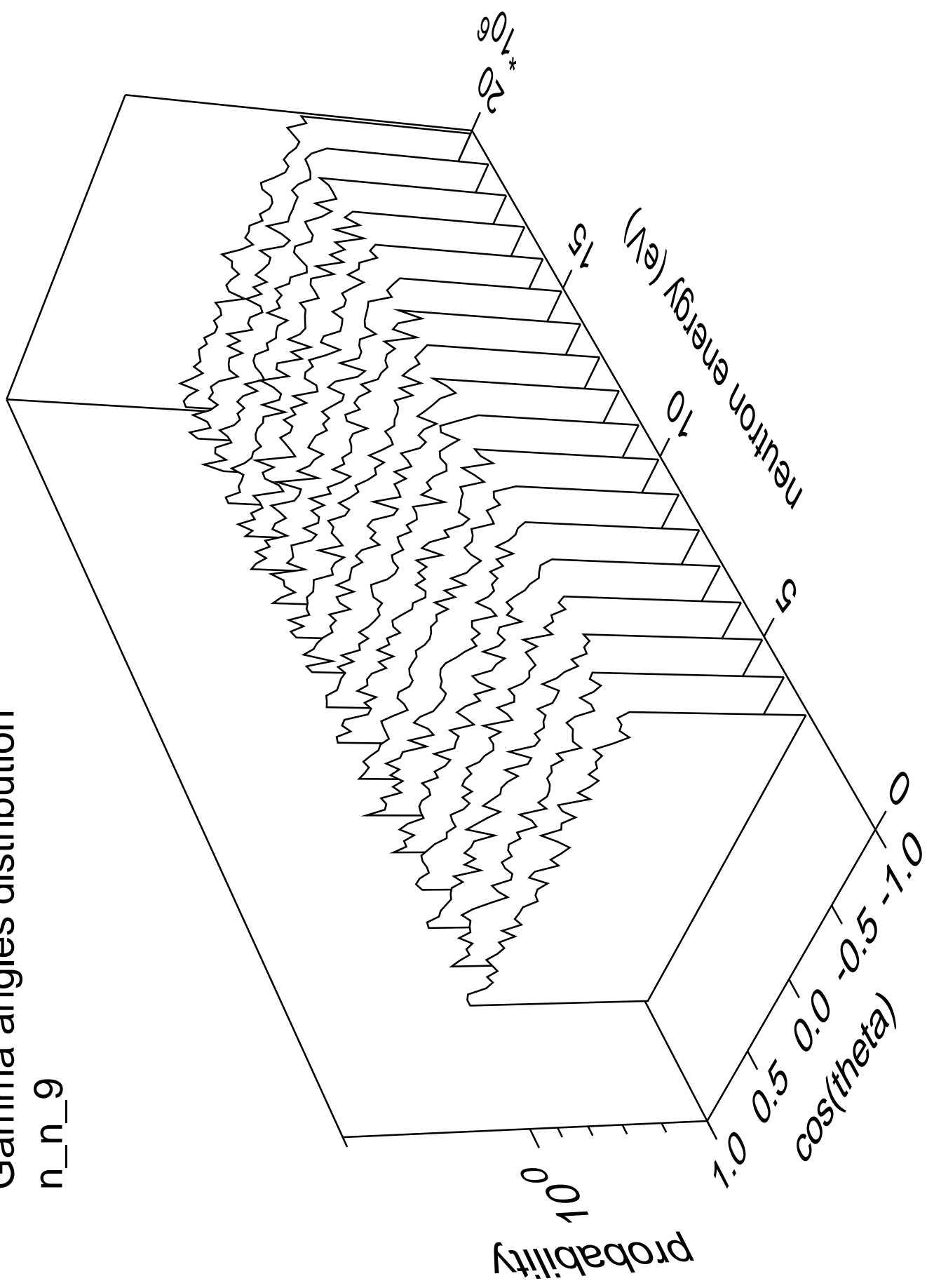


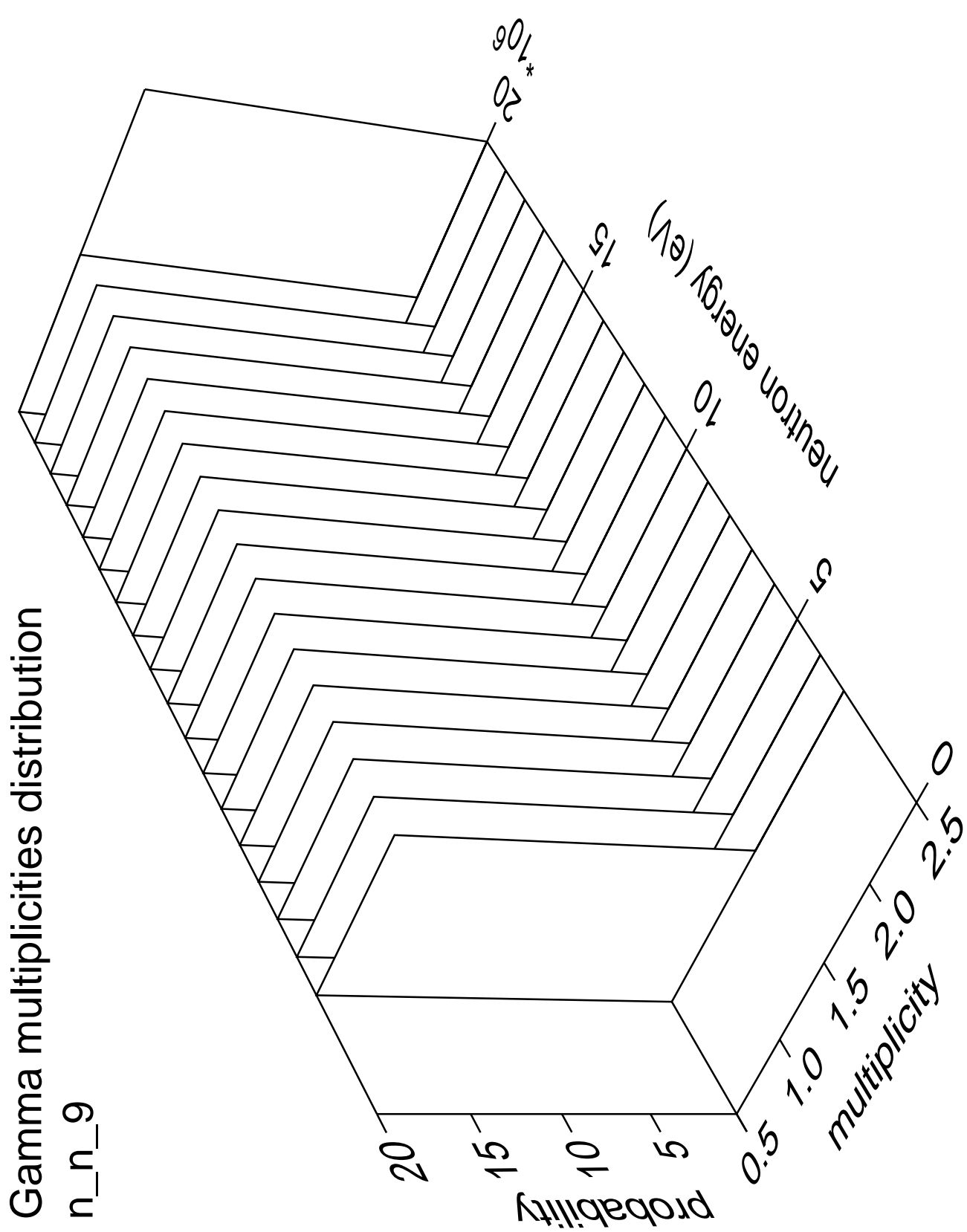


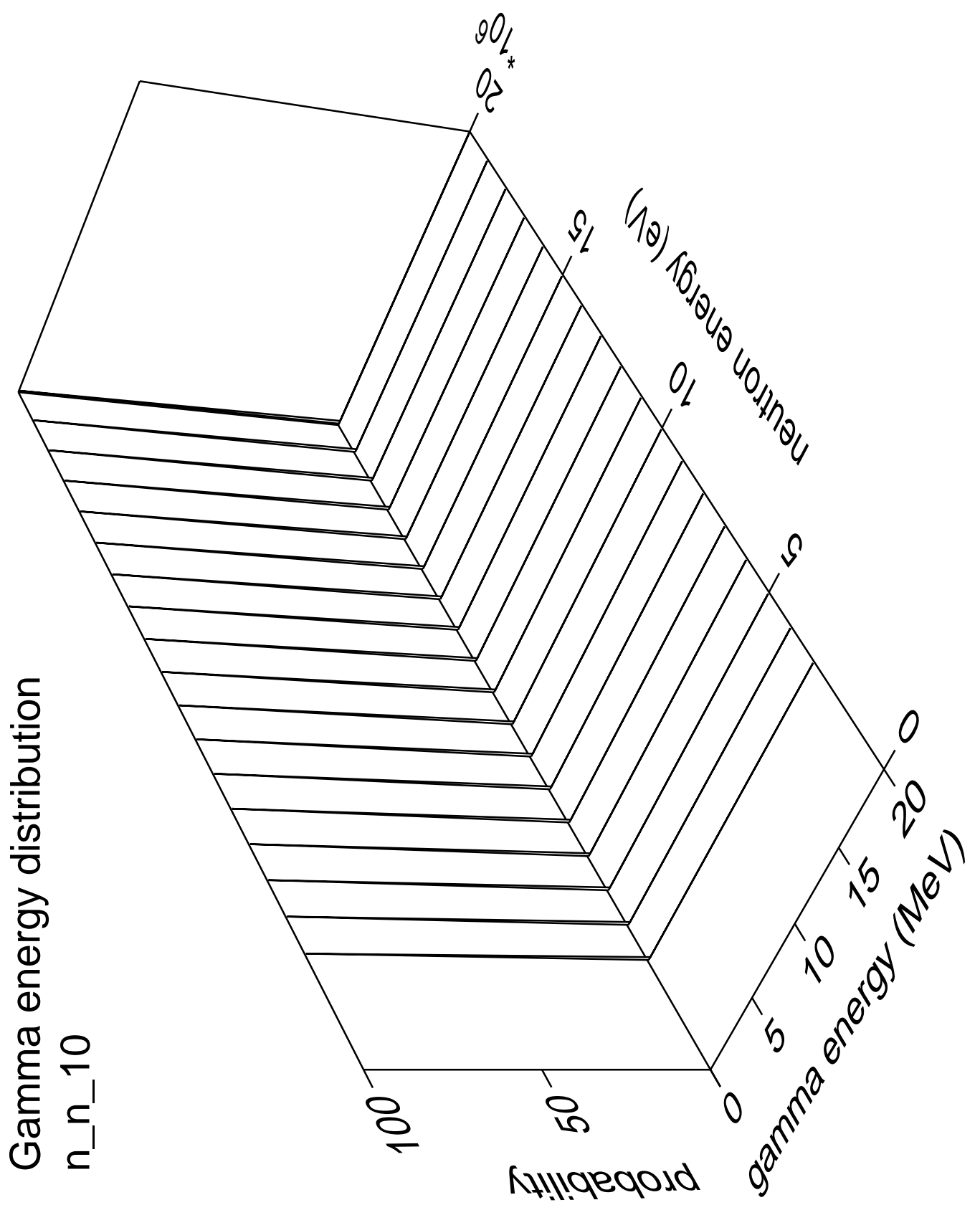


Gamma angles distribution

n_n_9

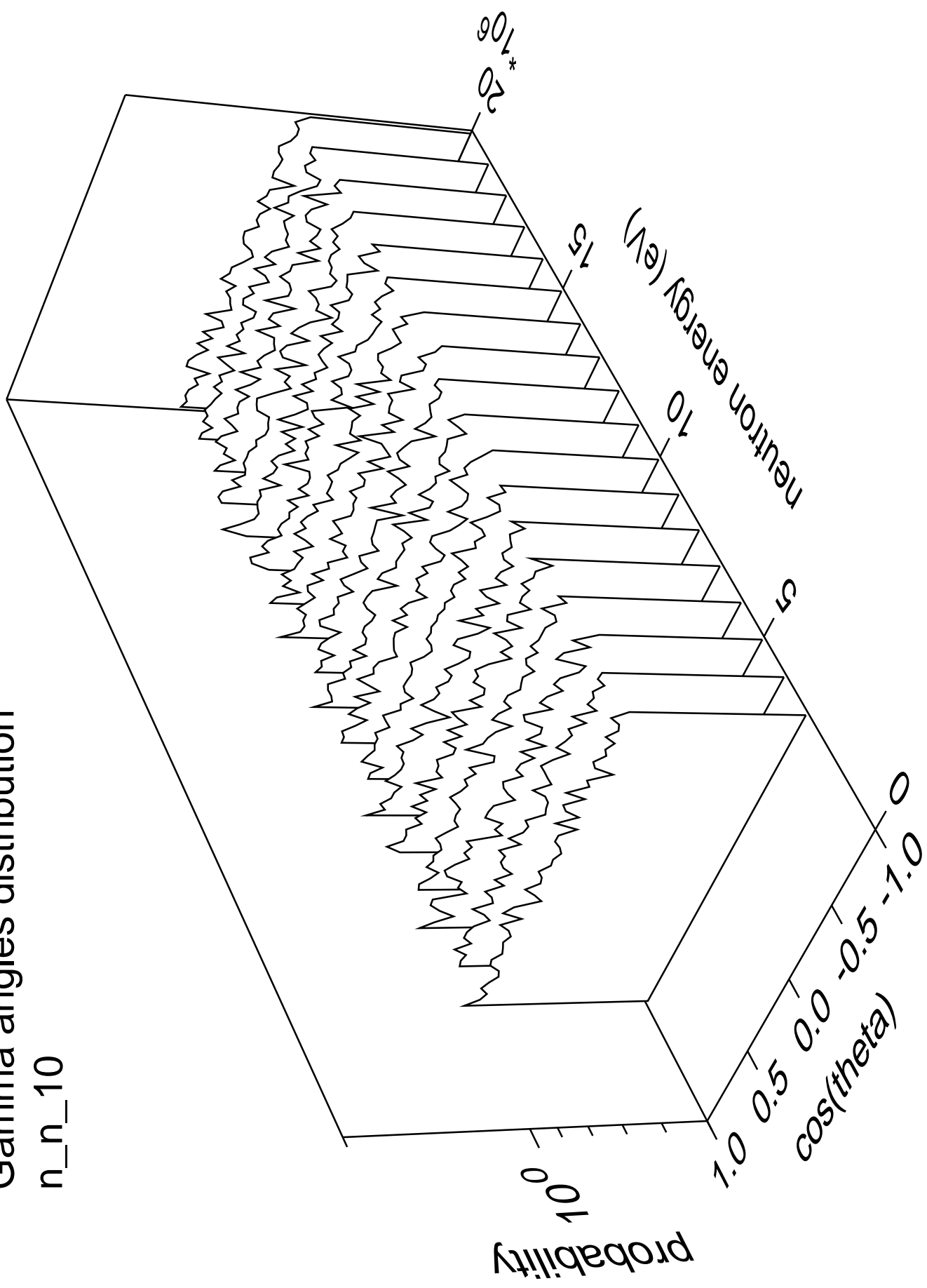


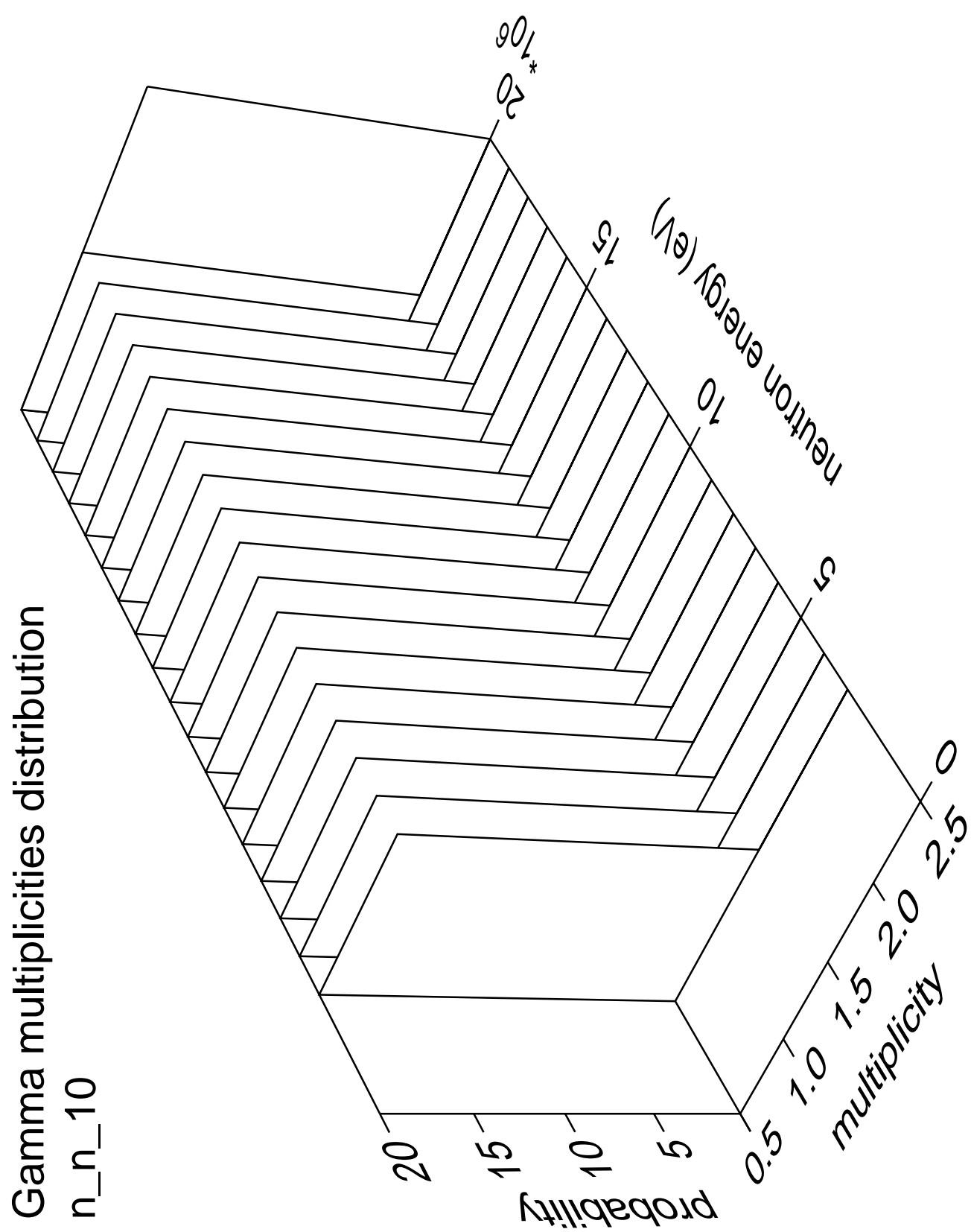




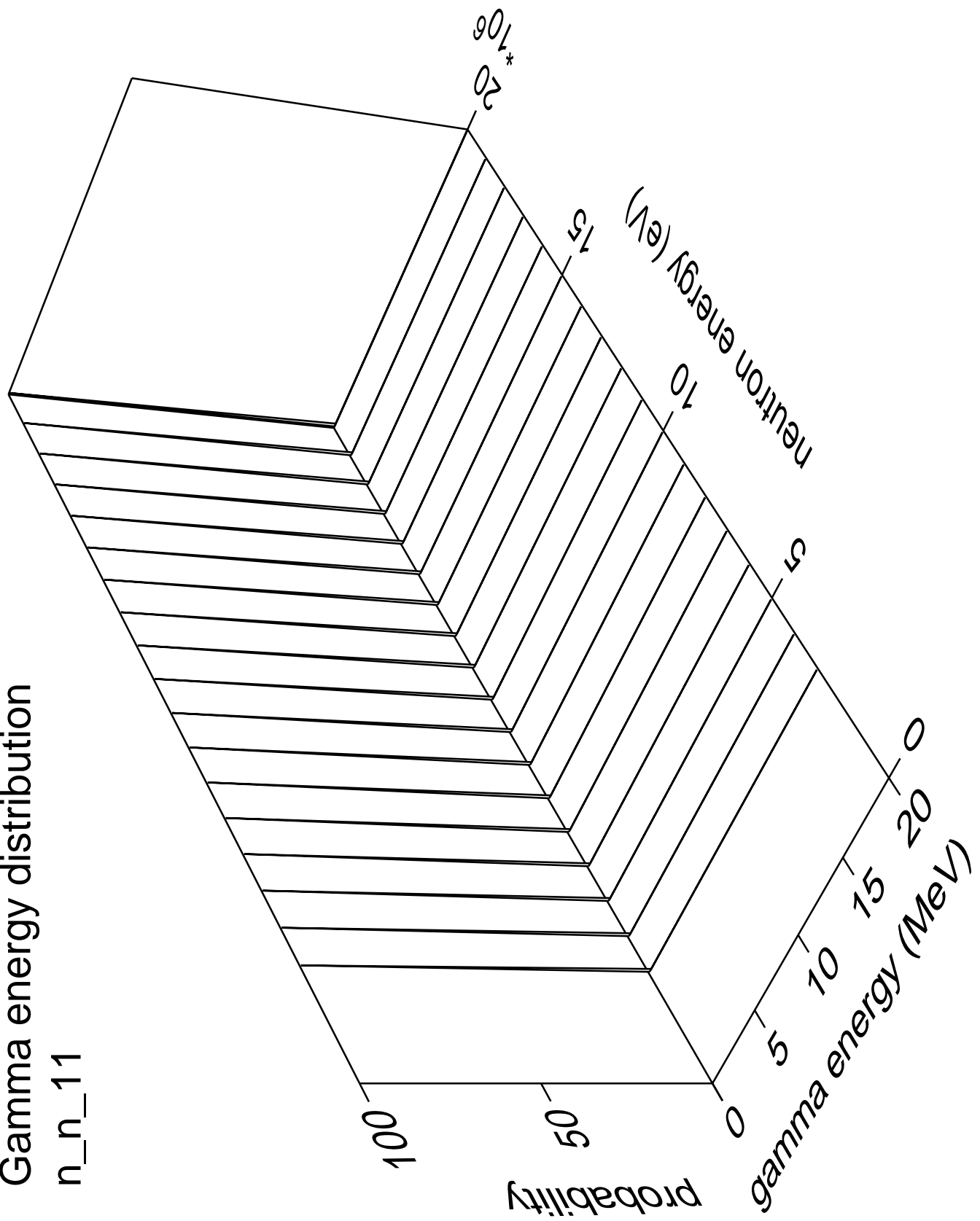
Gamma angles distribution

n_n_10

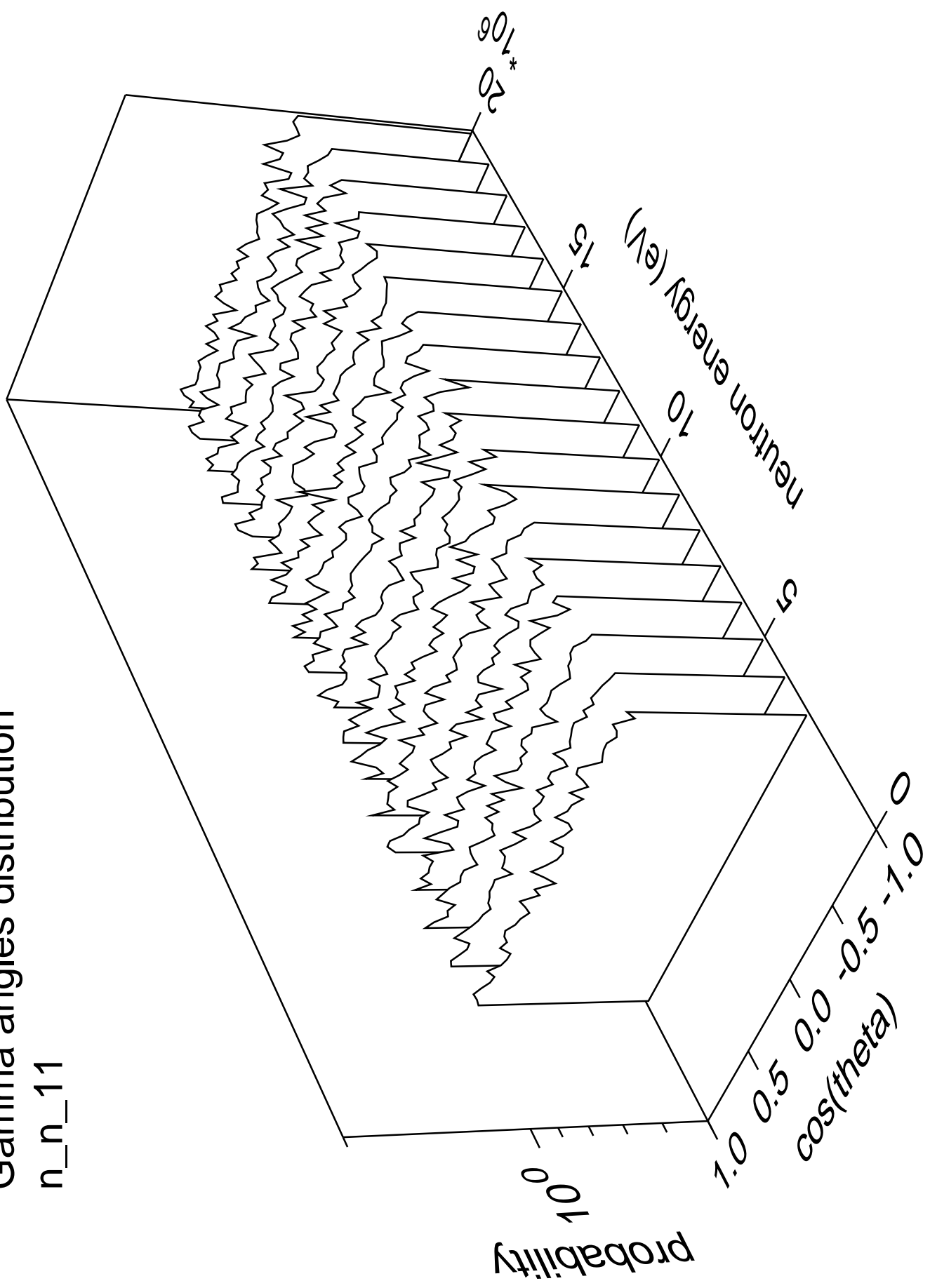




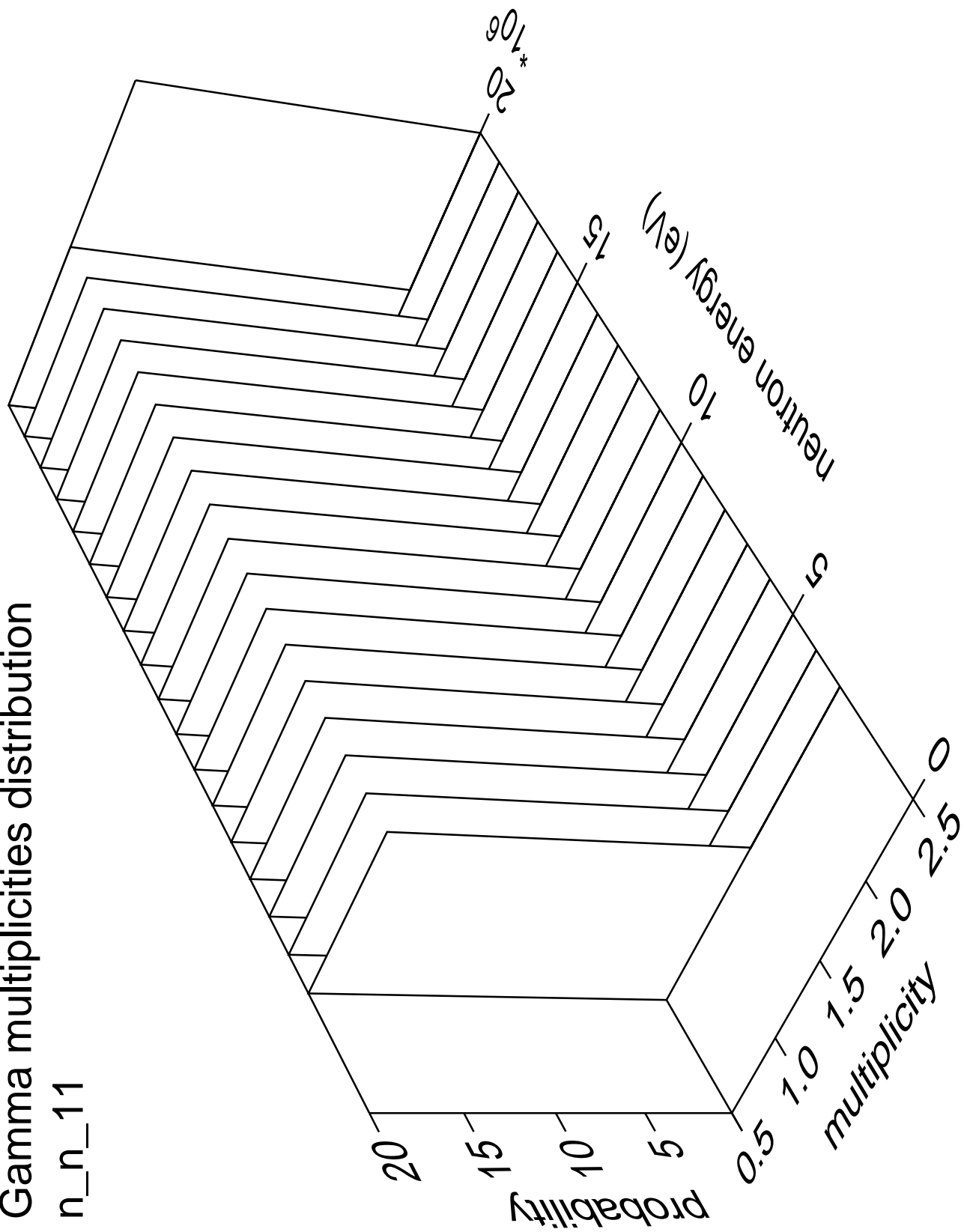
Gamma energy distribution



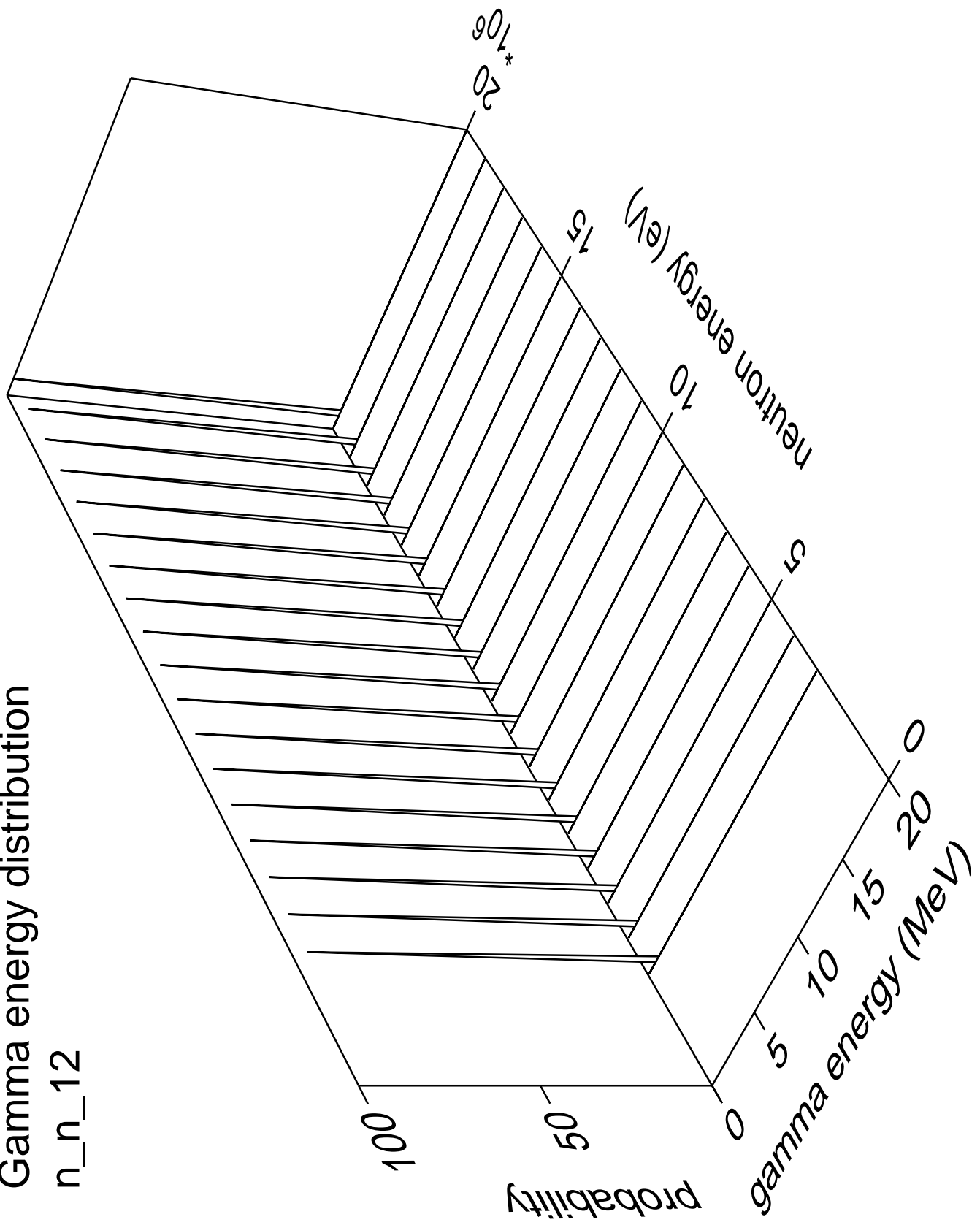
Gamma angles distribution



Gamma multiplicities distribution

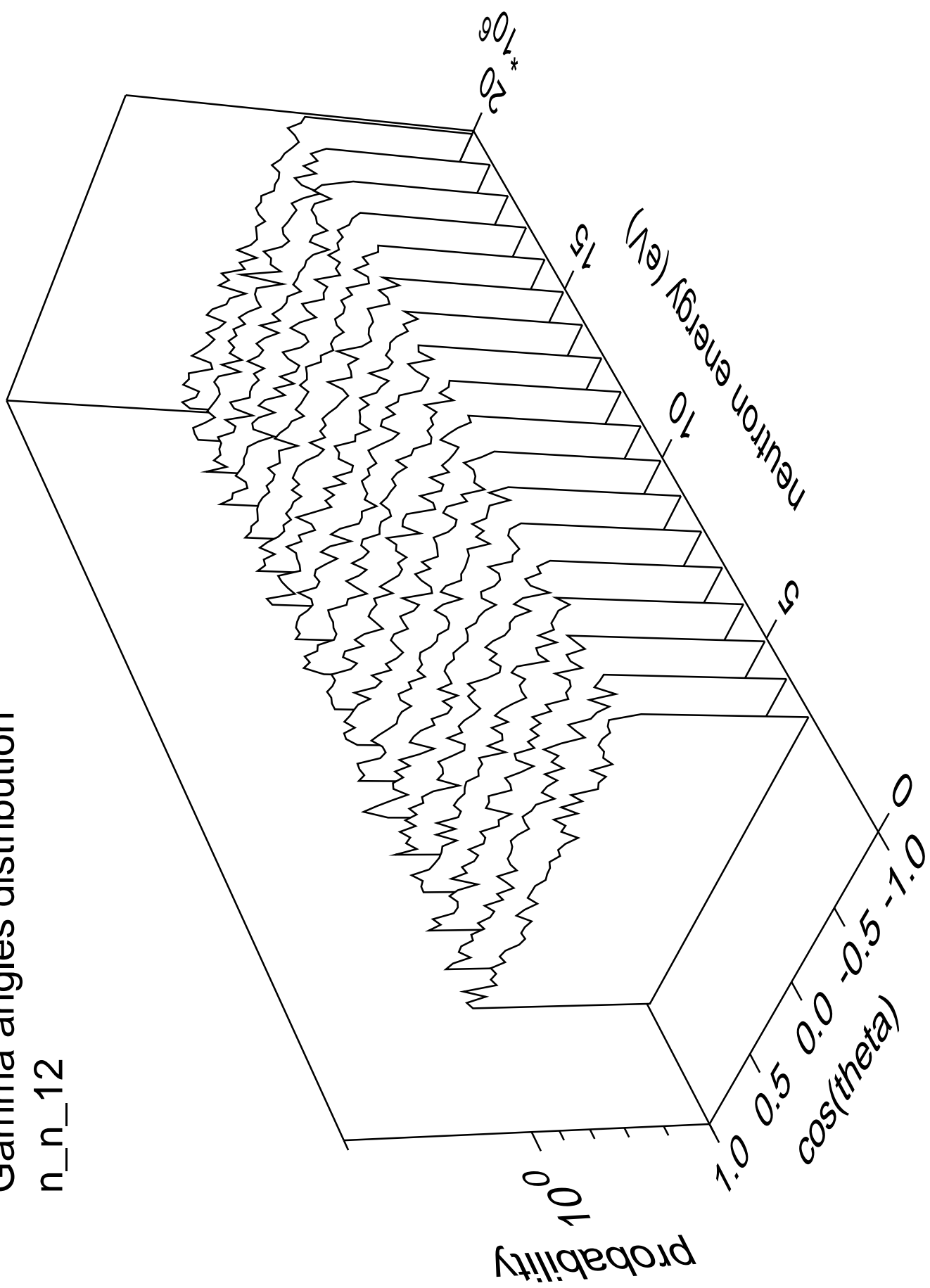


Gamma energy distribution

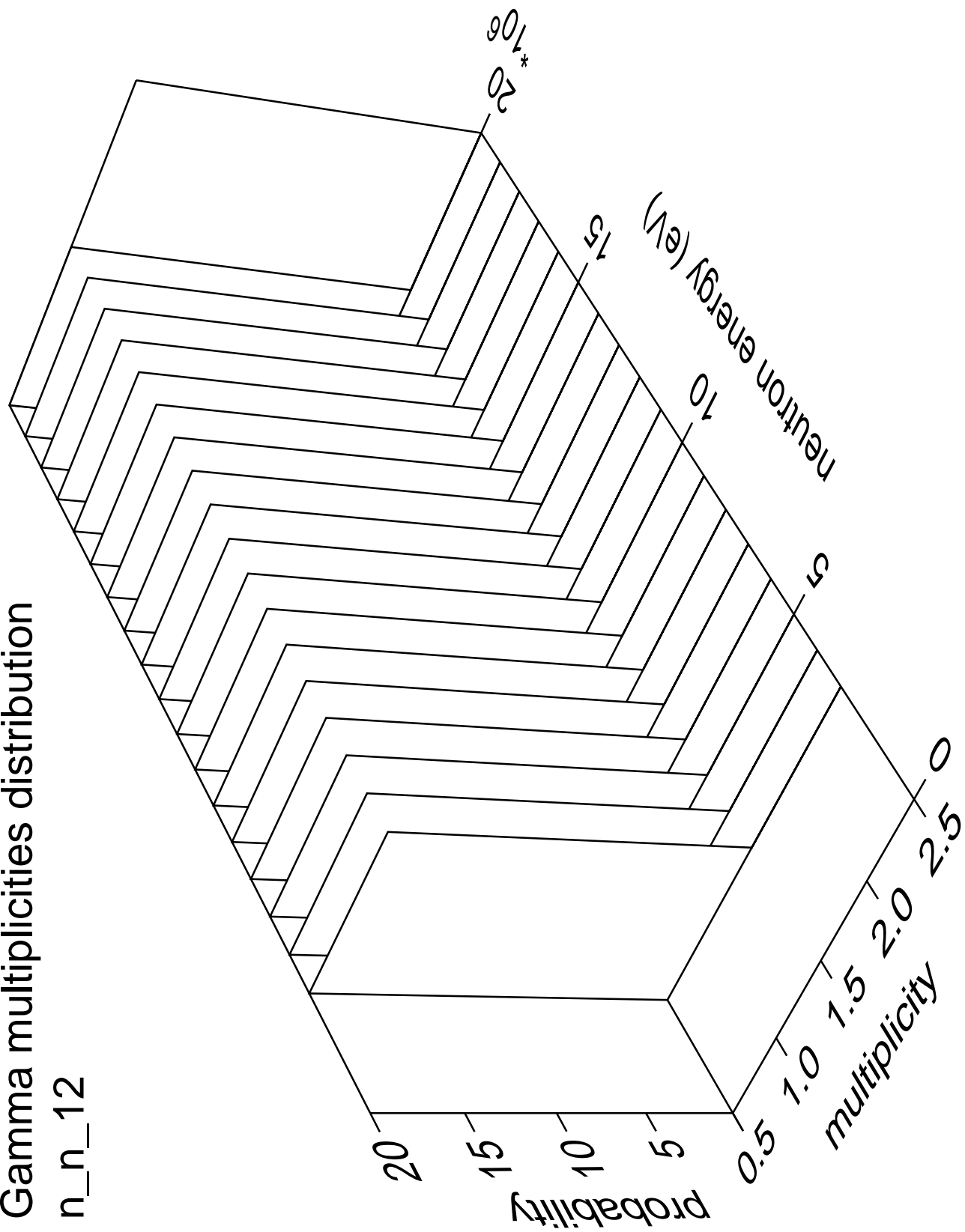


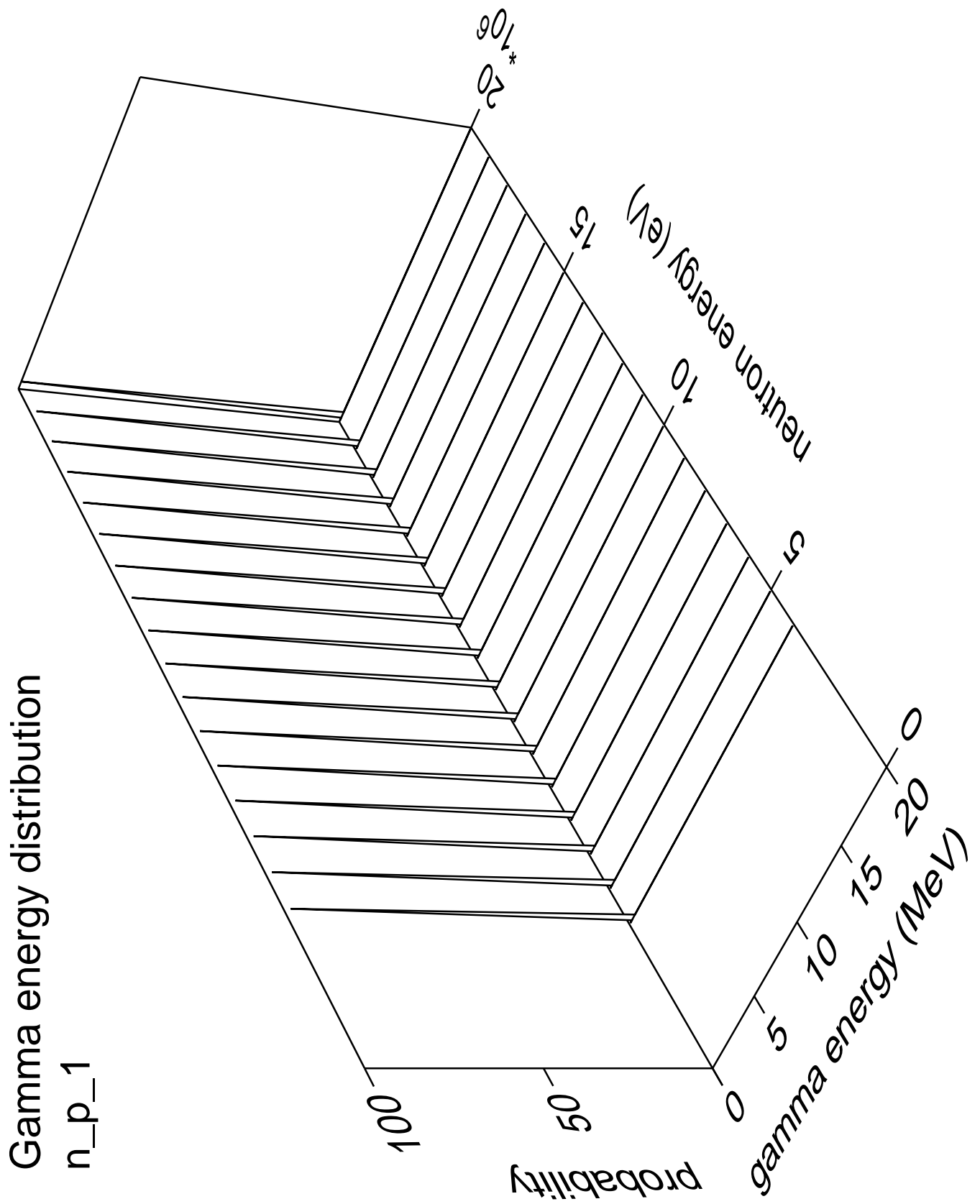
Gamma angles distribution

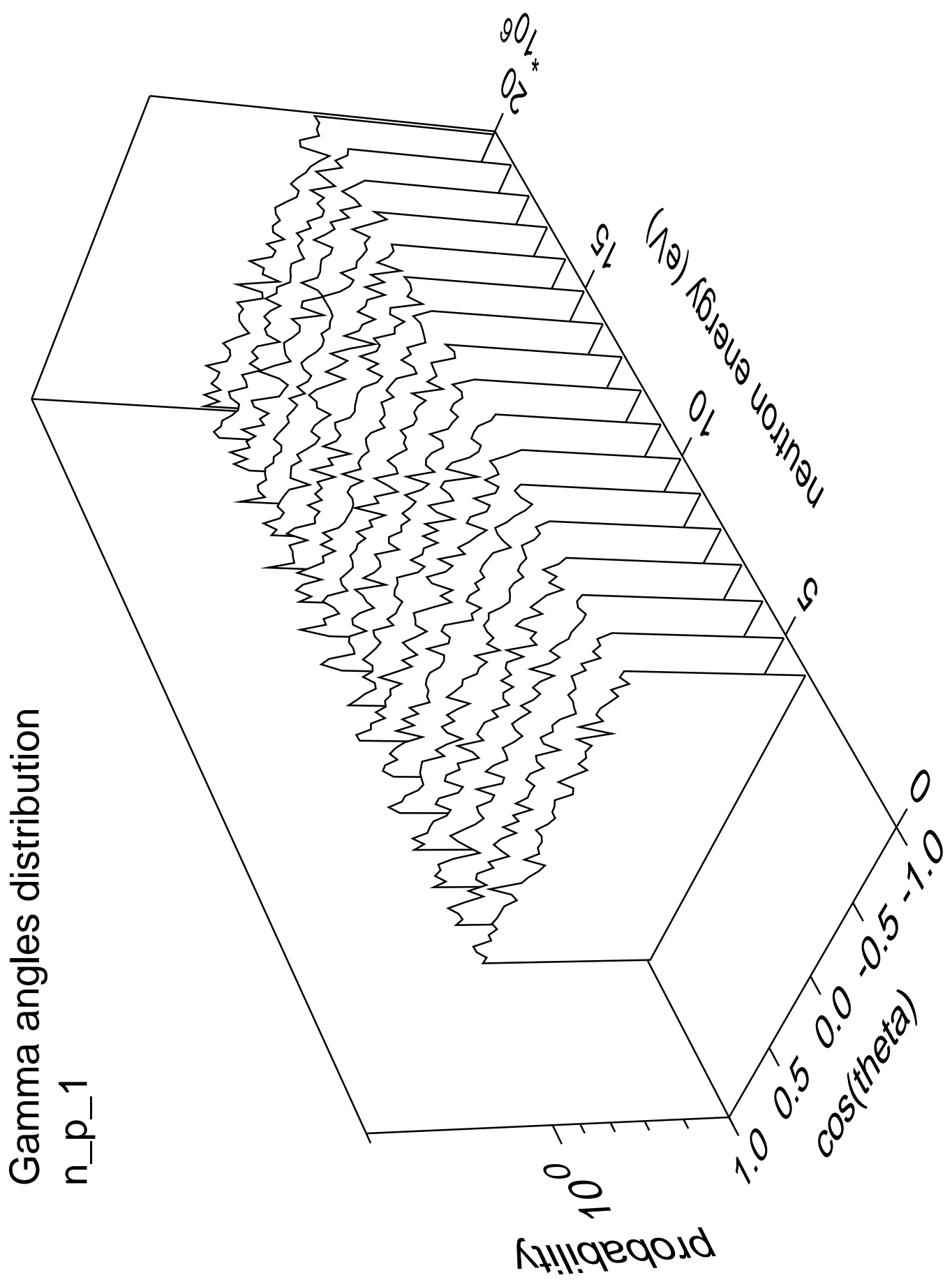
n_{n_12}

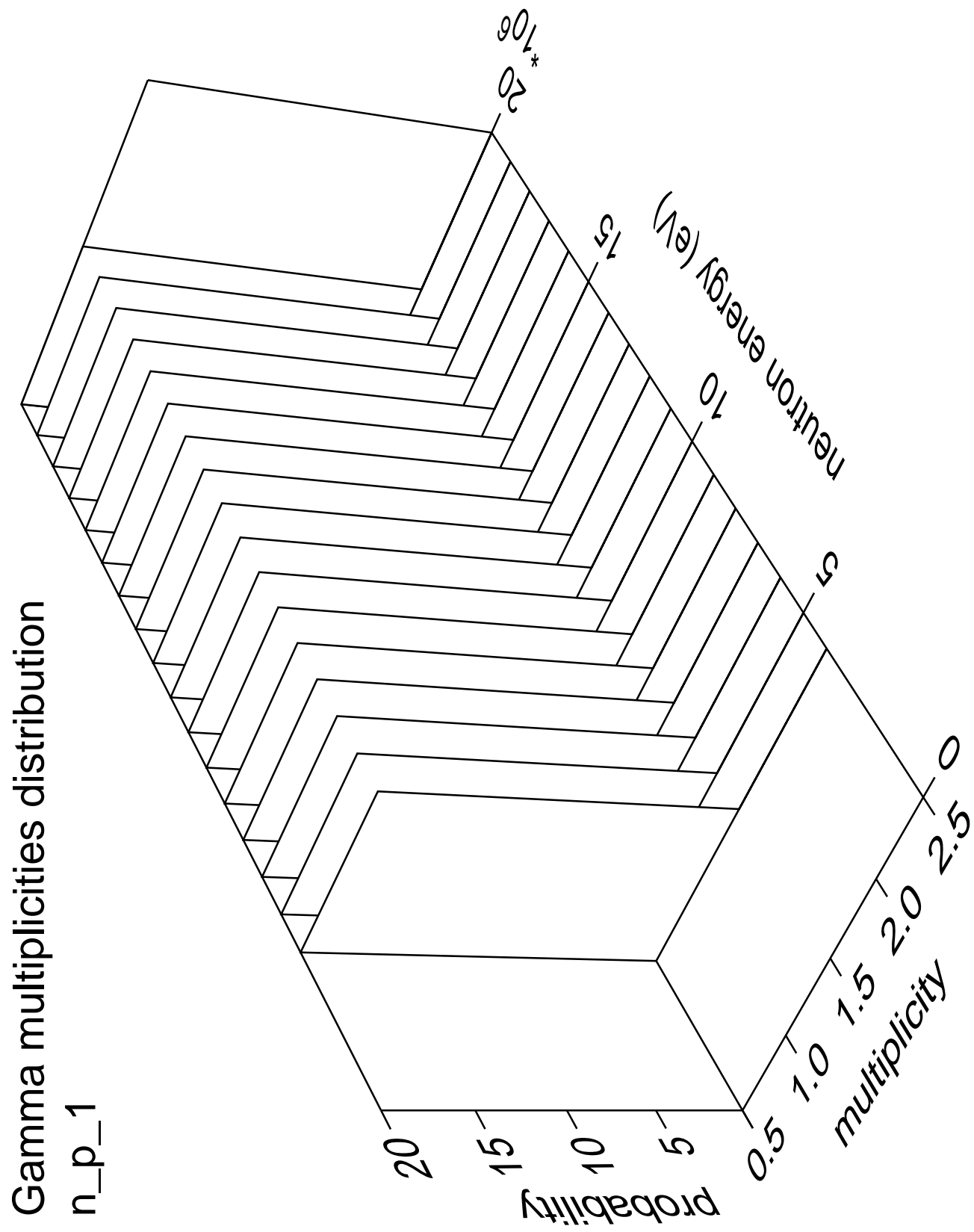


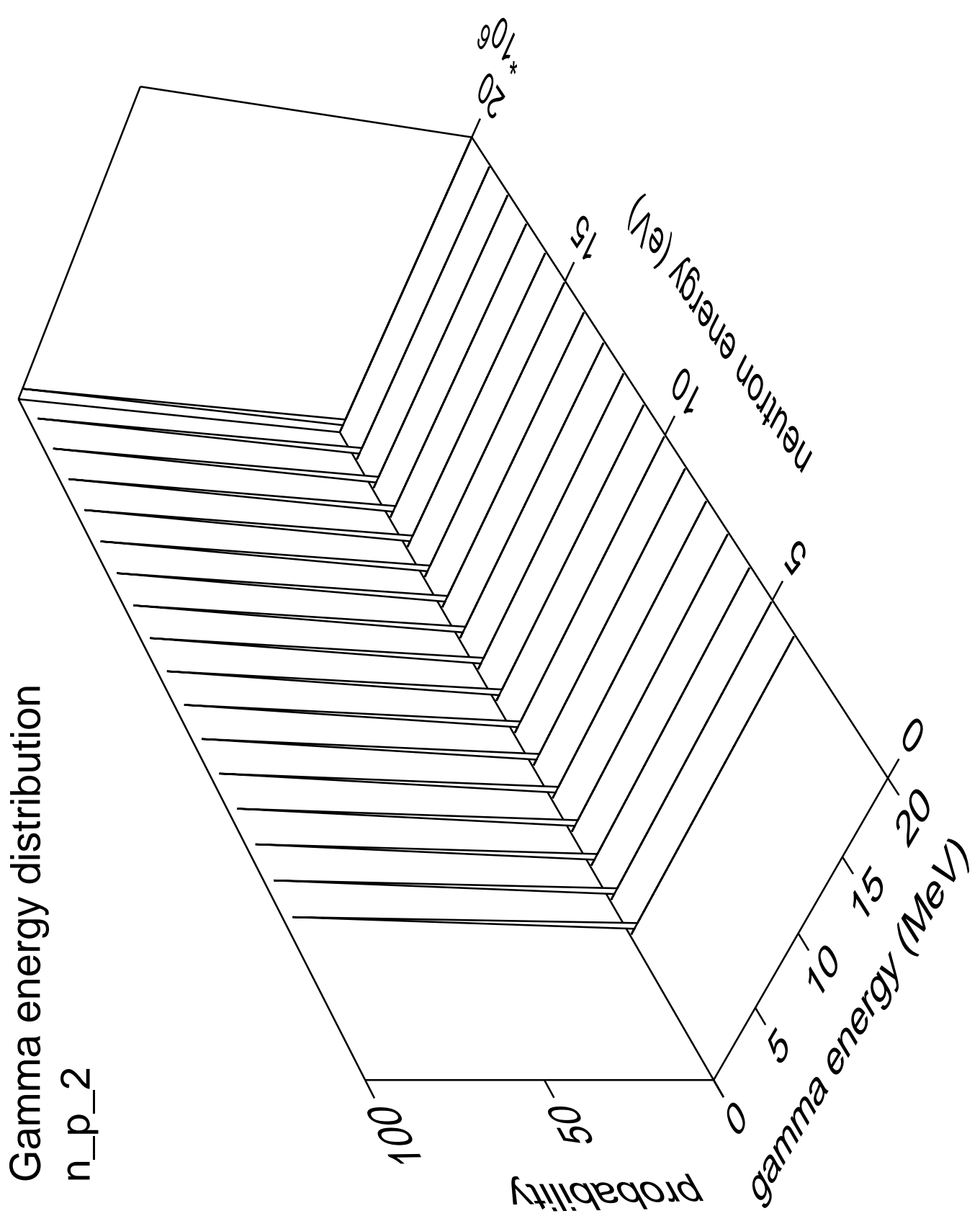
Gamma multiplicities distribution











Gamma angles distribution

n_{p_2}

Probability

10^0

10^{-1}

10^{-2}

10^{-3}

10^{-4}

10^{-5}

10^{-6}

10^{-7}

10^{-8}

10^{-9}

10^{-10}

10^{-11}

10^{-12}

10^{-13}

10^{-14}

10^{-15}

10^{-16}

10^{-17}

10^{-18}

10^{-19}

10^{-20}

10^{-21}

10^{-22}

10^{-23}

10^{-24}

10^{-25}

10^{-26}

10^{-27}

10^{-28}

10^{-29}

10^{-30}

10^{-31}

10^{-32}

10^{-33}

10^{-34}

10^{-35}

10^{-36}

10^{-37}

10^{-38}

10^{-39}

10^{-40}

10^{-41}

10^{-42}

10^{-43}

10^{-44}

10^{-45}

10^{-46}

10^{-47}

10^{-48}

10^{-49}

10^{-50}

10^{-51}

10^{-52}

10^{-53}

10^{-54}

10^{-55}

10^{-56}

10^{-57}

10^{-58}

10^{-59}

10^{-60}

10^{-61}

10^{-62}

10^{-63}

10^{-64}

10^{-65}

10^{-66}

10^{-67}

10^{-68}

10^{-69}

10^{-70}

10^{-71}

10^{-72}

10^{-73}

10^{-74}

10^{-75}

10^{-76}

10^{-77}

10^{-78}

10^{-79}

10^{-80}

10^{-81}

10^{-82}

10^{-83}

10^{-84}

10^{-85}

10^{-86}

10^{-87}

10^{-88}

10^{-89}

10^{-90}

10^{-91}

10^{-92}

10^{-93}

10^{-94}

10^{-95}

10^{-96}

10^{-97}

10^{-98}

10^{-99}

10^{-100}

10^{-101}

10^{-102}

10^{-103}

10^{-104}

10^{-105}

10^{-106}

10^{-107}

10^{-108}

10^{-109}

10^{-110}

10^{-111}

10^{-112}

10^{-113}

10^{-114}

10^{-115}

10^{-116}

10^{-117}

10^{-118}

10^{-119}

10^{-120}

10^{-121}

10^{-122}

10^{-123}

10^{-124}

10^{-125}

10^{-126}

10^{-127}

10^{-128}

10^{-129}

10^{-130}

10^{-131}

10^{-132}

10^{-133}

10^{-134}

10^{-135}

10^{-136}

10^{-137}

10^{-138}

10^{-139}

10^{-140}

10^{-141}

10^{-142}

10^{-143}

10^{-144}

10^{-145}

10^{-146}

10^{-147}

10^{-148}

10^{-149}

10^{-150}

10^{-151}

10^{-152}

10^{-153}

10^{-154}

10^{-155}

10^{-156}

10^{-157}

10^{-158}

10^{-159}

10^{-160}

10^{-161}

10^{-162}

10^{-163}

10^{-164}

10^{-165}

10^{-166}

10^{-167}

10^{-168}

10^{-169}

10^{-170}

10^{-171}

10^{-172}

10^{-173}

10^{-174}

10^{-175}

10^{-176}

10^{-177}

10^{-178}

10^{-179}

10^{-180}

10^{-181}

10^{-182}

10^{-183}

10^{-184}

10^{-185}

10^{-186}

10^{-187}

10^{-188}

10^{-189}

10^{-190}

10^{-191}

10^{-192}

10^{-193}

10^{-194}

10^{-195}

10^{-196}

10^{-197}

10^{-198}

10^{-199}

10^{-200}

10^{-201}

10^{-202}

10^{-203}

10^{-204}

10^{-205}

10^{-206}

10^{-207}

10^{-208}

10^{-209}

10^{-210}

10^{-211}

10^{-212}

10^{-213}

10^{-214}

10^{-215}

10^{-216}

10^{-217}

10^{-218}

10^{-219}

10^{-220}

10^{-221}

10^{-222}

10^{-223}

10^{-224}

10^{-225}

10^{-226}

10^{-227}

10^{-228}

10^{-229}

10^{-230}

10^{-231}

10^{-232}

10^{-233}

10^{-234}

10^{-235}

10^{-236}

10^{-237}

10^{-238}

10^{-239}

10^{-240}

10^{-241}

10^{-242}

10^{-243}

10^{-244}

10^{-245}

10^{-246}

10^{-247}

10^{-248}

10^{-249}

10^{-250}

10^{-251}

10^{-252}

10^{-253}

10^{-254}

10^{-255}

10^{-256}

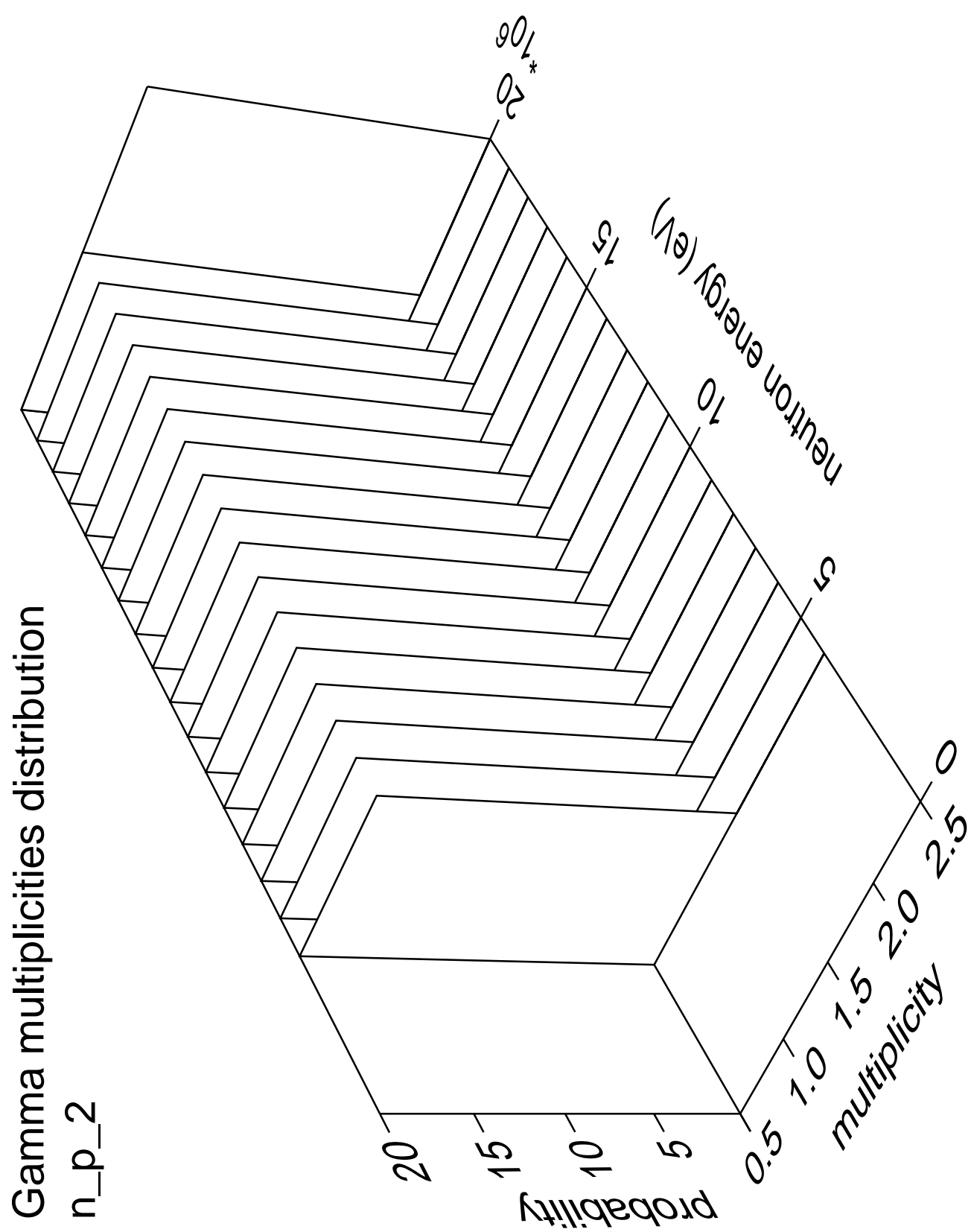
10^{-257}

10^{-258}

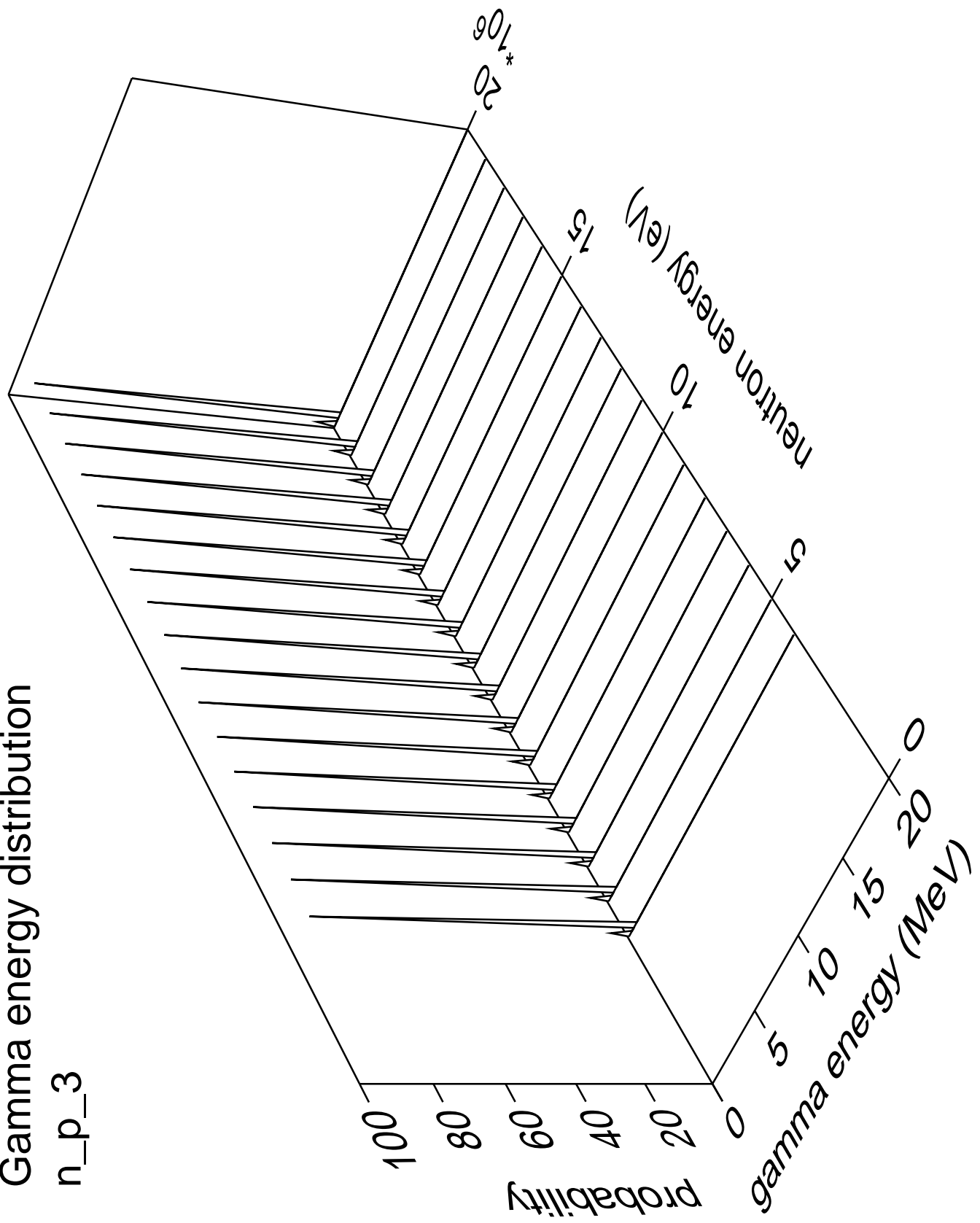
10^{-259}

10^{-260}

</div

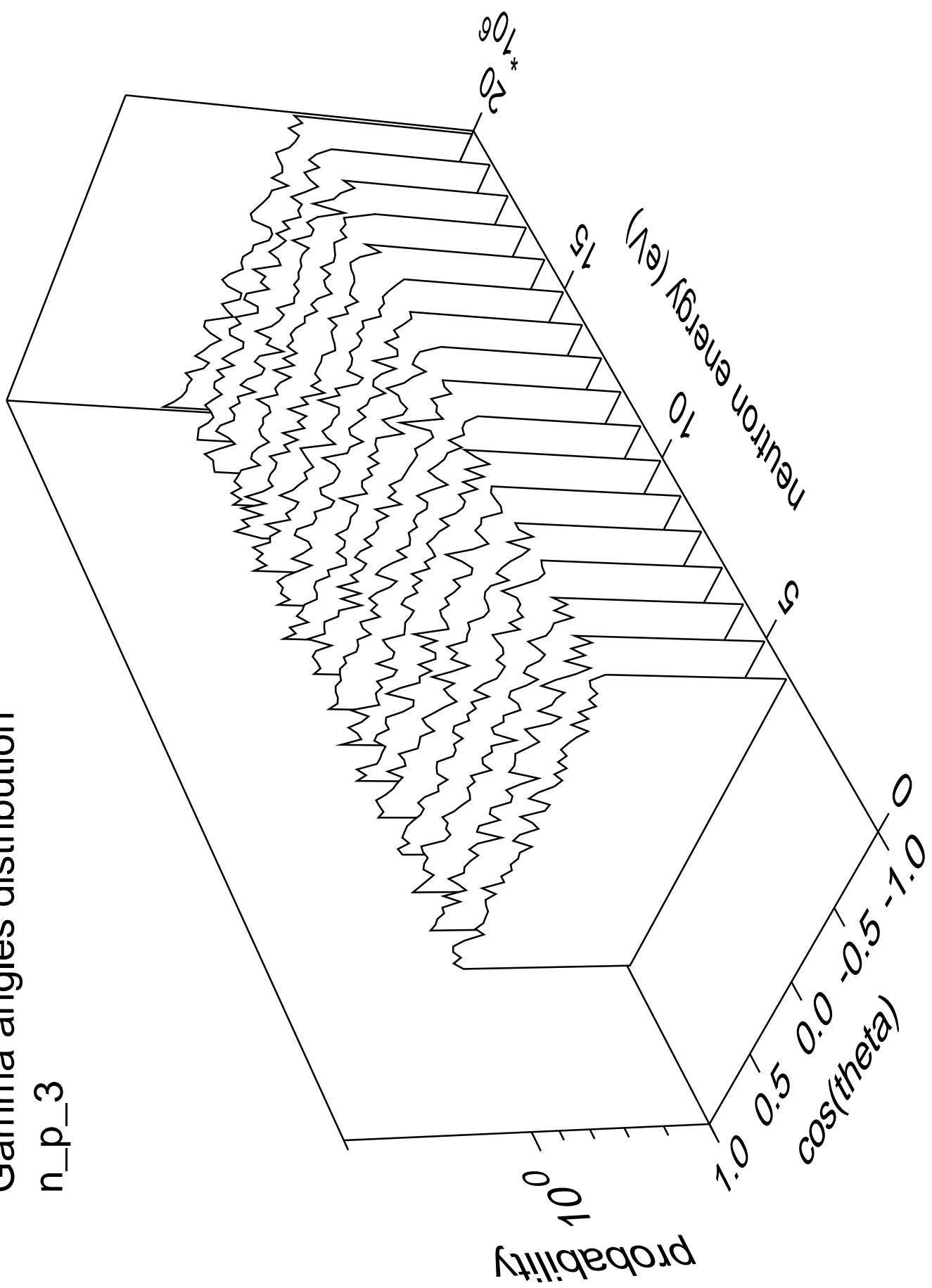


n_p_3

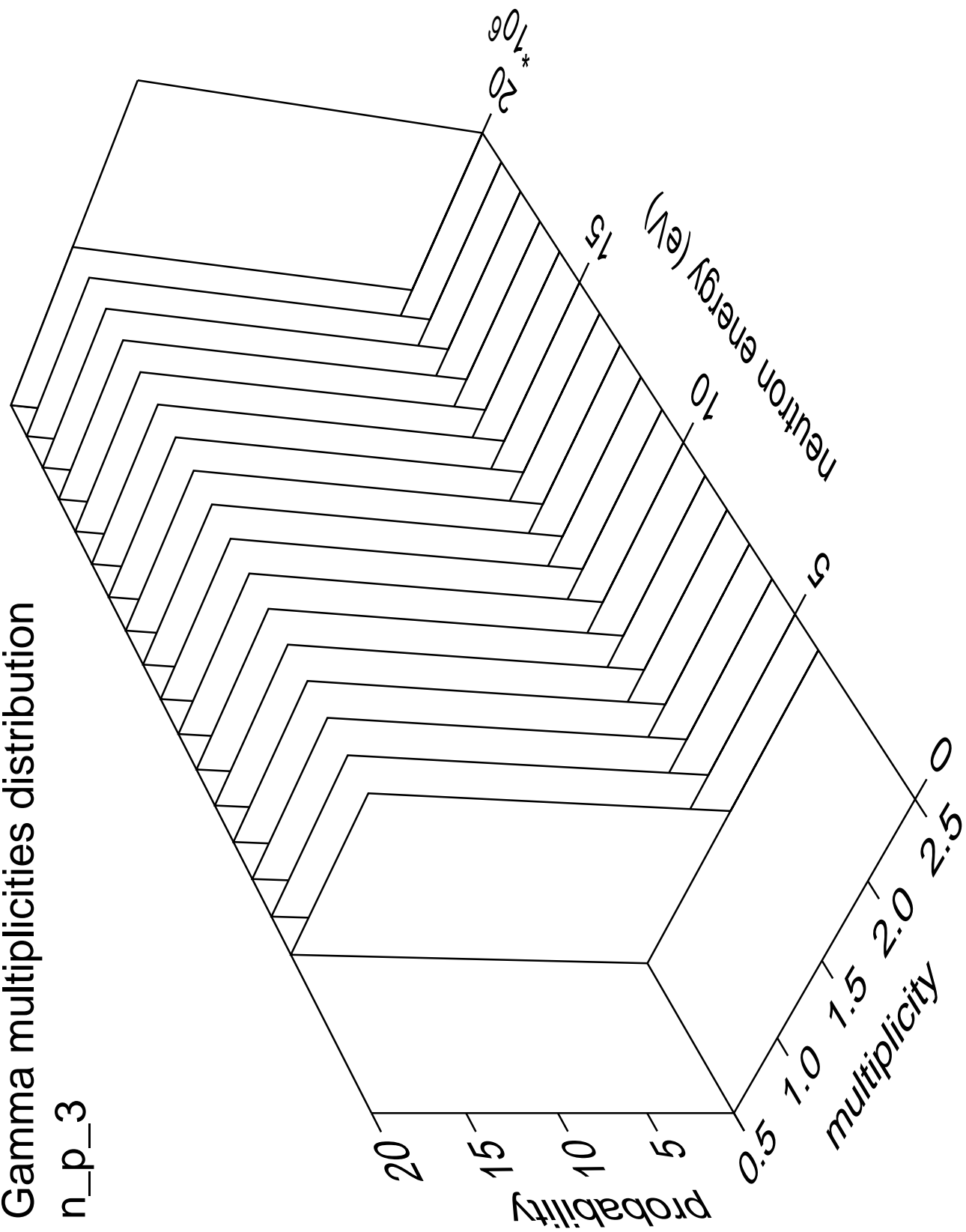


Gamma angles distribution

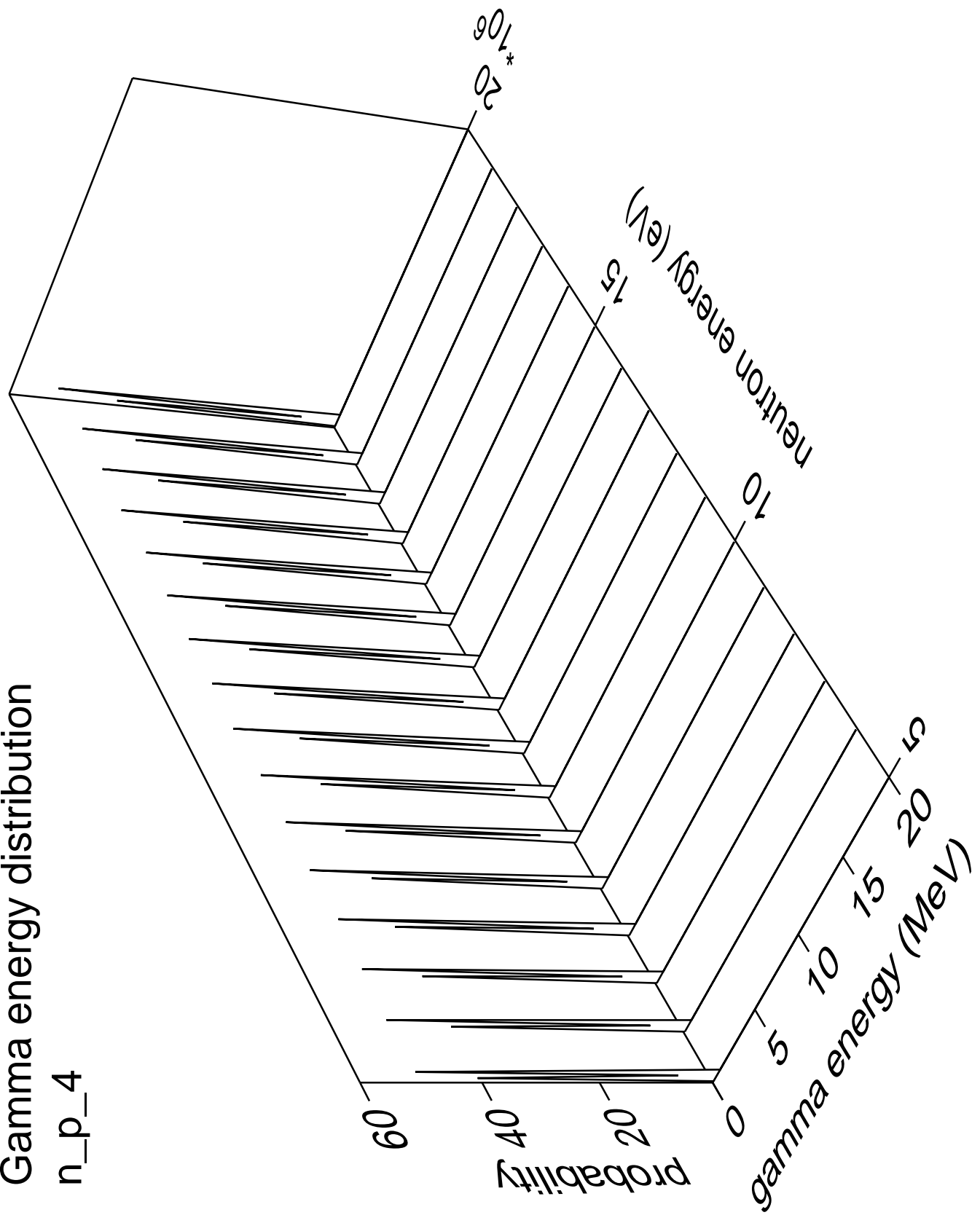
n_{p_3}



Gamma multiplicities distribution

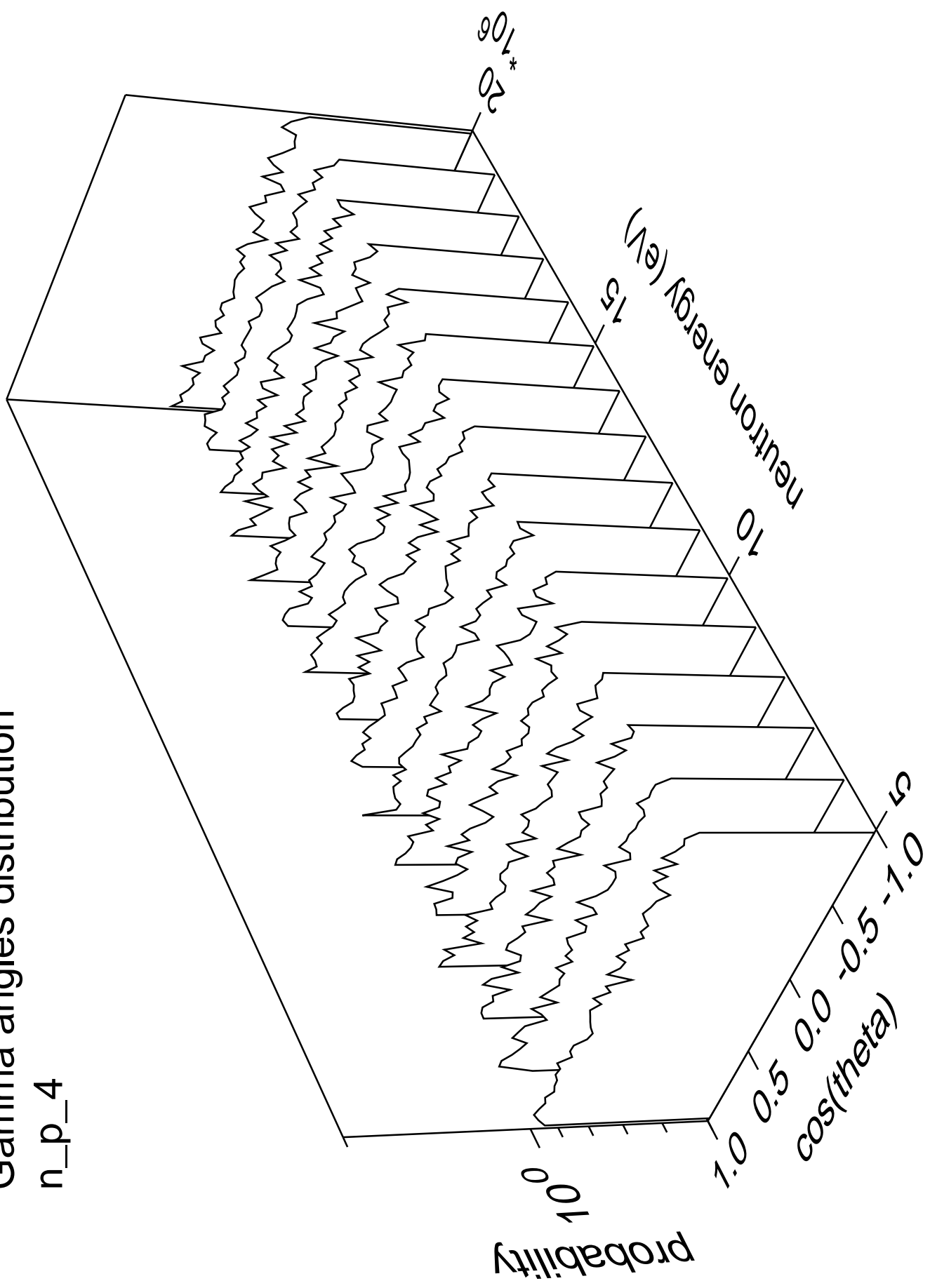


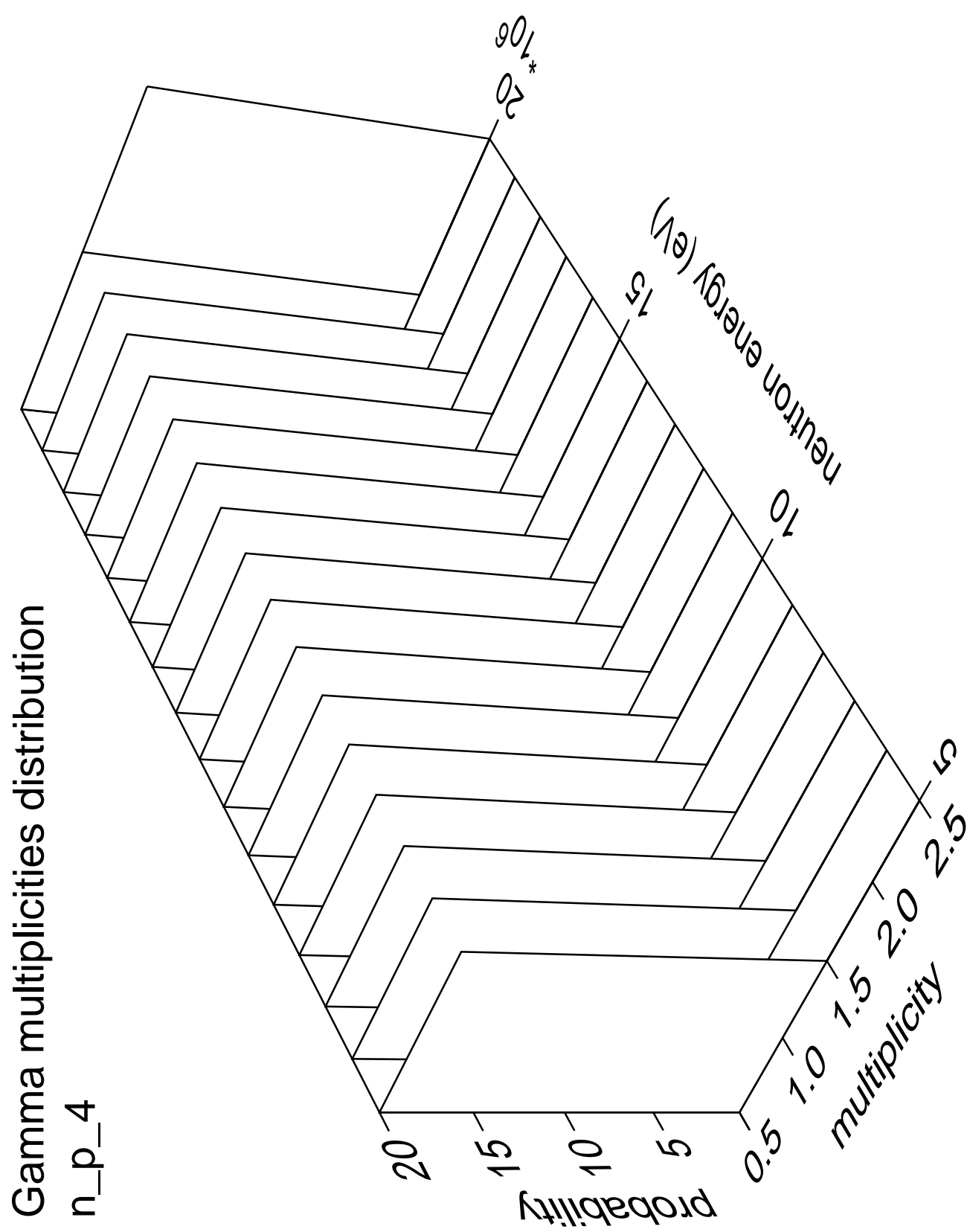
Gamma energy distribution

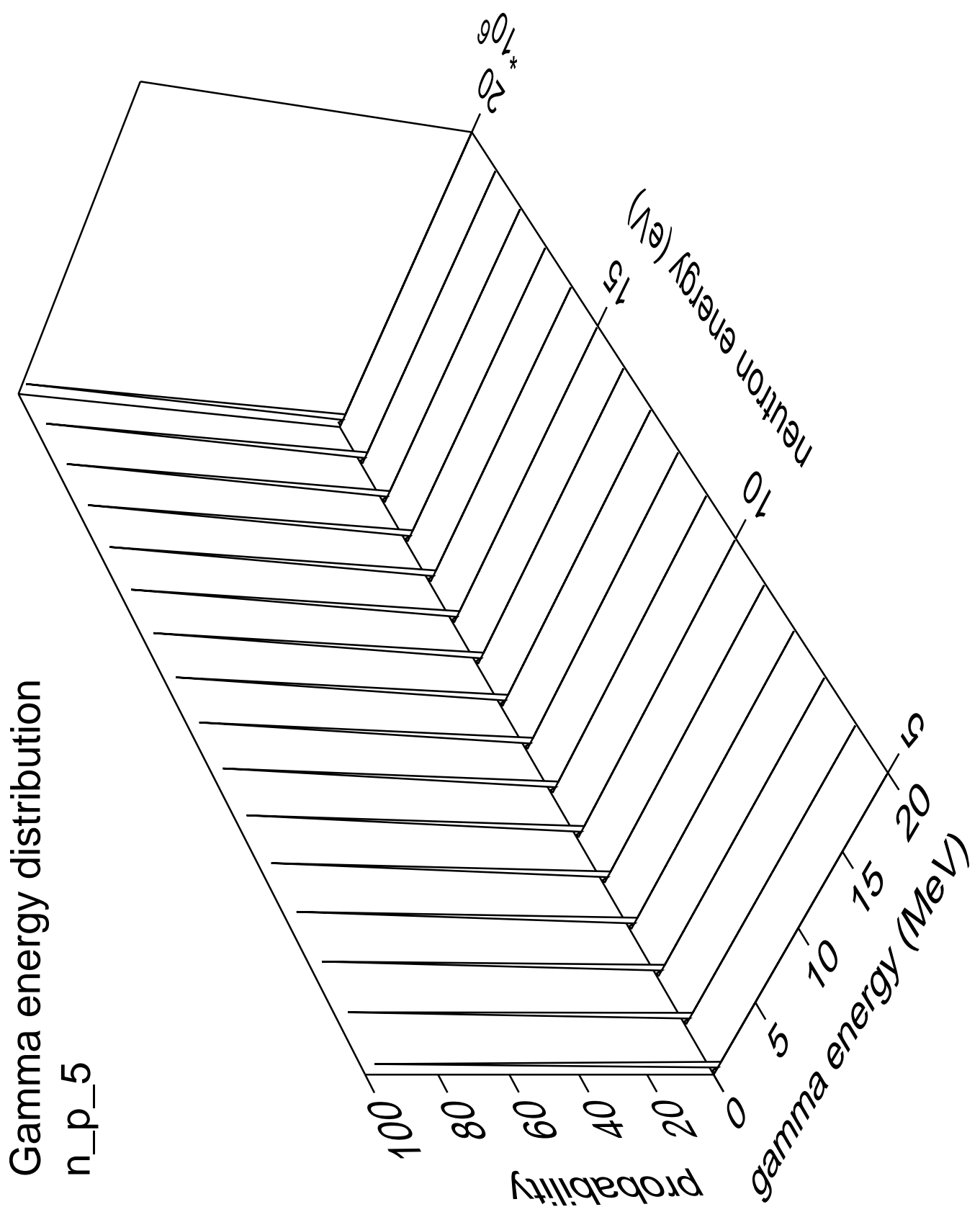


Gamma angles distribution

n_p_4

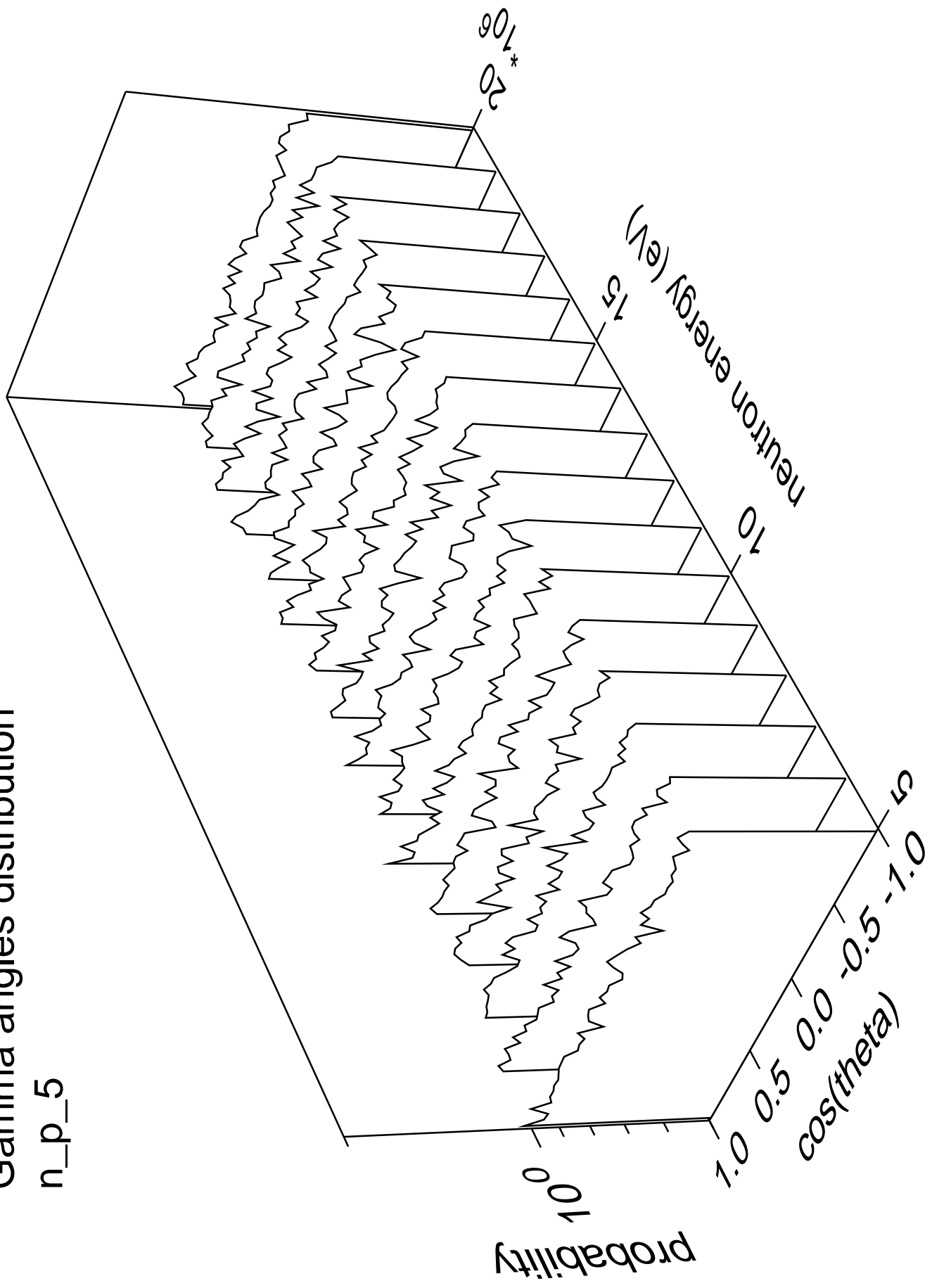


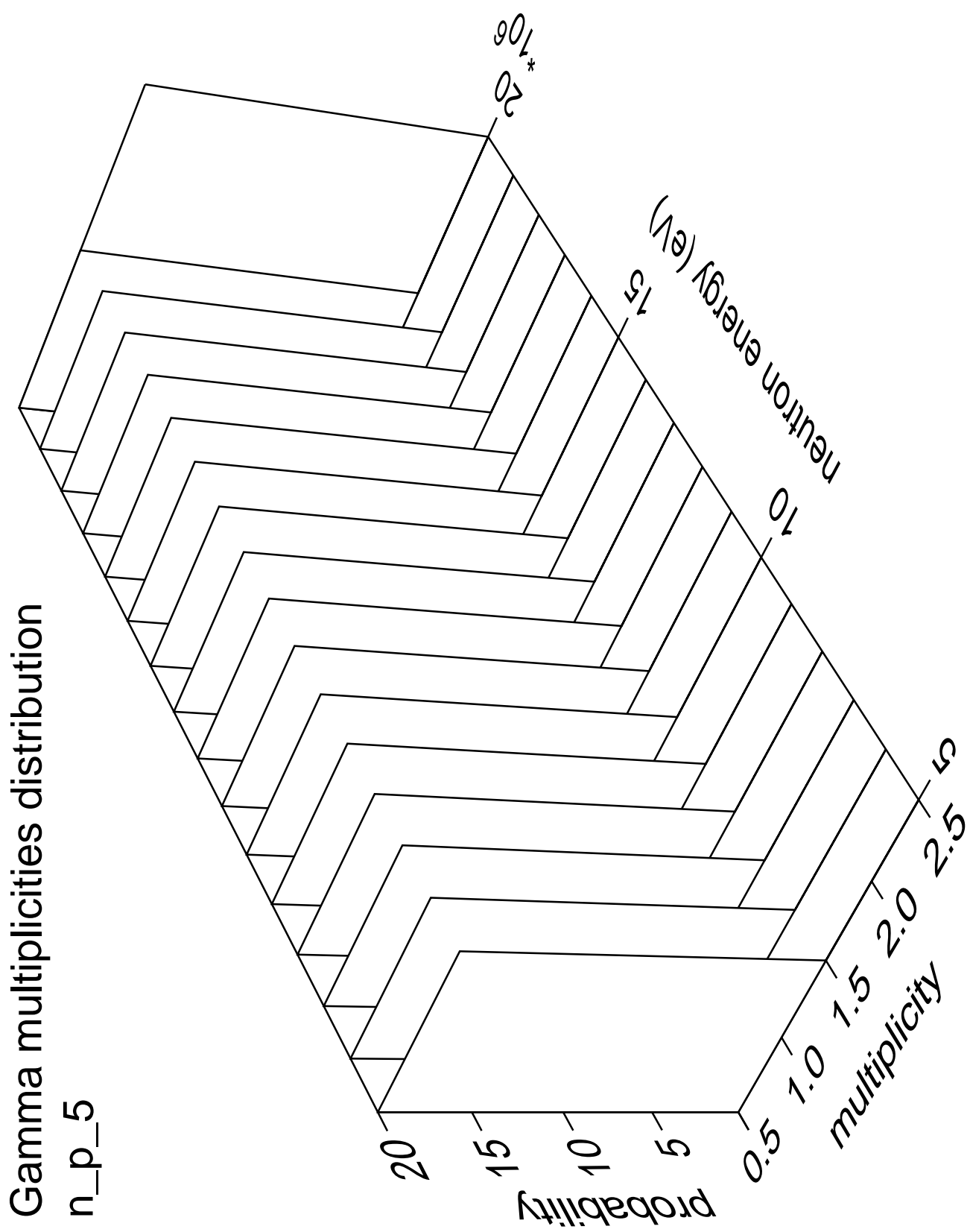




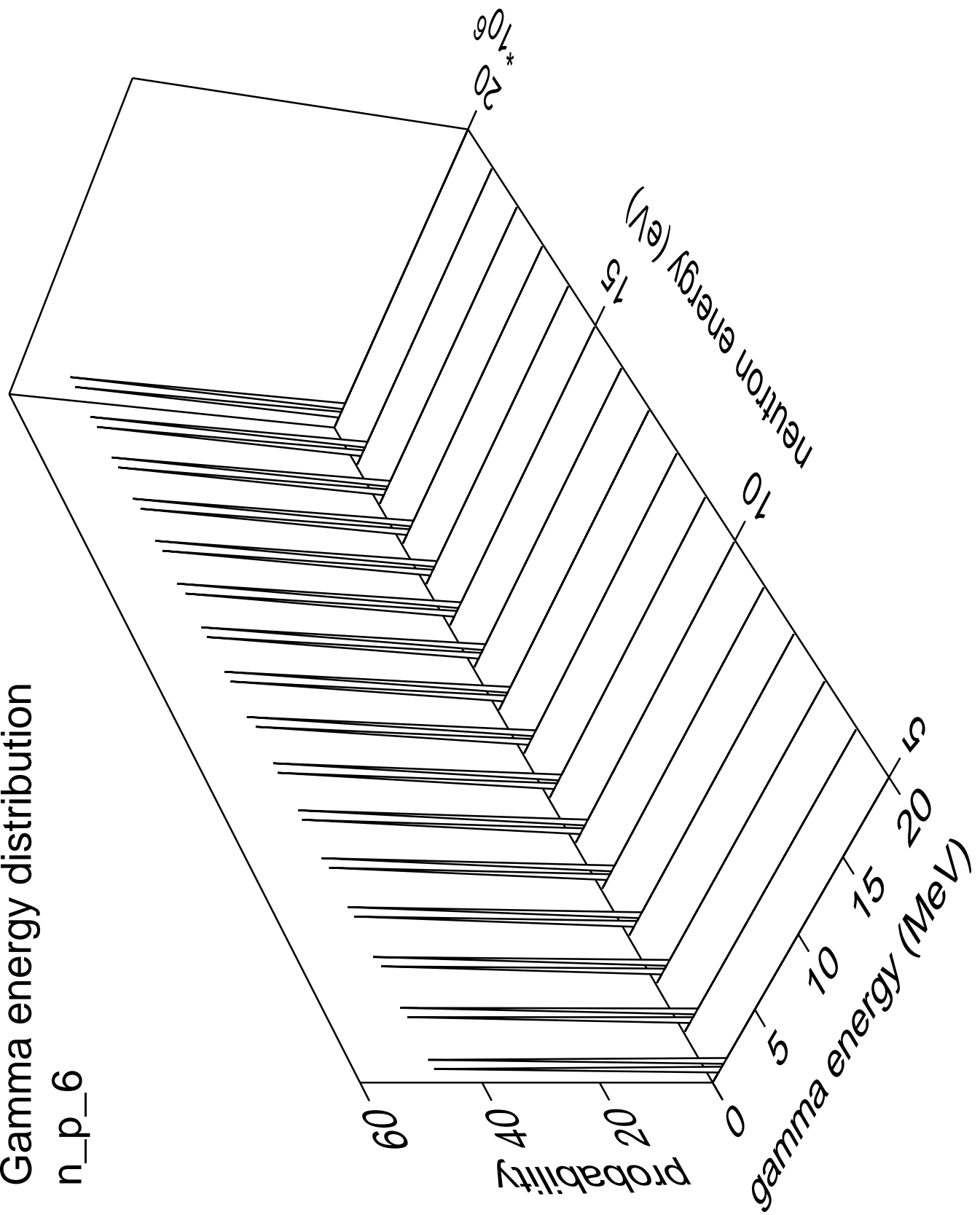
Gamma angles distribution

n_p_5



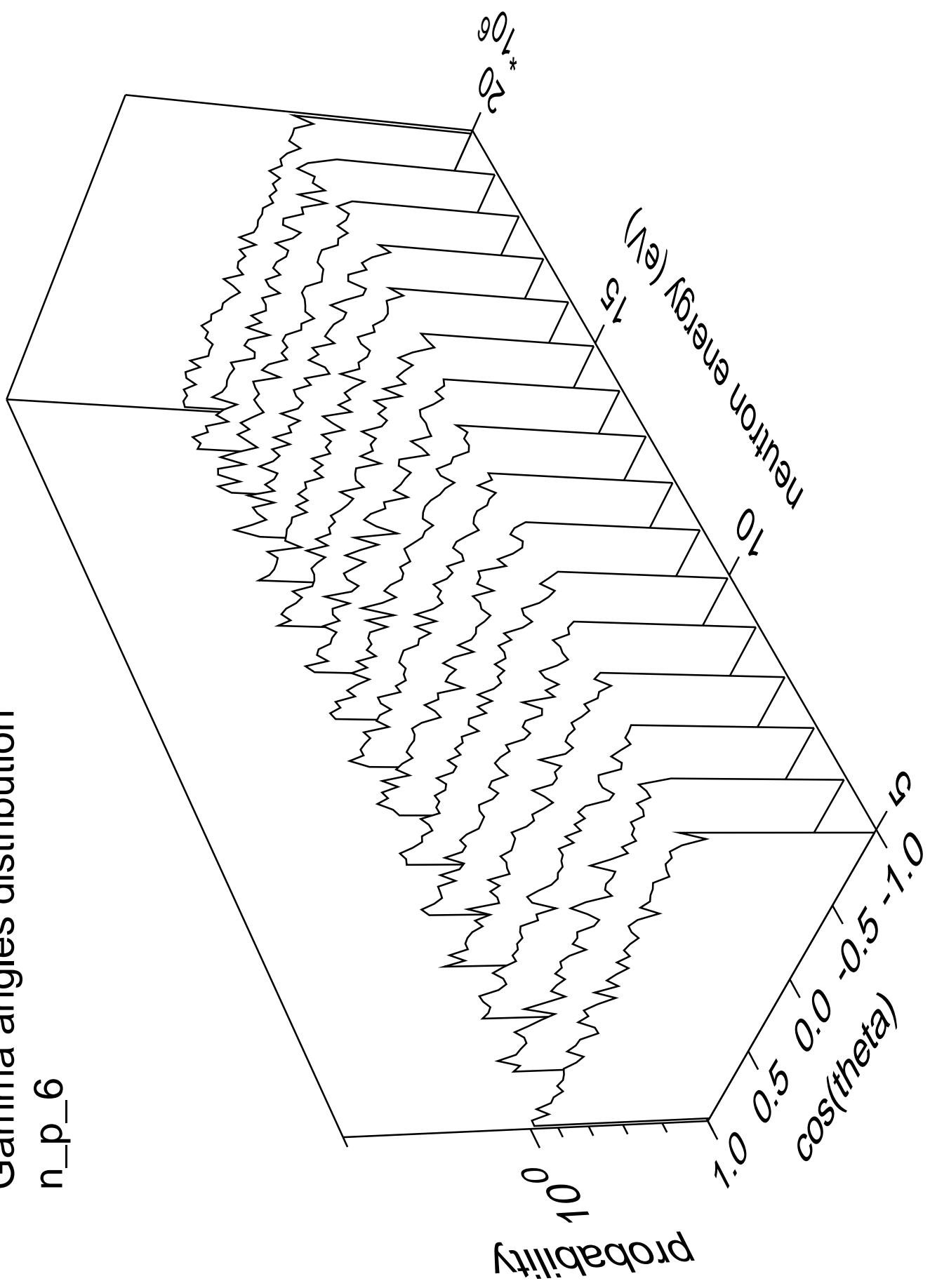


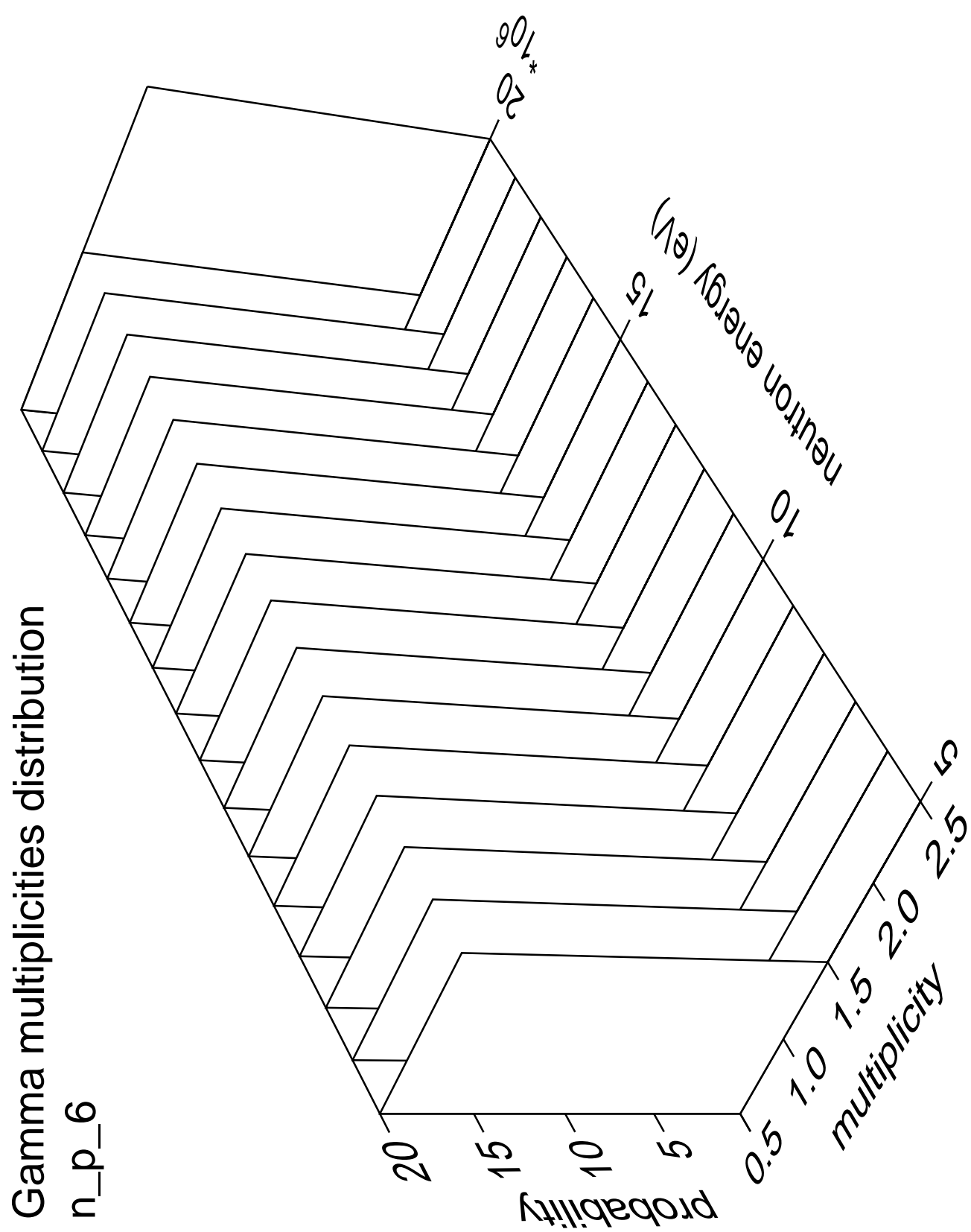
Gamma energy distribution

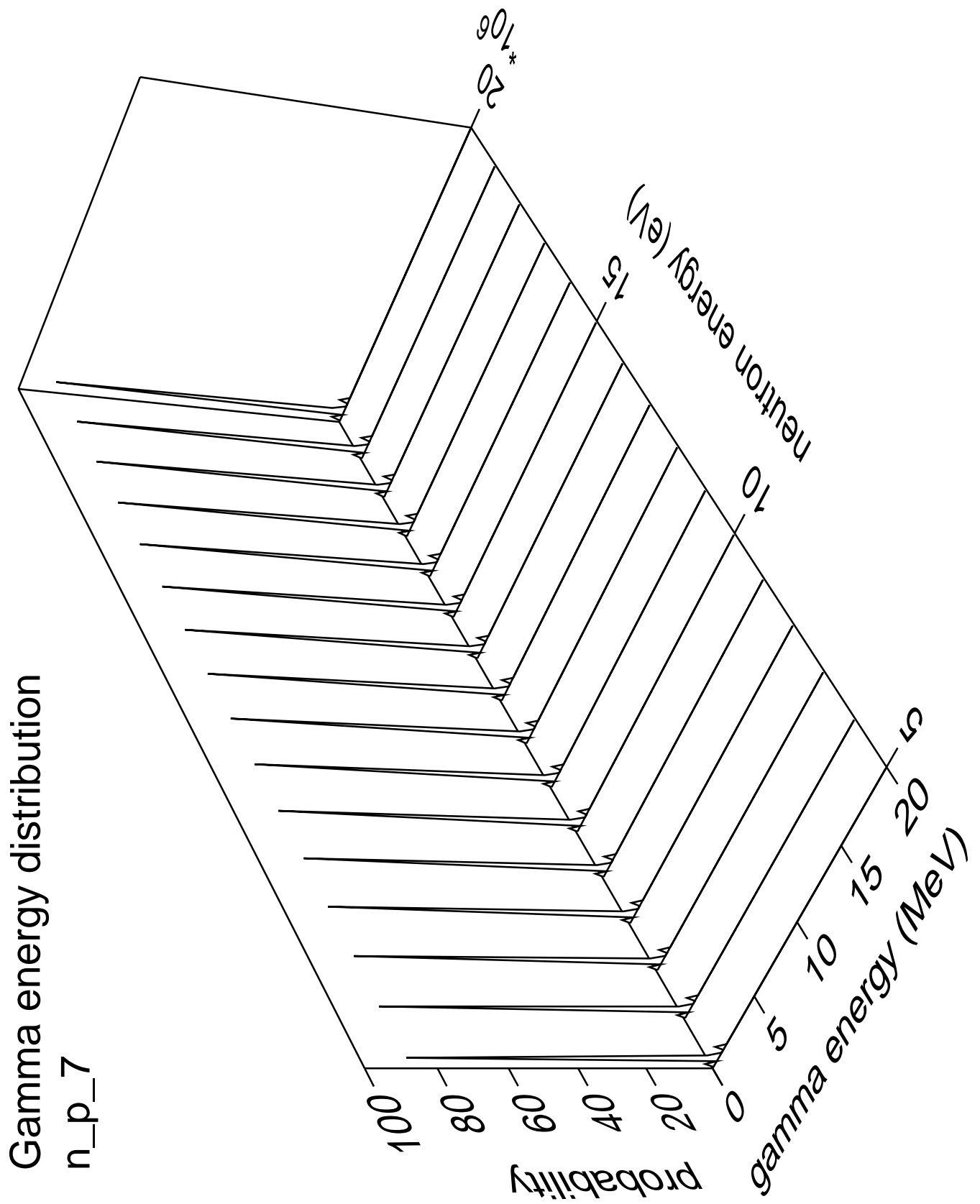


Gamma angles distribution

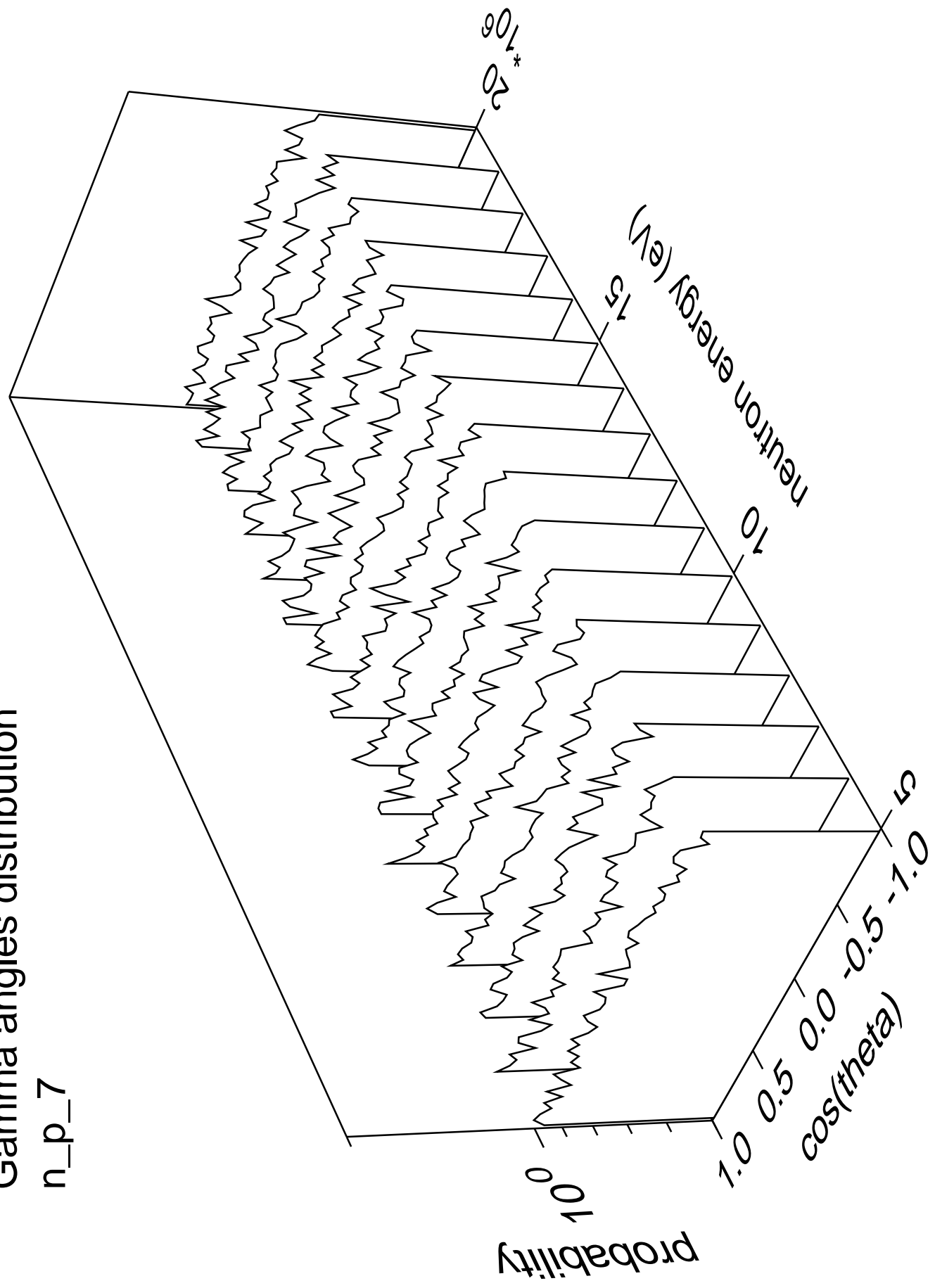
n_p_6

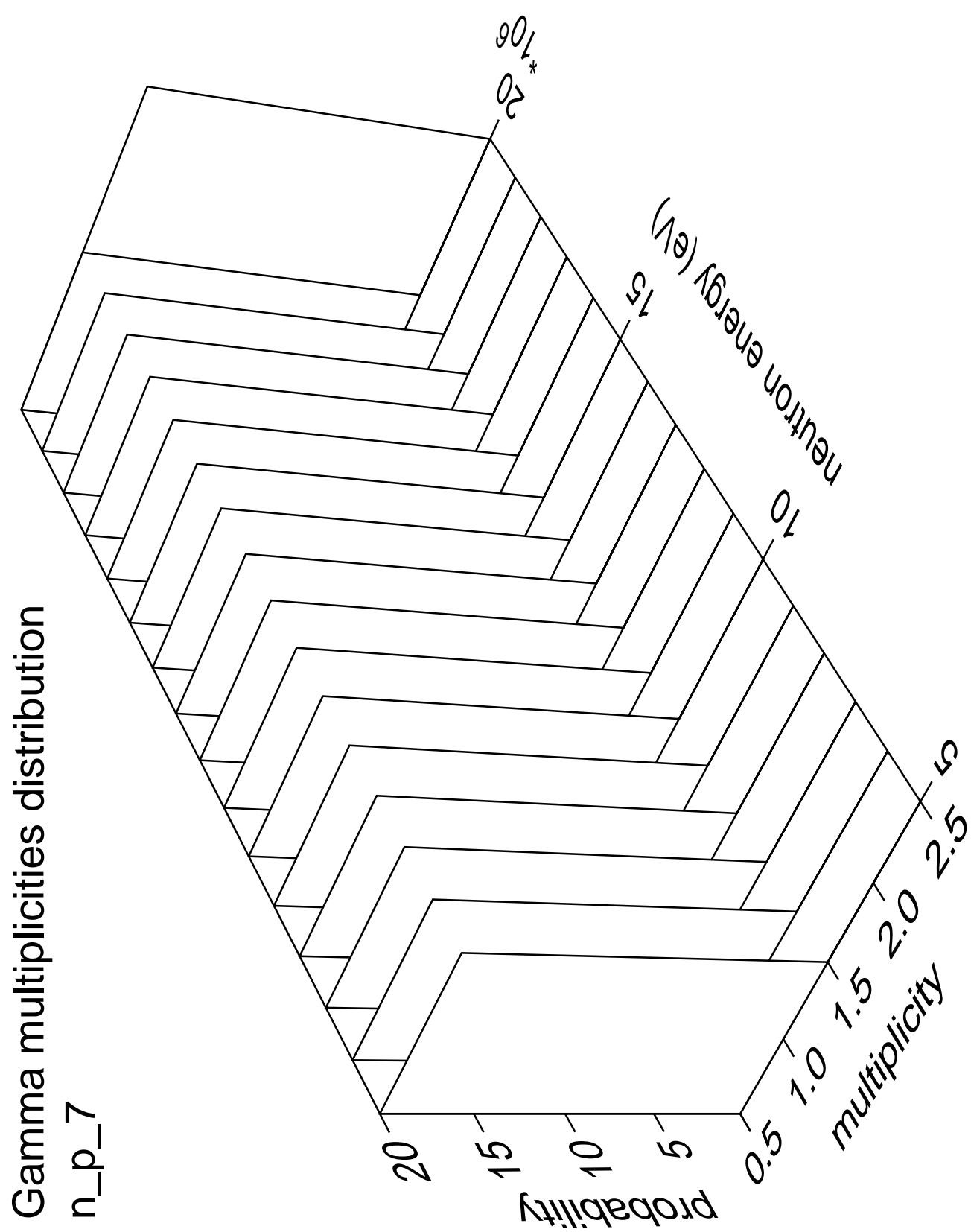


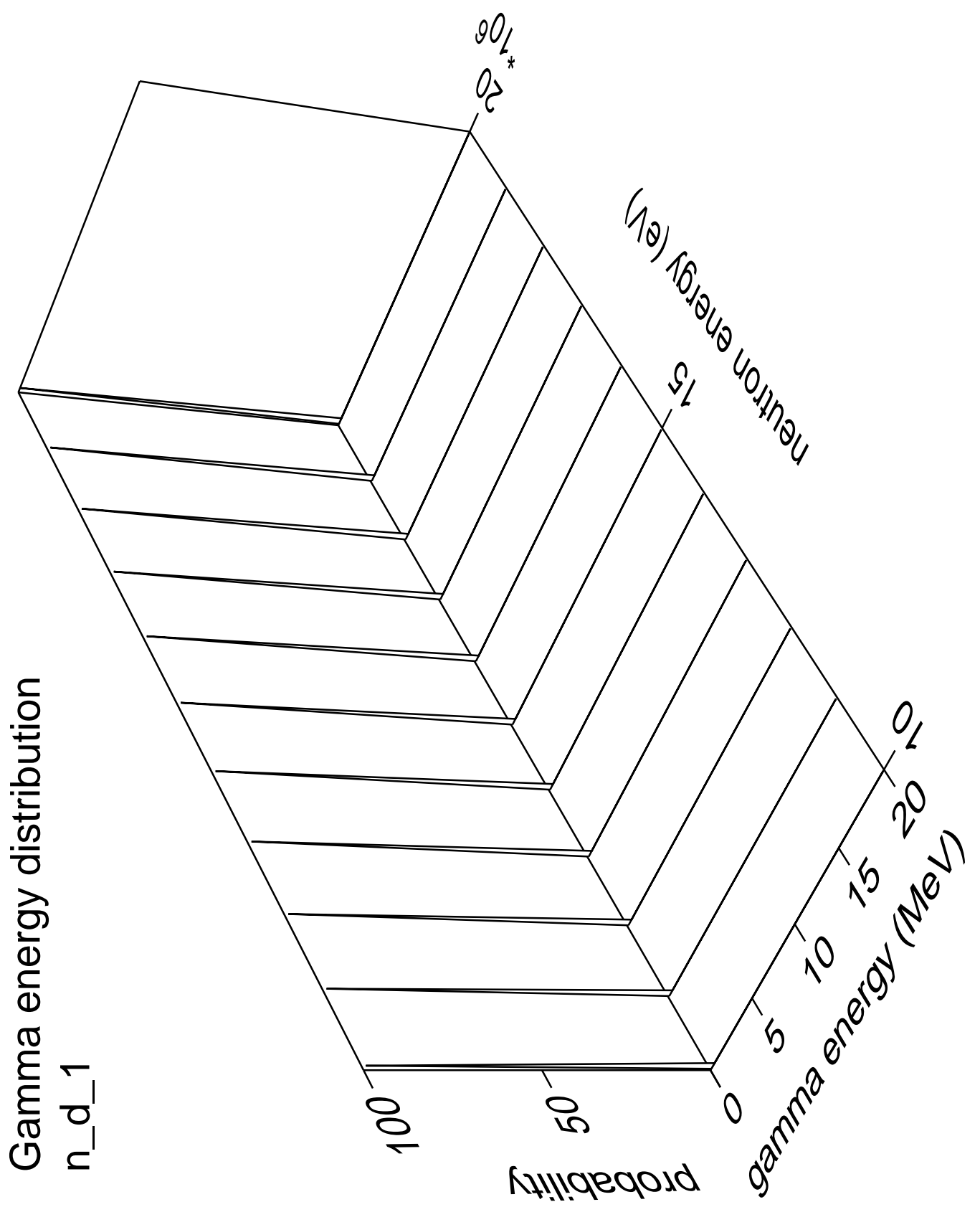




Gamma angles distribution n_p_7

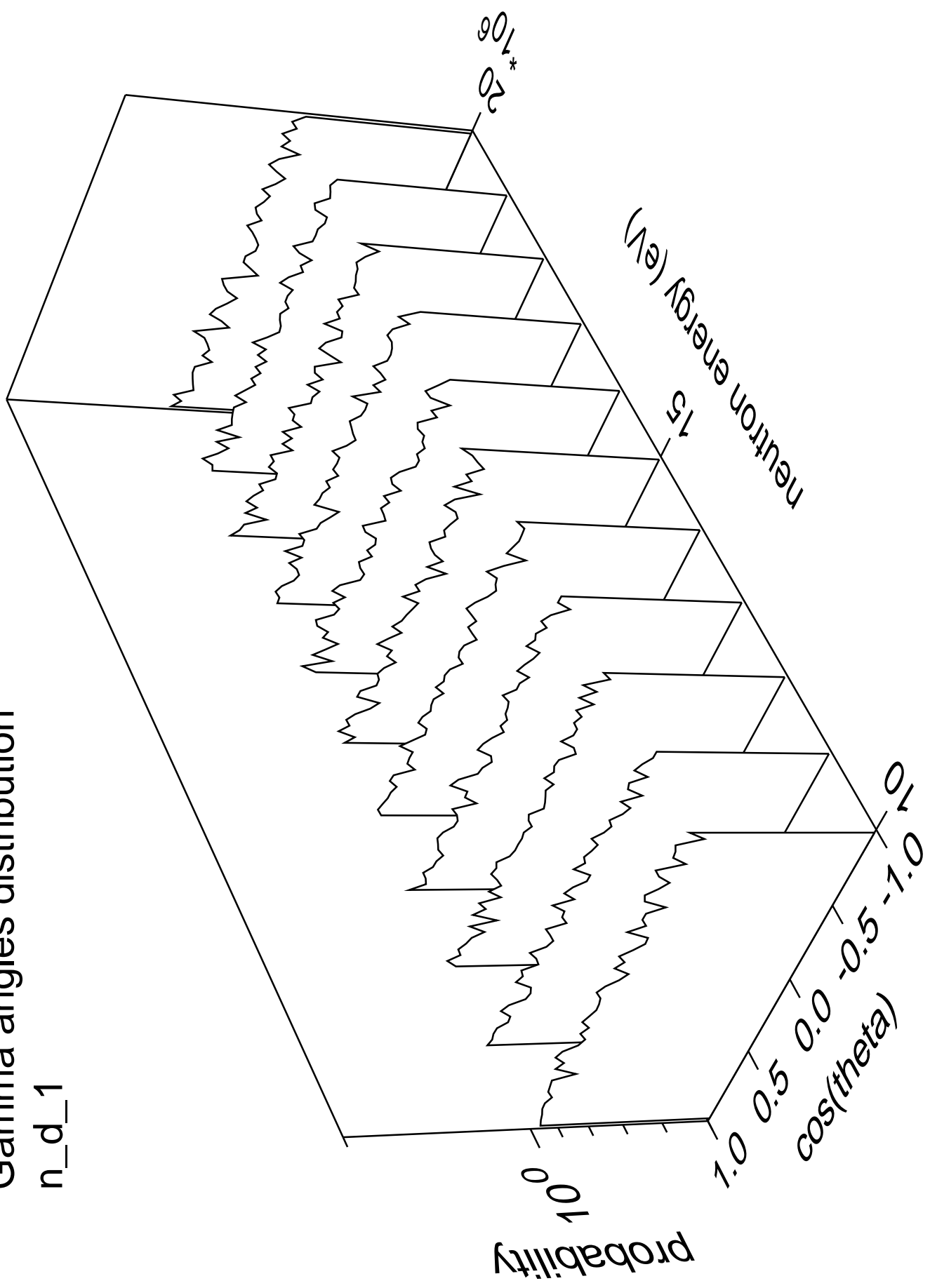


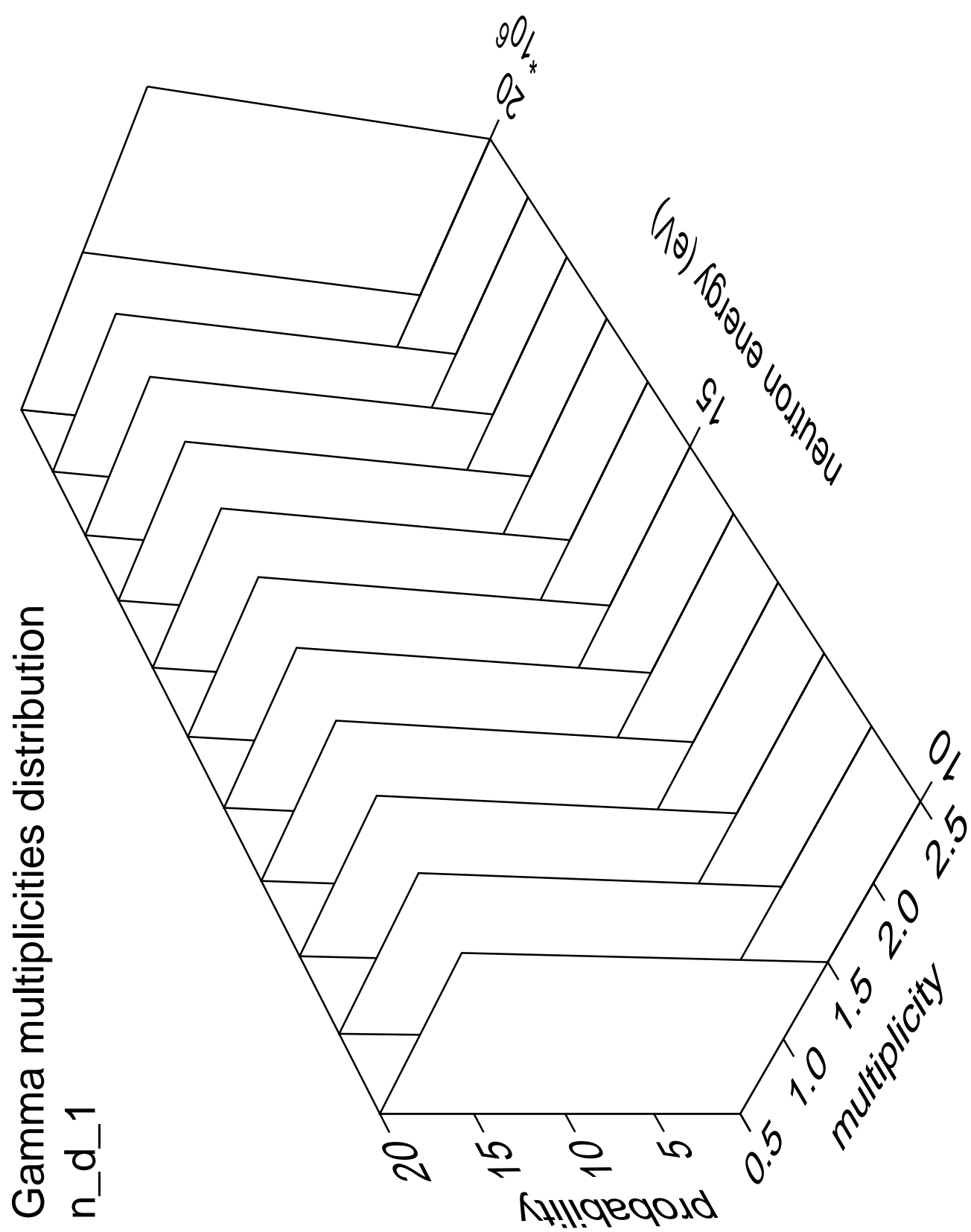


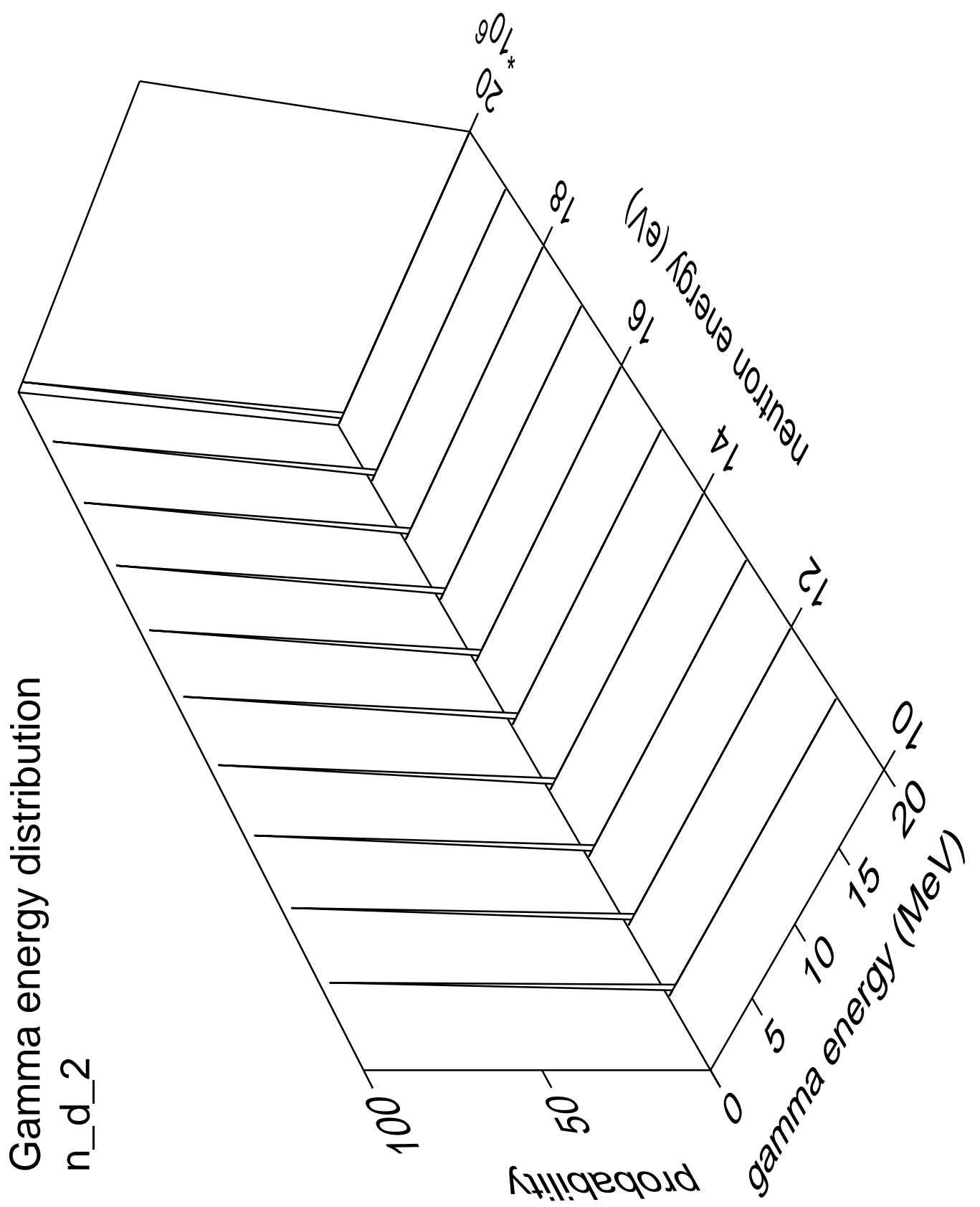


Gamma angles distribution

n_d_1







Gamma angles distribution

n_d_2

Probability

10^0

$\cos(\theta)$

1.0

0.5

0.0

-0.5

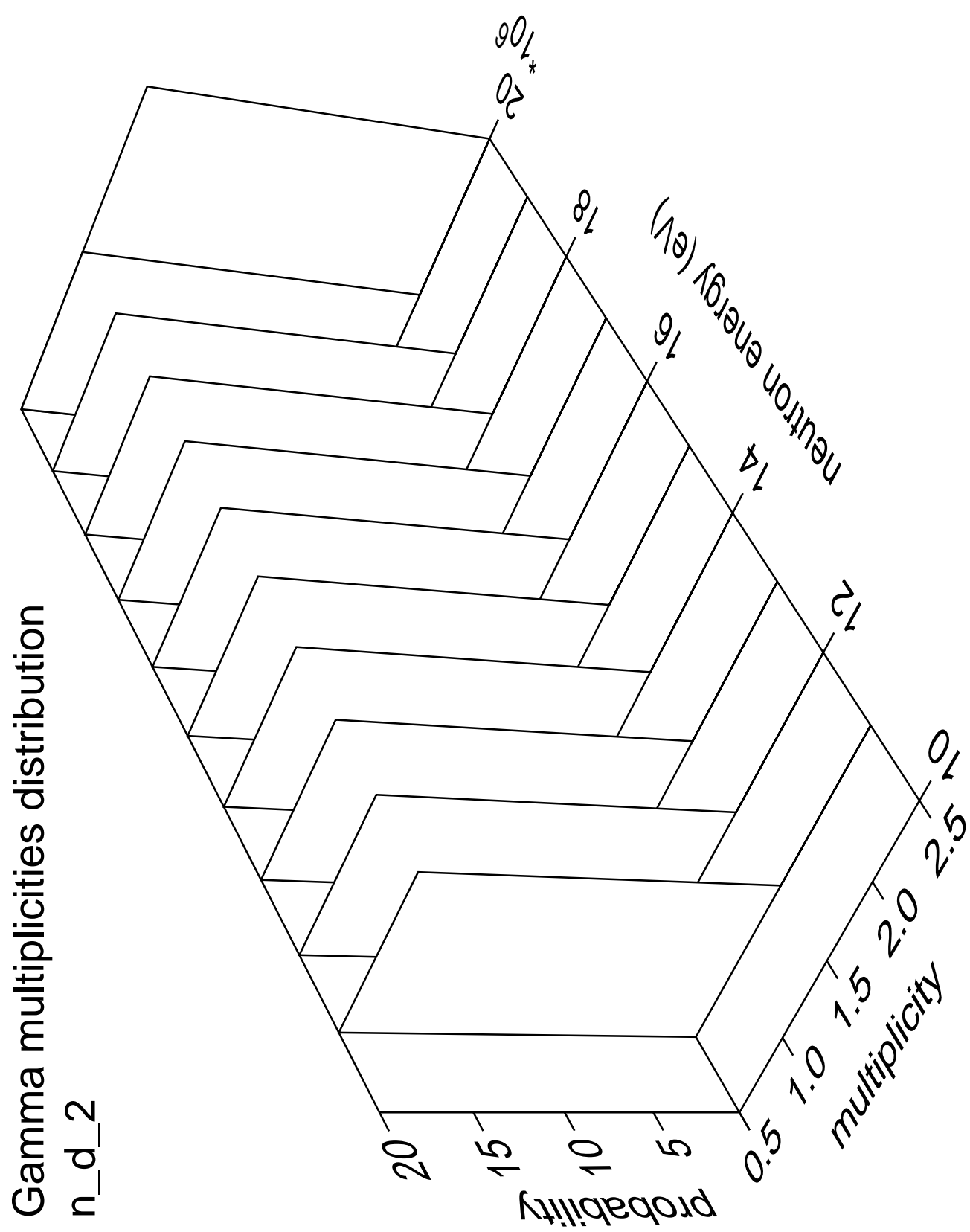
-1.0

neutron energy (eV)

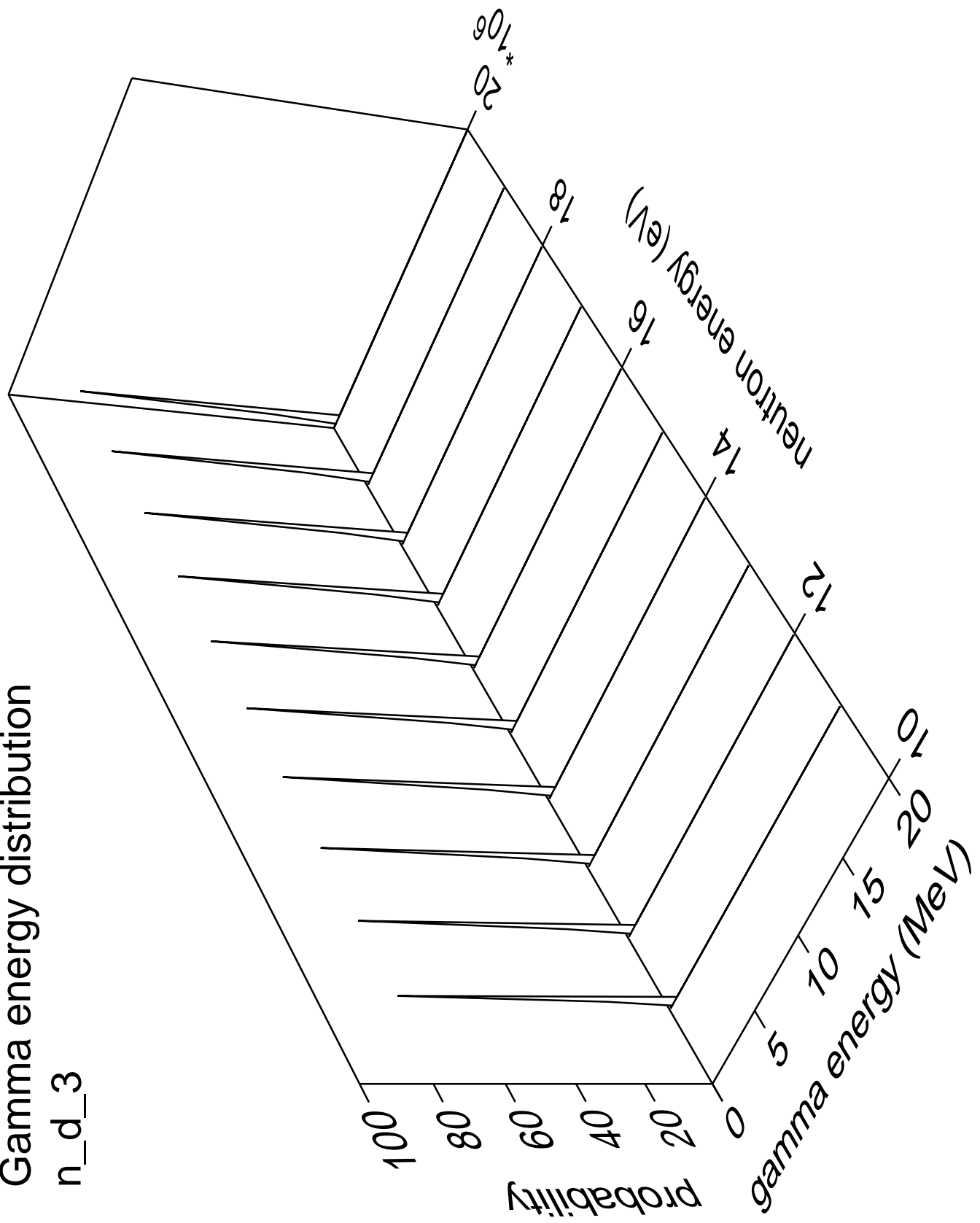
10^6

2×10^6

10^6



n_d_3



Gamma angles distribution

n_d_3

Probability

10^0

$\cos(\theta)$

1.0

0.5

0.0

-0.5

-1.0

Neutron energy (eV)

10^0

20

40

60

80

100

120

140

160

180

200

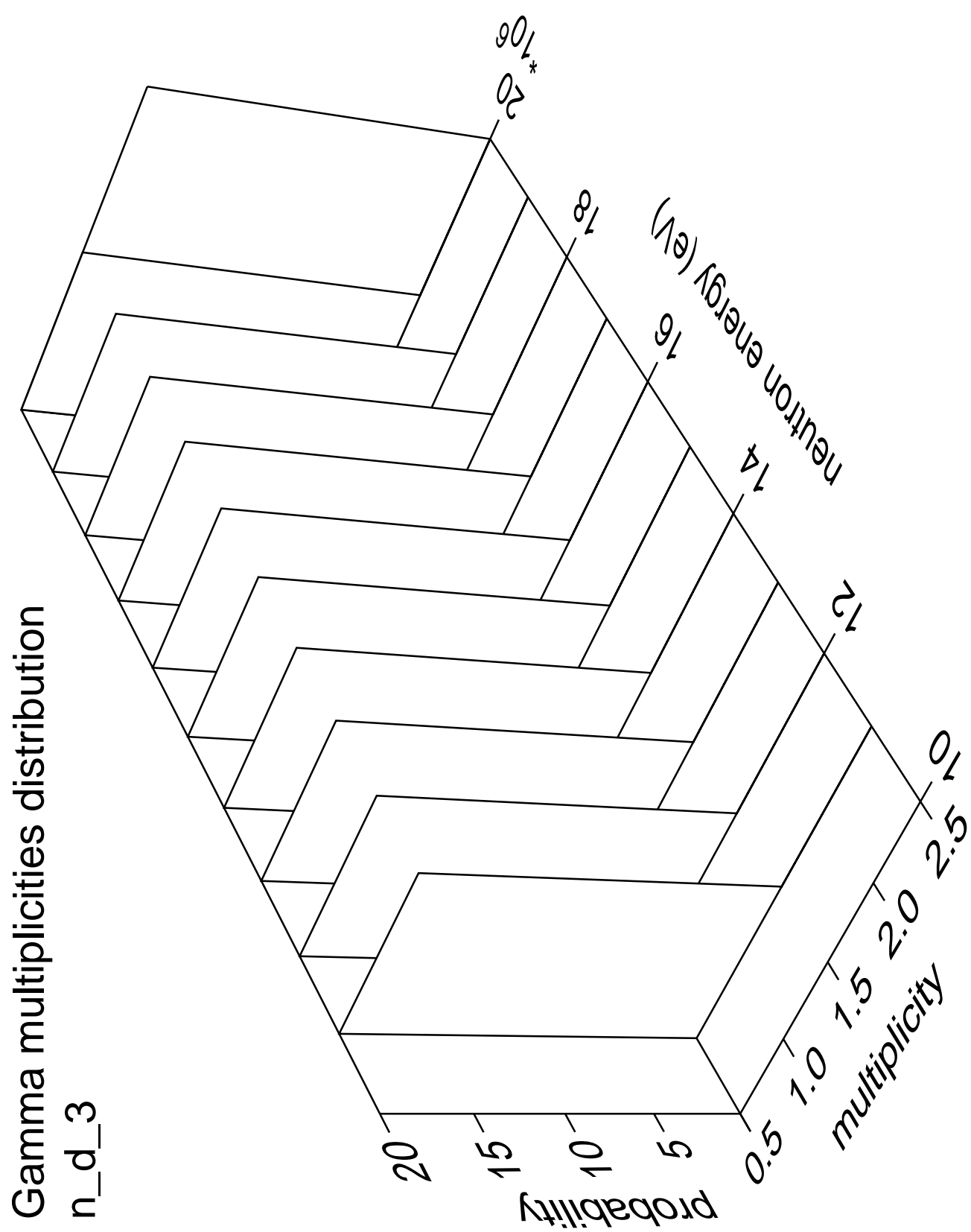
220

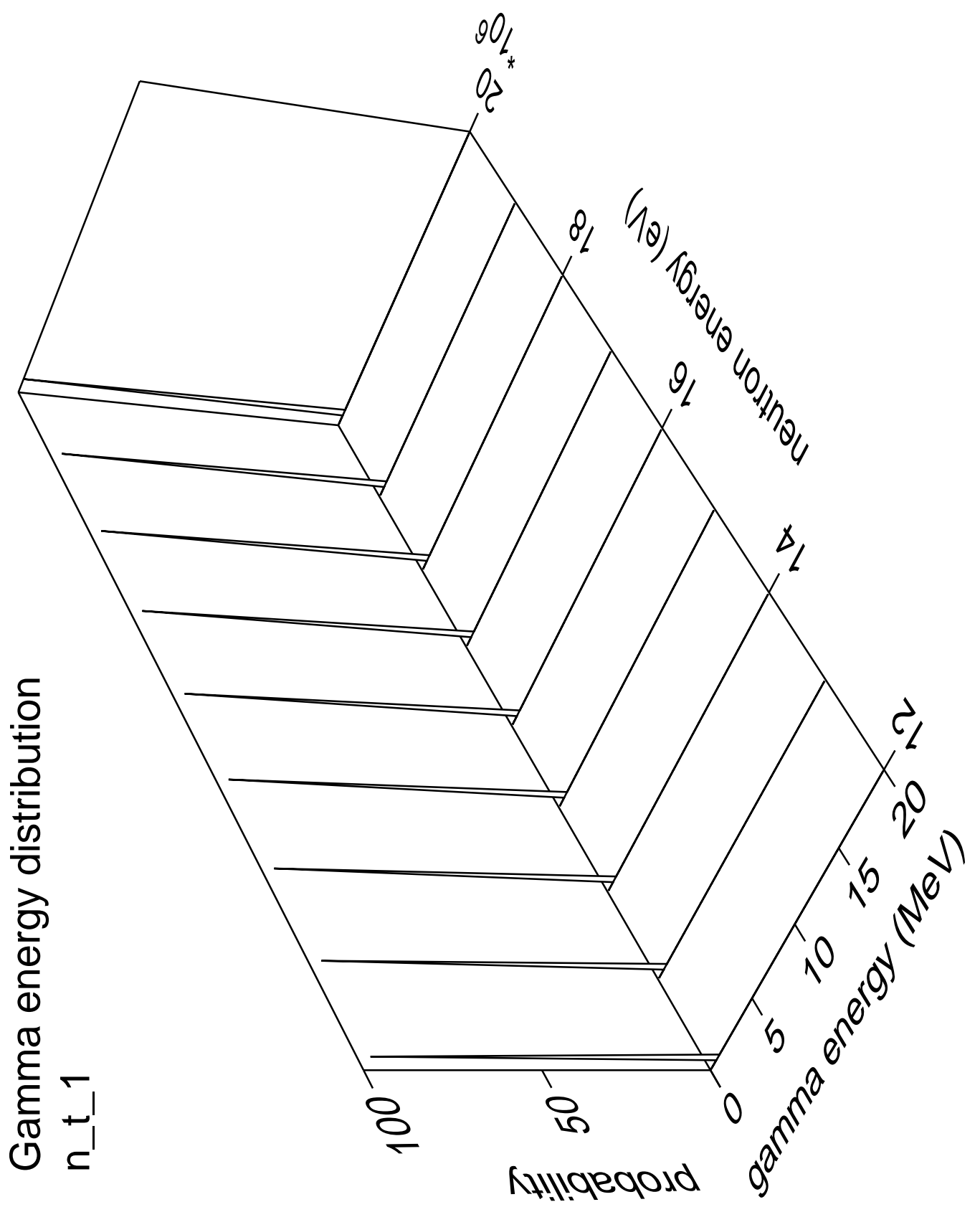
240

260

280

300





Gamma angles distribution

n_{t_1}

Probability

10^0

$\cos(\theta)$

1.0

0.5

0.0

-0.5

-1.0

Neutron energy (eV)

16

18

20

22

24

10⁶

20

40

80

100

200

400

1000

2000

4000

Gamma multiplicities distribution

n_{t_1}

Probability

multiplicity

2.5

2.0

1.5

1.0

0.5

Neutron energy (eV)

10⁶

18

16

4

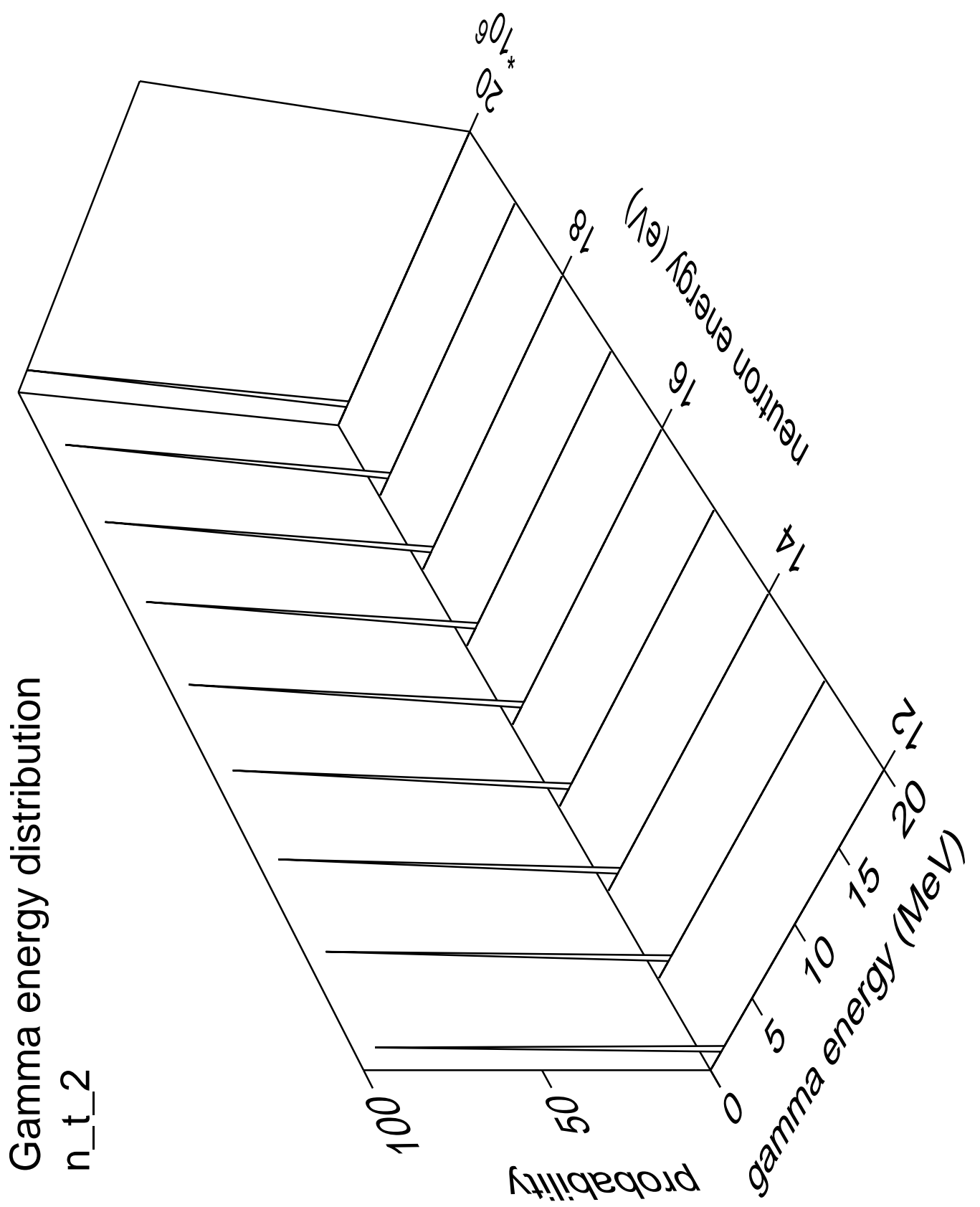
2.5

2.0

1.5

1.0

0.5



Gamma angles distribution

n_{t_2}

Probability

10^0

$\cos(\theta)$

1.0

0.5

0.0

-0.5

-1.0

Neutron energy (eV)

10^6

2×10^6

10^7

2×10^7

10^8

2×10^8

10^9

2×10^9

10^{10}

2×10^{10}

10^{11}

2×10^{11}

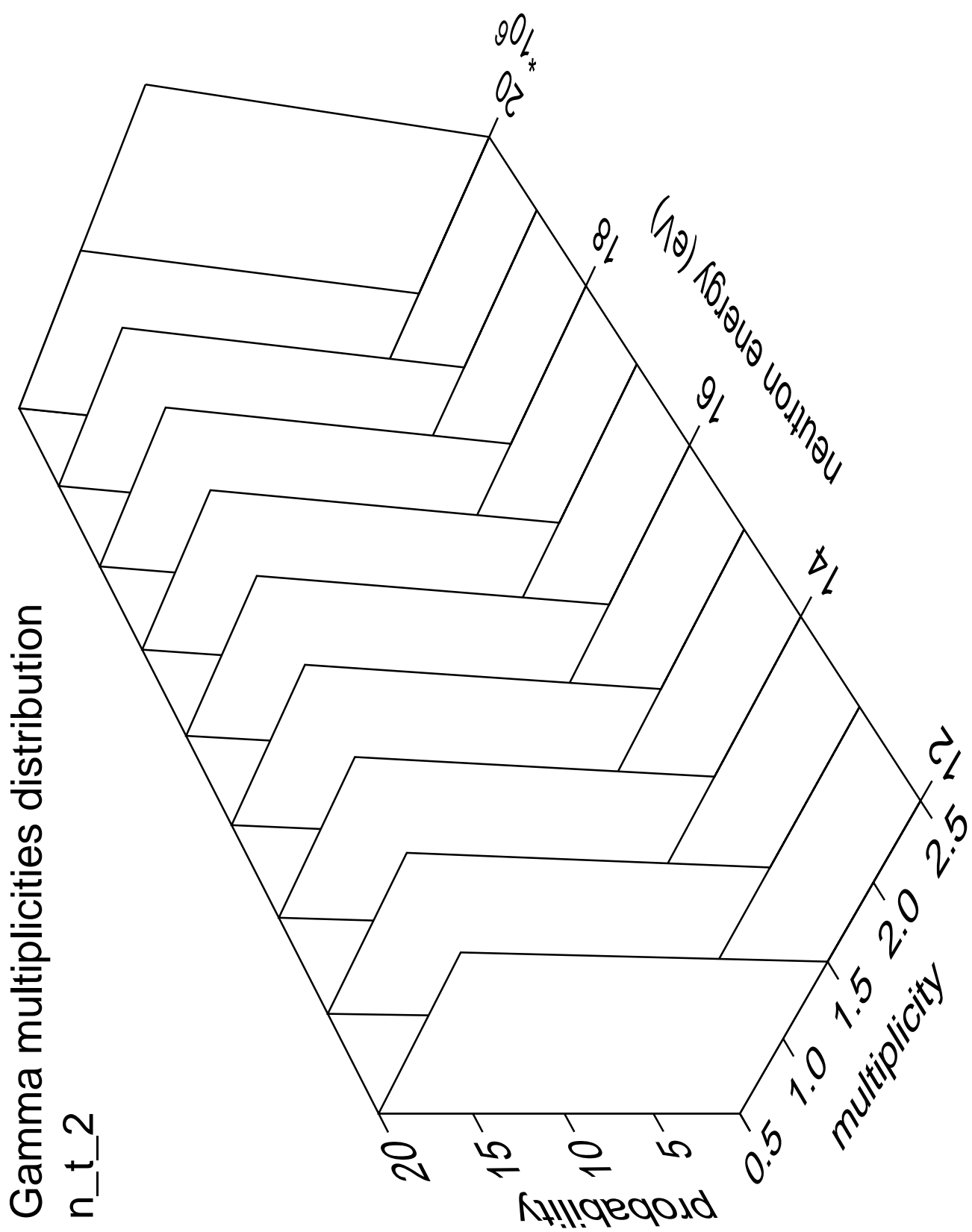
10^{12}

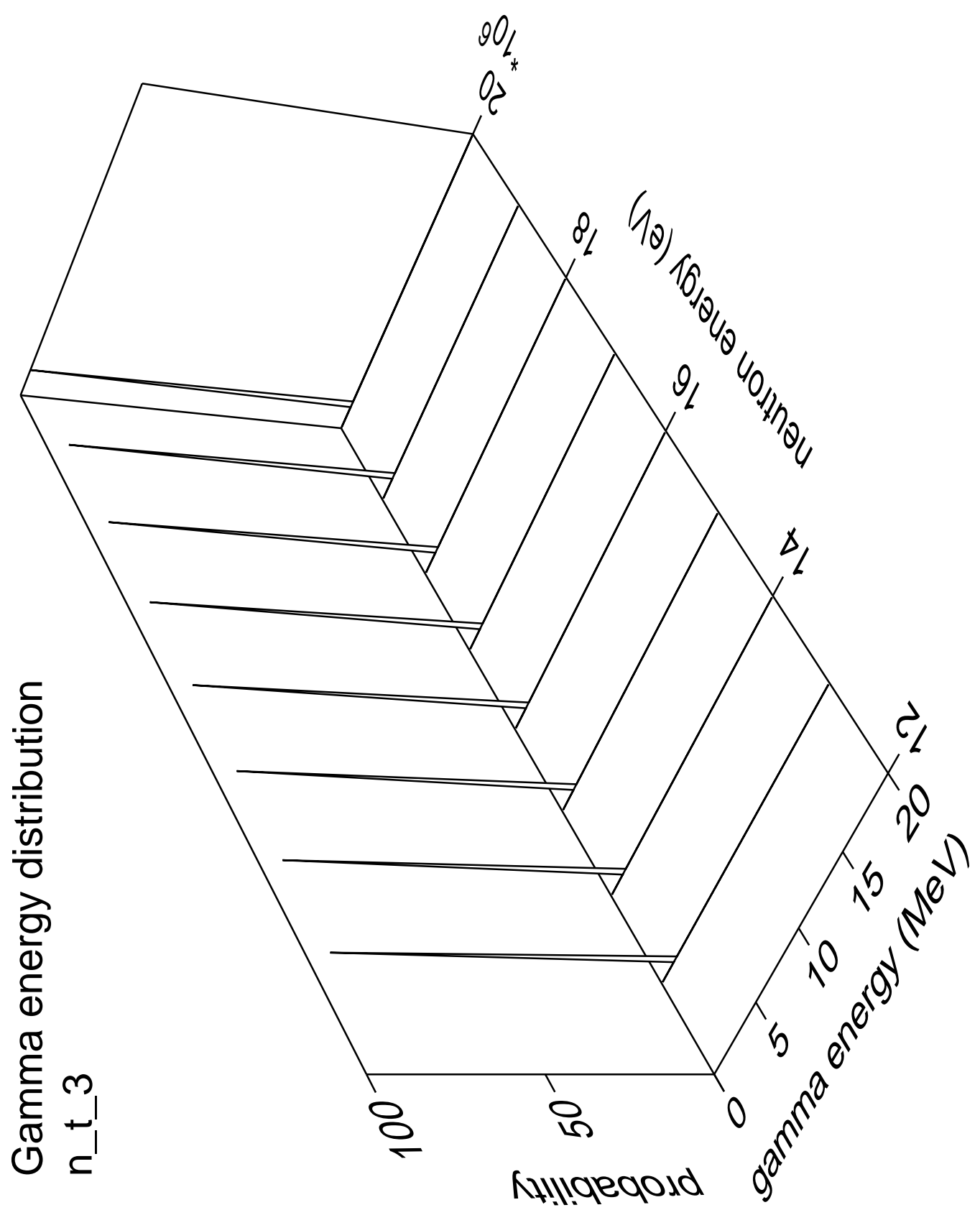
2×10^{12}

10^{13}

2×10^{13}

10^{14}





Gamma angles distribution

$n_t 3$

Probability

10^0

*

1.0

0.5

0.0

-0.5

-1.0

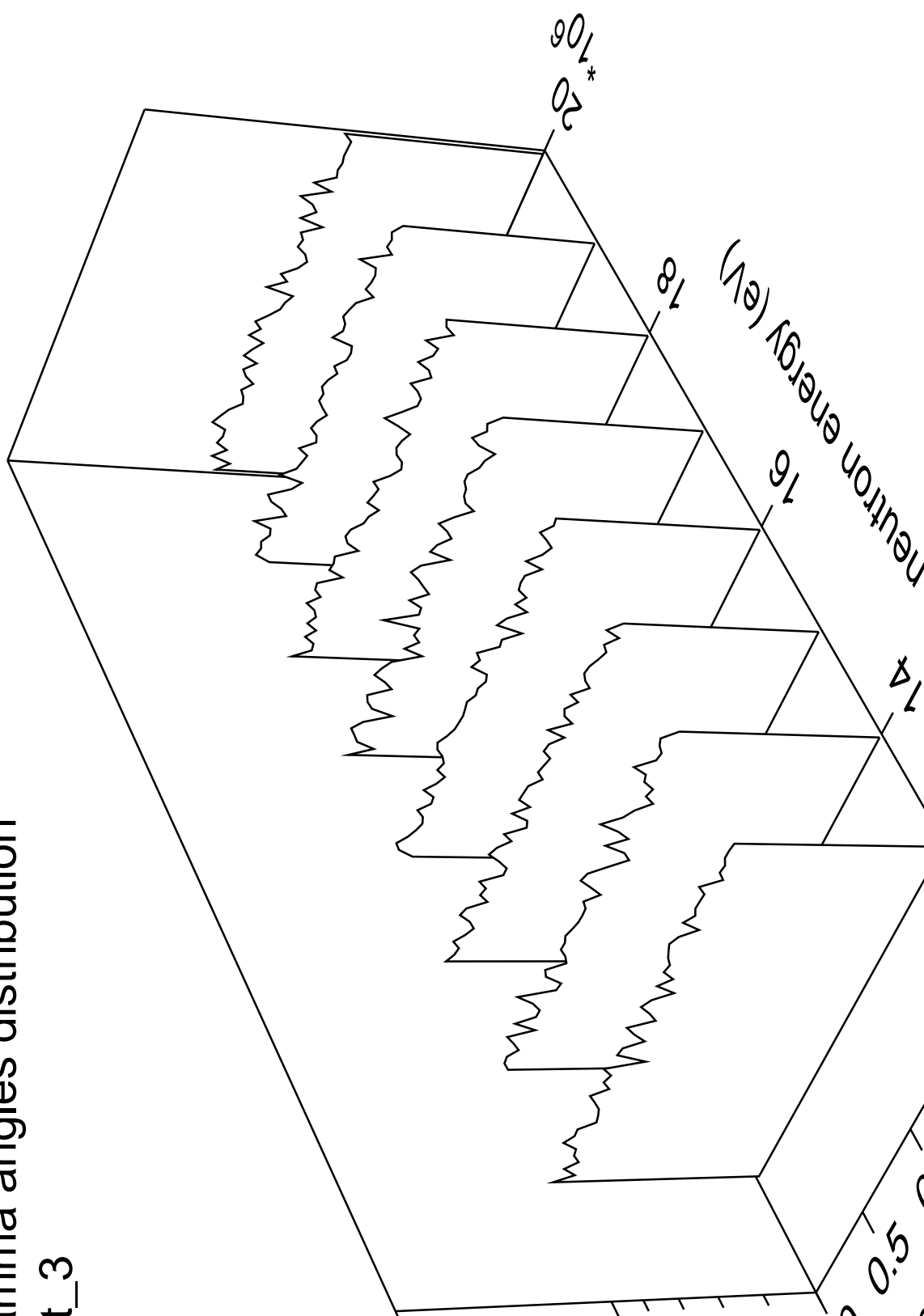
$\cos(\theta)$

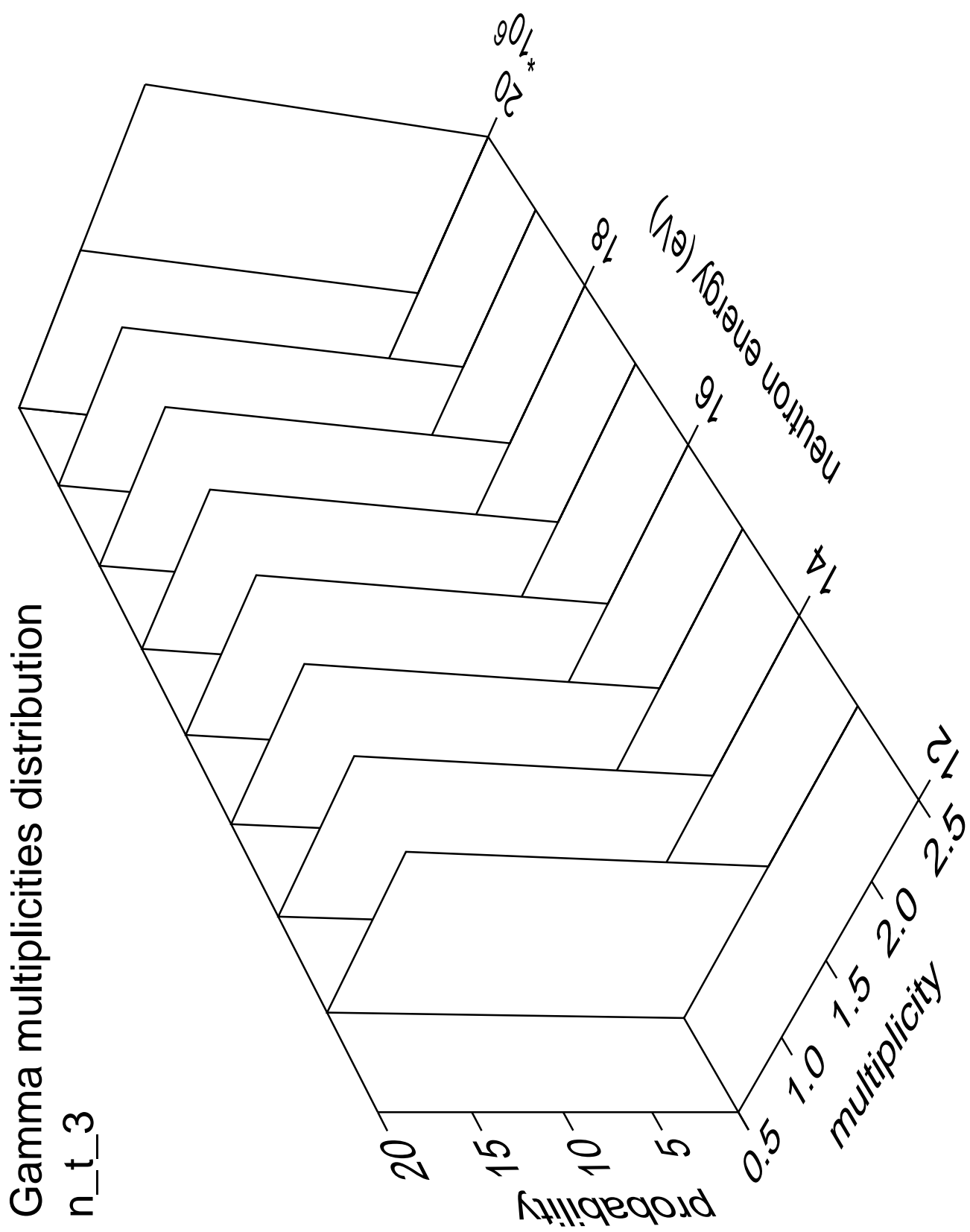
Neutron energy (eV)

16

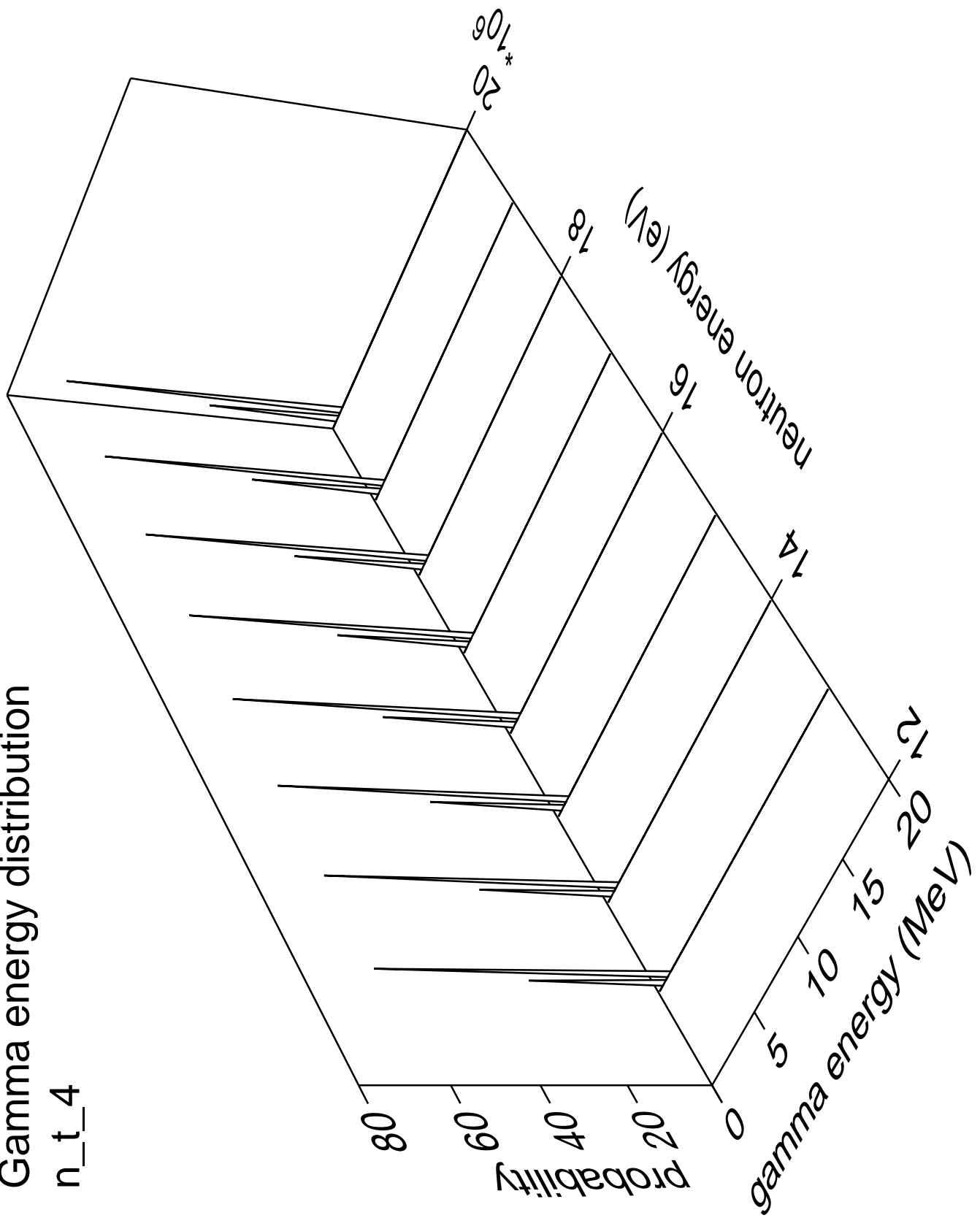
18

20
100



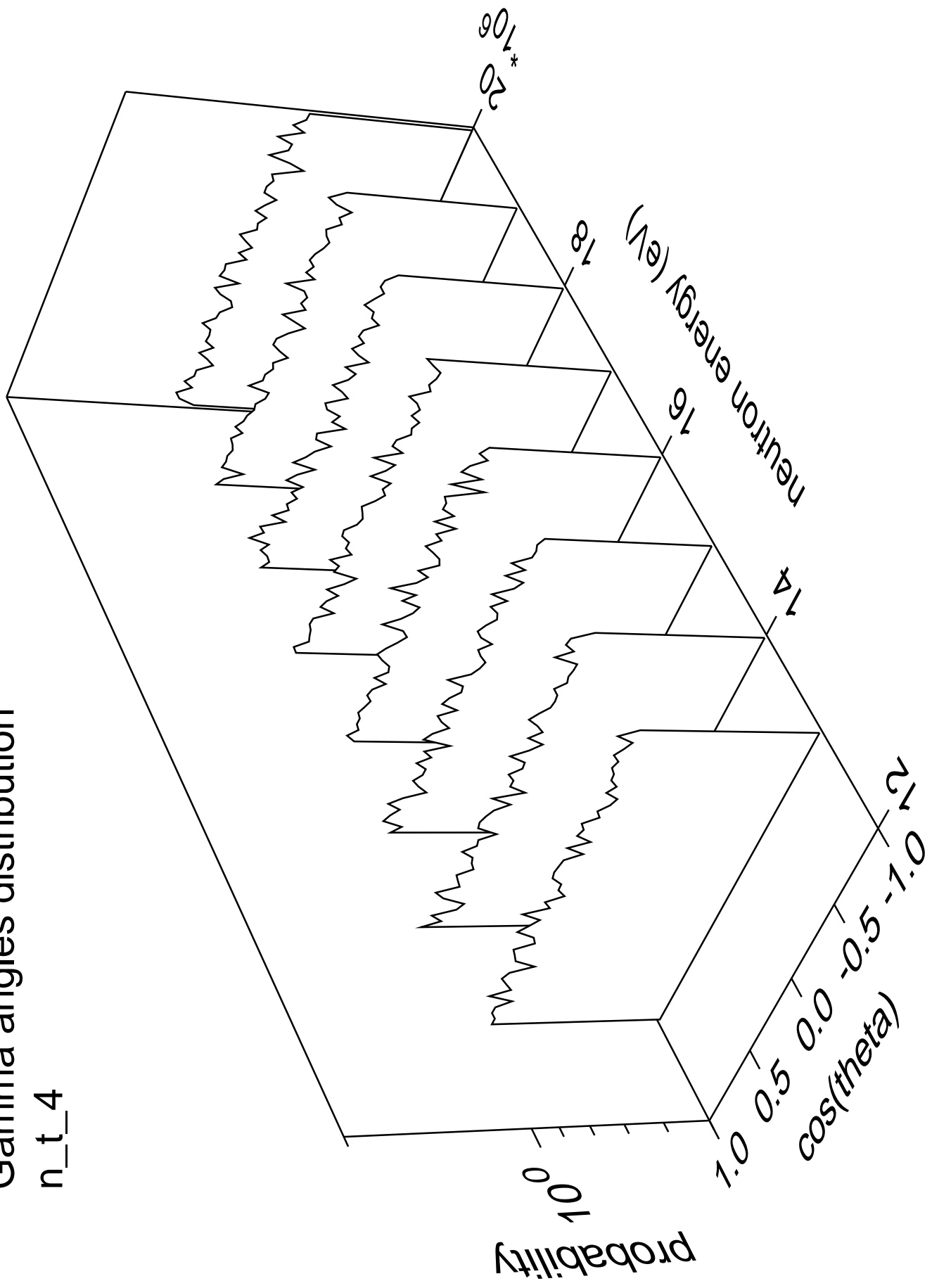


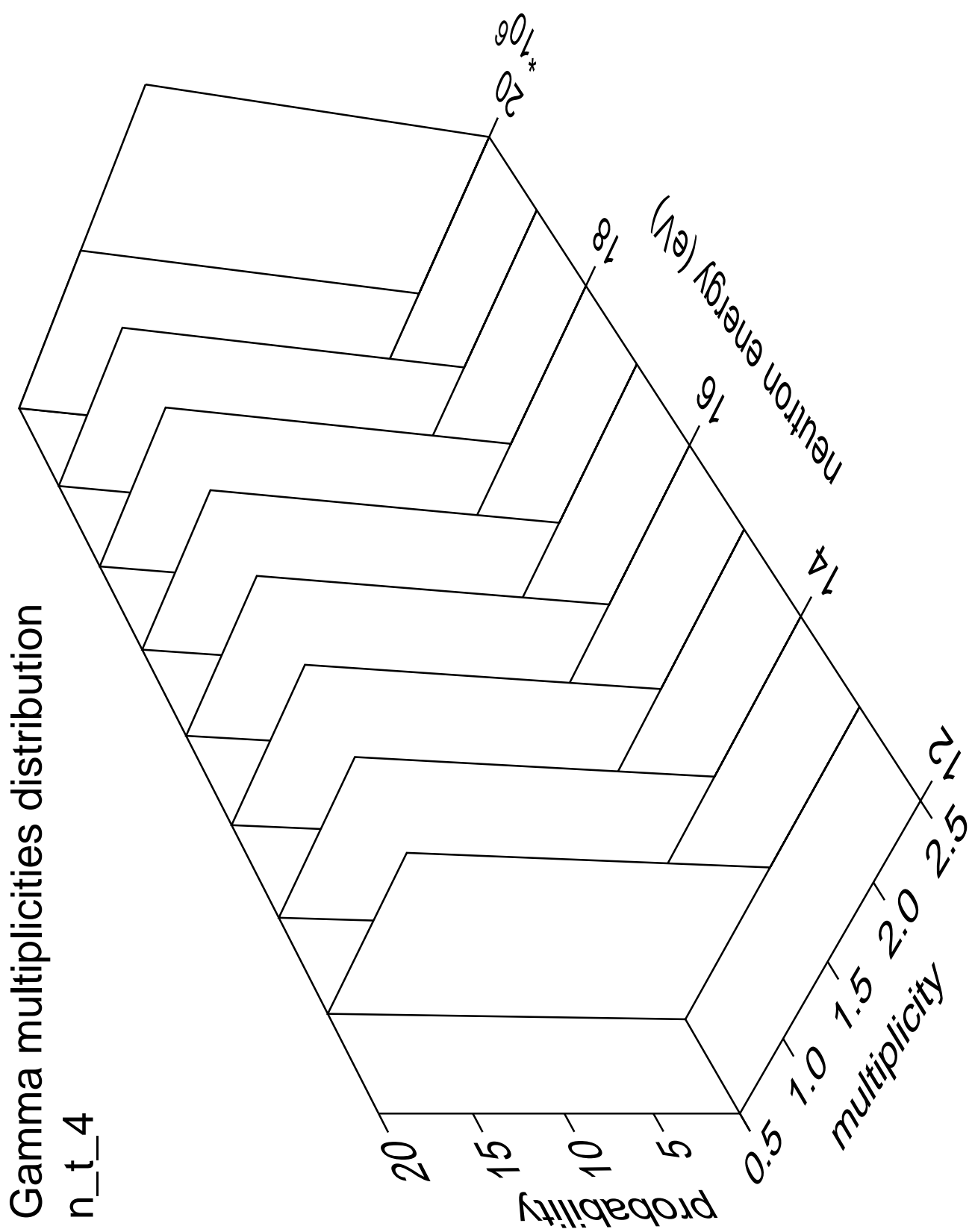
Gamma energy distribution n_t_4

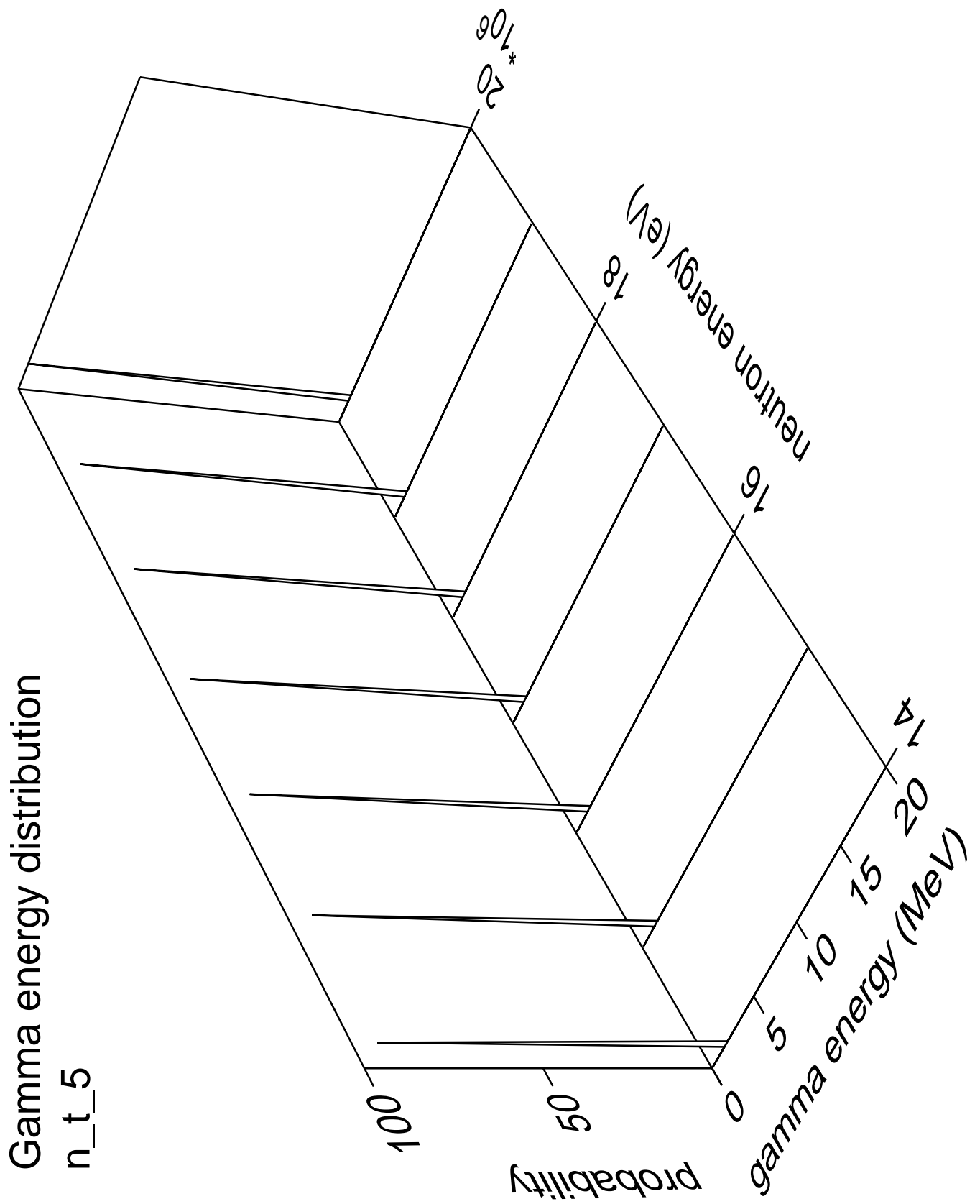


Gamma angles distribution

n_t_4







Gamma angles distribution

n_t_5

Probability

10^0

Neutron energy (eV)

10⁶

10⁵

10⁴

10³

10²

10¹

10⁰

$\cos(\theta)$

1.0

0.5

0.0

-0.5

-1.0

10⁶

10⁵

10⁴

10³

10²

10¹

10⁰

10⁻¹

10⁻²

10⁻³

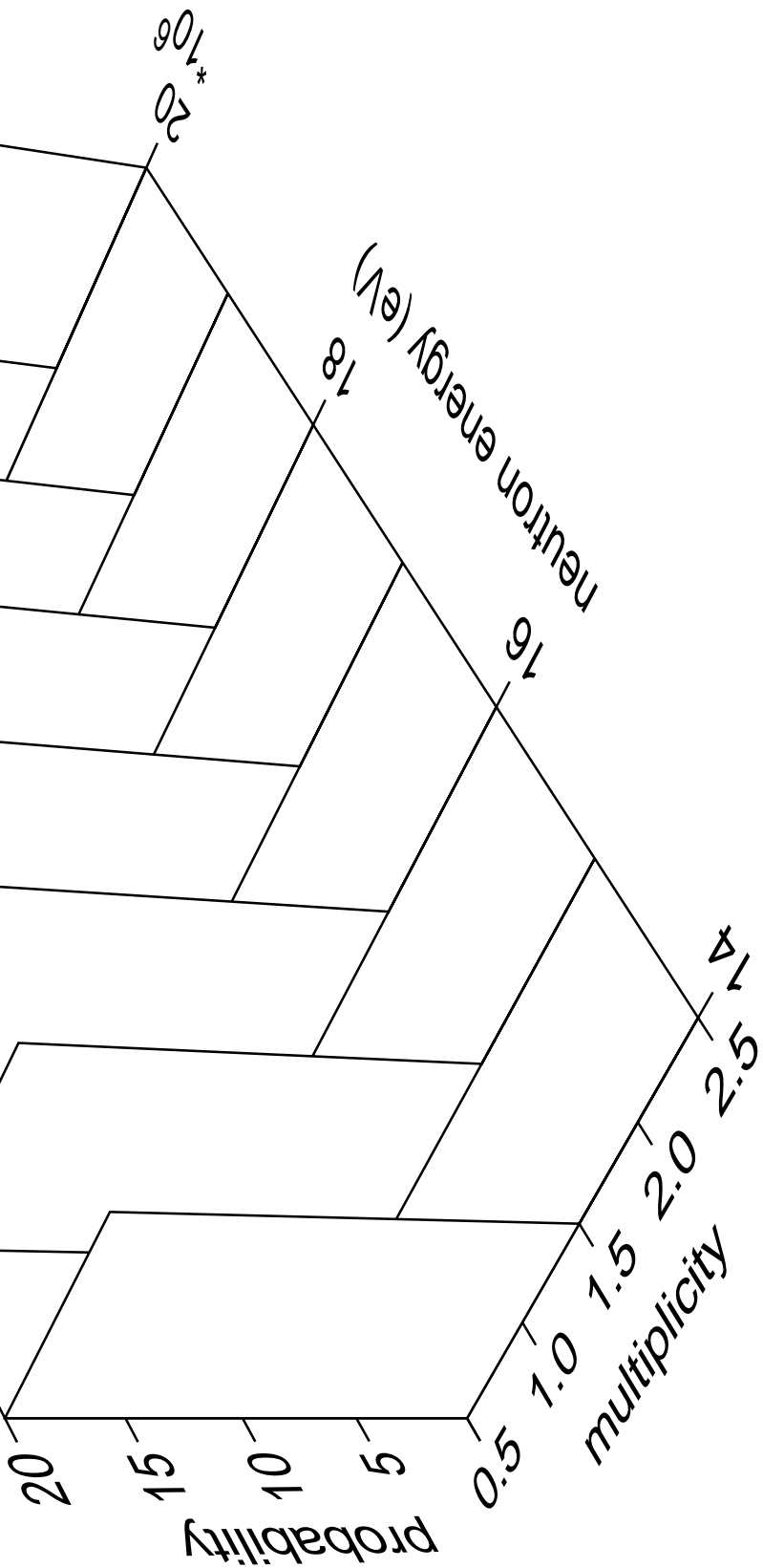
10⁻⁴

10⁻⁵

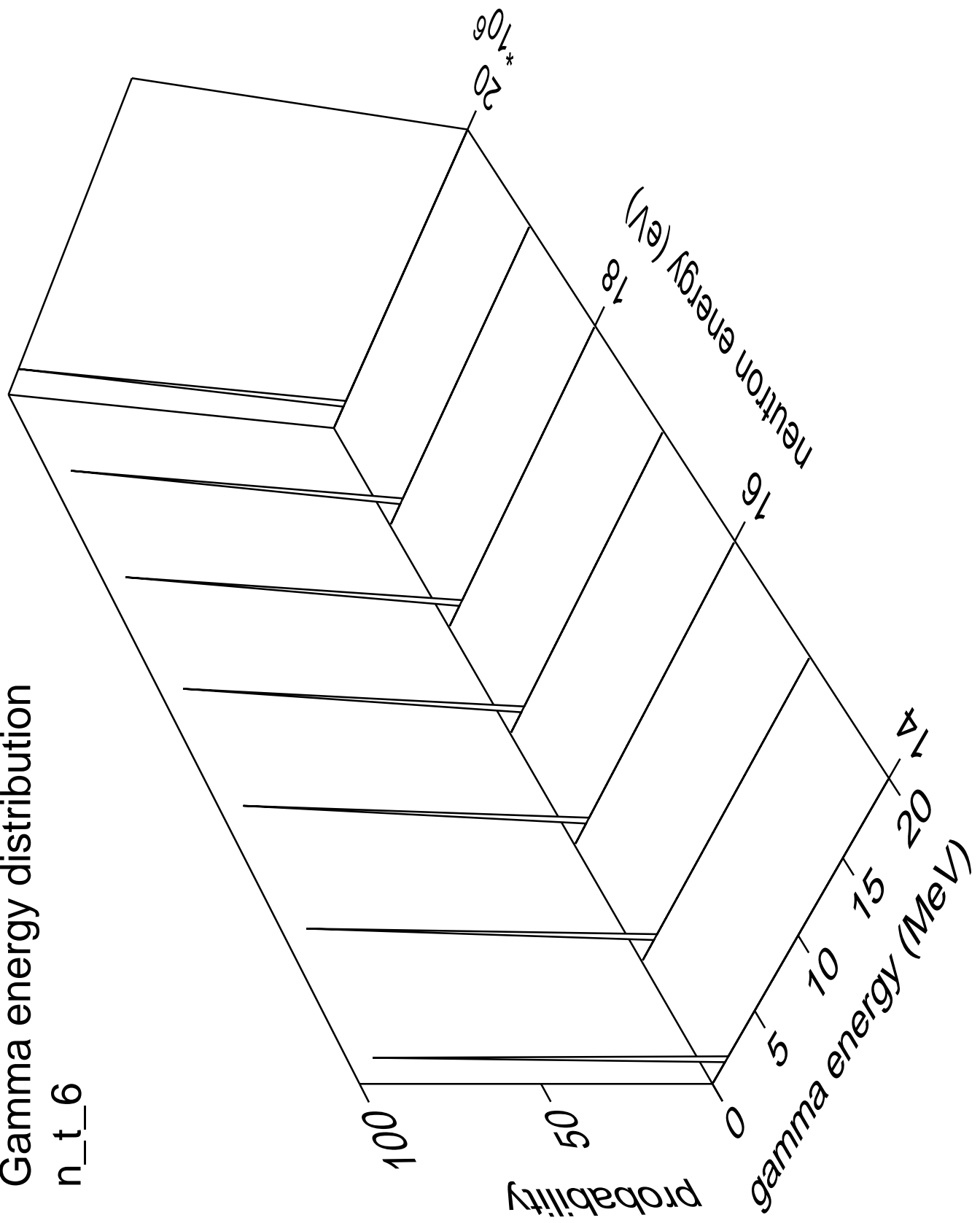
10⁻⁶

Gamma multiplicities distribution

$n_t 5$



Gamma energy distribution
n_t_6



Gamma angles distribution

n_t_6

Probability

10⁰

cos(theta)
1.0 0.5 0.0 -0.5 -1.0

neutron energy (eV)
10⁶ 10⁵ 10⁴ 10³ 10²

10⁶
10⁵

Gamma multiplicities distribution

n_t_6

Probability

100

20

Neutron energy (eV)

16

multiplicity

4

2.5

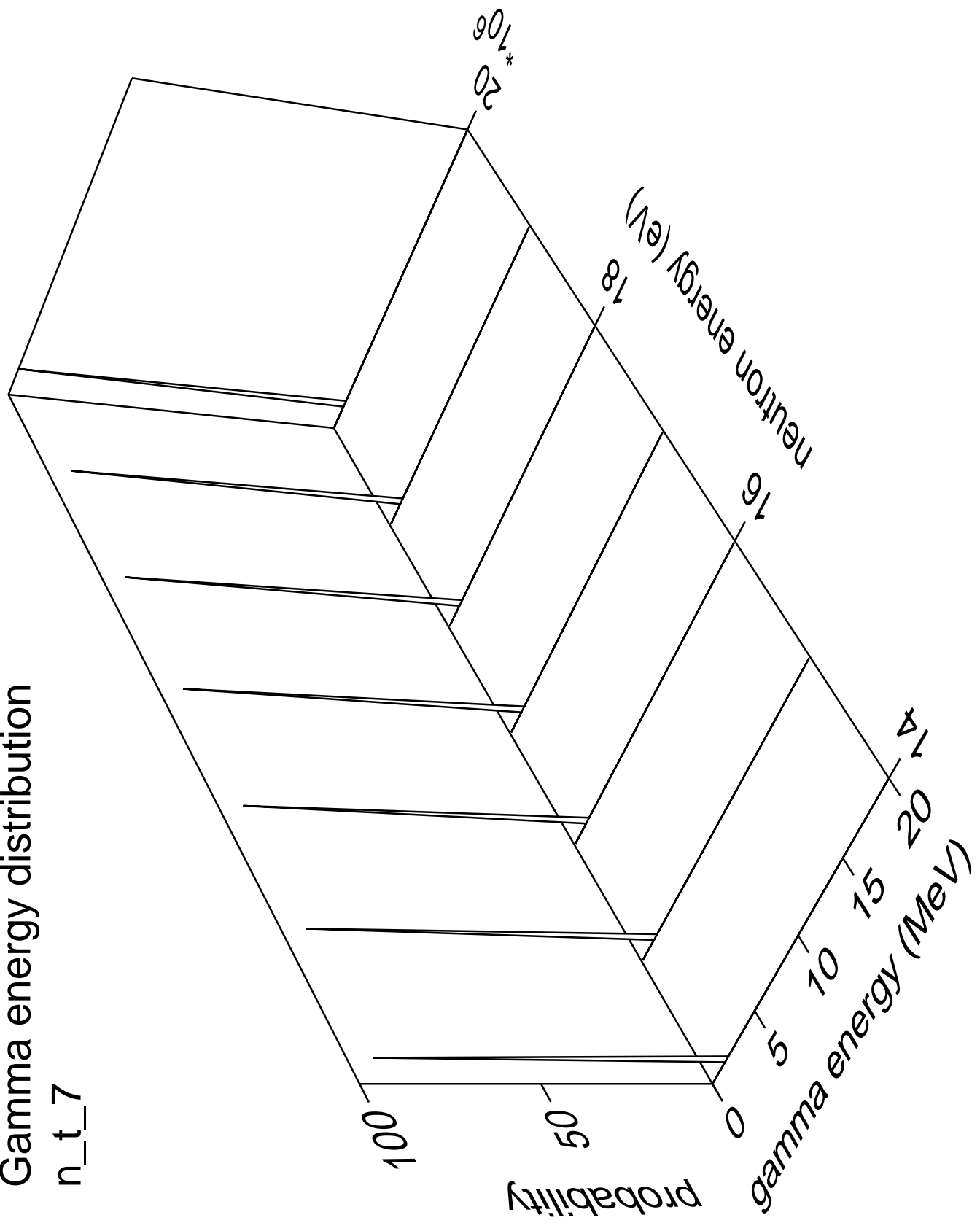
2.0

1.5

1.0

0.5

Gamma energy distribution



Gamma angles distribution

n_t_7

Probability

10^0

10^6

10^2

10^8

10^4

10^1

10^{-1}

10^{-2}

10^{-3}

10^{-4}

10^{-5}

10^{-6}

10^{-7}

10^{-8}

10^{-9}

10^{-10}

10^{-11}

10^{-12}

10^{-13}

10^{-14}

neutron energy (eV)

$\cos(\theta)$

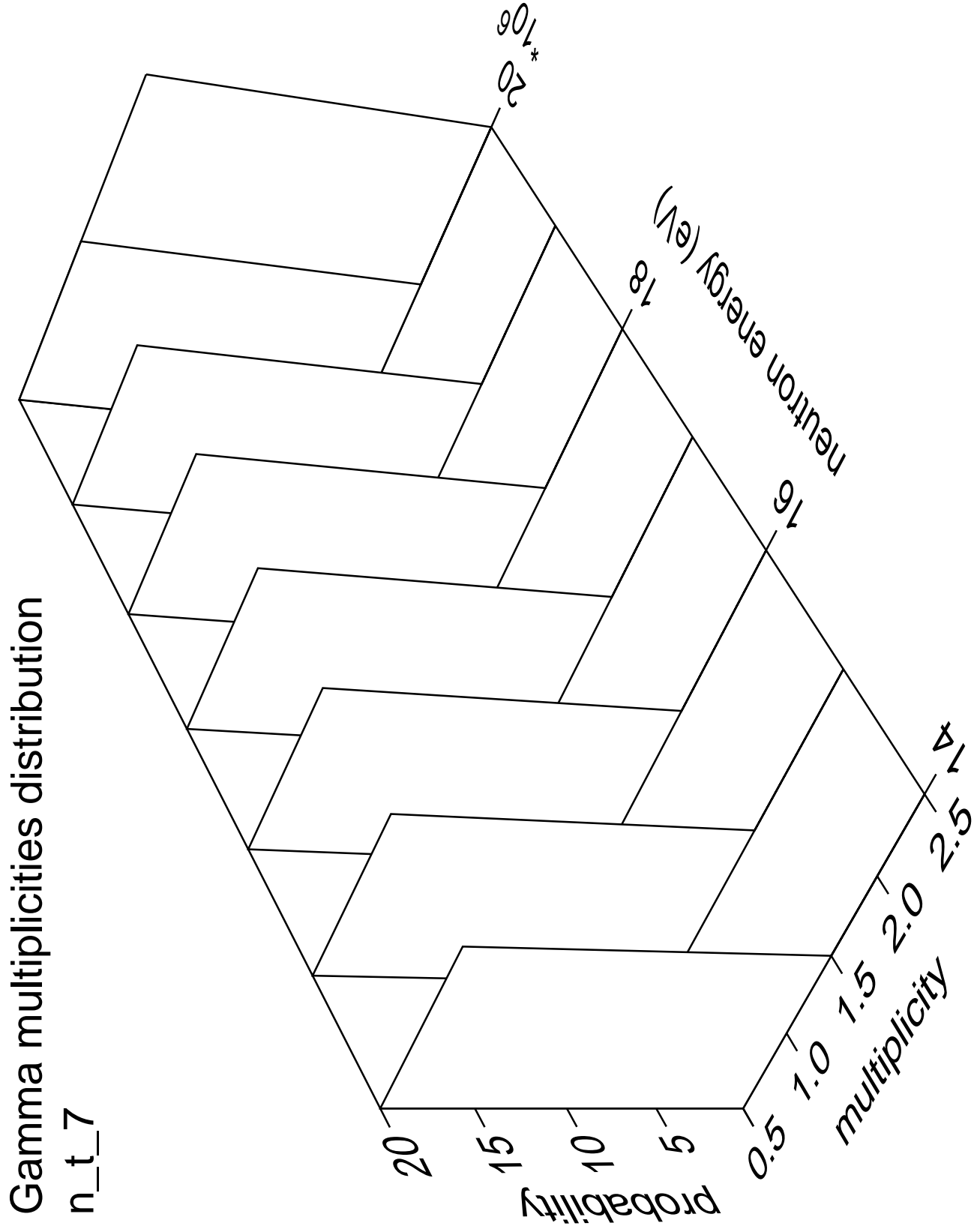
1.0

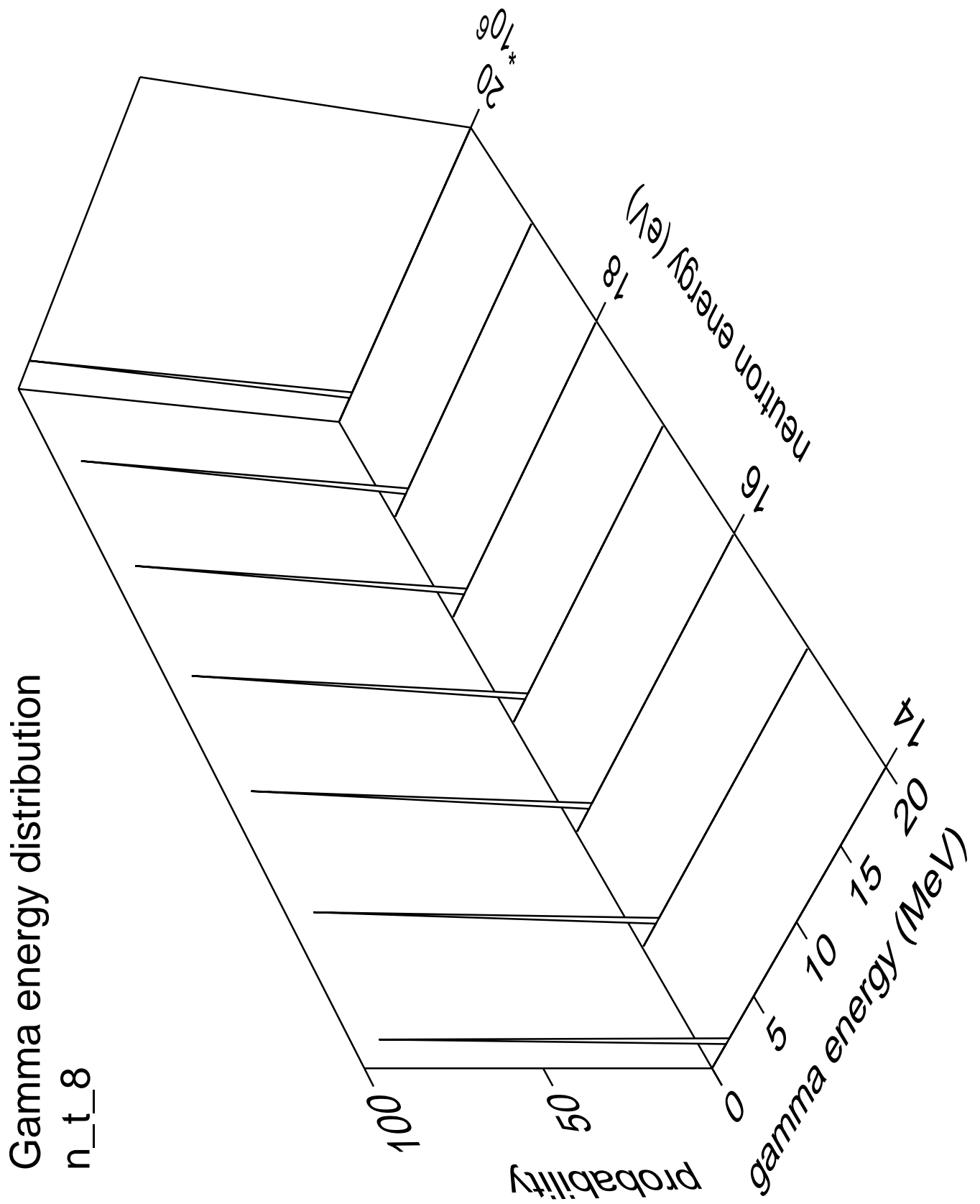
0.5

0.0

-0.5

-1.0





Gamma angles distribution

$n_t 8$

Probability

10^0

10^6

10^2

10^0

10^{-2}

10^{-6}

10^{-10}

10^{-14}

10^{-18}

10^{-22}

10^{-26}

10^{-30}

10^{-34}

10^{-38}

10^{-42}

10^{-46}

10^{-50}

10^{-54}

10^{-58}

10^{-62}

10^{-66}

10^{-70}

10^{-74}

10^{-78}

10^{-82}

10^{-86}

10^{-90}

10^{-94}

10^{-98}

10^{-102}

10^{-106}

10^{-110}

10^{-114}

10^{-118}

10^{-122}

10^{-126}

10^{-130}

10^{-134}

10^{-138}

10^{-142}

10^{-146}

10^{-150}

10^{-154}

10^{-158}

10^{-162}

10^{-166}

10^{-170}

10^{-174}

10^{-178}

10^{-182}

10^{-186}

10^{-190}

10^{-194}

10^{-198}

10^{-202}

10^{-206}

10^{-210}

10^{-214}

10^{-218}

10^{-222}

10^{-226}

10^{-230}

10^{-234}

10^{-238}

10^{-242}

10^{-246}

10^{-250}

10^{-254}

10^{-258}

10^{-262}

10^{-266}

10^{-270}

10^{-274}

10^{-278}

10^{-282}

10^{-286}

10^{-290}

10^{-294}

10^{-298}

10^{-302}

10^{-306}

10^{-310}

10^{-314}

10^{-318}

10^{-322}

10^{-326}

10^{-330}

10^{-334}

10^{-338}

10^{-342}

10^{-346}

10^{-350}

10^{-354}

10^{-358}

10^{-362}

10^{-366}

10^{-370}

10^{-374}

10^{-378}

10^{-382}

10^{-386}

10^{-390}

10^{-394}

10^{-398}

10^{-402}

10^{-406}

10^{-410}

10^{-414}

10^{-418}

10^{-422}

10^{-426}

10^{-430}

10^{-434}

10^{-438}

10^{-442}

10^{-446}

10^{-450}

10^{-454}

10^{-458}

10^{-462}

10^{-466}

10^{-470}

10^{-474}

10^{-478}

10^{-482}

10^{-486}

10^{-490}

10^{-494}

10^{-498}

10^{-502}

10^{-506}

10^{-510}

10^{-514}

10^{-518}

10^{-522}

10^{-526}

10^{-530}

10^{-534}

10^{-538}

10^{-542}

10^{-546}

10^{-550}

10^{-554}

10^{-558}

10^{-562}

10^{-566}

10^{-570}

10^{-574}

10^{-578}

10^{-582}

10^{-586}

10^{-590}

10^{-594}

10^{-598}

10^{-602}

10^{-606}

10^{-610}

10^{-614}

10^{-618}

10^{-622}

10^{-626}

10^{-630}

10^{-634}

10^{-638}

10^{-642}

10^{-646}

10^{-650}

10^{-654}

10^{-658}

10^{-662}

10^{-666}

10^{-670}

10^{-674}

10^{-678}

10^{-682}

10^{-686}

10^{-690}

10^{-694}

10^{-698}

10^{-702}

10^{-706}

10^{-710}

10^{-714}

10^{-718}

10^{-722}

10^{-726}

10^{-730}

10^{-734}

10^{-738}

10^{-742}

10^{-746}

10^{-750}

10^{-754}

10^{-758}

10^{-762}

10^{-766}

10^{-770}

10^{-774}

10^{-778}

10^{-782}

10^{-786}

10^{-790}

10^{-794}

10^{-798}

10^{-802}

10^{-806}

10^{-810}

10^{-814}

10^{-818}

10^{-822}

10^{-826}

10^{-830}

10^{-834}

10^{-838}

10^{-842}

10^{-846}

10^{-850}

10^{-854}

10^{-858}

10^{-862}

10^{-866}

10^{-870}

10^{-874}

10^{-878}

10^{-882}

10^{-886}

10^{-890}

10^{-894}

10^{-898}

10^{-902}

10^{-906}

10^{-910}

10^{-914}

10^{-918}

10^{-922}

10^{-926}

10^{-930}

10^{-934}

10^{-938}

10^{-942}

10^{-946}

10^{-950}

10^{-954}

10^{-958}

10^{-962}

10^{-966}

10^{-970}

10^{-974}

10^{-978}

10^{-982}

10^{-986}

10^{-990}

<

Gamma multiplicities distribution

n_t_8

Probability

100

20

Neutron energy (eV)

16

multiplicity

4

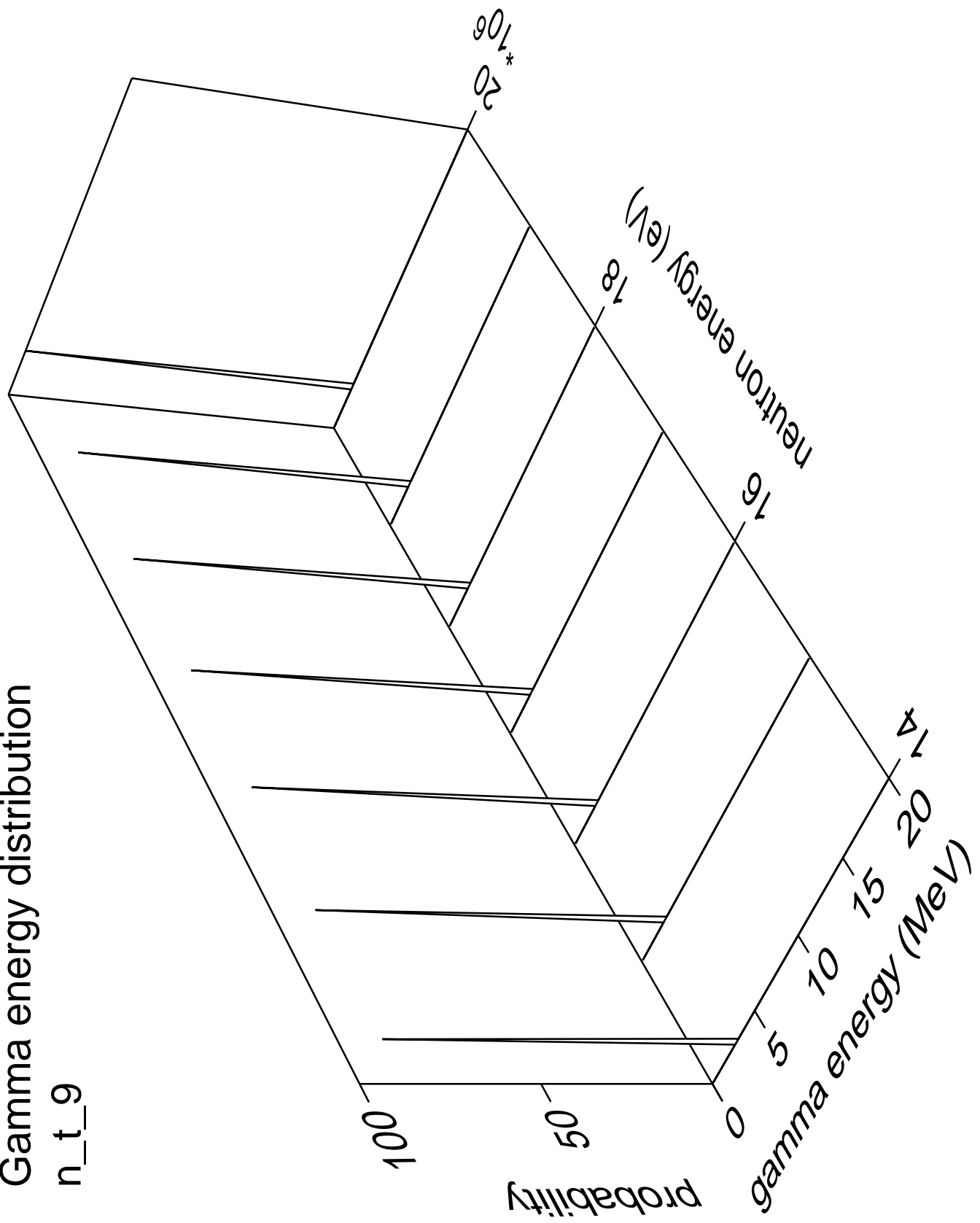
2.0

1.5

1.0

0.5

Gamma energy distribution
n_t_9



Gamma angles distribution

n_t_9

Probability

10^0

10^6

10^2

10^8

10^4

10^1

10^{-1}

10^{-2}

10^{-3}

10^{-4}

10^{-5}

10^{-6}

10^{-7}

10^{-8}

10^{-9}

10^{-10}

10^{-11}

10^{-12}

10^{-13}

10^{-14}

10^{-15}

10^{-16}

$\cos(\theta)$

1.0

0.5

0.0

-0.5

-1.0

neutron energy (eV)

10⁶

10⁸

10¹⁰

10¹²

10¹⁴

10¹⁶

10¹⁸

10²⁰

10²²

10²⁴

10²⁶

10²⁸

10³⁰

10³²

10³⁴

10³⁶

10³⁸

10⁴⁰

10⁴²

10⁴⁴

10⁴⁶

10⁴⁸

Gamma multiplicities distribution

n_t_9

Probability

100

20

Neutron energy (eV)

16

multiplicity

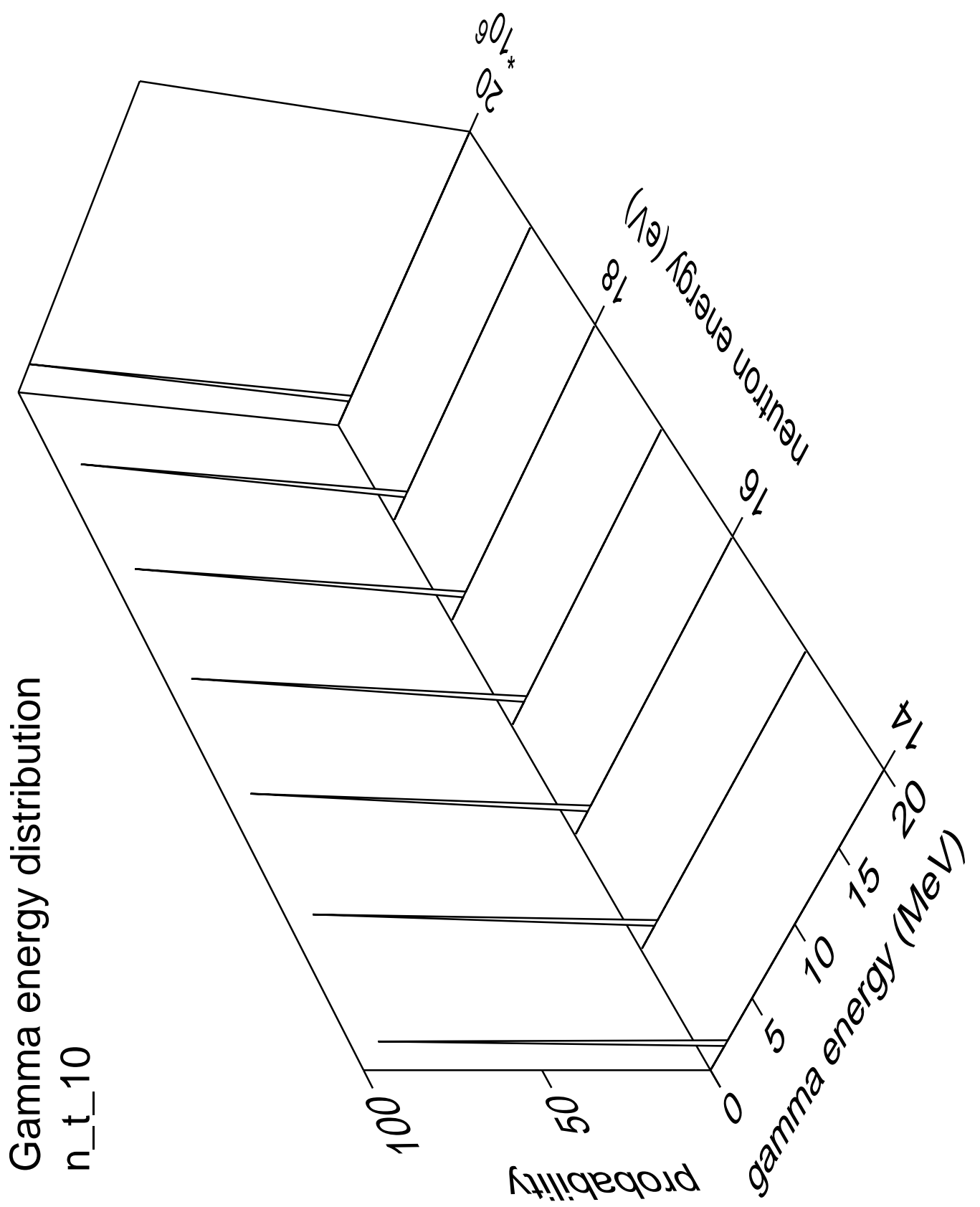
4

2.0

1.5

1.0

0.5



Gamma angles distribution

n_t_10

Probability

10⁰

10⁻⁶

10⁻⁵

10⁻⁴

10⁻³

10⁻²

10⁻¹

10⁻⁰

1.0

0.5

0.0

-0.5

-1.0

-1.0

-0.5

0.0

0.5

1.0

neutron energy (eV)

10⁻⁶

10⁻⁵

10⁻⁴

10⁻³

10⁻²

10⁻¹

10⁻⁰

10⁻⁶

10⁻⁵

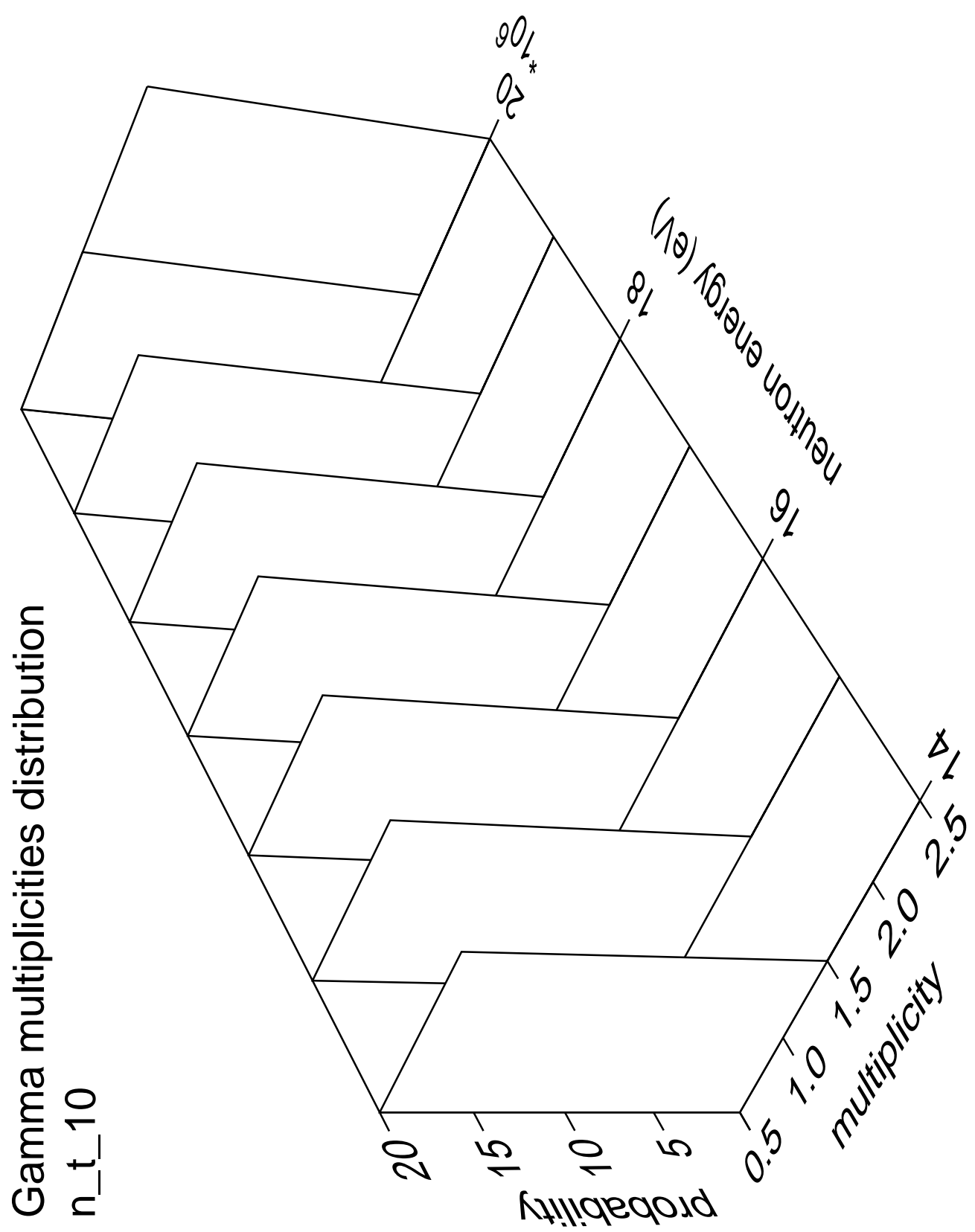
10⁻⁴

10⁻³

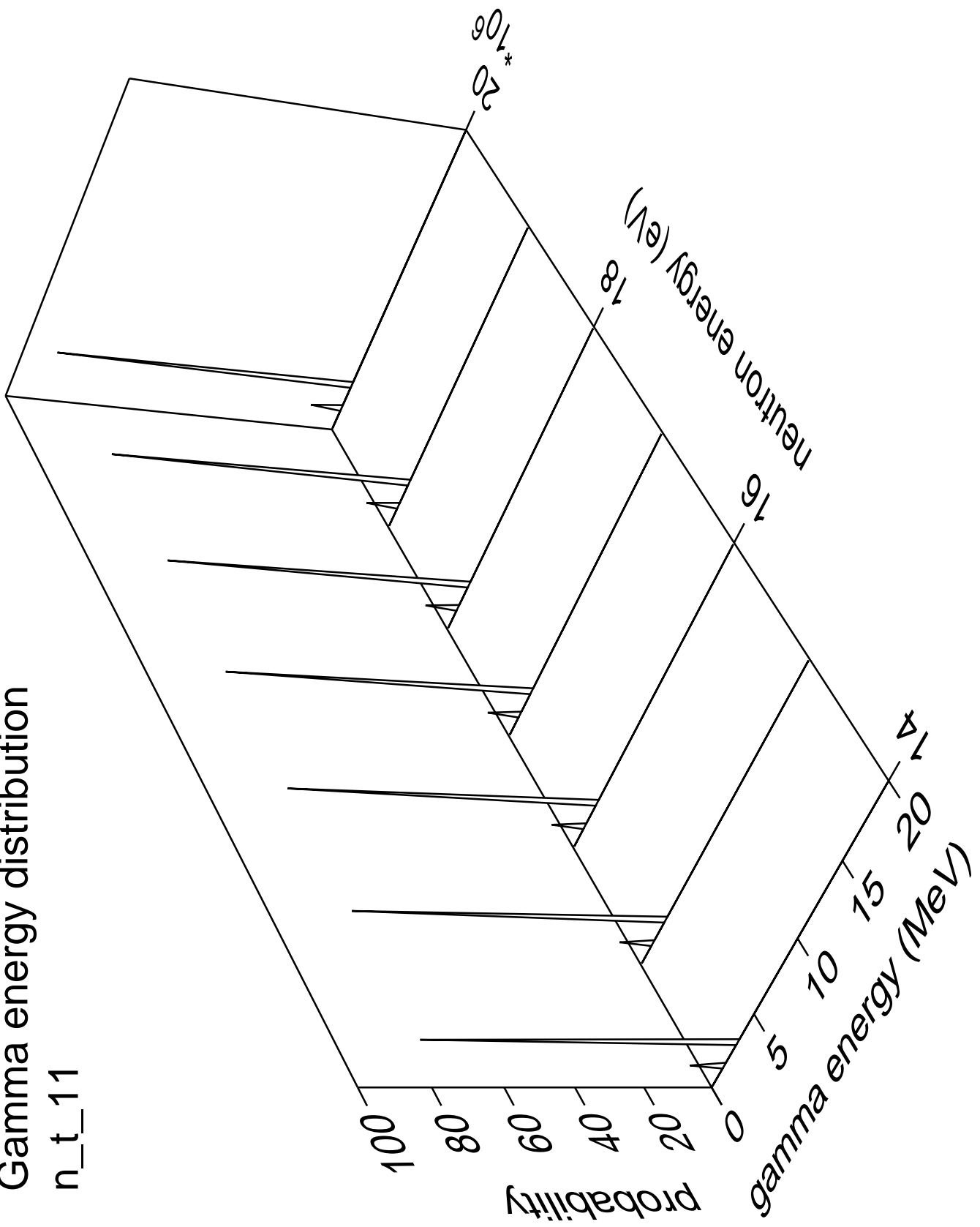
10⁻²

10⁻¹

10⁻⁰



Gamma energy distribution
n_t_11



Gamma angles distribution

$n_{t\ 11}$

Probability

10^0

10^6

10^2

10^8

10^4

10^1

10^{-2}

10^{-4}

10^{-6}

10^{-8}

10^{-10}

10^{-12}

10^{-14}

10^{-16}

10^{-18}

10^{-20}

10^{-22}

10^{-24}

10^{-26}

10^{-28}

10^{-30}

10^{-32}

10^{-34}

10^{-36}

10^{-38}

10^{-40}

10^{-42}

10^{-44}

10^{-46}

10^{-48}

10^{-50}

10^{-52}

10^{-54}

10^{-56}

10^{-58}

10^{-60}

10^{-62}

10^{-64}

10^{-66}

10^{-68}

10^{-70}

10^{-72}

10^{-74}

10^{-76}

10^{-78}

10^{-80}

10^{-82}

10^{-84}

10^{-86}

10^{-88}

10^{-90}

10^{-92}

10^{-94}

10^{-96}

10^{-98}

10^{-100}

10^{-102}

10^{-104}

10^{-106}

10^{-108}

10^{-110}

10^{-112}

10^{-114}

10^{-116}

10^{-118}

10^{-120}

10^{-122}

10^{-124}

10^{-126}

10^{-128}

10^{-130}

10^{-132}

10^{-134}

10^{-136}

10^{-138}

10^{-140}

10^{-142}

10^{-144}

10^{-146}

10^{-148}

10^{-150}

10^{-152}

10^{-154}

10^{-156}

10^{-158}

10^{-160}

10^{-162}

10^{-164}

10^{-166}

10^{-168}

10^{-170}

10^{-172}

10^{-174}

10^{-176}

10^{-178}

10^{-180}

10^{-182}

10^{-184}

10^{-186}

10^{-188}

10^{-190}

10^{-192}

10^{-194}

10^{-196}

10^{-198}

10^{-200}

10^{-202}

10^{-204}

10^{-206}

10^{-208}

10^{-210}

10^{-212}

10^{-214}

10^{-216}

10^{-218}

10^{-220}

10^{-222}

10^{-224}

10^{-226}

10^{-228}

10^{-230}

10^{-232}

10^{-234}

10^{-236}

10^{-238}

10^{-240}

10^{-242}

10^{-244}

10^{-246}

10^{-248}

10^{-250}

10^{-252}

10^{-254}

10^{-256}

10^{-258}

10^{-260}

10^{-262}

10^{-264}

10^{-266}

10^{-268}

10^{-270}

10^{-272}

10^{-274}

10^{-276}

10^{-278}

10^{-280}

10^{-282}

10^{-284}

10^{-286}

10^{-288}

10^{-290}

10^{-292}

10^{-294}

10^{-296}

10^{-298}

10^{-300}

10^{-302}

10^{-304}

10^{-306}

10^{-308}

10^{-310}

10^{-312}

10^{-314}

10^{-316}

10^{-318}

10^{-320}

10^{-322}

10^{-324}

10^{-326}

10^{-328}

10^{-330}

10^{-332}

10^{-334}

10^{-336}

10^{-338}

10^{-340}

10^{-342}

10^{-344}

10^{-346}

10^{-348}

10^{-350}

10^{-352}

10^{-354}

10^{-356}

10^{-358}

10^{-360}

10^{-362}

10^{-364}

10^{-366}

10^{-368}

10^{-370}

10^{-372}

10^{-374}

10^{-376}

10^{-378}

10^{-380}

10^{-382}

10^{-384}

10^{-386}

10^{-388}

10^{-390}

10^{-392}

10^{-394}

10^{-396}

10^{-398}

10^{-400}

10^{-402}

10^{-404}

10^{-406}

10^{-408}

10^{-410}

10^{-412}

10^{-414}

10^{-416}

10^{-418}

10^{-420}

10^{-422}

10^{-424}

10^{-426}

10^{-428}

10^{-430}

10^{-432}

10^{-434}

10^{-436}

10^{-438}

10^{-440}

10^{-442}

10^{-444}

10^{-446}

10^{-448}

10^{-450}

10^{-452}

10^{-454}

10^{-456}

10^{-458}

10^{-460}

10^{-462}

10^{-464}

10^{-466}

10^{-468}

10^{-470}

10^{-472}

10^{-474}

10^{-476}

10^{-478}

10^{-480}

10^{-482}

10^{-484}

10^{-486}

10^{-488}

10

Gamma multiplicities distribution

n_t_11

Probability

100

20

Neutron energy (eV)

16

multiplicity

4

2.5

2.0

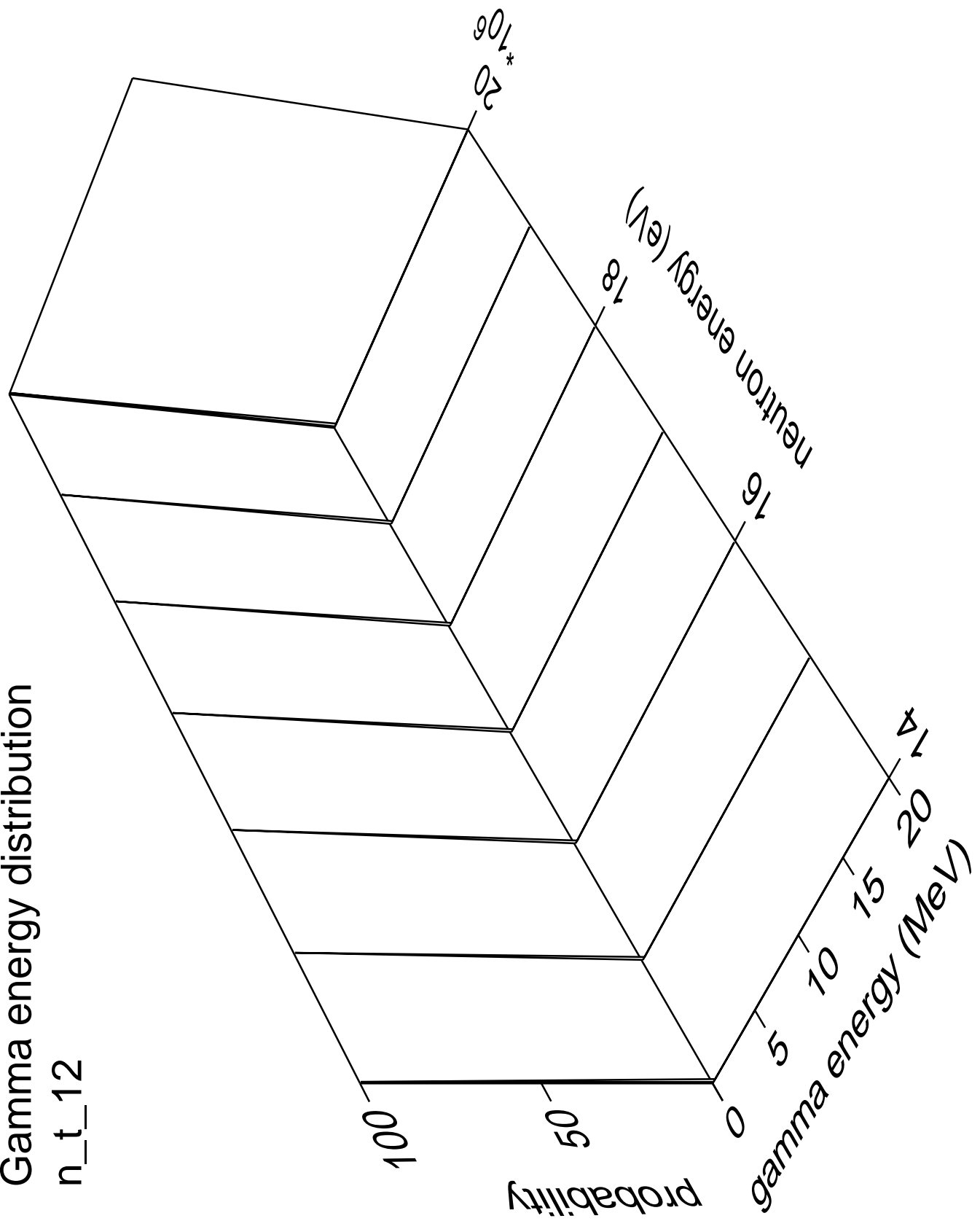
1.5

1.0

0.5

Gamma energy distribution

n_t_12



Gamma angles distribution

$n_{t_{12}}$

Probability

10^0

10^6

10^2

10^8

10^4

10^{-2}

10^{-4}

10^{-6}

10^{-8}

10^{-10}

10^{-12}

10^{-14}

10^{-16}

10^{-18}

10^{-20}

10^{-22}

10^{-24}

10^{-26}

10^{-28}

10^{-30}

10^{-32}

10^{-34}

10^{-36}

10^{-38}

10^{-40}

10^{-42}

10^{-44}

10^{-46}

10^{-48}

10^{-50}

10^{-52}

10^{-54}

10^{-56}

10^{-58}

10^{-60}

10^{-62}

10^{-64}

10^{-66}

10^{-68}

10^{-70}

10^{-72}

10^{-74}

10^{-76}

10^{-78}

10^{-80}

10^{-82}

10^{-84}

10^{-86}

10^{-88}

10^{-90}

10^{-92}

10^{-94}

10^{-96}

10^{-98}

10^{-100}

10^{-102}

10^{-104}

10^{-106}

10^{-108}

10^{-110}

10^{-112}

10^{-114}

10^{-116}

10^{-118}

10^{-120}

10^{-122}

10^{-124}

10^{-126}

10^{-128}

10^{-130}

10^{-132}

10^{-134}

10^{-136}

10^{-138}

10^{-140}

10^{-142}

10^{-144}

10^{-146}

10^{-148}

10^{-150}

10^{-152}

10^{-154}

10^{-156}

10^{-158}

10^{-160}

10^{-162}

10^{-164}

10^{-166}

10^{-168}

10^{-170}

10^{-172}

10^{-174}

10^{-176}

10^{-178}

10^{-180}

10^{-182}

10^{-184}

10^{-186}

10^{-188}

10^{-190}

10^{-192}

10^{-194}

10^{-196}

10^{-198}

10^{-200}

10^{-202}

10^{-204}

10^{-206}

10^{-208}

10^{-210}

10^{-212}

10^{-214}

10^{-216}

10^{-218}

10^{-220}

10^{-222}

10^{-224}

10^{-226}

10^{-228}

10^{-230}

10^{-232}

10^{-234}

10^{-236}

10^{-238}

10^{-240}

10^{-242}

10^{-244}

10^{-246}

10^{-248}

10^{-250}

10^{-252}

10^{-254}

10^{-256}

10^{-258}

10^{-260}

10^{-262}

10^{-264}

10^{-266}

10^{-268}

10^{-270}

10^{-272}

10^{-274}

10^{-276}

10^{-278}

10^{-280}

10^{-282}

10^{-284}

10^{-286}

10^{-288}

10^{-290}

10^{-292}

10^{-294}

10^{-296}

10^{-298}

10^{-300}

10^{-302}

10^{-304}

10^{-306}

10^{-308}

10^{-310}

10^{-312}

10^{-314}

10^{-316}

10^{-318}

10^{-320}

10^{-322}

10^{-324}

10^{-326}

10^{-328}

10^{-330}

10^{-332}

10^{-334}

10^{-336}

10^{-338}

10^{-340}

10^{-342}

10^{-344}

10^{-346}

10^{-348}

10^{-350}

10^{-352}

10^{-354}

10^{-356}

10^{-358}

10^{-360}

10^{-362}

10^{-364}

10^{-366}

10^{-368}

10^{-370}

10^{-372}

10^{-374}

10^{-376}

10^{-378}

10^{-380}

10^{-382}

10^{-384}

10^{-386}

10^{-388}

10^{-390}

10^{-392}

10^{-394}

10^{-396}

10^{-398}

10^{-400}

10^{-402}

10^{-404}

10^{-406}

10^{-408}

10^{-410}

10^{-412}

10^{-414}

10^{-416}

10^{-418}

10^{-420}

10^{-422}

10^{-424}

10^{-426}

10^{-428}

10^{-430}

10^{-432}

10^{-434}

10^{-436}

10^{-438}

10^{-440}

10^{-442}

10^{-444}

10^{-446}

10^{-448}

10^{-450}

10^{-452}

10^{-454}

10^{-456}

10^{-458}

10^{-460}

10^{-462}

10^{-464}

10^{-466}

10^{-468}

10^{-470}

10^{-472}

10^{-474}

10^{-476}

10^{-478}

10^{-480}

10^{-482}

10^{-484}

10^{-486}

10^{-488}

10^{-490}

10^{-492}

10^{-494}

10^{-496}

</

Gamma multiplicities distribution

n_t_12

Probability

100

20

Neutron energy (eV)

16

multiplicity

4

2.5

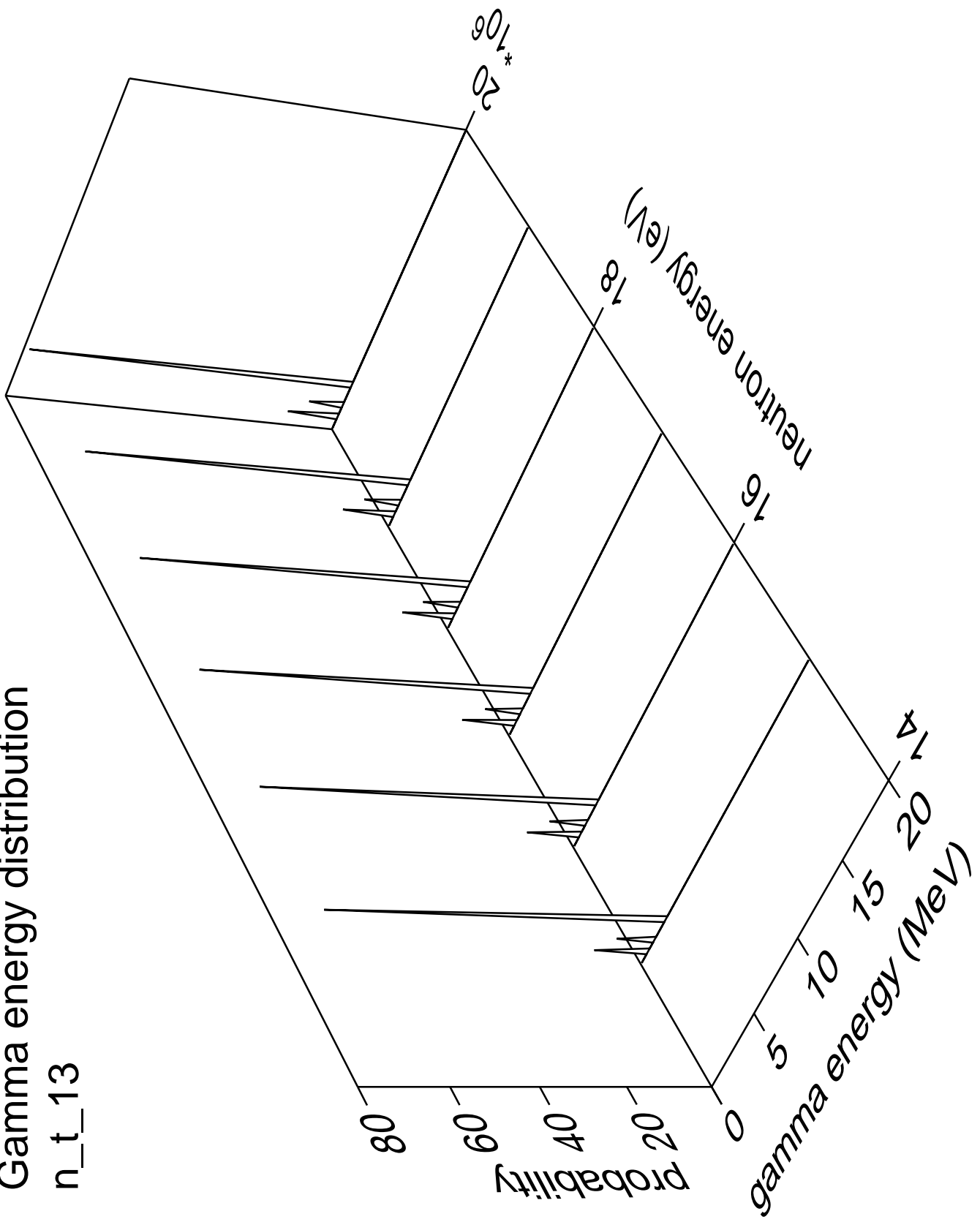
2.0

1.5

1.0

0.5

Gamma energy distribution n_t_{13}



Gamma angles distribution

$n_{t\ 13}$

Probability

10^0

10^6

10^2

10^8

10^{10}

10^{12}

10^{14}

10^{16}

10^{18}

10^{20}

10^{22}

10^{24}

10^{26}

10^{28}

10^{30}

10^{32}

10^{34}

10^{36}

10^{38}

10^{40}

10^{42}

10^{44}

10^{46}

10^{48}

10^{50}

10^{52}

10^{54}

10^{56}

10^{58}

10^{60}

10^{62}

10^{64}

10^{66}

10^{68}

10^{70}

10^{72}

10^{74}

10^{76}

10^{78}

10^{80}

10^{82}

10^{84}

10^{86}

10^{88}

10^{90}

10^{92}

10^{94}

10^{96}

10^{98}

10^{100}

10^{102}

10^{104}

10^{106}

10^{108}

10^{110}

10^{112}

10^{114}

10^{116}

10^{118}

10^{120}

10^{122}

10^{124}

10^{126}

10^{128}

10^{130}

10^{132}

10^{134}

10^{136}

10^{138}

10^{140}

10^{142}

10^{144}

10^{146}

10^{148}

10^{150}

10^{152}

10^{154}

10^{156}

10^{158}

10^{160}

10^{162}

10^{164}

10^{166}

10^{168}

10^{170}

10^{172}

10^{174}

10^{176}

10^{178}

10^{180}

10^{182}

10^{184}

10^{186}

10^{188}

10^{190}

10^{192}

10^{194}

10^{196}

10^{198}

10^{200}

10^{202}

10^{204}

10^{206}

10^{208}

10^{210}

10^{212}

10^{214}

10^{216}

10^{218}

10^{220}

10^{222}

10^{224}

10^{226}

10^{228}

10^{230}

10^{232}

10^{234}

10^{236}

10^{238}

10^{240}

10^{242}

10^{244}

10^{246}

10^{248}

10^{250}

10^{252}

10^{254}

10^{256}

10^{258}

10^{260}

10^{262}

10^{264}

10^{266}

10^{268}

10^{270}

10^{272}

10^{274}

10^{276}

10^{278}

10^{280}

10^{282}

10^{284}

10^{286}

10^{288}

10^{290}

10^{292}

10^{294}

10^{296}

10^{298}

10^{300}

10^{302}

10^{304}

10^{306}

10^{308}

10^{310}

10^{312}

10^{314}

10^{316}

10^{318}

10^{320}

10^{322}

10^{324}

10^{326}

10^{328}

10^{330}

10^{332}

10^{334}

10^{336}

10^{338}

10^{340}

10^{342}

10^{344}

10^{346}

10^{348}

10^{350}

10^{352}

10^{354}

10^{356}

10^{358}

10^{360}

10^{362}

10^{364}

10^{366}

10^{368}

10^{370}

10^{372}

10^{374}

10^{376}

10^{378}

10^{380}

10^{382}

10^{384}

10^{386}

10^{388}

10^{390}

10^{392}

10^{394}

10^{396}

10^{398}

10^{400}

10^{402}

10^{404}

10^{406}

10^{408}

10^{410}

10^{412}

10^{414}

10^{416}

10^{418}

10^{420}

10^{422}

10^{424}

10^{426}

10^{428}

10^{430}

10^{432}

10^{434}

10^{436}

10^{438}

10^{440}

10^{442}

10^{444}

10^{446}

10^{448}

10^{450}

10^{452}

10^{454}

10^{456}

10^{458}

10^{460}

10^{462}

10^{464}

10^{466}

10^{468}

10^{470}

10^{472}

10^{474}

10^{476}

10^{478}

10^{480}

10^{482}

10^{484}

10^{486}

10^{488}

10^{490}

10^{492}

10^{494}

10^{496}

10^{498}

10^{500}

10^{502}

10^{504}

10^{506}

10^{508}

10^{510}

10^{512}

10^{514}

10^{516}

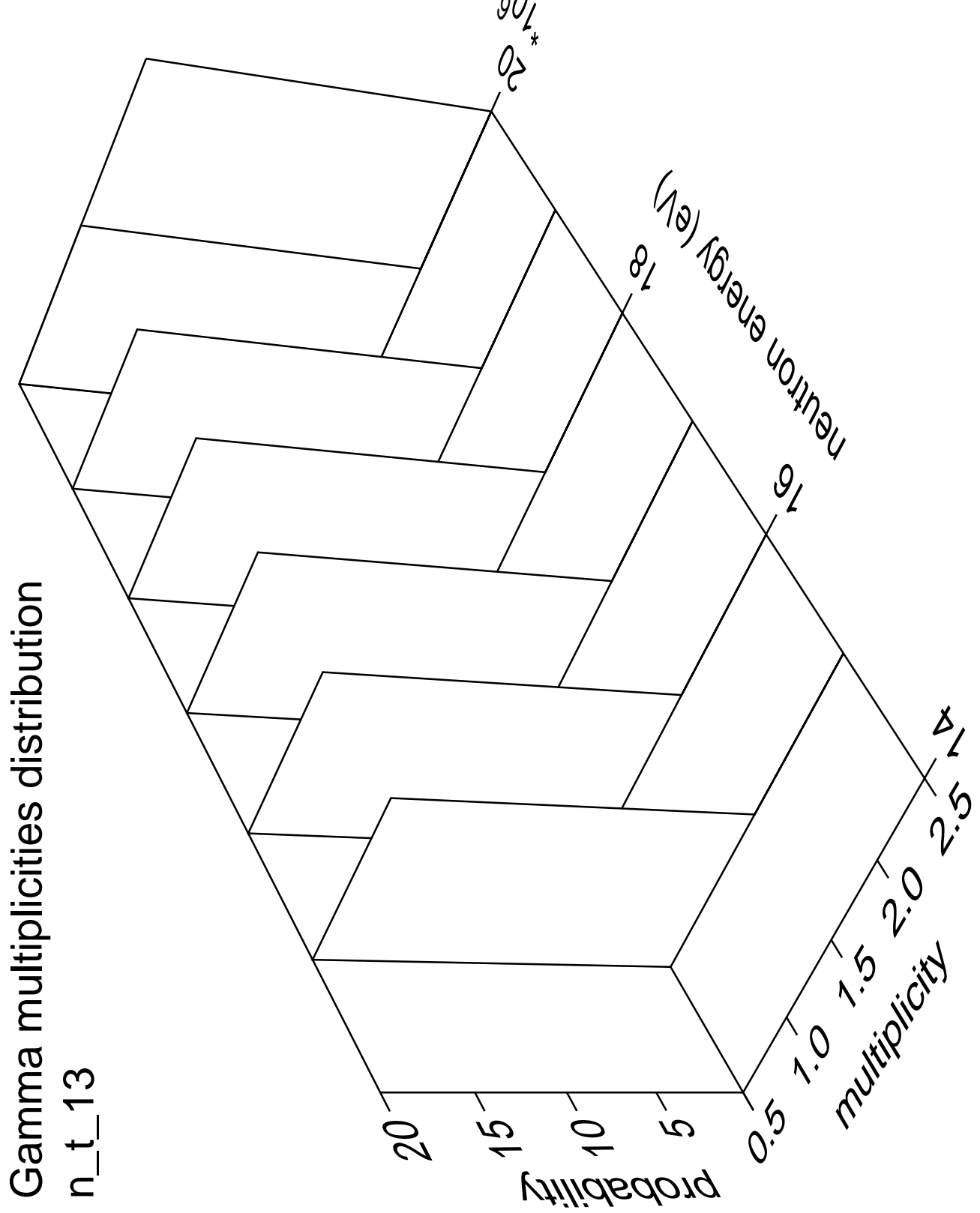
10^{518}

10^{520}

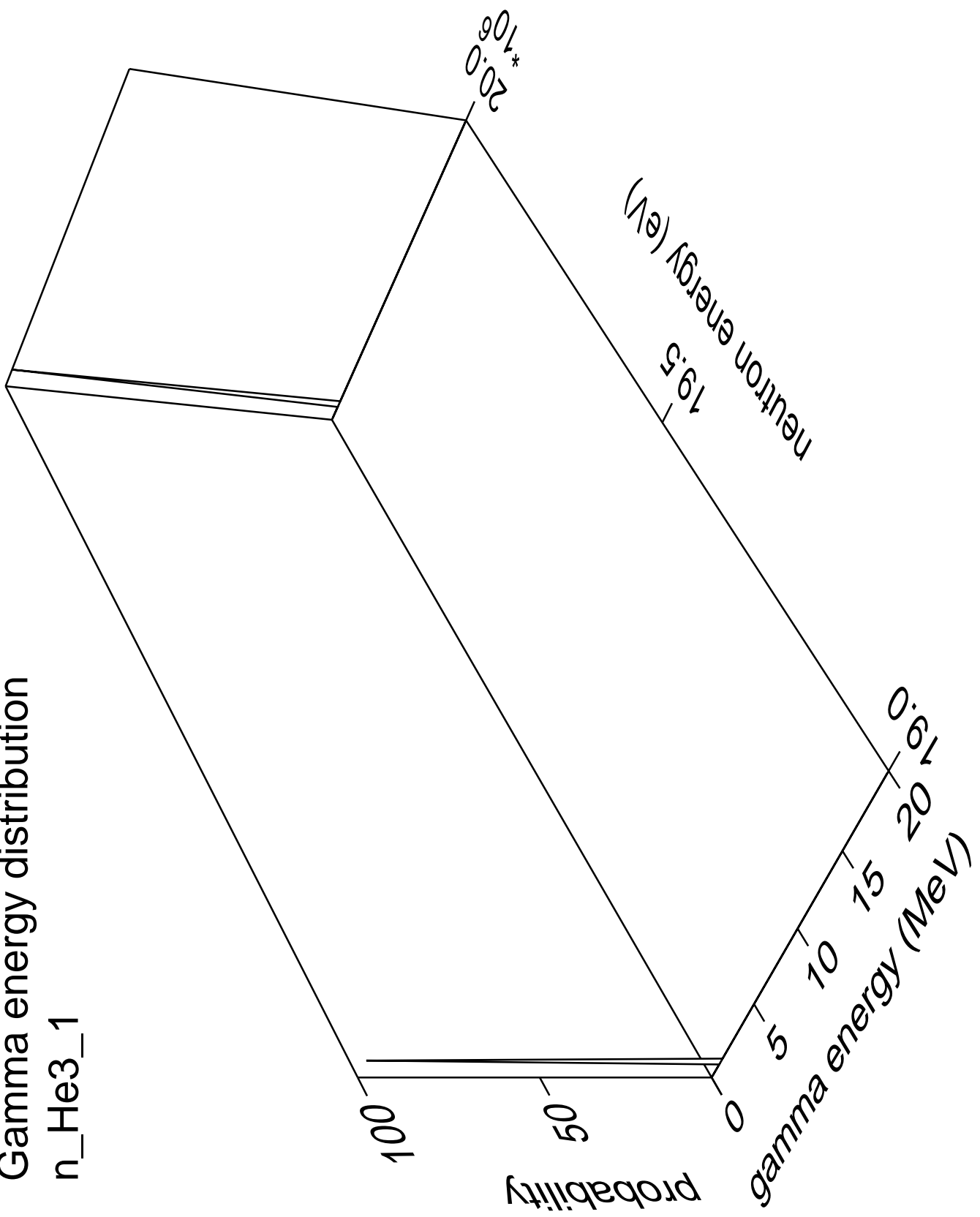
10^{522}

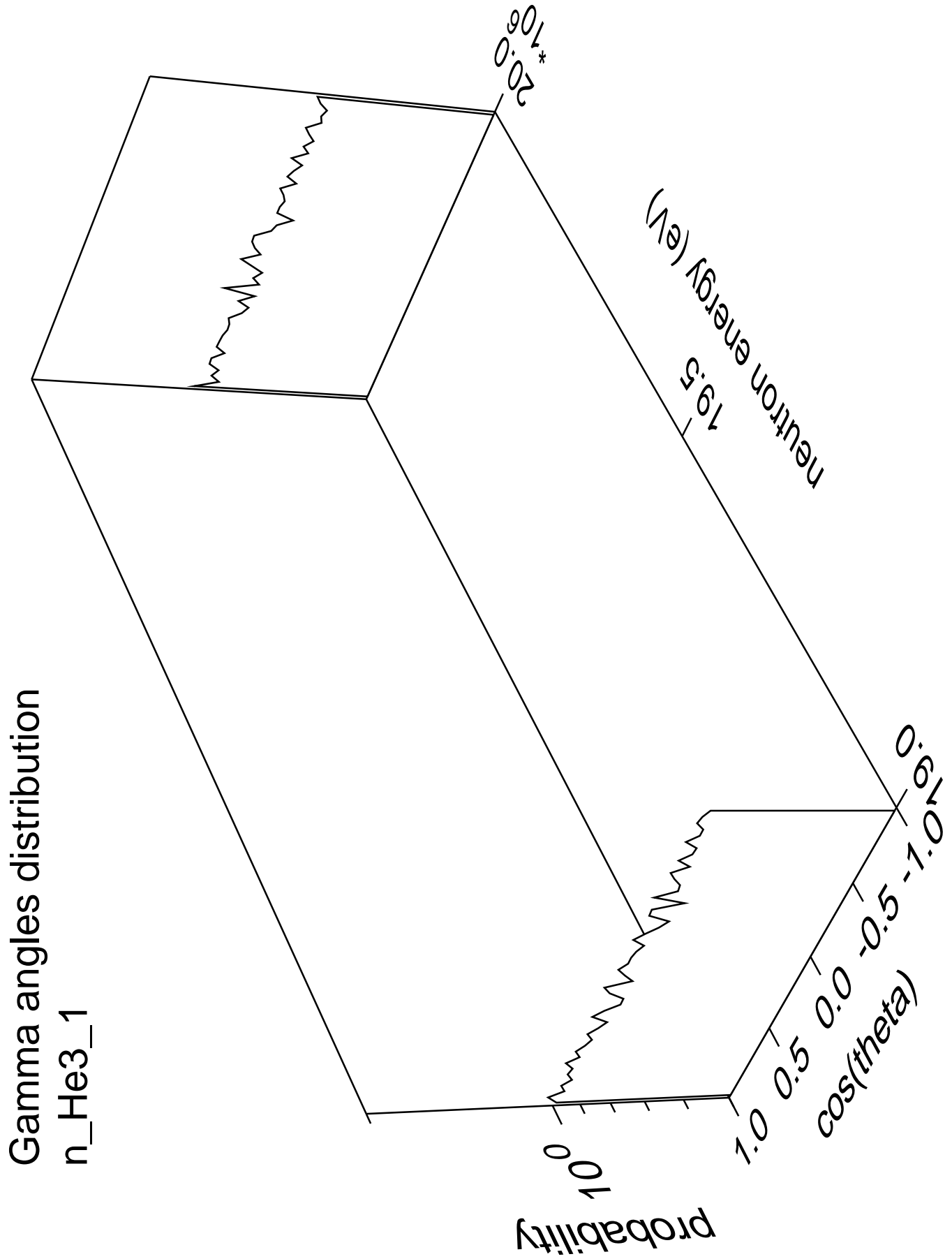
10^{524}

10^{526}

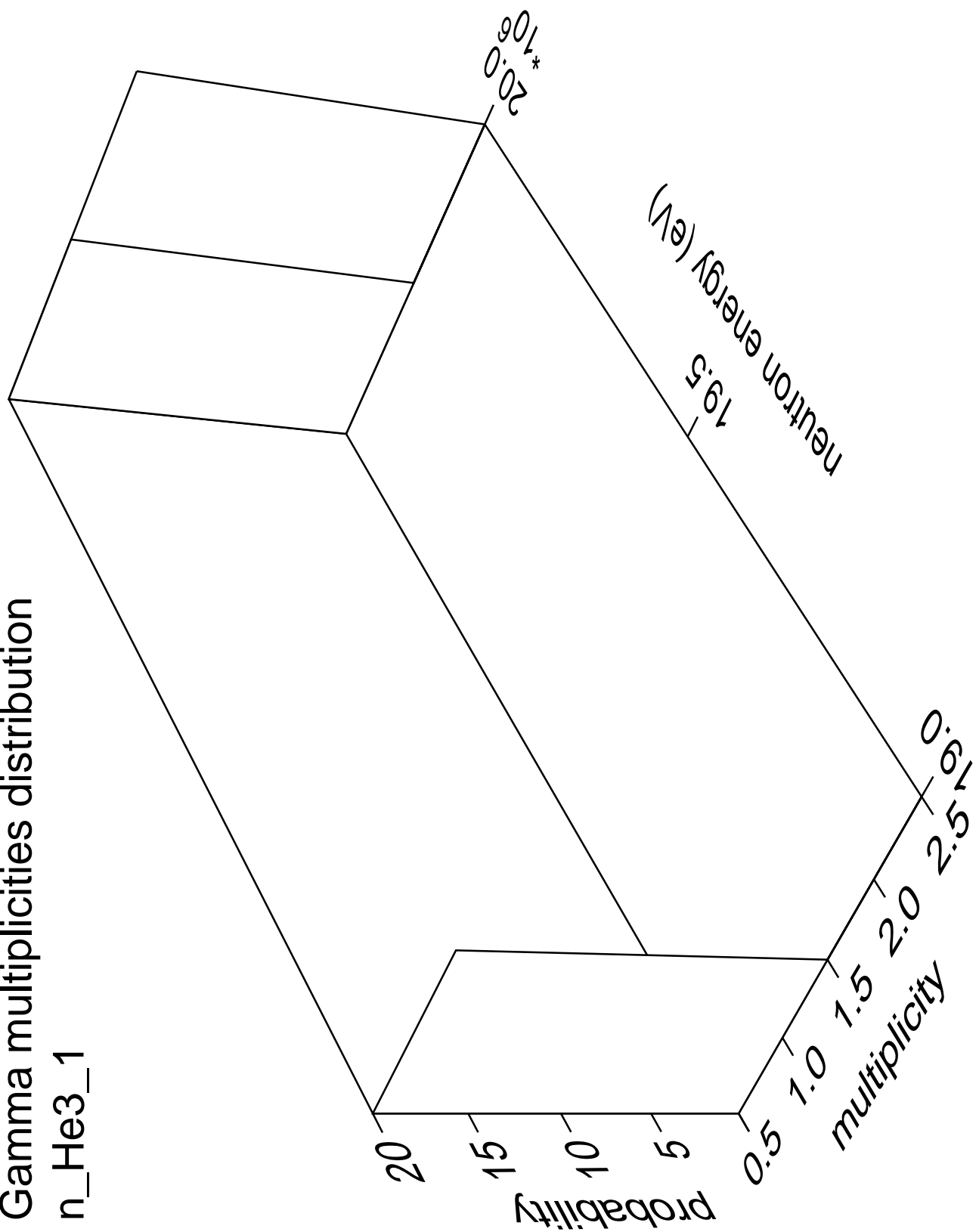


Gamma energy distribution n_{He3} _1

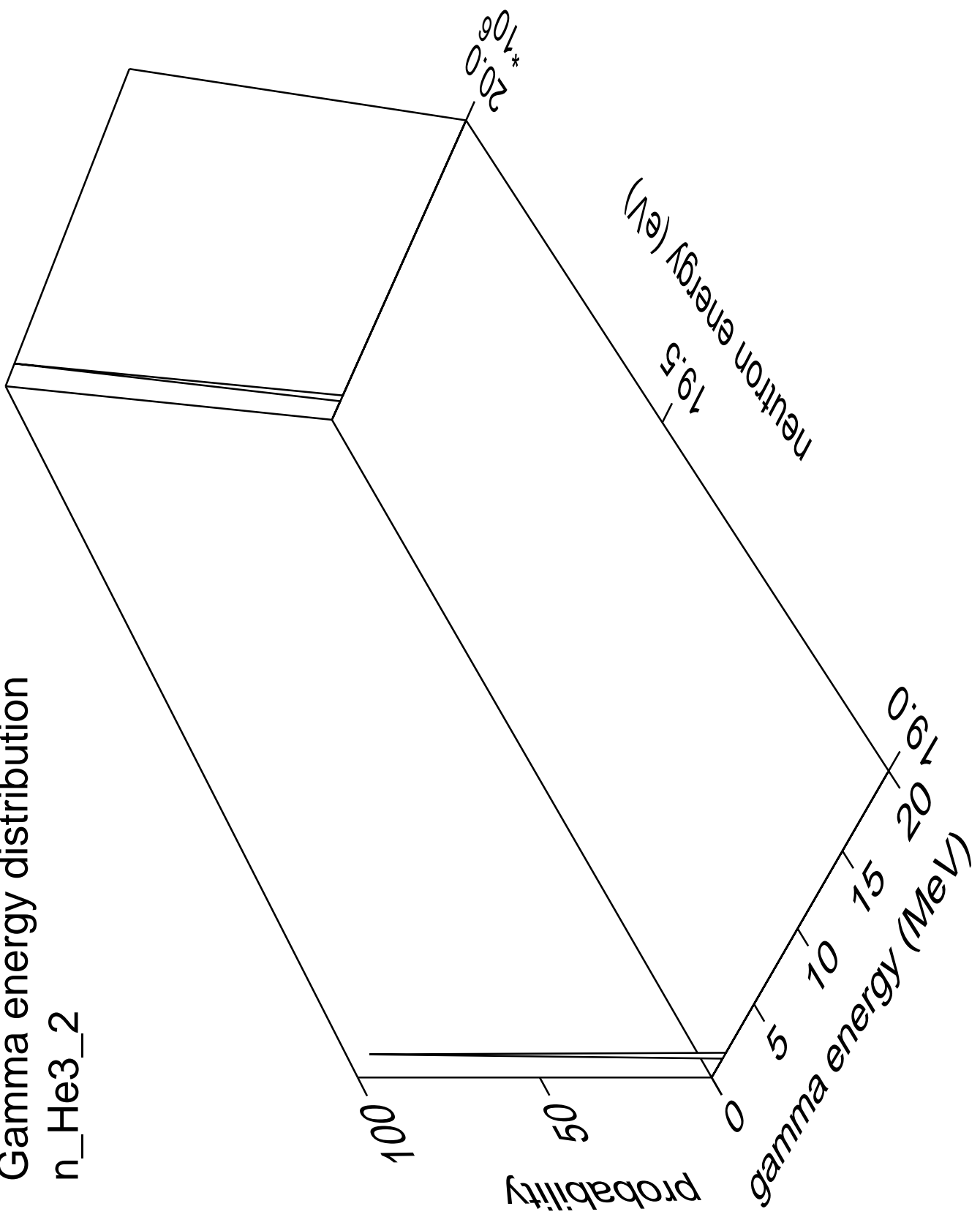




Gamma multiplicities distribution $n_{\text{He3_1}}$



Gamma energy distribution n_He3_2



Gamma angles distribution

n_He3_2

Probability

10^0

$\cos(\theta)$

1.0

0.5

0.0

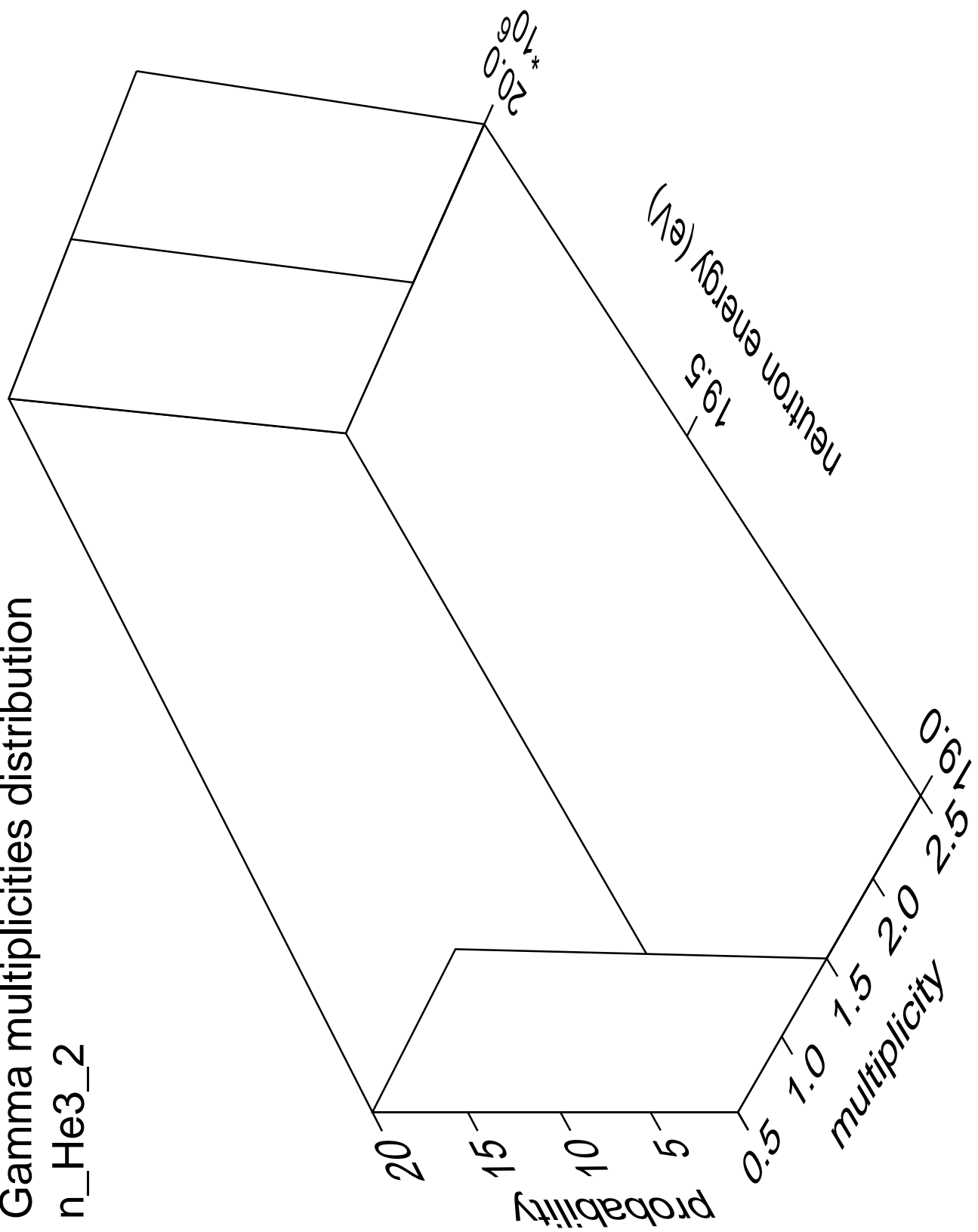
-0.5

-1.0

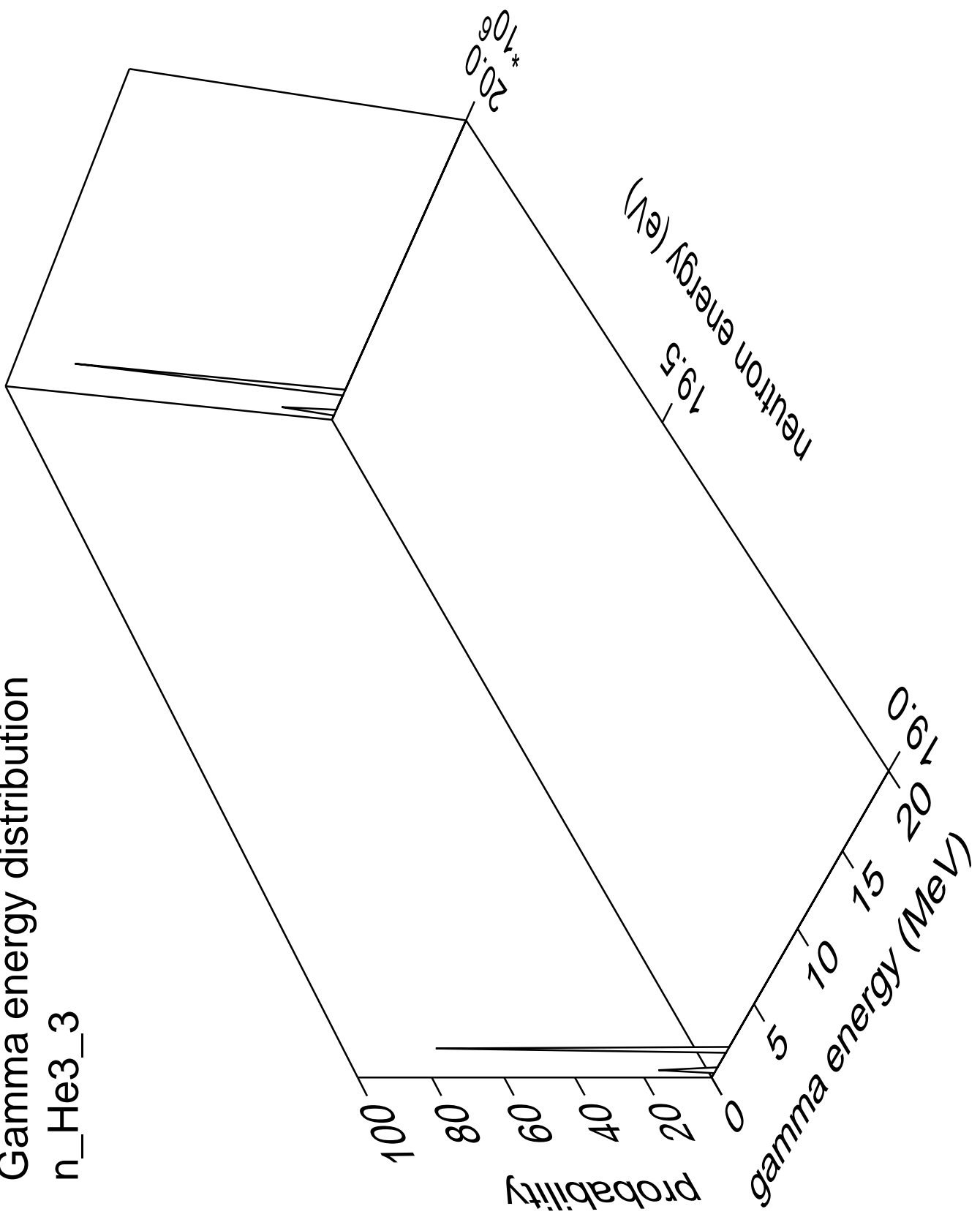
Neutron energy (eV)

20.0×10^6

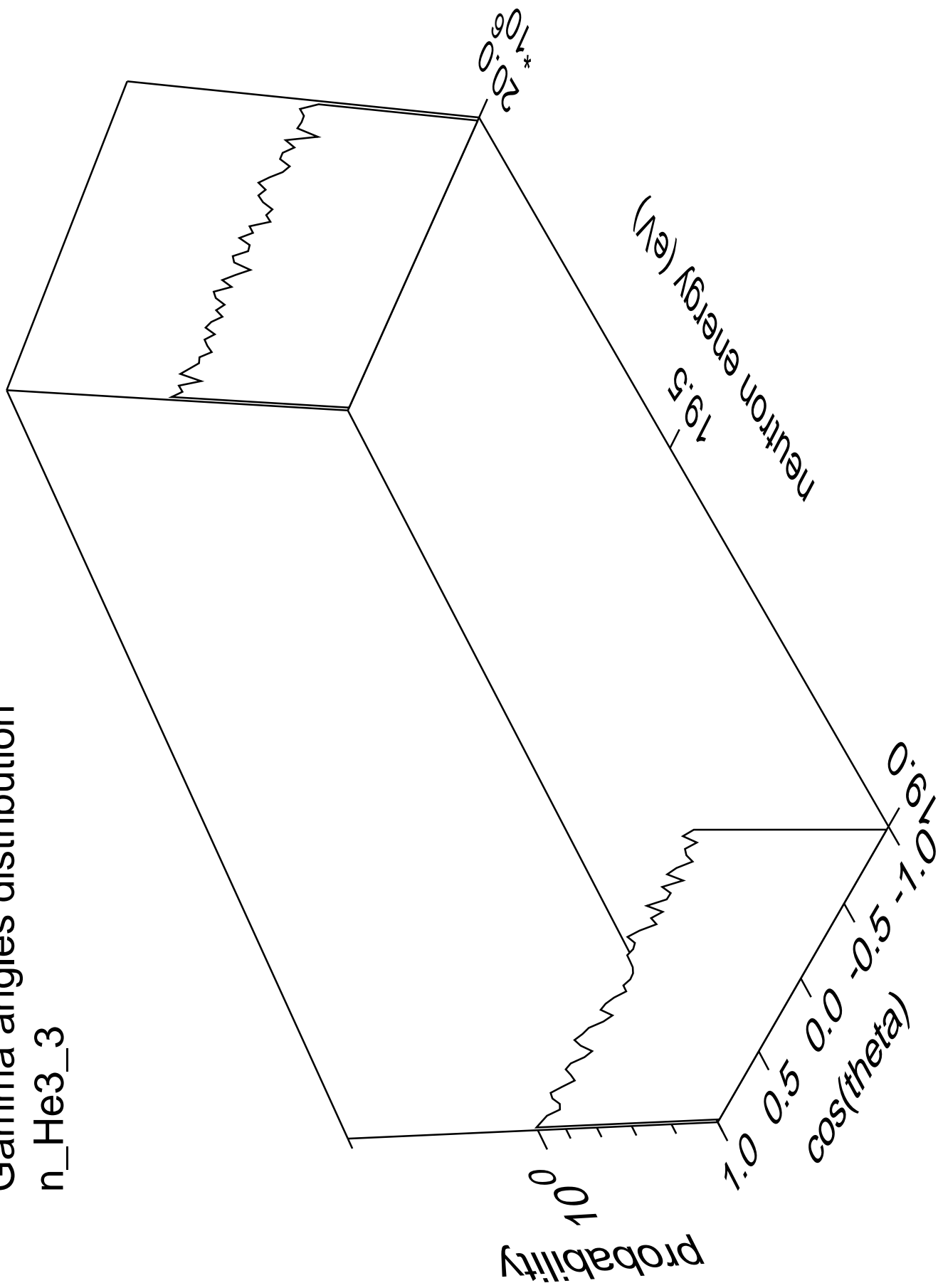
Gamma multiplicities distribution n_He3_2



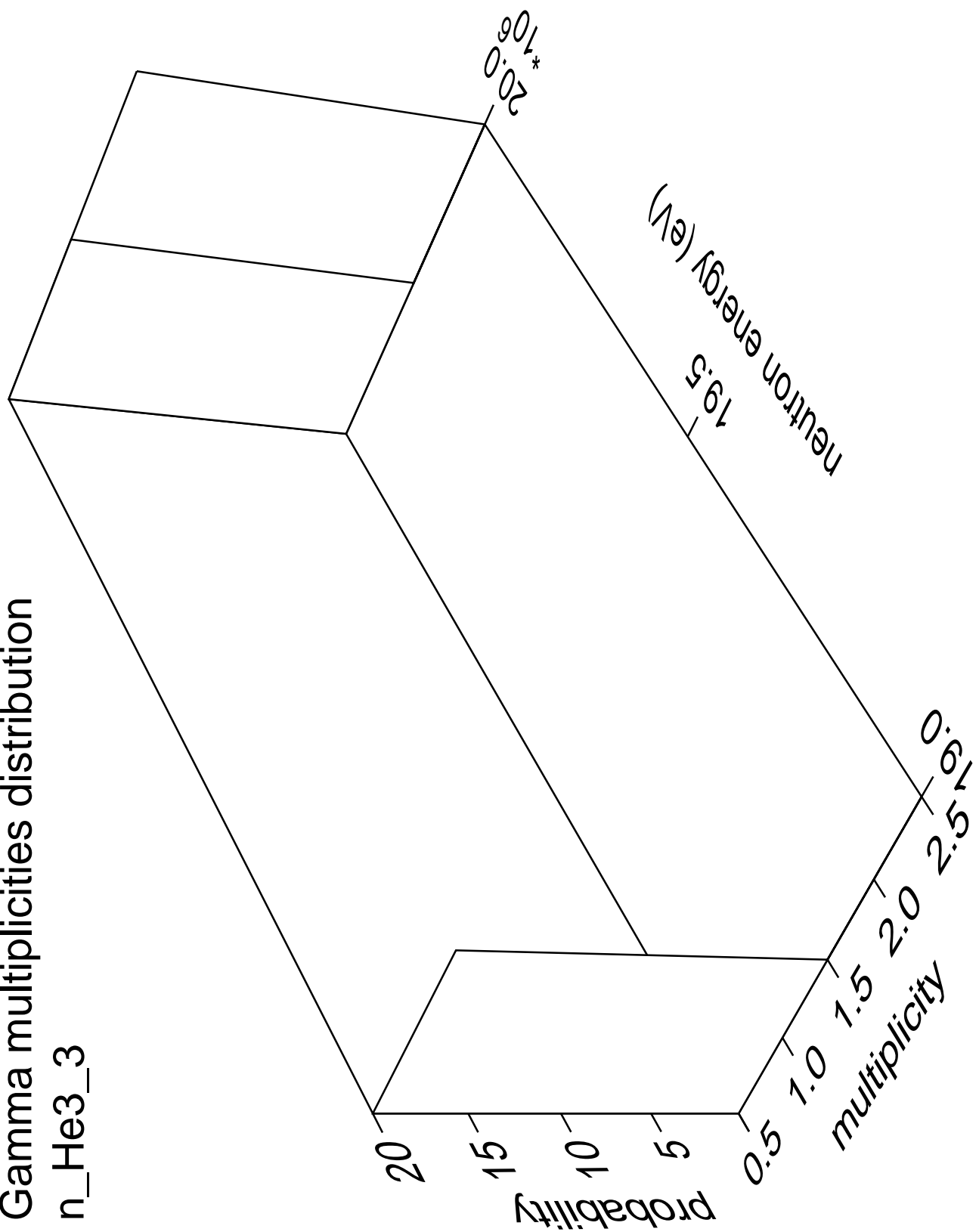
Gamma energy distribution n_He3_3



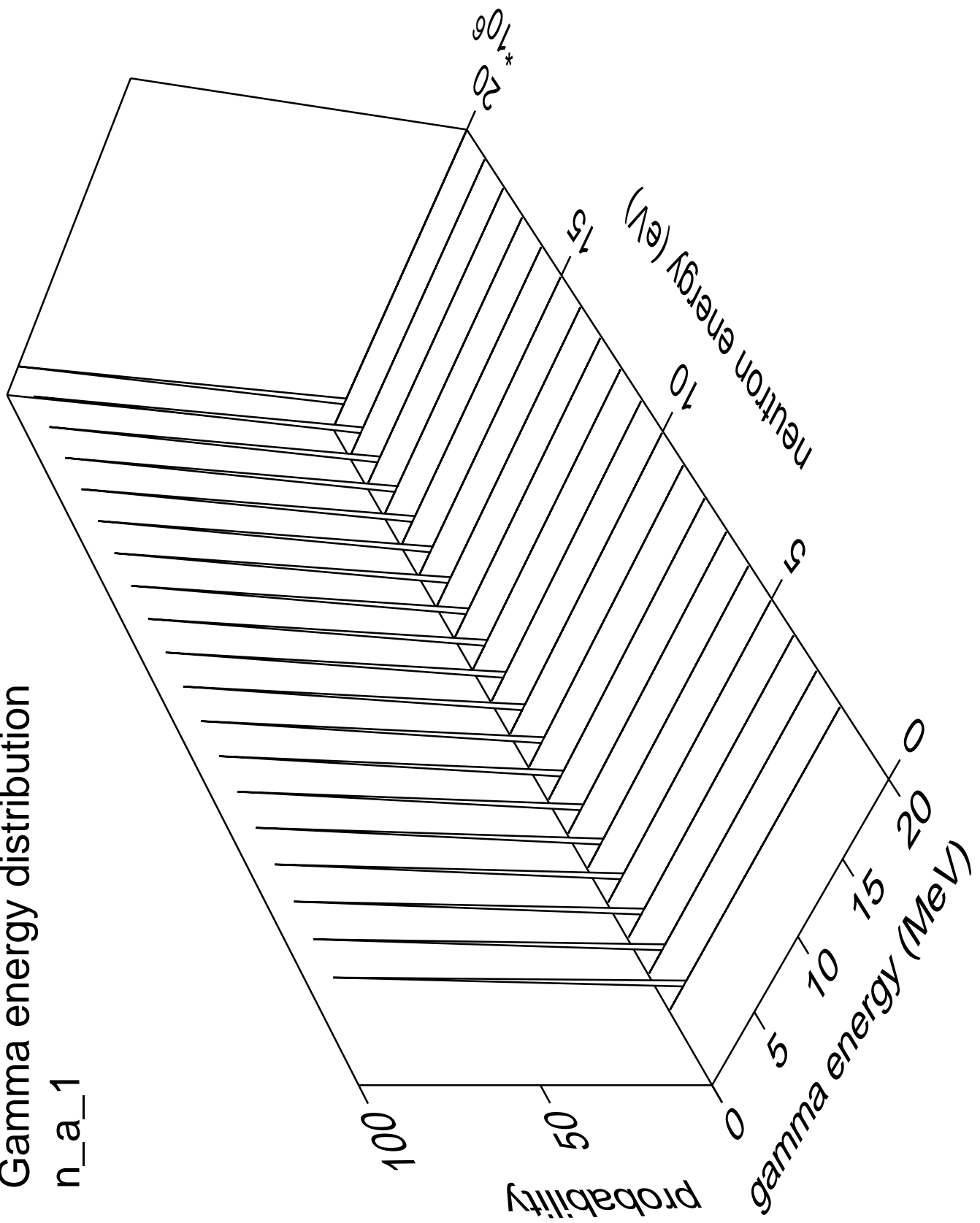
Gamma angles distribution n_He3_3



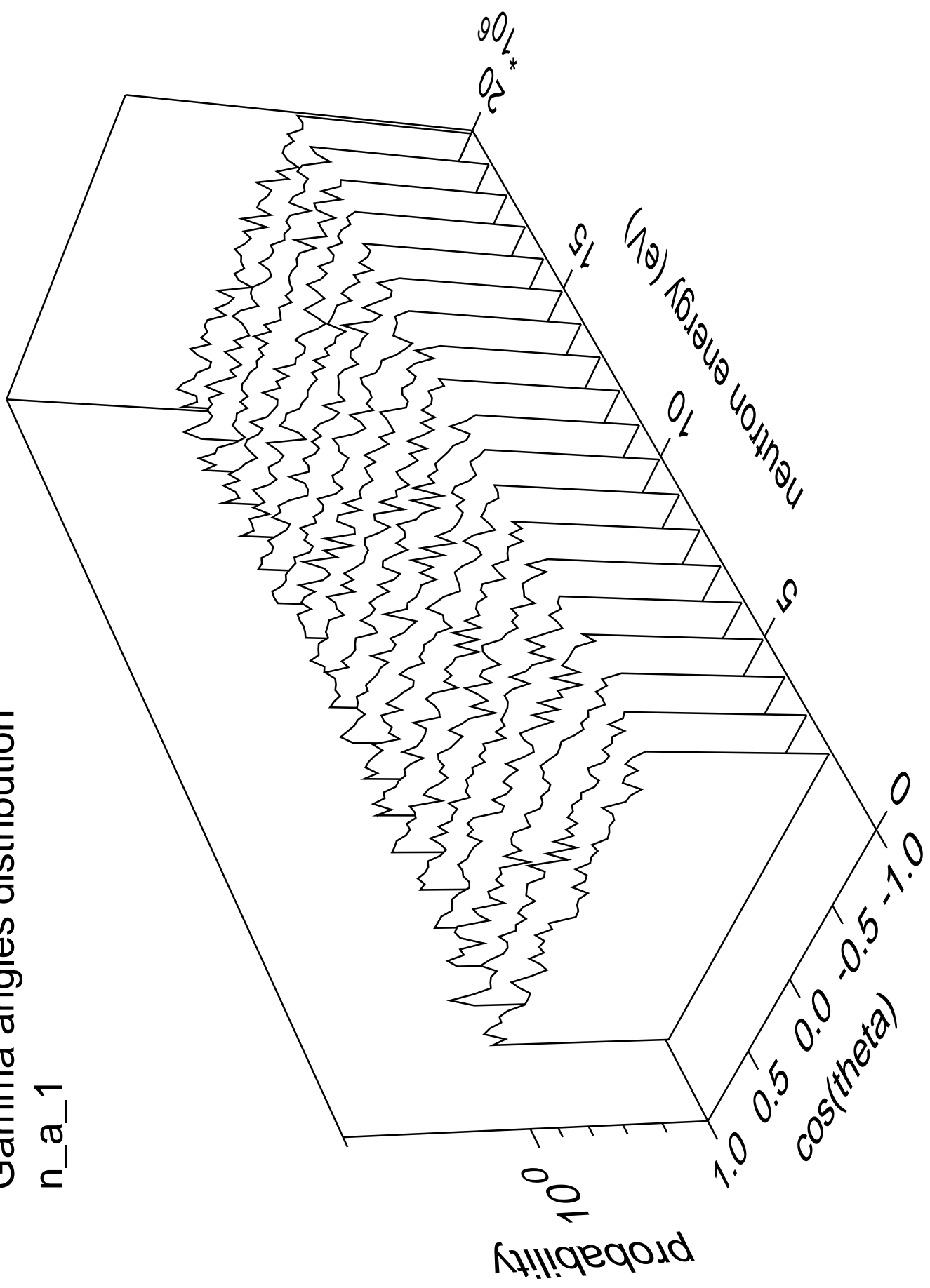
Gamma multiplicities distribution n_He3_3

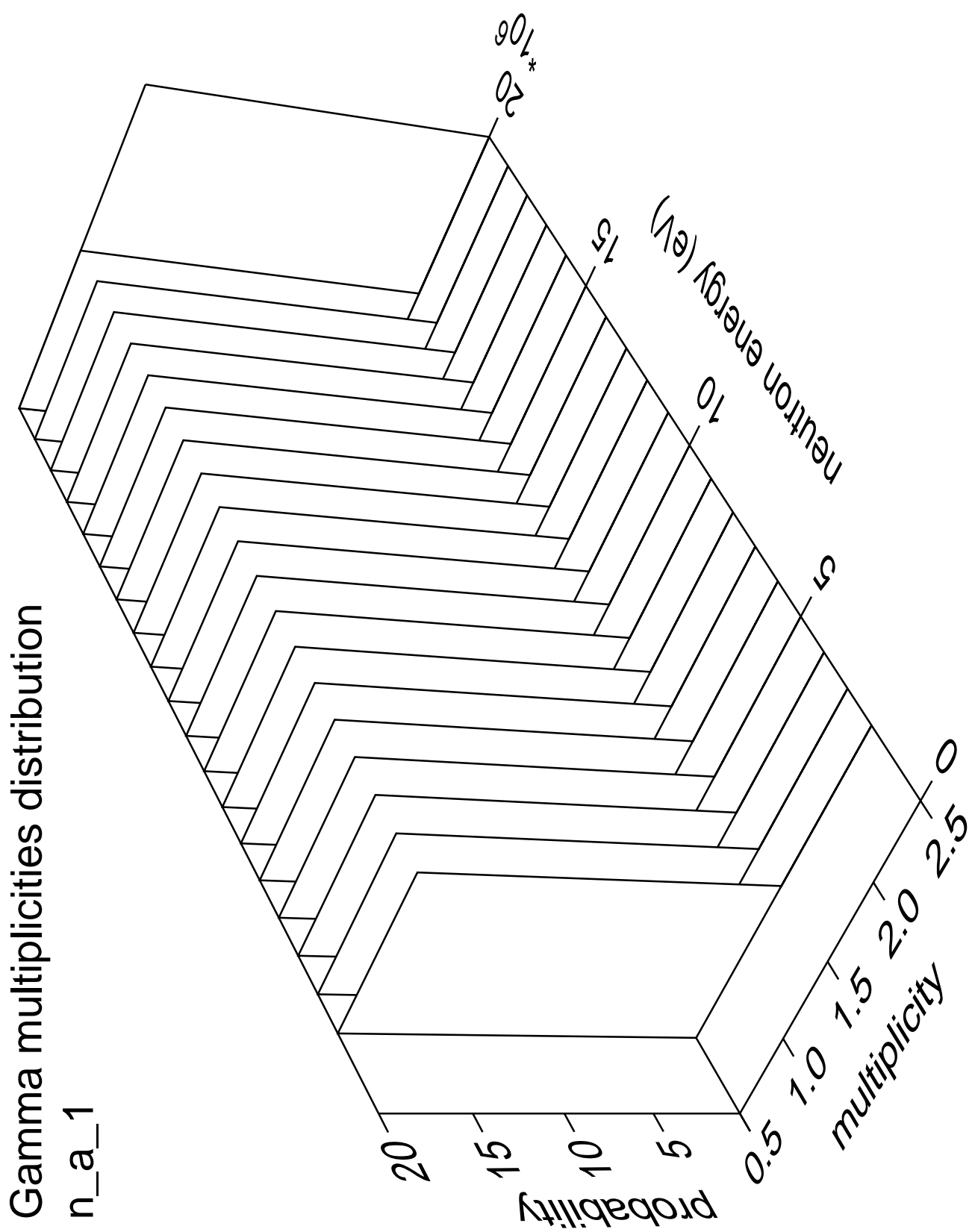


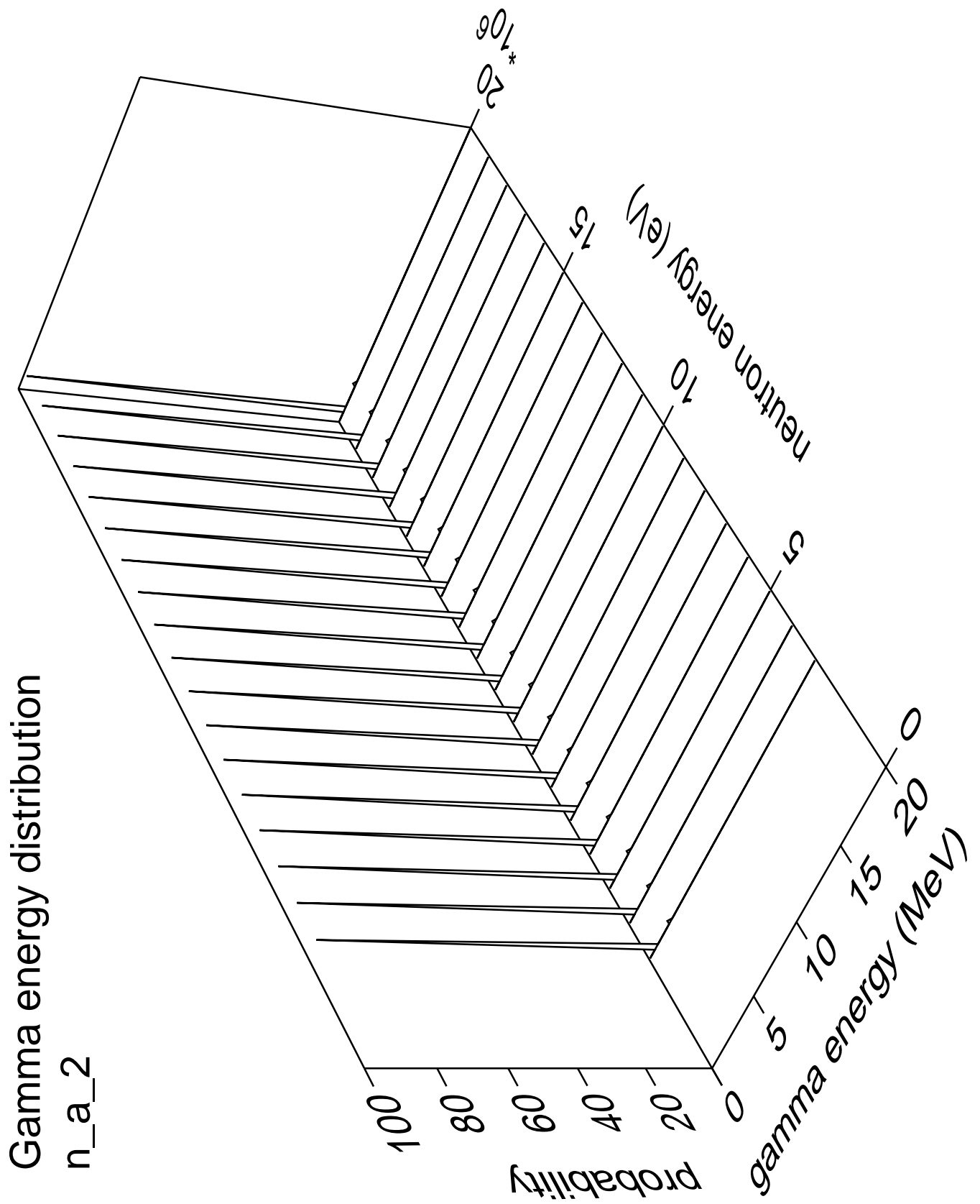
Gamma energy distribution
n_a_1



Gamma angles distribution

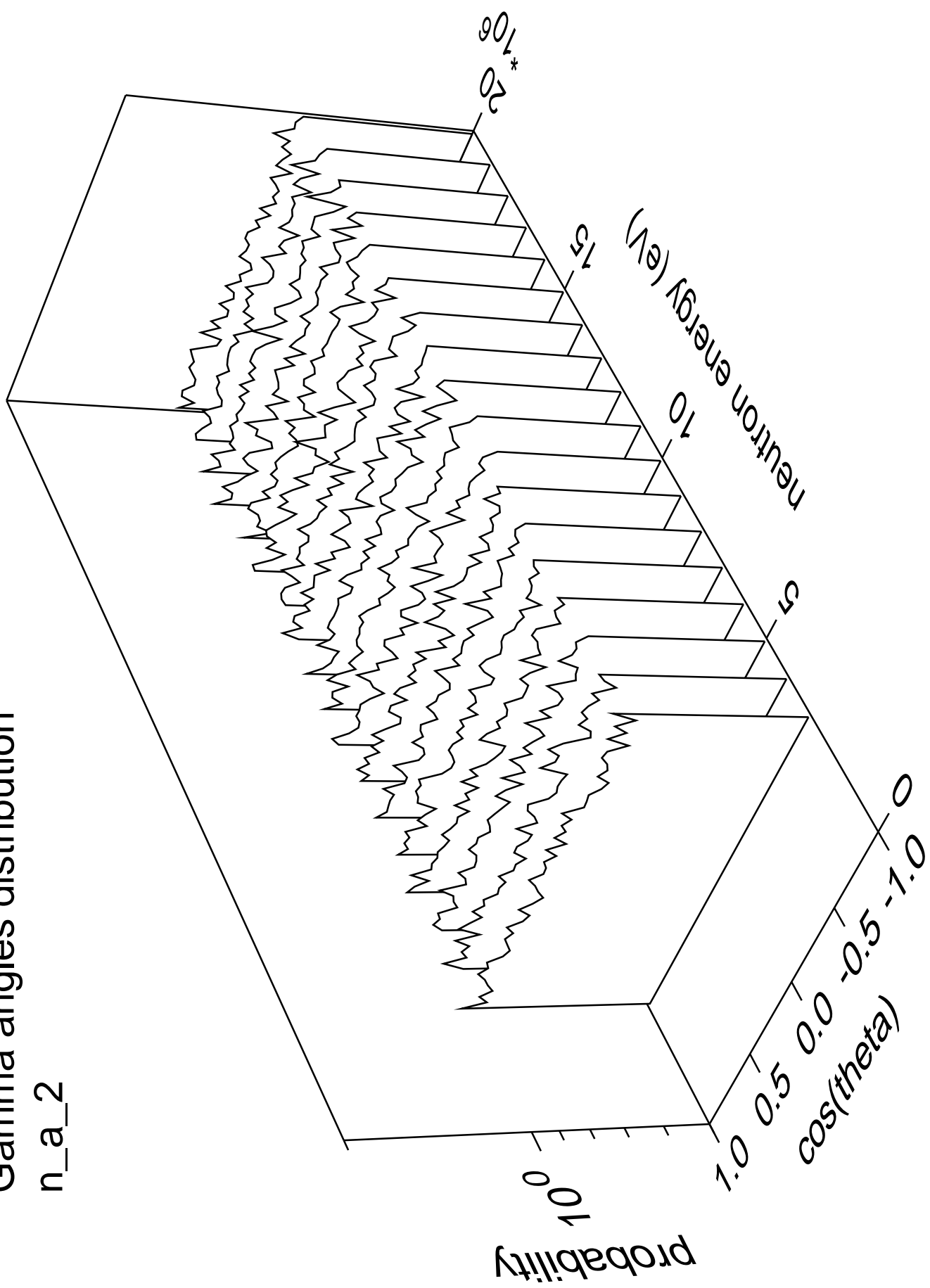


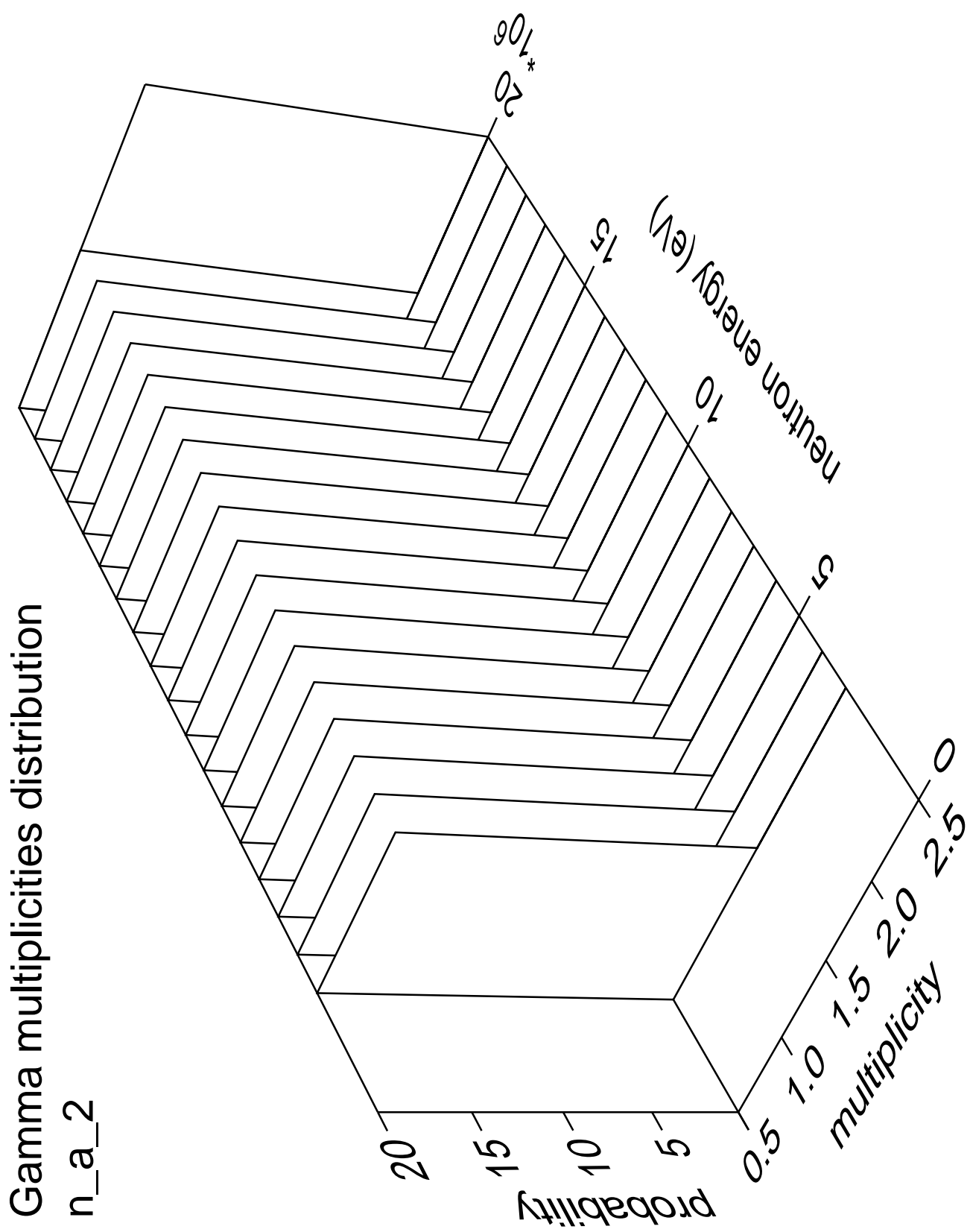




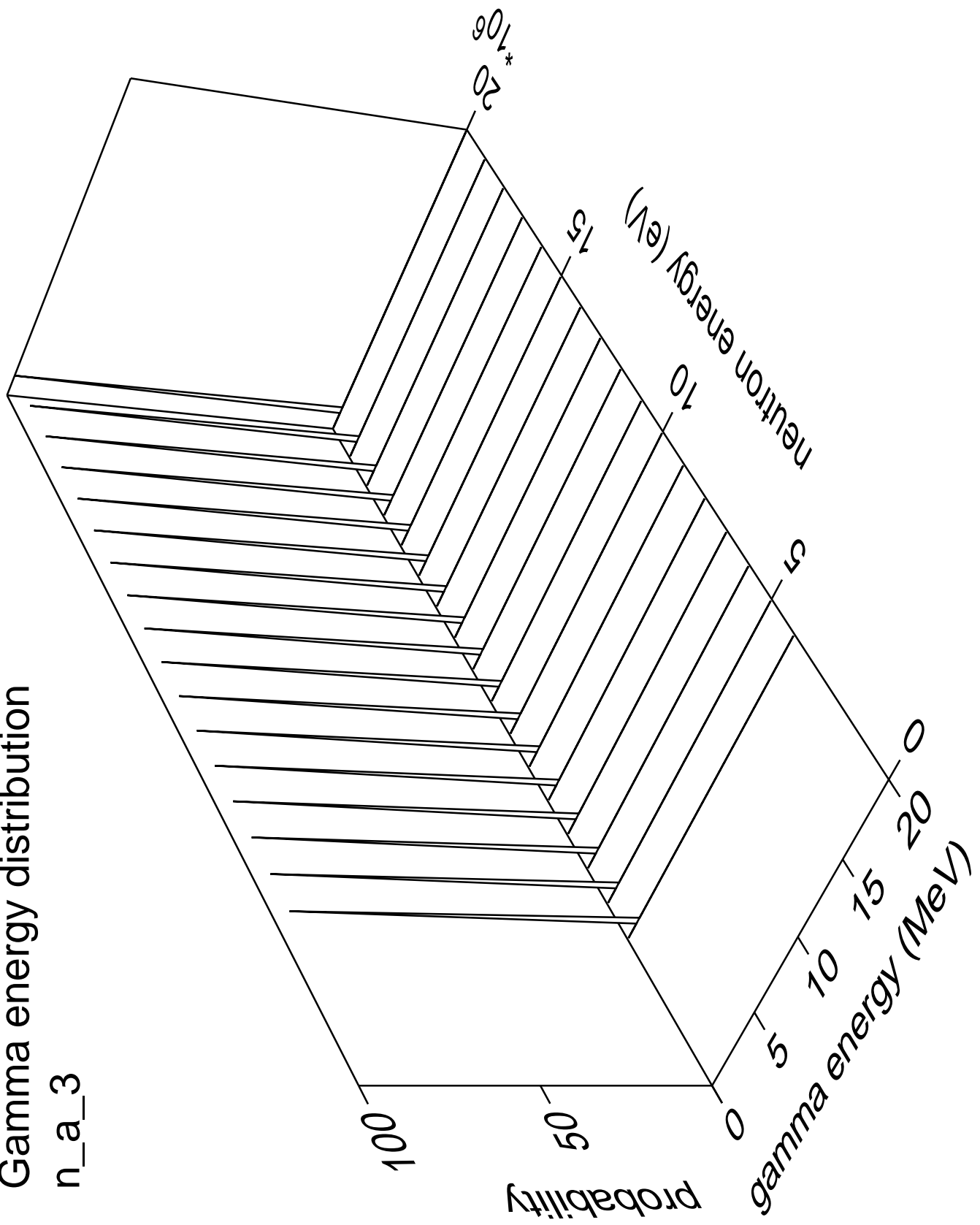
Gamma angles distribution

n_a_2



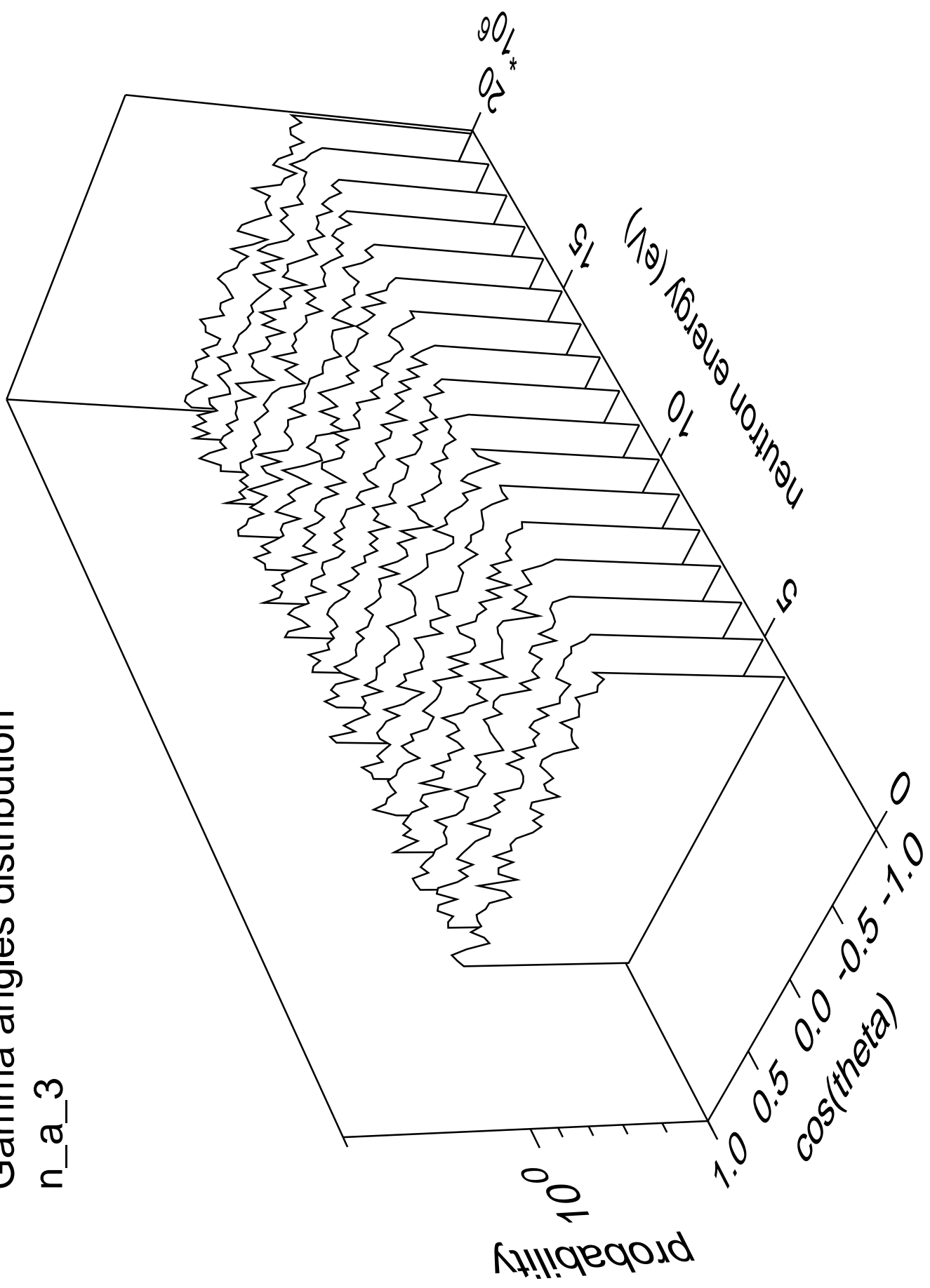


Gamma energy distribution
n_a_3

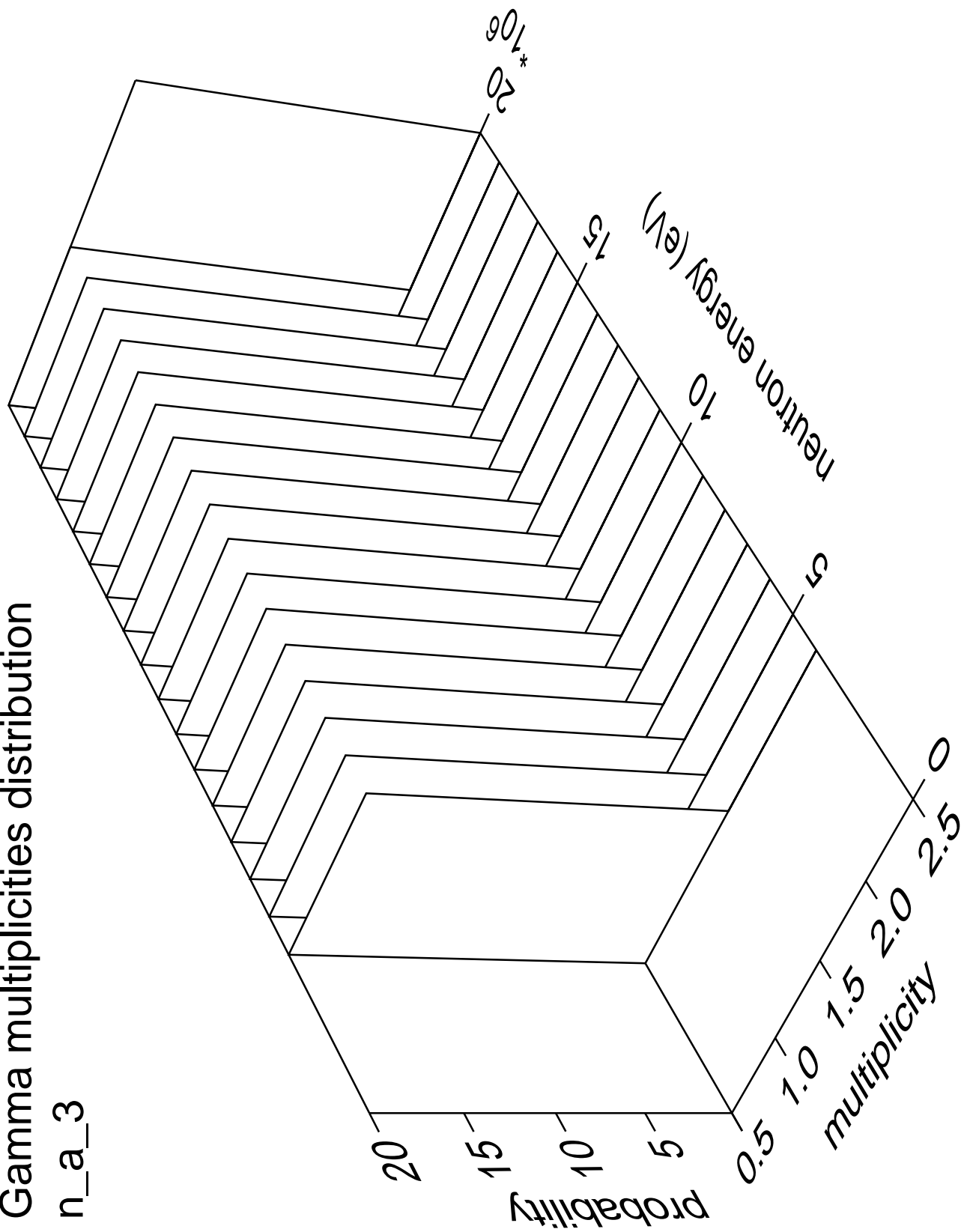


Gamma angles distribution

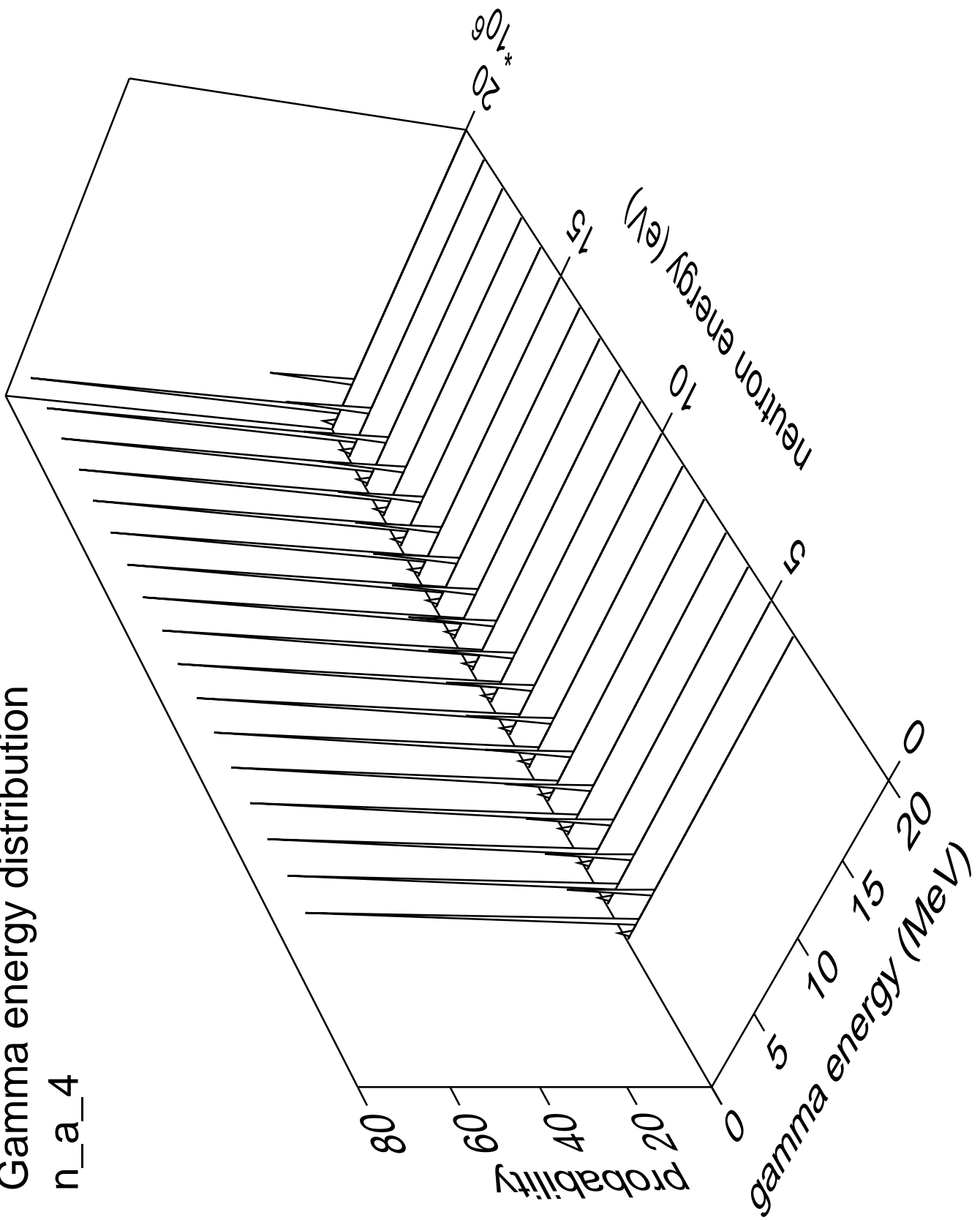
n_a_3



Gamma multiplicities distribution

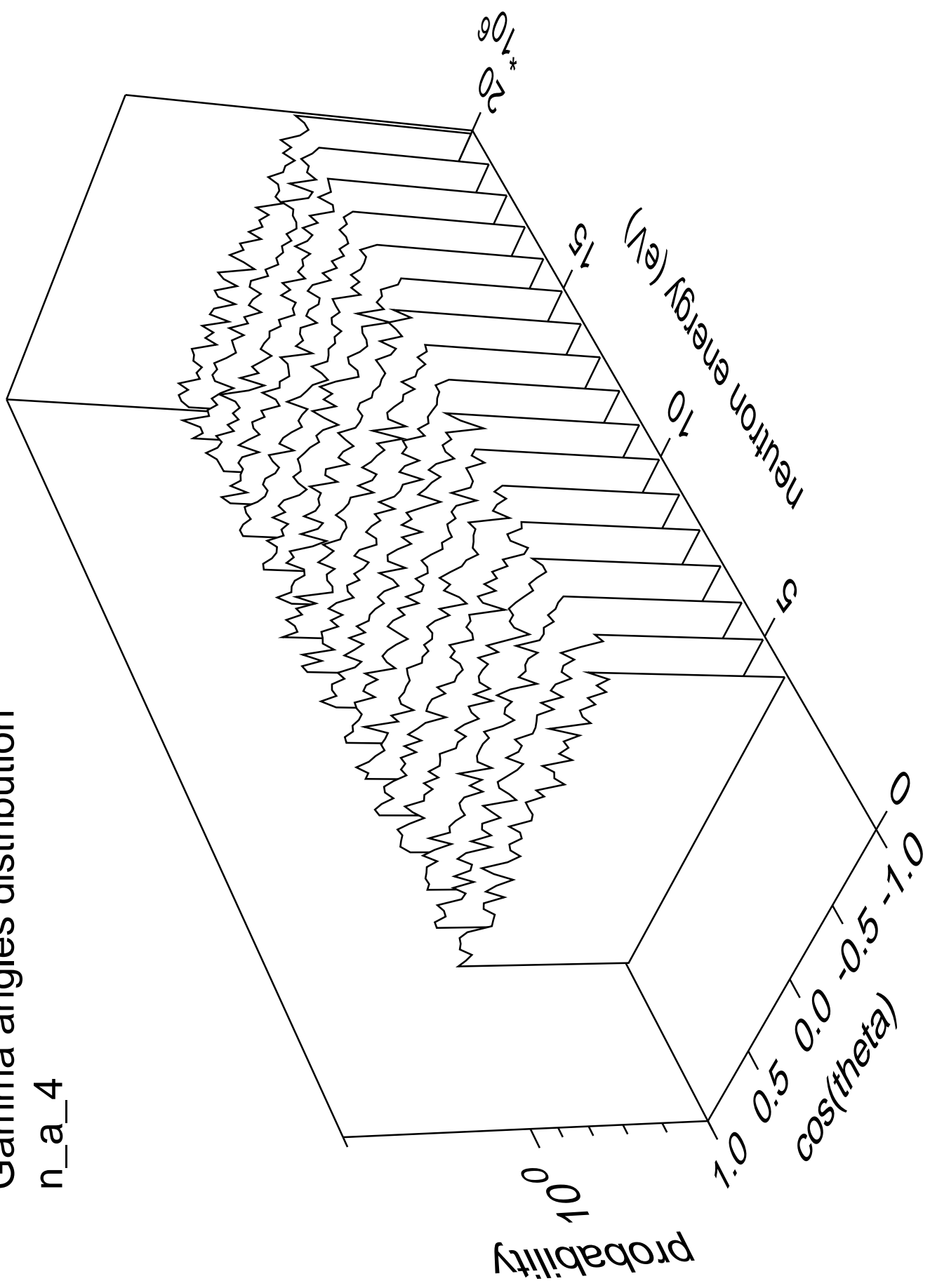


Gamma energy distribution n_a_4

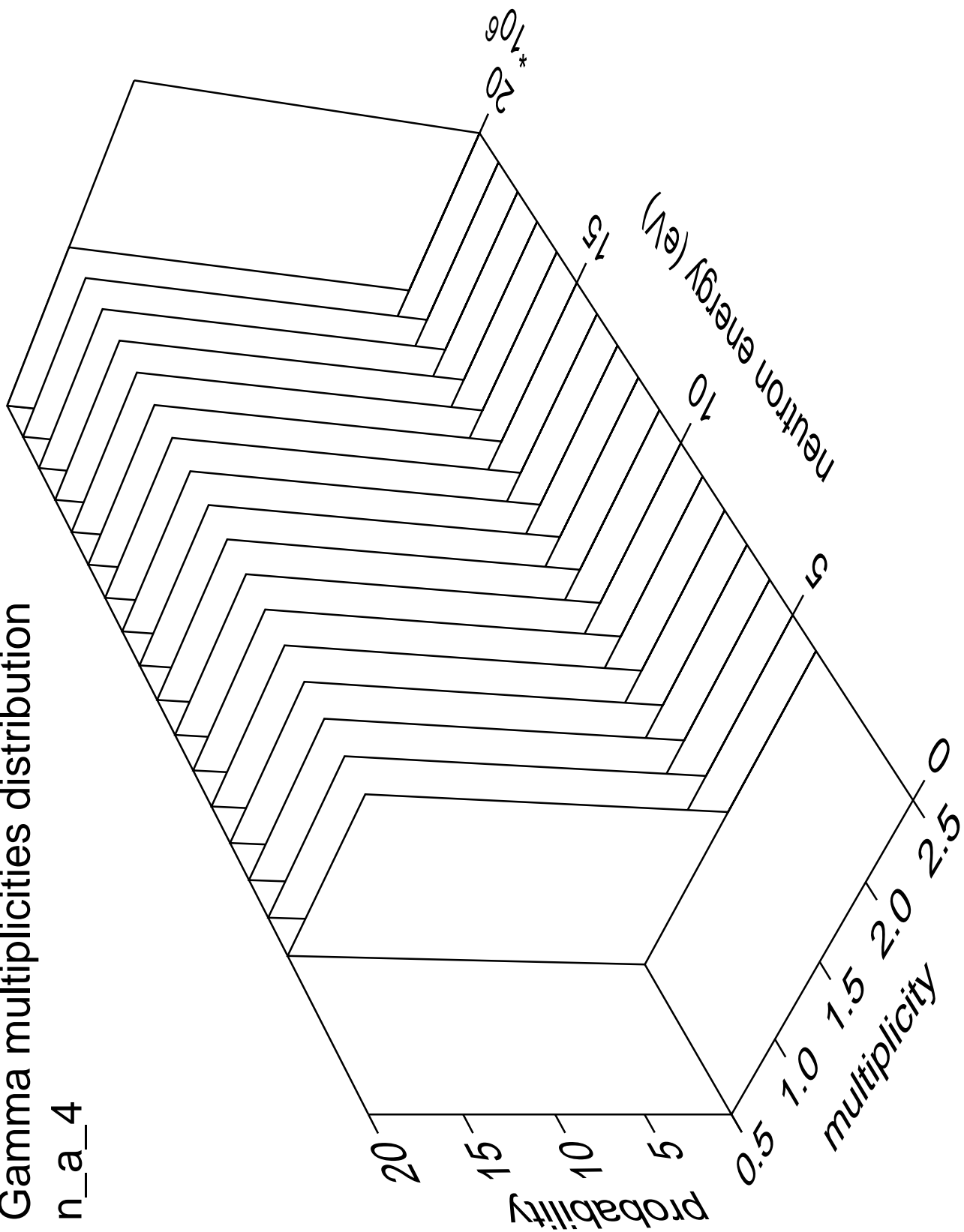


Gamma angles distribution

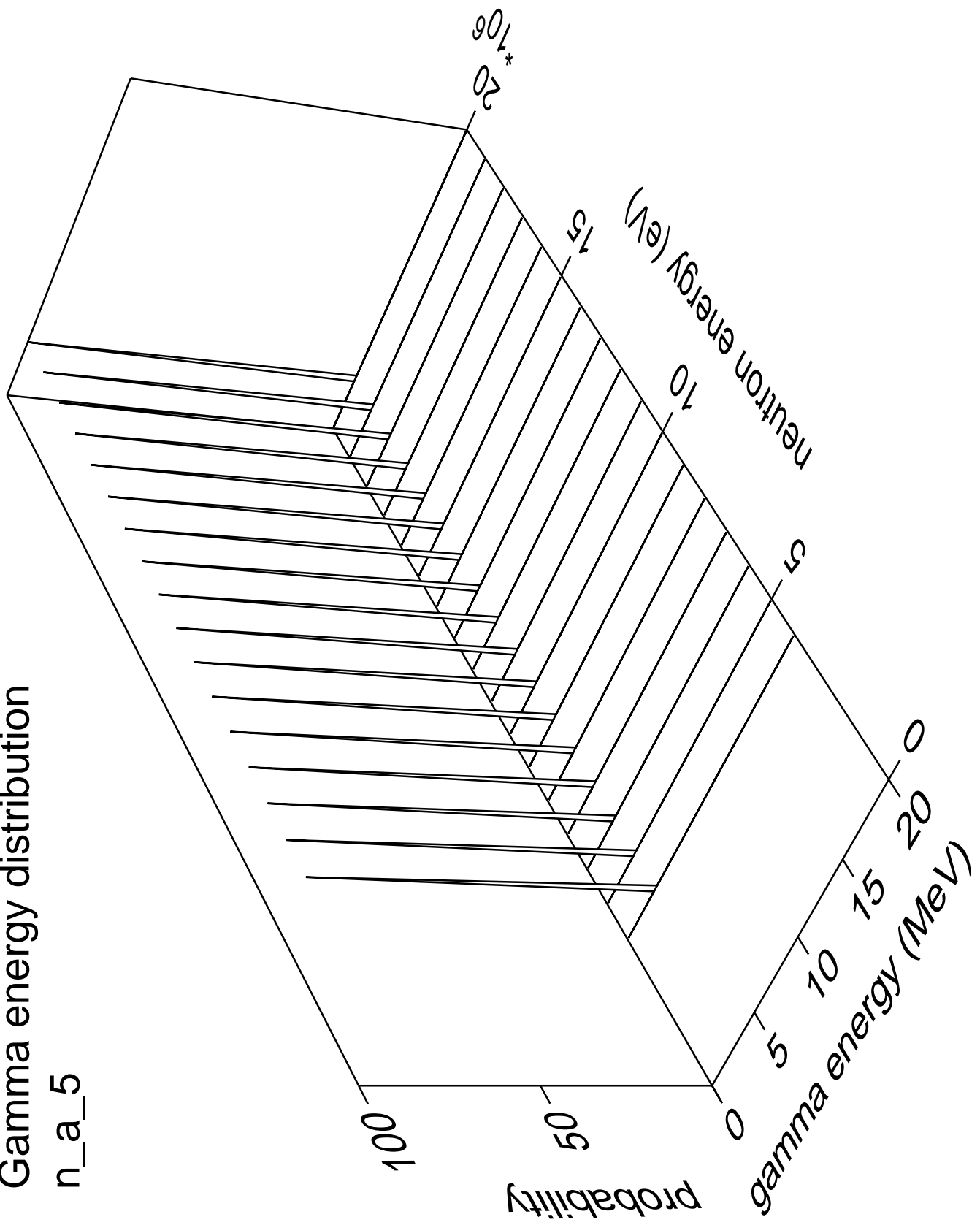
n_a_4



Gamma multiplicities distribution n_a_4

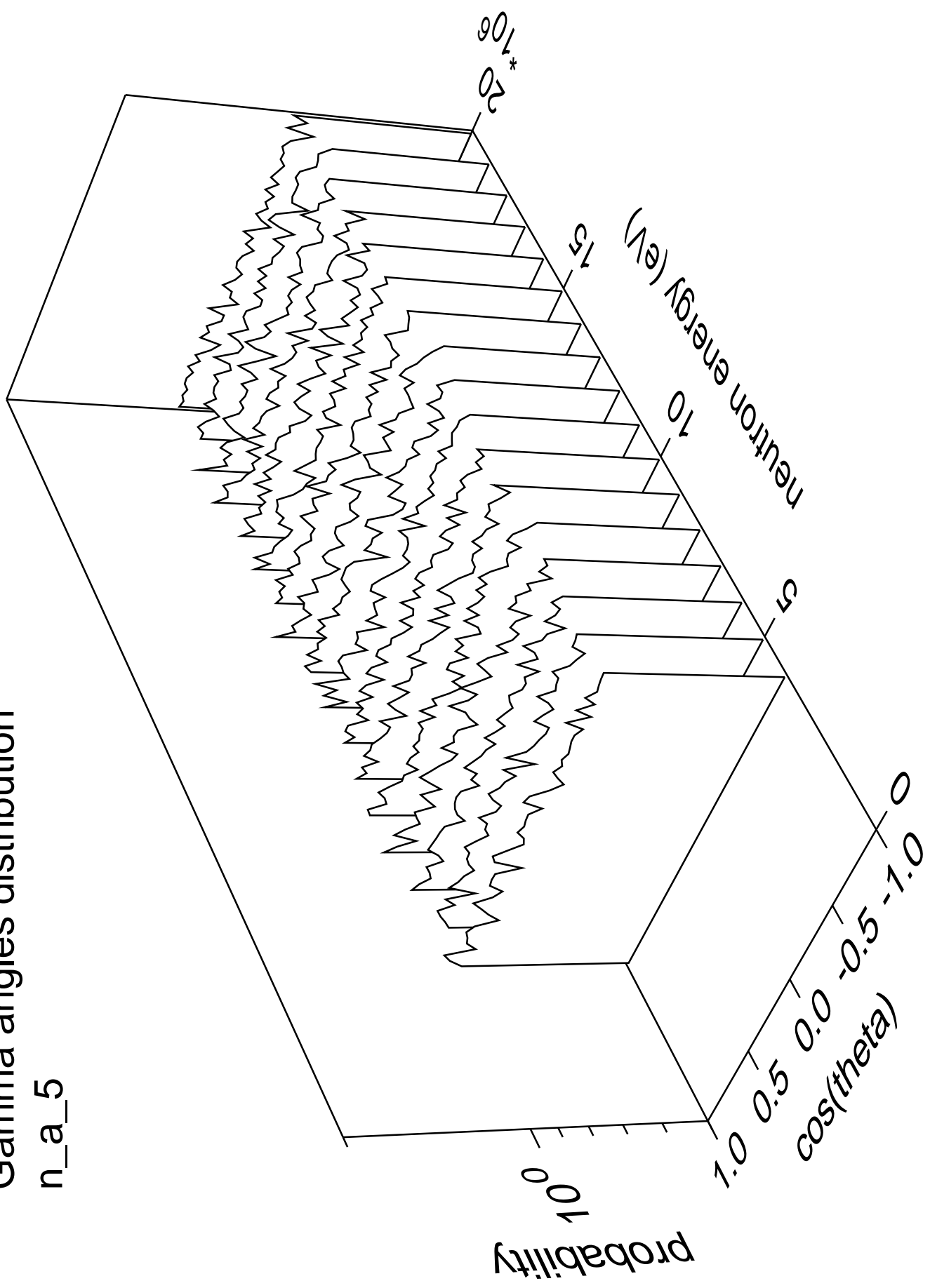


Gamma energy distribution n_a_5

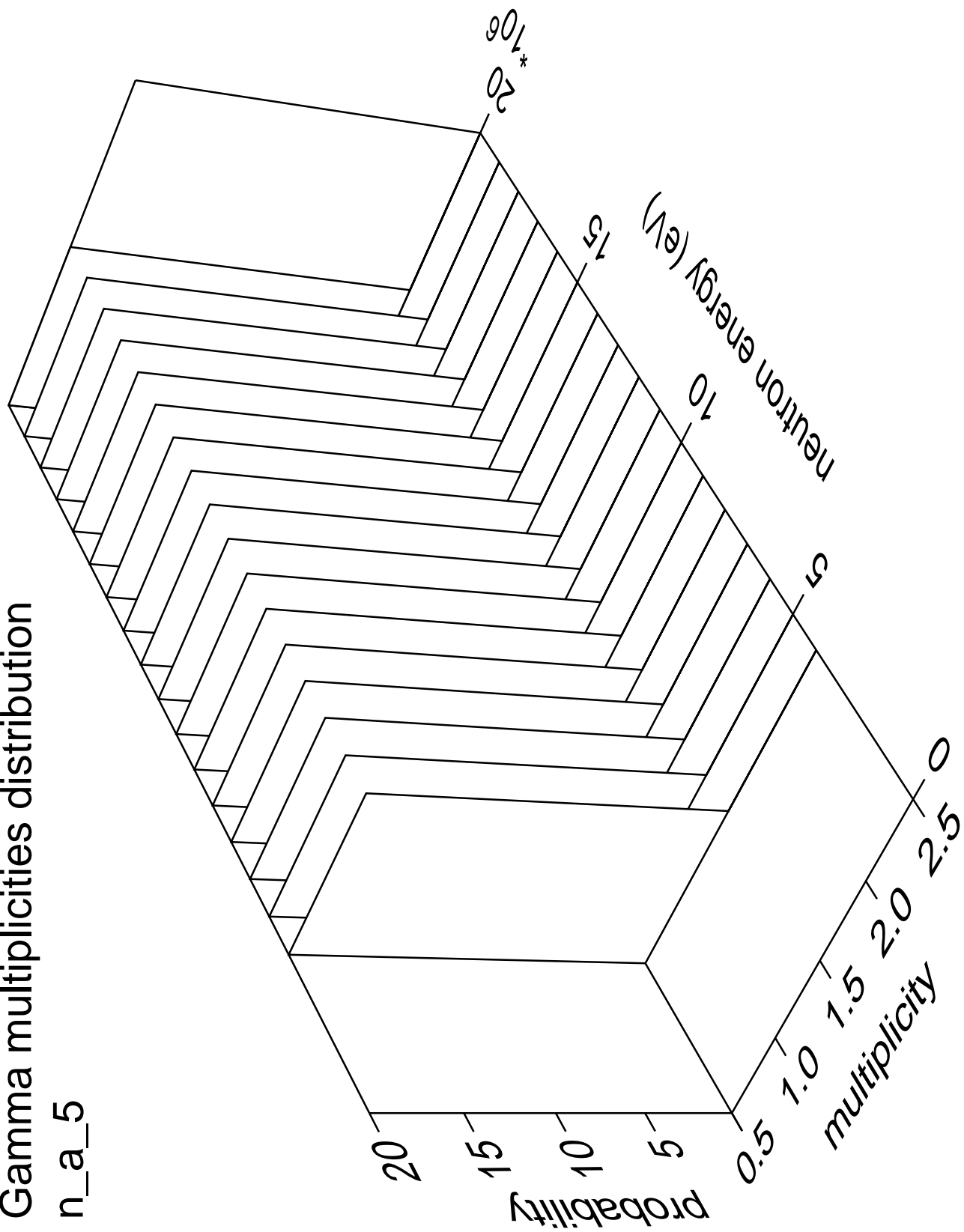


Gamma angles distribution

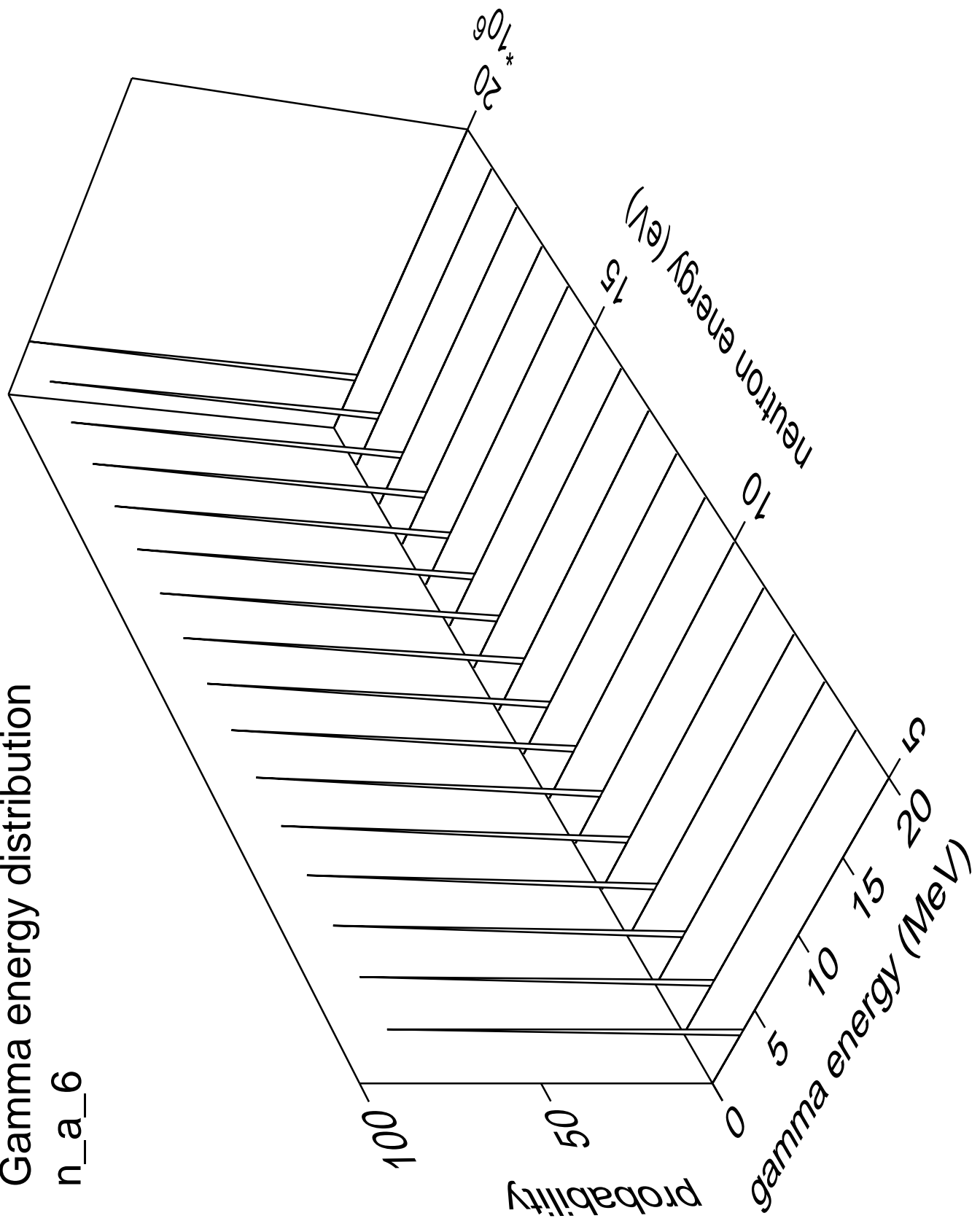
n_a_5



Gamma multiplicities distribution

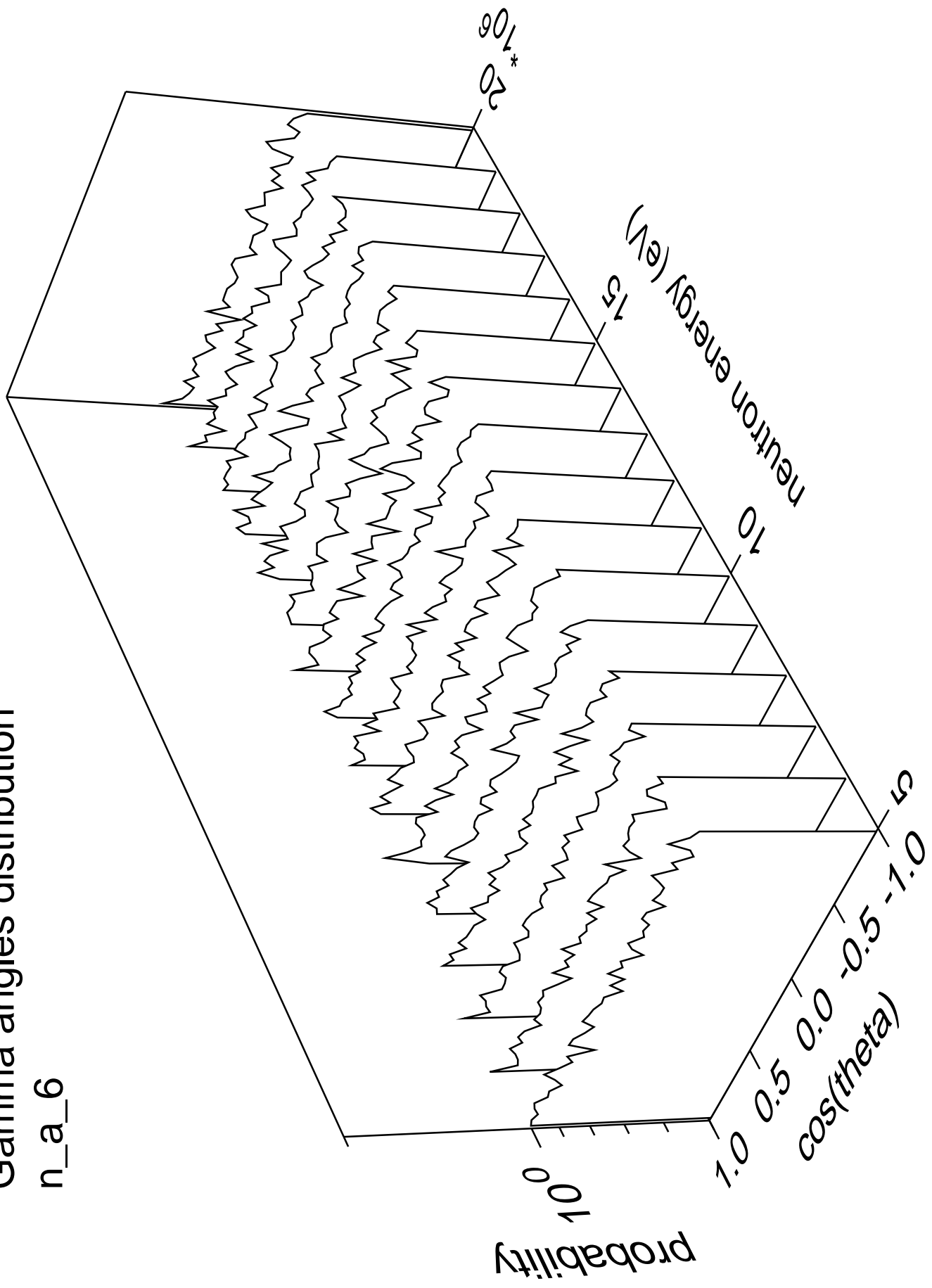


Gamma energy distribution

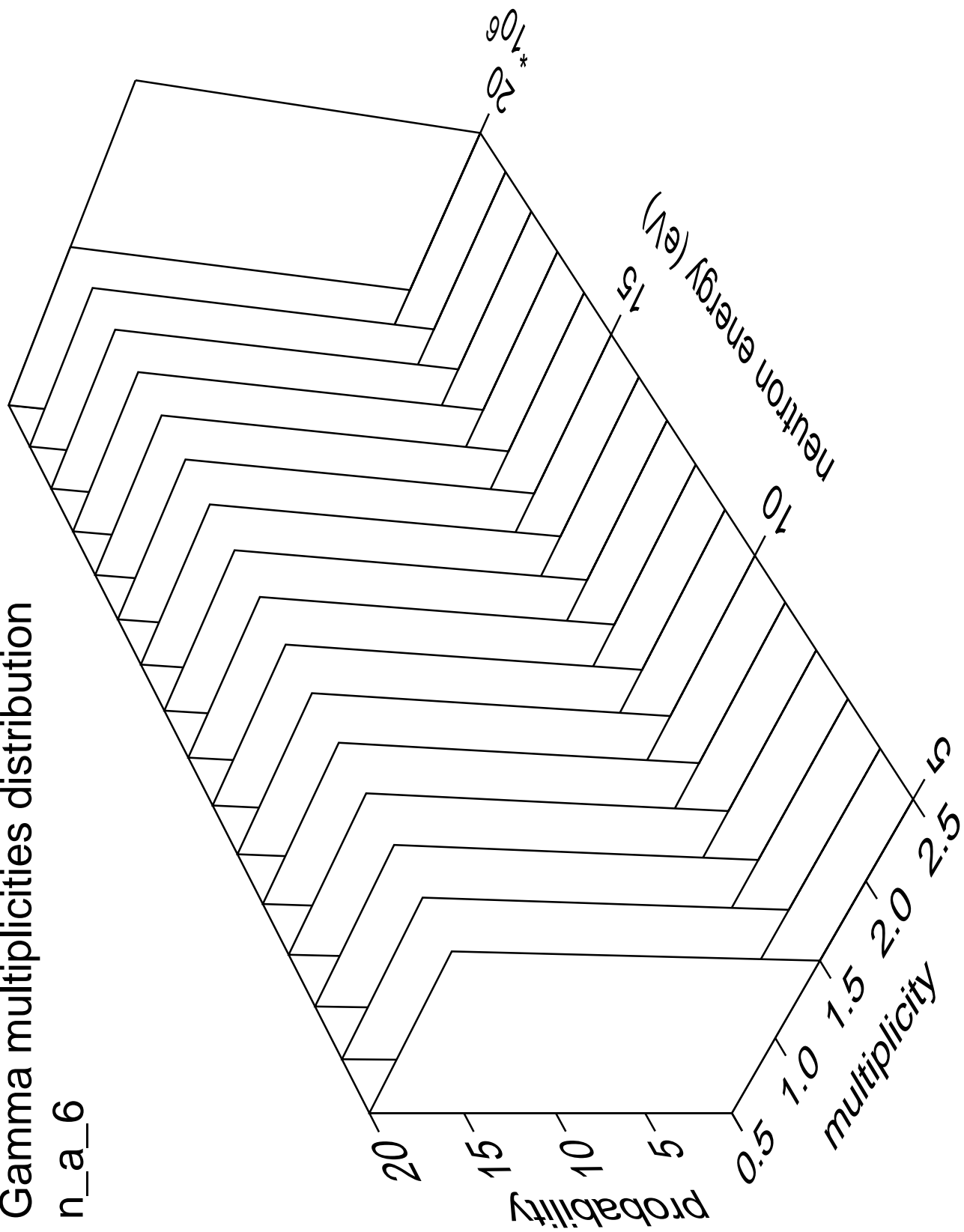


Gamma angles distribution

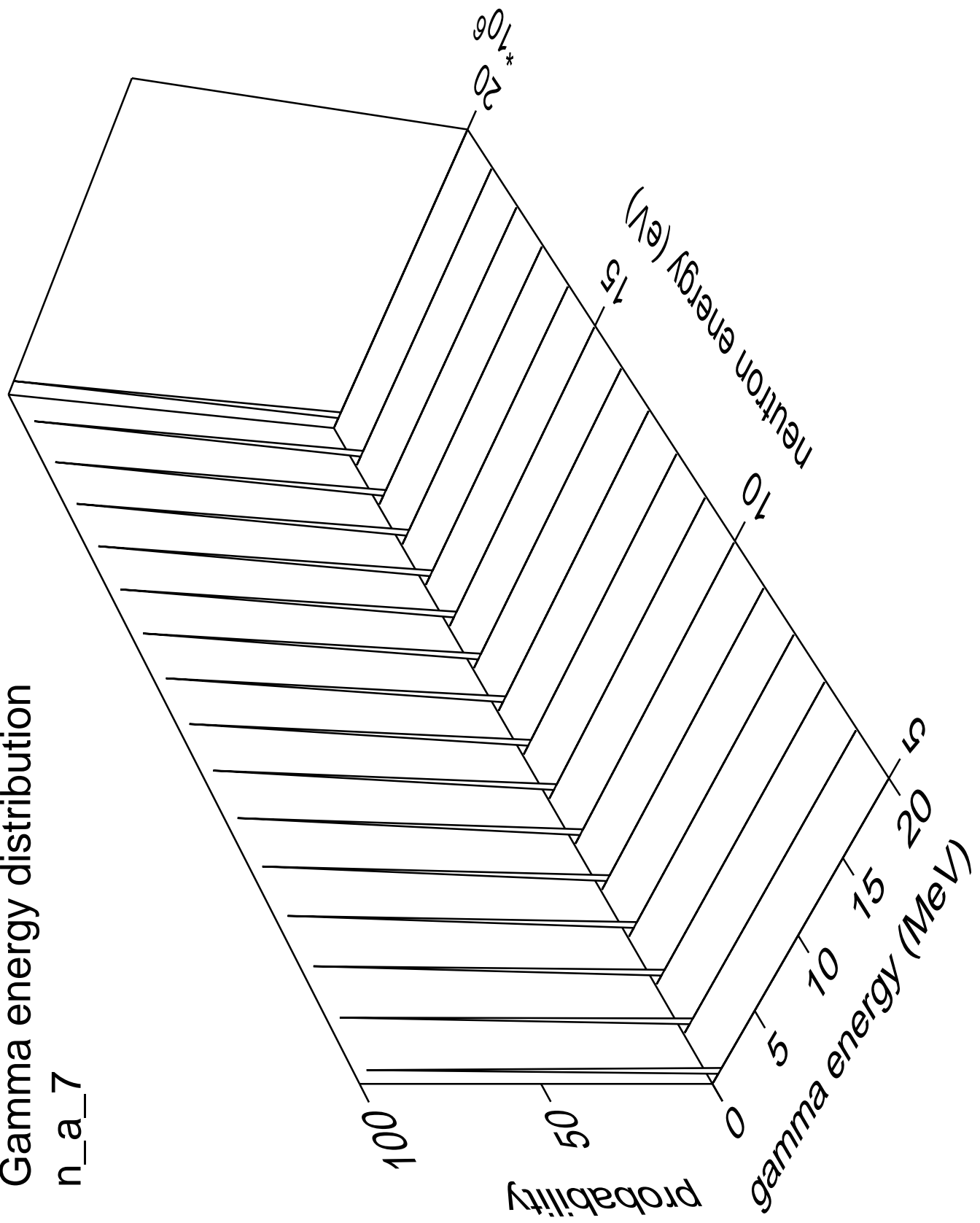
n_a_6



Gamma multiplicities distribution

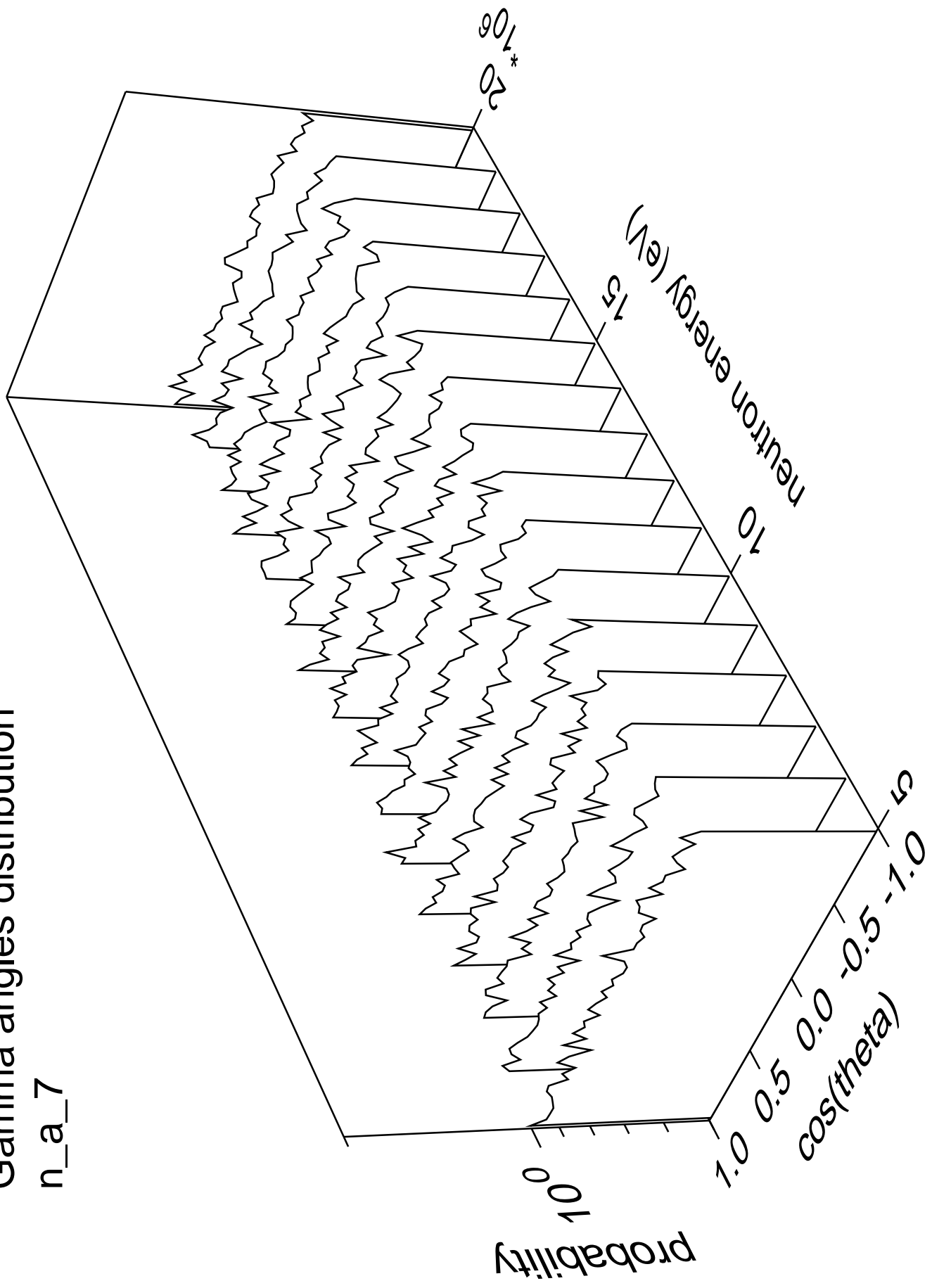


Gamma energy distribution

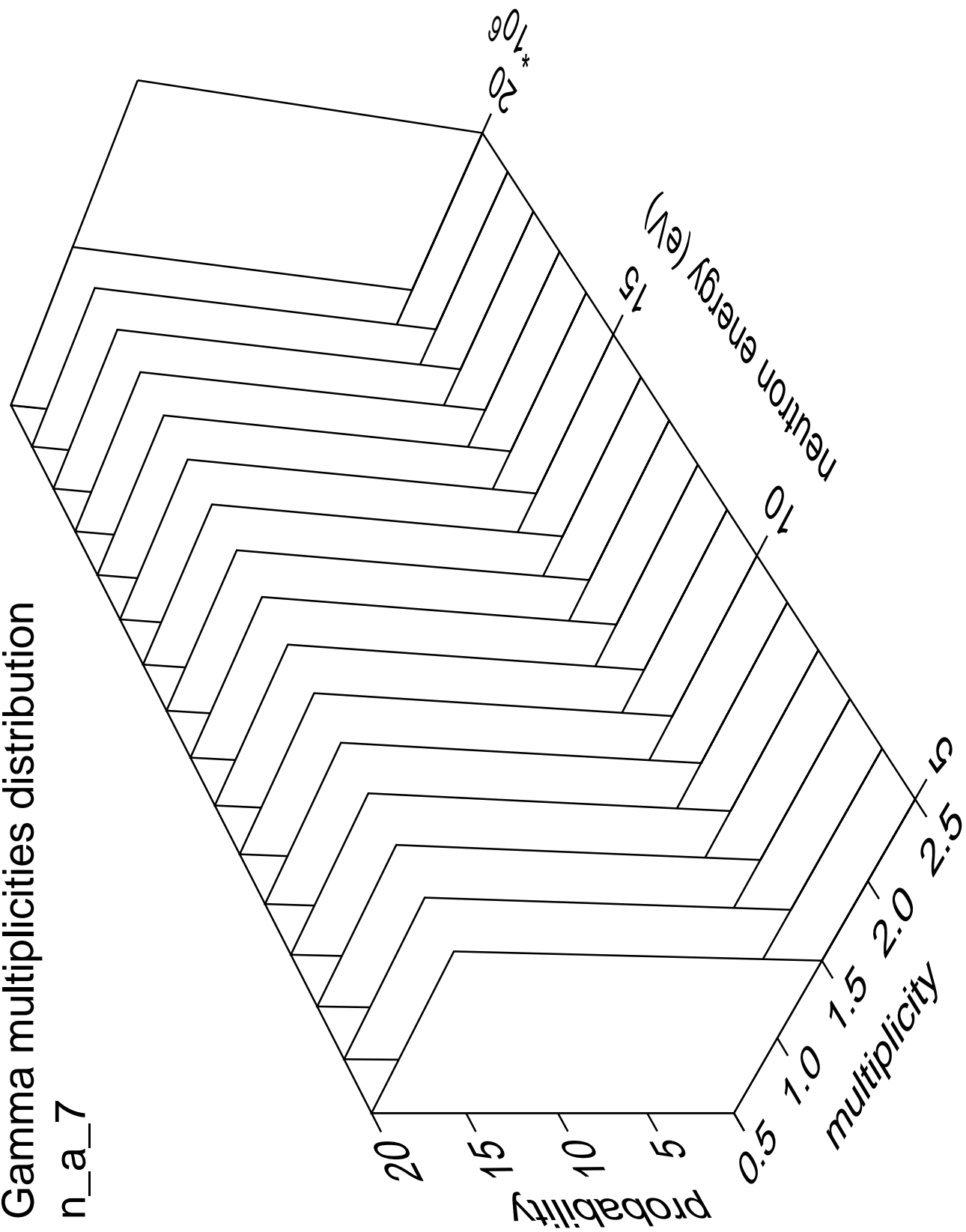


Gamma angles distribution

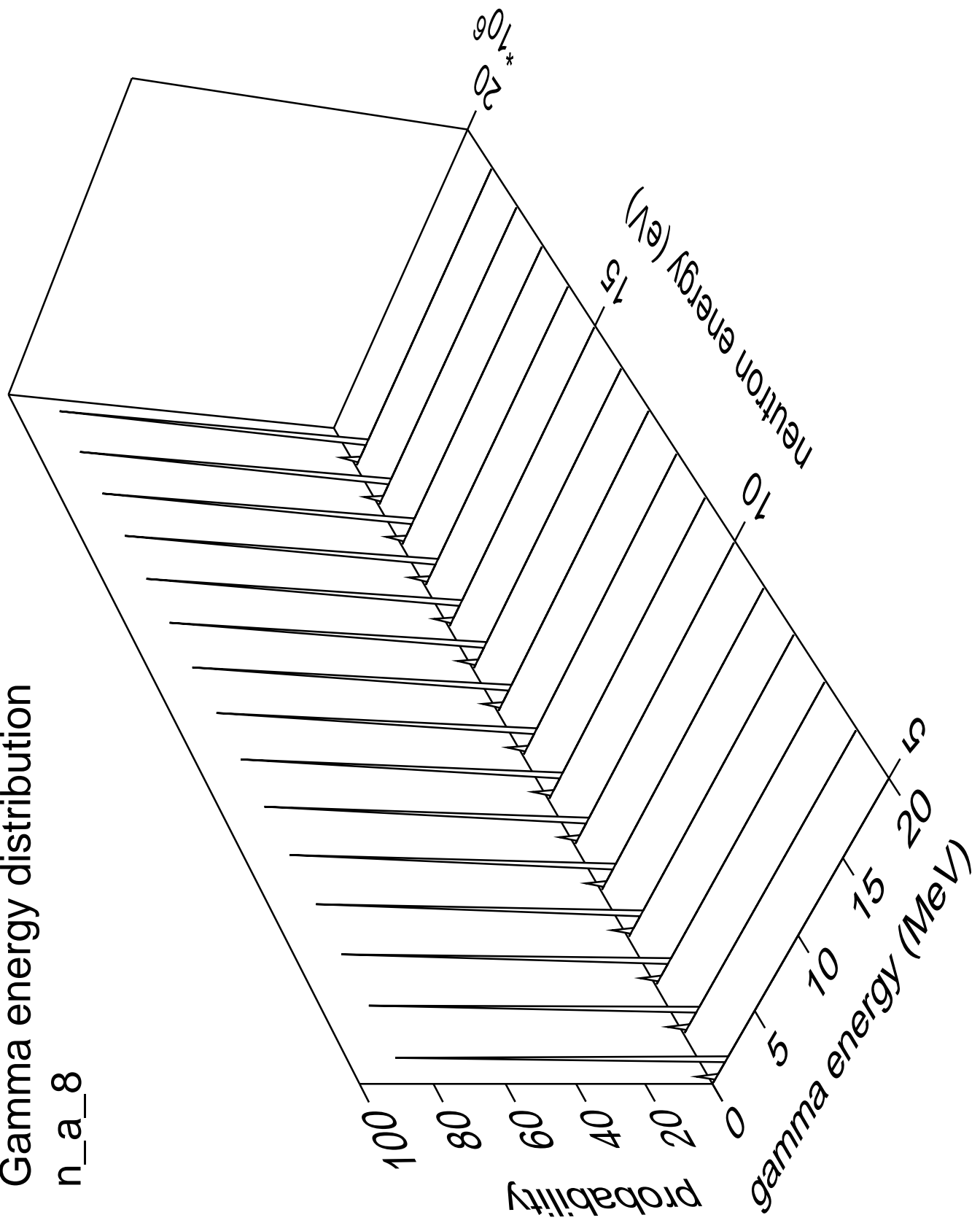
n_a_7



Gamma multiplicities distribution

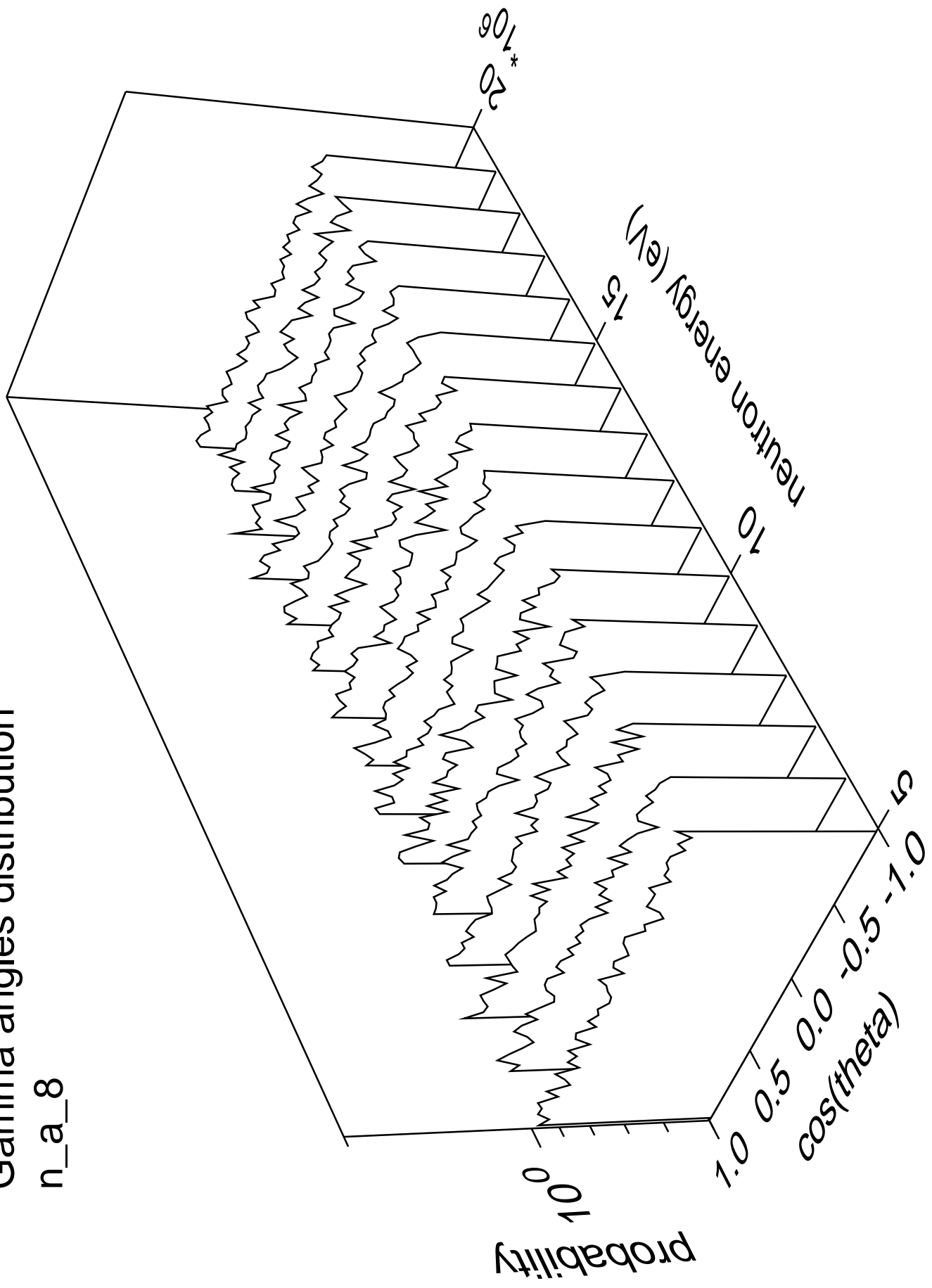


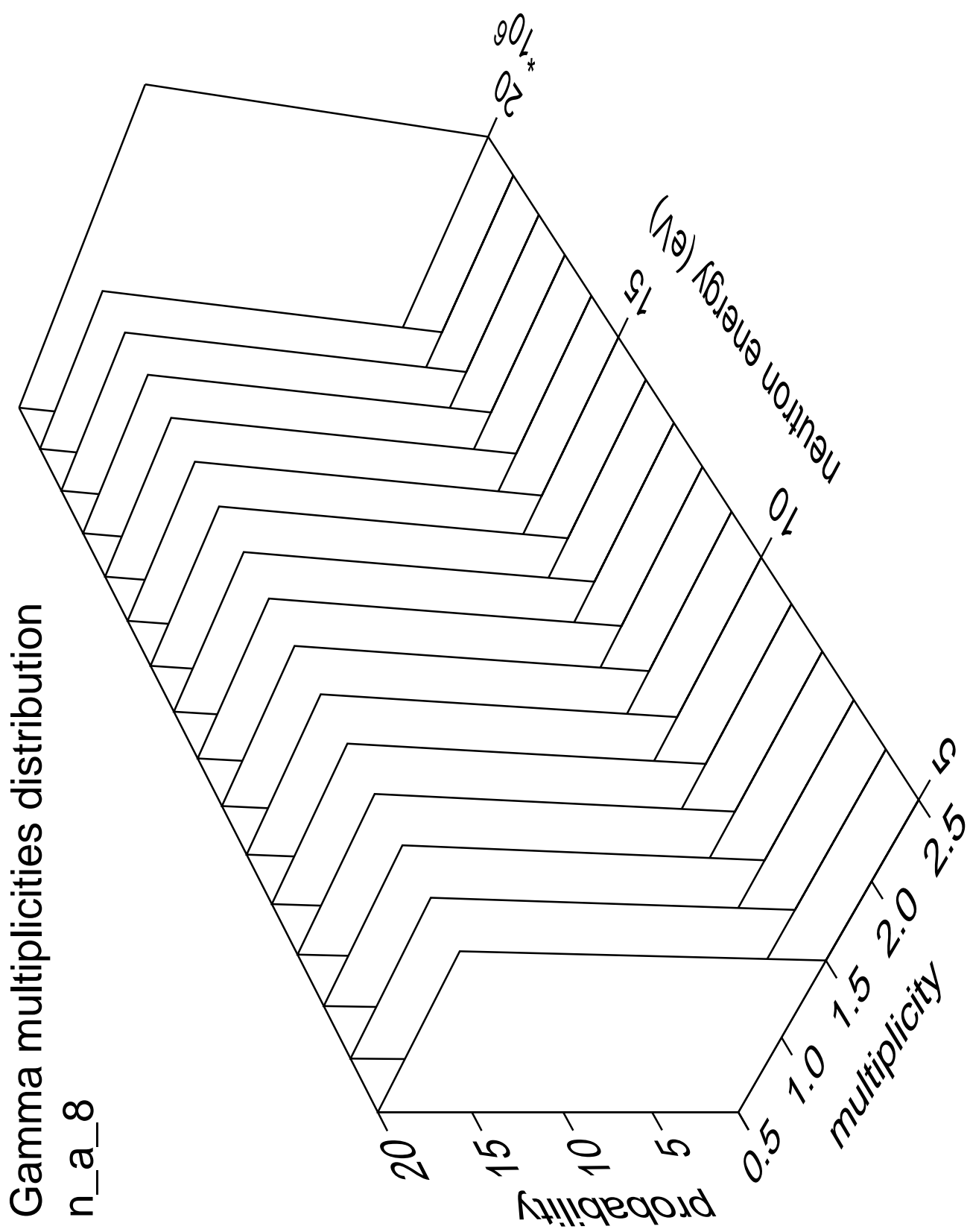
Gamma energy distribution n_a_8



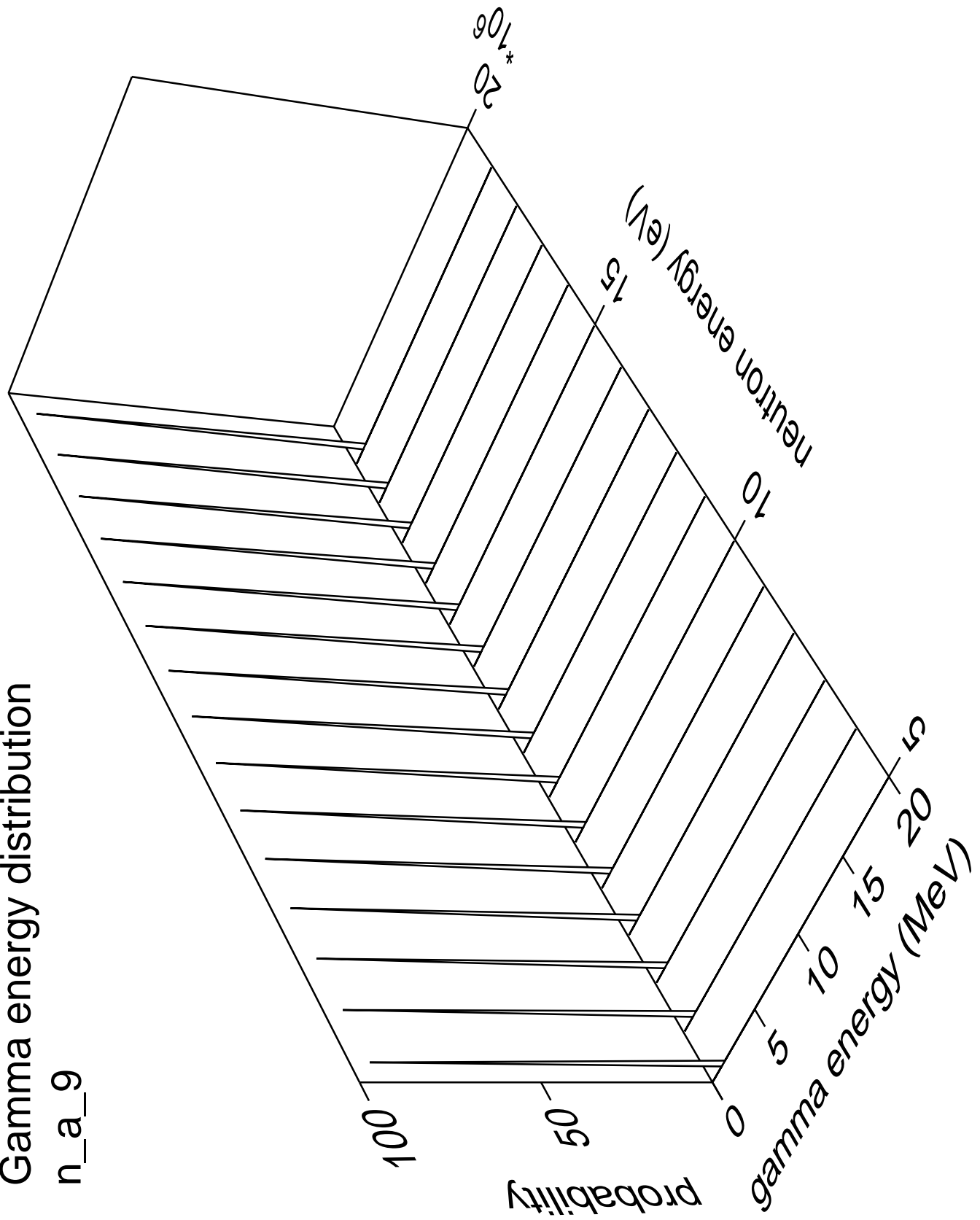
Gamma angles distribution

n_a_8





Gamma energy distribution n_a_9



Gamma angles distribution

n_a_9

